

MINISTERUL EDUCATIEI SI INVATAMINTULUI  
INSTITUTUL POLITEHNIC "TRAIAN VUIA" TIMISOARA  
FACULTATEA DE MECANICA

Ing. HORIA POPA

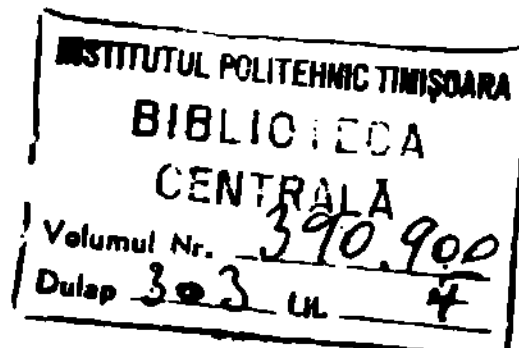
INFLUENTA METODELOR DE EXECUTIE A ELECTROZILOR  
ASUPRA CARACTERISTICILOR TEHNICO-ECONOMICE ALE  
PRELUCRARII PRIN EROZIUNE ELECTRICA CU  
COPIEREA FORNEI

TEZA DE DOCTORAT

BIBLIOTECA CENTRALĂ  
UNIVERSITATEA "POLITEHNICA"  
TIMIȘOARA

Conducător științific:  
Prof.dr.doc.șt.ing.AUREL NANU

TIMISOARA  
1980



C U P R I N S	Păg
0. Introducere. ....	5
I. CERCETARI PRIVIND SISTEMELE IN TEHNOLOGIE. ....	9
1. Sisteme generale. ....	9
1.1. Concepțe ale sistemelor generale. ....	9
1.2. Sistemele generale și tehnologia. ....	13
2. Sistemul de acțiune tehnologică la nivel de operație în construcția de mașini și aparate. ....	14
2.1. Funcție, obiectiv și variabile ale sistemului de acțiune tehnologică la nivel de operație. ....	14
2.2. Structura sistemului de acțiune tehnologică la nivel de operație. ....	17
2.2.1. Componentele sistemului. ....	17
2.2.2. Conexiunile sistemului. ....	20
2.3. Tipuri de modele pentru sistemul de acțiune tehnologică la nivel de operație. ....	30
3. Sisteme de acțiune tehnologică pentru operații de prelucrare dimensională în construcția de mașini și aparate..	32
3.1. Particularități funcționale ale sistemelor de acțiune tehnologică pentru prelucrare dimensională. ...	32
3.1.1. Funcție, obiectiv și variabile de performanță..	32
3.1.2. Complexitatea suprafeței piesei și gradul de dificultate a prelucrării dimensionale. ....	33
3.2. Structuri ale spațiului de lucru al sistemelor de acțiune tehnologică, la nivel de operație și metode de prelucrare dimensională fără contact. ....	38
3.2.1. Metode, procedee și procese tehnologice. ....	38
3.2.2. Funcții și structuri ale spațiului de lucru pentru operații de prelucrare dimensională cu îndepărțare de substanță de la obiectul prelucrării. ....	41
3.2.3. Structuri ale corpului de transfer la operații de prelucrare dimensională cu îndepărțare de substanță de la obiectul prelucrării. ....	44
3.2.4. Metode de prelucrare dimensională fără contact între obiectul de transfer și obiectul prelucrării. ....	47

<b>3.3. Sisteme de acțiune tehnologică pentru operații de prelucrare dimensională prin eroziune electrică. ....</b>	<b>53</b>
<b>    3.3.1. Particulariăți funcționale și structurale ale sistemelor de acțiune tehnologică pentru operații de prelucrare dimensională prin eroziune electrică. ....</b>	<b>53</b>
<b>    3.3.2. Probleme nerezolvate ale prelucrării dimensionale prin eroziune electrică. ....</b>	<b>59</b>
<b>II. CERCETARI PRIVIND SISTEMUL ELECTROD DE TRANSFER PENTRU PRELUCRAREA PRIN EROZIUNE ELECTRICA CU COPIEREA FORMEI... 63</b>	
<b>4. Funcția și structura electrodului de transfer pentru prelucrarea dimensională prin eroziune electrică. ....</b>	<b>63</b>
<b>    4.1. Funcția electrodului de transfer. ....</b>	<b>63</b>
<b>    4.2. Structura electrodului de transfer. ....</b>	<b>65</b>
<b>    4.3. Calitatea electrodului de transfer. ....</b>	<b>67</b>
<b>5. Procese și modele ale proceselor de uzare a electrodului de transfer la prelucrarea prin eroziune electrică cu copierea formei. ....</b>	<b>68</b>
<b>    5.1. Uzură, durabilitate și coeficient de polaritate la prelucrarea dimensională prin eroziune electrică. ..</b>	<b>68</b>
<b>    5.2. Procese fizico-chimice la uzarea electrodului de transfer în cazul prelucrării prin eroziune electrică cu copierea formei. ....</b>	<b>74</b>
<b>    5.3. Procese la nivel macrogeometric în cazul prelucrării prin eroziune electrică cu copierea formei. ....</b>	<b>76</b>
<b>        5.3.1. Variabilele geometrice și procese la nivel macroscopic. ....</b>	<b>76</b>
<b>        5.3.2. Interdependențe între variabile la uzarea electrodului de transfer. ....</b>	<b>82</b>
<b>    5.4. Variabile pentru caracterizarea uzării, uzurii și durabilității electrodului de transfer la prelucrarea prin eroziune electrică cu copierea formei. ....</b>	<b>85</b>
<b>    5.5. Model matematic pentru procesul de uzare a electrodului de transfer la prelucrarea prin eroziune electrică cu copierea formei. ....</b>	<b>90</b>
<b>        5.5.1. Etape în studiul proceselor la generarea suprafeței prin eroziune electrică cu copierea formei. ....</b>	<b>90</b>

5.5.2. Utilizarea unor concepte ale termodinamicii proceselor ireversibile în teoria generală a generării suprafetei la prelucrarea dimensională....	92
5.5.3. Model matematic pentru procesul de generare a suprafetei la prelucrarea dimensională fără contact cu copierea formei. ....	96
5.5.4. Model matematic pentru procesul de generare a suprafetei electrodului (uzare) la prelucrarea prin eroziune electrică cu copierea formei. ....	100
6. Cercetări experimentale privind uzarea electrodului de transfer la prelucrarea prin eroziune electrică cu copierea formei. ....	106
6.1. Obiective și metodica a cercetărilor experimentale..	106
6.2. Mijloace, regimuri de lucru și metode utilizate la cercetarea experimentală. ....	108
6.3. Rezultatele cercetărilor experimentale ale procesului de uzare a electrodului de transfer. ....	109
6.3.1. Cercetări experimentale comparative ale uzării electrozilor plăci subțiri și electrozilor cilindrici. ....	109
6.3.2. Verificarea experimentală a modelului matematic pentru uzarea electrozilor plăci subțiri la prelucrarea prin eroziune electrică cu copierea formei. ....	118
6.3.3. Concordanța dintre teorie și experiment privind mecanismul uzării electrozilor de transfer la prelucrarea prin eroziune electrică cu copierea formei. ....	122
7. Influența uzurii electrodului de transfer asupra caracteristicilor tehnico-economice ale prelucrării prin eroziune electrică cu copierea formei. ....	123
7.1. Influența uzurii electrodului asupra caracteristicilor tehnologice ale prelucrării. ....	123
7.2. Influența uzurii electrodului asupra caracteristicilor economice ale prelucrării. ....	129
III. STUDII SI CERCETARI PRIVIND FABRICAREA ELECTROZILOR DE TRANSFER PENTRU PRELUCRAREA PRIN EROZIUNE ELECTRICA CU COPIEREA FORMEI. ....	133
8. Studiul procedurilor de fabricare a electrozilor de transfer pentru prelucrarea prin eroziune electrică cu	

<b>copierea formei. ....</b>	<b>133</b>
8.1. Domeniile aplicării optime a procedeelor de fabricare a electrozilor de transfer. ....	133
8.2. Posibilități de creștere a productivității prelucrării suprafeței active a electrozilor de transfer. ....	141
<b>9. Cercetări privind creșterea productivității depunerii electrochimice, cu posibilități de aplicare la fabricarea electrozilor de transfer cu strat activ din cupru... 144</b>	
9.1. Particularități ale sistemelor de acțiune tehnologică pentru operații de prelucrare dimensională ... prin depunere electrochimică (galvanoplastie). ....	144
9.2. Stadiul actual al prelucrării prin depunere electrochimică a stratului activ al electrozilor de transfer. ....	145
9.3. Cercetări experimentale privind creșterea productivității depunerii electrochimice a cuprului, cu posibilități de aplicare la fabricația electrozilor de transfer. ....	147
9.3.1. Obiective și metodică a cercetărilor experimentale. ....	147
9.3.2. Echipamente concepute și realizate pentru cercetarea experimentală a depunerii electrochimice a cuprului. ....	148
9.3.3. Determinarea experimentală a frecvenței optime de activare sonică a depunerii electrochimice a cuprului. ....	150
9.3.4. Posibilități de aplicare a rezultatelor cercetării experimentale la fabricarea electrozilor de transfer pentru prelucrarea prin eroziune electrică. ....	153
<b>10. Influența fabricării electrozilor de transfer asupra caracteristicilor tehnico-economice ale prelucrării prin eroziune electrică cu copierea formei. ....</b>	<b>155</b>
10.1. Influența fabricării electrozilor asupra caracteristicilor tehnologice ale prelucrării. ....	155
10.2. Influența fabricării electrozilor asupra caracteristicilor economice ale prelucrării. ....	156
<b>IV. CONCLUZII GENERALE SI CONTRIBUTIILE ORIGINALE. ....</b>	<b>162</b>
<b>V. LITERATURA. ....</b>	<b>168</b>

## O. INTRODUCERE

Tehnologia actuală a prelucrării dimensionale în construcția de mașini este caracterizată de extinderea continuă a domeniului de aplicare a prelucrării prin eroziune, ponderea cea mai mare, de 65...70 %, deținând-o prelucrarea prin eroziune electrică. Această pondere se datorează posibilităților tehnologice și economice ale metodei de prelucrare electroerozivă și producerii în serie a utilajelor necesare de peste 30 de ani.

Cu toate progresele realizate în producția de utilaje și în tehnologiile de prelucrare prin eroziune electrică, principalul dezavantaj al metodei îl constituie uzarea relativ ridicată a electrozilor și ponderea mare a costului acestora, de 50...60 % din costul prelucrării cu copierea formei.

In România, documentele programatice ale Partidului Comunist Român /1,2,3/ pun în fața cercetării științifice, a ingineriei tehnologice, a întreprinderilor industriale constructoare de mașini și aparate, sarcini de mare importanță pentru progresul economico-social în deceniul 1981...1990. Una din aceste sarcini o constituie perfecționarea tehnologiilor, crearea și aplicarea industrială de noi tehnologii, care să asigure sporirea mai accentuată a productivității muncii, îmbunătățirea calității producției, reducerea consumurilor specifice de materiale și energie, creșterea substanțială a eficienței economice. Legat de aceasta, în domeniul mașinilor-unei produsă va crește în cincinalul 1981...1985 de 2...2,2 ori, acordîndu-se prioritate și fabricației mașinilor de prelucrare electroerozivă, ceea ce va mări mult capacitatele de producție disponibile, în conformitate cu necesitățile industriei în acest domeniu.

Iată, deci, cele două motive care au determinat alegerea ca temă pentru lucrarea de față a unei probleme tehnico-economice actuale, complexe, orientată direct spre nevoile practicii industriale, cum este cercetarea influenței uzurii și fabricării electrozilor asupra caracteristicilor prelucrării prin eroziune electrică.

Așa cum se cunoaște /426, 467/, cercetarea științifică contemporană apelează tot mai mult la metoda sistemică. Aceasta nu este ecoul unei anumite mode, ci constituie un instrument științific puternic în cunoașterea și dominarea complexității. În prezent, punctul de plecare al oricărei cercetări nu mai este fenomenul

izolat, partea, elementele, ci sistemul, totalitatea, cu întreaga ei bogătie de semnificații. Din păcate, în știința tehnologiei construcției de mașini se constată însă o răminere în urmă a abordării sistemicе, ceea ce crează dificultăți în rezolvarea diverselor probleme de mare complexitate.

In aceste condiții de temă și metodă, lucrarea de doctorat a avut ca obiect rezolvarea mai multor probleme, în cadrul următoarelor direcții:

1. aprofundarea cercetării sistemicе în tehnologia construcției de mașini și dezvoltarea în acest sens a bazelor sale teoretice, în mod deosebit pentru prelucrarea dimensională;

2. cercetarea teoretică și experimentală a procesului de uzare a electrodului la prelucrarea prin eroziune electrică cu copierea formei, respectiv a influenței uzurii asupra caracteristicilor tehnico-economice ale prelucrării;

3. studii și cercetări pentru determinarea domeniilor aplicării optime a procedeelor de fabricare a electrozilor, pentru creșterea productivității și reducerea consumului specific la fabricarea electrozilor din cupru, pentru determinarea influenței fabricării electrozilor asupra caracteristicilor tehnico-economice ale prelucrării prin eroziune electrică.

In lucrarea de față se adoptă consecvent modul de cercetare și tratare sistemică, pornind de la totalitate spre element, de la general la particular, luând în considerare toate aspectele relevante, toate criteriile tehnice și economice importante în latura deciziilor optime. Modelarea matematică a proceselor și dependențelor studiate, ca etapă obligatorie a cercetării sistemicе, este dezvoltată întotdeauna astfel încât să satisfacă necesitățile proiectării și ale aplicării în practică a rezultatelor cercetării.

Studiul aprofundat al situației actuale pe plan mondial a constituit la fiecare problemă atacată premisa cercetării, iar verificarea experimentală directă sau indirectă a modelelor și teoriilor elaborate au încheiat direcțiile de cercetare aplicativă.

Teza de doctorat, desfășurată pe 191 pagini, cu 14 tabele, 44 figuri și 474 referințe bibliografice, este structurată pe trei părți cu 10 capitole, corespunzător obiectivului de cercetare stabilit. In partea a patra se sintetizează contribuțiile originale aduse în cadrul lucrării, iar în partea a cincea se prezintă literatura studiată sau utilizată, un număr de 23 titluri fiind lucrări publicate sau comunicate ale autorului și contracte de cercetare pentru industrie.

In partea întâia a lucrării s-au cercetat sistemele în tehnologie. După clarificarea principalelor concepte ale sistemelor generale se cercetează succesiv sistemele de acțiune tehnologică la nivel de operație, operații de prelucrare dimensională, operații de prelucrare dimensională prin eroziune electrică. Pe aceste baze teoretice, se trece în partea a doua a lucrării la cercetarea unor probleme importante nerezolvate ale sistemului electrod de transfer pentru prelucrarea prin eroziune electrică: funcții, structuri, procese și modele ale proceselor de uzare. Verificarea concordanței dintre teorie și experiment privind mecanismul deosebit de complex al uzurii electrozilor este apoi continuată cu cercetarea influenței uzurii asupra caracteristicilor tehnico-economice ale prelucrării prin eroziune electrică – problemă esențială a proiectării procesului tehnologic. În partea treia a lucrării se studiază comparativ procedeele de fabricare a electrozilor și pe această bază se stabilesc, cu considerarea unui număr mare de criterii, domeniile optime de aplicare a lor. După cercetarea căilor de creștere a productivității la fabricarea electrozilor, concluziile teoretice generale orientează cercetarea experimentală spre activarea sonică a depunerii electrochimice a cuprului, procedeu care în varianta clasică neactivată este eficient numai la arii transversale relativ mari ale electrozilor. Rezultatele obținute justifică întrutotul aplicarea largă în practică a galvanoplastiei activate a cuprului la fabricarea de electrozi. Acest fapt este dovedit și în cadrul cercetării aprofundate a influenței fabricării electrozilor asupra caracteristicilor tehnico-economice ale prelucrării prin eroziune electrică.

Pornind de la cercetarea fundamental-orientată a unor probleme de mare complexitate, nerezolvate de alții cercetători, se trece la cercetarea aplicativă și la rezolvarea unor probleme practice de mare interes atât pentru proiectarea electrozilor, a procesului tehnologic de prelucrare electroerozivă cît și pentru fabricarea electrozilor, cu importante economii de materiale deficitare și de costuri. Rezultatele obținute au fost parțial aplicate sau se află în curs de aplicare în producție, la întreprinderile Electrotimiș, Electrobanat din Timișoara și la Secția de prototipuri și microproducție a Institutului politehnic "Traian Vuia" din Timișoara.

Autorul exprimă și pe această cale cele mai sincere mulțumiri conducerului științific prof.dr.șt.ing.Aurel Nanu

pentru modul competent în care l-a îndrumat la elaborarea lucrării, în formarea și specializarea sa profesională.

Autorul mulțumește de asemenei, colegilor din catedrele de Tehnologie mecanică, Material rulant și organizare, colegilor de la Secția de prototipuri și microproducție, de la întreprinderile Electrobanat și Electrotimiș, pentru ajutorul acordat pe parcursul și în finalizarea cercetărilor.

## I. CERCETARI PRIVIND SISTEMELE IN TEHNOLOGIE

### 1. Sisteme generale.

#### 1.1. Concepțe ale sistemelor generale.

Structuralitatea este o proprietate universală a materiei. Ea exprimă capacitatea obiectelor și fenomenelor de a se organiza succesiv și nelimitat în sisteme din ce în ce mai complexe, prin relații de coordonare și subordonare.

Conceptul de sistem, corelat cu cele de structură-funcție-funcționare, oferă astăzi un fundament pentru elaborarea unei metode generale de cunoaștere și, tocmai de aceea, una din caracteristicile cunoașterii științifice contemporane constă în abordarea și interpretarea sistemică a realității, ca direcție unică a cercetării științifice, a refacerii unității științei pe un nou plan, superior /9, 76, 82, 89, 105, 134, 225, 269, 326, 344, 370, 386, 424, 426, 467/.

Noțiunea de sistem a devenit astăzi un cadru de referință obligatoriu pentru orice știință și a căpătat în ultimele decenii o utilizare din ce în ce mai largă. Această nouă orientare a științei stabilește că punct de plecare al cunoașterii nu fenomenul izolat, elementul, ci sistemul, totalitatea, concentrîndu-și atenția cu precădere asupra relațiilor de simultaneitate (sincronism), corelat cu cele de succesiune (diacronism), ultimele relații fiind tipice pentru abordarea cauzală clasică.

Literatura de specialitate definește încă diferit concepțele teoriei generale a sistemelor, dar acceptă unanim ca principale următoarele noțiuni: sistem, structură, funcționare (procese), legături cu mediul (intrări, ieșiri), mediu, model, funcție, variabile, stare. Aceste noțiuni se pot defini riguros matematic /42, 52, 57, 165, 286, 415/, dar trebuie remarcat faptul că la definirea conceptelor teoriei generale a sistemelor lipscște în general analiza aspectelor substanțial - energetice - informaționale.

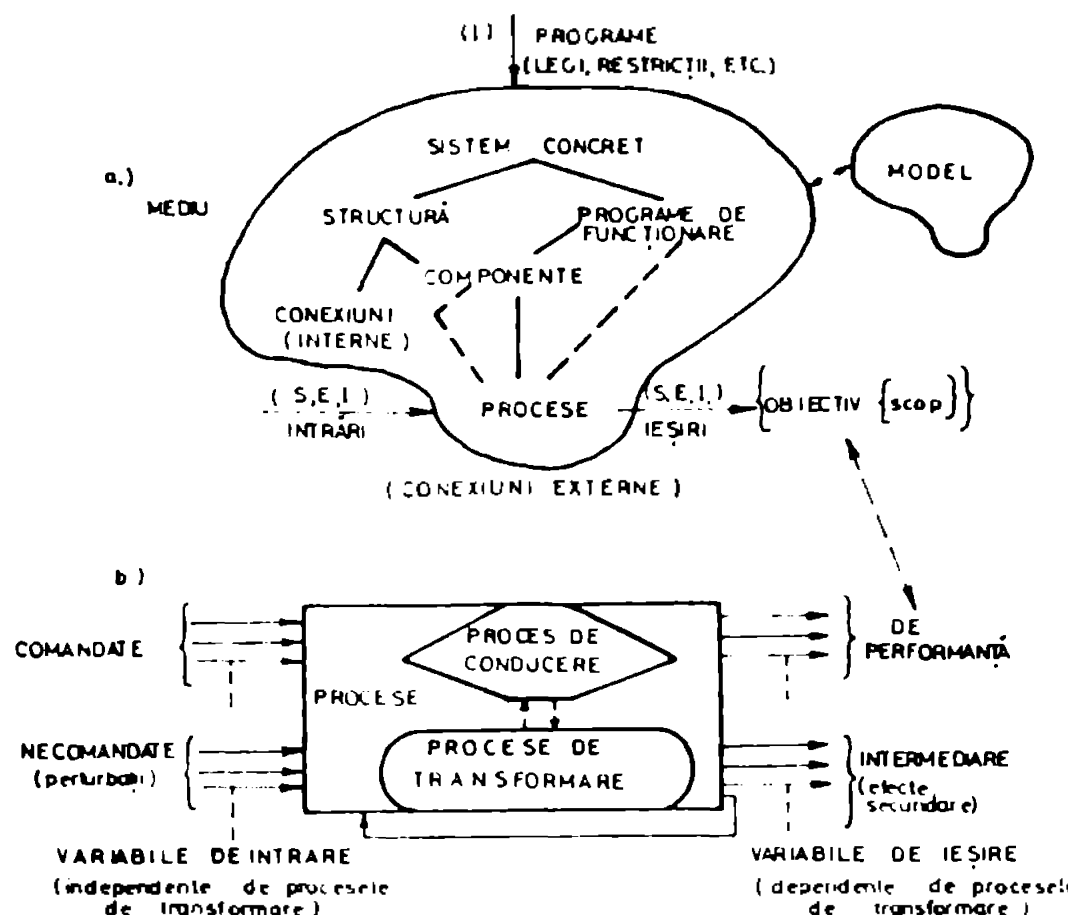
In cadrul limitat și pentru utilitatea lucrării de față se preferă definiții calitative ale conceptelor pentru sisteme reale /301, 467/, cu considerarea unor aspecte substanțial - energetice - informaționale.

Orice sistem este o mulțime de componente (elemente) care, în limitele anumitor condiții de spațiu și timp, interacționează între ele și funcționează, obținând un rezultat. Cu

excepția omului sau a sistemelor ce includ omul, rezultatul este inconștient și reprezintă consecința interacțiunii dialectice a sistemului cu alte sisteme.

Sistemele pot fi clasificate /301/ după proveniență în sisteme naturale (fizice; biologice) sau in sisteme create de om (abstracte; concrete). Sistemele concrete pot fi fără conștiință existenței lor (sisteme tehnice) sau cu conștiință existenței lor (sisteme de acțiune cu compunerea: om + sistem tehnic; organizații; sisteme inginerești; sisteme economice; sisteme sociale).

Un sistem concret  $S_C$  este caracterizat (fig.1.1) de o anumită structură (mod de organizare) definită de totalitatea componentelor sistemului și a conexiunilor dintre ele, respectiv de o funcționare definită ca ansamblu de procese, fiecare proces fiind o succesiune dinamică de stări în interiorul sistemului sau în treocerea de la un sistem la altul. În conformitate cu programele de funcționare corespunzătoare obiectivului (scopului) stabilit de om, procesele operează transformări asupra intrărilor în sistem, asupra sistemului însuși și realizează ieșirile din sistem. Intrările și ieșirile unui sistem concret sunt întotdeauna substanță (S), energie (E), informație (I) de diferite naturi și forme.



**Fig.1.1. Concepte ale sistemelor concrete.**  
**a)** legături între concepte; **b)** procese și variabile.

Ele constituie legăturile sistemului cu mediul său exterior, fiind mult mai slabe decât legăturile (conexiunile) interne ale sistemului.

Un sistem real  $S_R$  (natural sau concret) poate fi deci definit ca o mulțime de componente C, o mulțime de relații interne  $R_i$  între componente C, o mulțime de relații externe  $R_e$  între componentele C și mediul exterior sistemului, respectiv o mulțime de programe de funcționare  $P_f$  care determină procesele P în realizarea finalității F sau obiectivului O al sistemului :

$$S_R = \{C, R_i, R_e, P_f, P, F \vee O\} \quad (1.1)$$

Programele de funcționare  $P_f$  sunt elemente informaționale de primă importanță în realizarea finalității, respectiv obiectivului sistemului. În sistemele reale lipsite de autoconducere (de exemplu în unele sisteme tehnice etc.) programele  $P_f$  sunt memorizate de anumite componente C și/sau rezultă ca efect al relațiilor  $R_i$  sau  $R_e$ , inclusiv al legilor naturii. În sistemele reale cu autoconducere programele  $P_f$  prezintă cea mai mare diversitate, incluzând și ieșirile informative ale subsistemelor (proceselor) de conducere din interiorul sistemului  $S_R$ .

Pentru sistemele naturale finalitatea înseamnă concretizarea legilor naturii, iar pentru sistemele concrete cu conștiința existenței lor obiectivul (scopul) este elaborat conștient de către om.

Mediul unui sistem real este o mulțime de elemente (sisteme) și proprietățile lor relevante, elemente care au cel puțin o ieșire care este intrare pentru sistem sau cel puțin o intrare care este ieșire pentru sistemul real considerat. Elementele externe care afectează proprietățile irelevante ale sistemului nu fac parte din mediul său.

Modelul este un sistem teoretic (logico-matematic) sau material cu ajutorul căruia pot fi studiate indirect proprietățile și funcționarea unui alt sistem mai complex (sistemul original) cu care modelul prezintă o anumită analogie. Modelarea este un proces de cunoaștere mijlocită prin model, iar simularea este o experimentare pe model.

Funcția unui sistem este producerea unor ieșiri definite de obiectivul (scopul) sau de finalitatea sistemului, adică realizarea unei anumite submulțimi a mulțimii de legături cu mediul. Legăturile cu mediul ale unui sistem concret pot fi (fig.1.1 b)

relevante funcțional (intrări comandate și ieșiri de performanță) sau nerelevante funcțional (intrări necomandate sau perturbații și ieșiri intermediare sau efecte secundare). În cazul sistemelor concrete cu conștiința existenței lor legăturile cu mediul relevante funcțional corespund obiectivului (scopului) funcționării sistemului conștient.

De exemplu, funcția unei mașini unelte este generarea suprafetei piesei prin transformarea intrărilor relevante funcțional (obiectul prelucrării, materialul de protecție, energia primară furnizată de rețea sa electrică, informația purtată de unele componente ale spațiului de lucru, comenzi date de operator sau purtătorul de program) în ieșiri relevante funcțional (piesa și deșeurile cu anumite caracteristici). Pentru orice tip de mașină unealtă funcția derivă din obiectivul sistemului loc de muncă, definit parțial de valorile variabilelor de performanță ale procesului de generare a suprafetei (complexitatea analitică a suprafetei geometrice; dimensiunile suprafetei geometrice; precizia dimensională a suprafetei reale, referitor la dimensiuni, formă, poziție; rugozitatea suprafetei reale; precizia realizării rugozității; proprietăți fizico-chimice ale stratului de suprafață; etc.; productivitatea realizării operației; costul operației; eficiența economică a operației), respectiv de valorile impuse de programele pentru ieșiri și procese (documentația tehnică, documentația tehnologică etc.). Din multimea variabilelor de intrare ce caracterizează intrările în sistemul mașină unealtă, procesul de prelucrare dimensională (generare a suprafetei) transformă numai unele variabile (de exemplu, la orice prelucrare prin aşchiere structura din zona interioară a obiectului prelucrării nu este transformată), iar din multimea variabilelor de ieșire sunt relevante funcțional numai variabilele de performanță corespunzătoare obiectivului (scopului) impus sistemului loc de muncă.

Deci, funcția unui sistem concret este proprietatea (proprietățile) utilizate ale sistemului, care transformă multimea mărimilor (variabilelor) de intrare relevante în multimea mărimilor (variabilelor) de ieșire relevante funcțional, în condiții determinate pentru variabilele nerelevante, corespunzător obiectivului (scopului) funcționării sistemului conștient considerat.

Intotdeauna funcția este determinată de mediul sistemului, din punct de vedere al mediului ea fiind o cerință funcțională. Funcția este condiționată de structură, orice sistem divizându-se funcțional în subsisteme specifice.

Starea unui sistem concret la un moment oarecare este multimesa proprietăților relevante ale sistemului la momentul respectiv. Orice sistem are un număr nelimitat de proprietăți, dar numai unele sunt relevante pentru o cercetare particulară, valorile acestora constituind starea sistemului. În unele cazuri interesează pentru cercetare numai două stări posibile (pentru mașina unealta: „funcționează” și „nu funcționează”), în altele interesează un număr mare sau nelimitat de stări posibile (pentru o mașină unealta așchietoare: viteza de așchiere, viteza de avans, forțele de așchiere etc. cu valorile lor). Valorile mărimilor ce definesc proprietățile relevante ale sistemului se exprimă cantitativ putîndu-se măsura cu diverse unități de măsură, respectiv calitativ (pornit, oprit; încis, deschis, etc.).

In afara variabilelor independente sau dependente de procese, orice sistem este caracterizat și de valorile parametrilor, mărimi care nu prezintă nici o dependență de intrări sau de ieșiri.

### 1.2. Sistemele generale și tehnologia.

Așa cum s-a arătat, conceptele teoriei sistemelor s-au afirmat astăzi în cercetările multor științe. Începînd cu unele științe tehnice (automatica etc.), știința organizării și conducerii, economia, biologia, psihologia și altele, toate cultivă conceptele și metodele sistemică, elaborînd modele care, datorită izomorfismului sistemelor, au o deosebită putere de circulație /426/.

In tehnologie – înțeleasă în sens restrîns ca știință a acțiunii ce studiază transformările la care este supusă substanța în procesele tehnologice de lucru și posibilitățile de aplicare eficientă a acestora în vederea obținerii de produse necesare societății, – metoda sistemică a pătruns și se aplică larg doar în cazul unor subramuri, ca de exemplu, tehnologia chimică /160, 161/. In tehnologia construcției de mașini și aparate se constată o rămînere în urmă în acest sens iar faptul, constatat și de alți autori /295/, nu poate avea decît consecințe negative pentru progresul tehnologiei, care cercetează, proiectează, realizează și exploatează sisteme tot mai complexe, vizînd optimizări tot mai avansate.

Se impune ca cercetările începute în această direcție de Kudinov /196/, Poduraev /293/, Poluiianov /295/, Sakalis /377/, Nichic Alting /12/, Crișan /60/, să fie aprofundate, dezvoltînd în continuare știința tehnologiei construcției de mașini, inclusiv prin elaborarea unei teorii generale, care să pună în centrul său conceptele și metodologia oferită de teoria generală a sistemelor /41,

47, 52, 56, 91, 158, 165, 234, 286, 415, 425, 428/.

La abordarea sistemică a tehnologiei se pune în primul rînd problema tipurilor de sisteme tehnologice și a ierarhiei lor.

Indiferent dacă tehnologia este înțeleasă foarte larg, ca mijloc sau capacitate de a realiza o anumită activitate /131/, sau mai restrîns, ca mijloc sau capacitate de a realiza anumite transformări ale substanței în procesele de producție /134, 257, 265, 266, 276/, sistemele elementare în tehnologie le constituie sistemele de acțiune tehnologică la nivel de operație. În afară de aceasta, în întreprinderile industriale există sisteme tehnologice formate din mai multe sisteme de acțiune tehnologică la nivel de operație. Deci, se pot delimita, cu utilitate din punct de vedere al cercetării, două clase de sisteme de acțiune tehnologică:

1. sisteme mici (sisteme de acțiune tehnologică la nivel de operație) ;

2. sisteme mari ierarhizate, formate dintr-o mulțime de sisteme mici (sisteme tehnologice la nivel de atelier; sisteme tehnologice la nivel de secție; sisteme tehnologice la nivel de întreprindere).

Toate aceste sisteme constituie respectiv subsisteme ale unor sisteme de producție ierarhizate de la simplu la complex: loc de muncă, atelier, secție, întreprindere etc. /42, 59, 161, 301/.

Deoarece lucrarea de față cercetează preponderent probleme la nivel de operații tehnologice în construcția de mașini și aparate, în continuare se aprofundează studiul sistemului de acțiune tehnologică la nivel de operație – problemă prea puțin cercetată în literatura de specialitate.

## 2. Sistemul de acțiune tehnologică la nivel de operație în construcția de mașini și aparate.

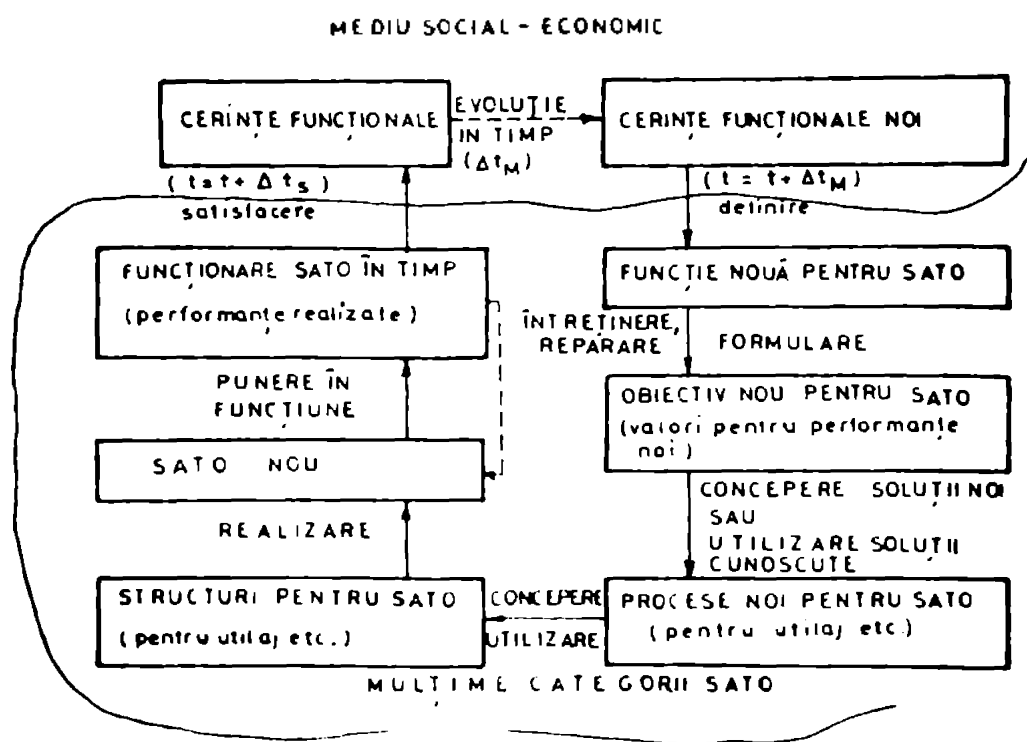
### 2.1. Funcție, obiectiv și variabile ale sistemului de acțiune tehnologică la nivel de operație.

Sistemul de acțiune tehnologică la nivel de operație (SATO) este un caz particular important al sistemului acțiunii umane – obiectul central al științei generale a acțiunii eficiente, al praxiologiei /179, 385, 386/.

Componentele SATO sunt sistemul parțial operator, care realizează cel puțin o parte a proceselor de conducere, și subsistemul utilaj, care realizează procesele de transformare și eventual o parte a proceselor de conducere din SATO.

SATO este un subsistem al sistemului loc de muncă (SLM), fiind caracterizat de un număr mai mic de componente și legături decât SLM /301/. Sistemul loc de muncă include în componența sa în plus mobilierul tehnologic, iar față de legătura (conexiunea) internă a SATO operator-utilaj, de tip preponderent informațională, prezintă în plus alte trei legături specifice, una internă referitoare la condițiile de muncă (poziție, ritm, regim de intreruperi) și două legături externe, referitoare la condițiile mediului ambient fizico-chimice (iluminat, cromatică, zgomot, vibrații, temperatură, radiații, umiditate, circulație a aerului, compoziție a aerului etc.) respectiv la ambianța psihologică.

Mulțimea cunoscută a SATO a apărut în timp o dată cu dezvoltarea producției, a științei și tehnicii, ca o necesitate social-economică, satisfăcând o mulțime de cerințe funcționale ale mediului social-economic. Cerințele funcționale noi ale mediului impuneau periodic noi performanțe, defineau noi funcții, se formulau noi obiective, se concepeau noi procese, noi utilaje tehnologice, noi SATO (fig.2.1).



**Fig.2.1. Etape în ciclul de viață al sistemelor de acțiune tehnologică la nivel de operație (SATO)**

Funcția SATO este realizarea unor acțiuni (procese) fizico-chimice caracteristice operației, pentru transformarea intrărilor (corpuri supuse lucrării, material de adăos, energie primară etc.) în ieșiri (corpuri rezultat al lucrării etc.) de calitate optimă, cu înaltă productivitate și eficiență, la un cost tehnolo-

gic minim pentru tipul de producție dat /301, 302/.

Funcționarea SATO, la fel ca a oricărui sistem concret, integrează procese la toate nivelurile: informational, energetic, substanțial. Din multimea nelimitată a variabilelor ce caracterizează legăturile (conexiunile) informative, energetice, substanțiale ale SATO cu mediul, procesele realizate de SATO transformă numai unele variabile.

Din punctul de vedere al proceselor de conducere (fig. 1.1) SATO este considerat multivariabil, în sensul că multimea limitată a variabilelor transformate este compusă din submultimea variabilelor de intrare (divizată, la rîndul ei, în submultimile variabilelor comandate respectiv necomandate) și din submultimea de ieșire (divizată la rîndul ei, în submultimile variabilelor de performanță, respectiv intermediare).

Tinînd seama /301/ și de elementele procesului decizional (criterii de decizie, obiective, restricții, consecințe etc.) se pot identifica categoriile de variabile pentru operațiile tehnologice de fabricare ce pot fi realizate de multimea cunoscută a tipurilor de SATO (fig.2.2).

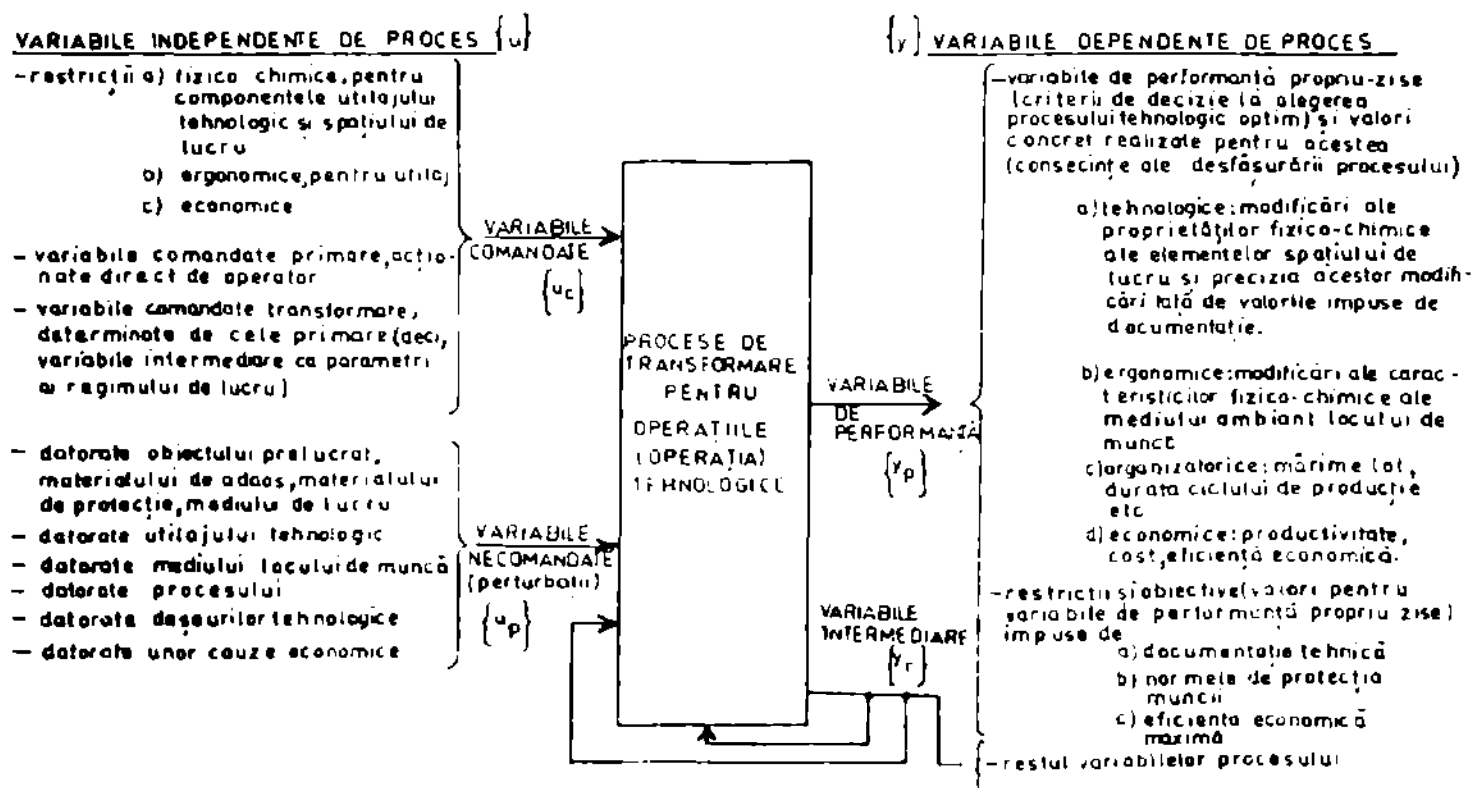


Fig.2.2. Categoriile de variabile pentru operațiile tehnologice de fabricație.

Obiectivul SATO, care în sens larg include și restricții impuse pentru ieșiri (limite ale valorilor admise pentru variabilele de performanță), este deci definit de valorile variabilelor de performanță  $\{y_p\}$  prescrise de documentația tehnică, normele de

protectia muncii, eficiența economică maximă.

De exemplu, în cazul prelucrării dimensionale prin eroziune electrică cu copierea formei electrodului, obiectivul SATO este definit în fiecare caz concret de valorile pentru variabilele de performanță: complexitatea analitică a suprafețelor necesare de a fi prelucrate; dimensiunile acestor suprafețe geometrice; precizia dimensională impusă pentru suprafețele reale referitor la dimensiuni, formă, poziție; rugozitatea impusă suprafețelor reale; proprietățile fizico-chimice impuse stratului de suprafață a suprafețelor reale; productivitatea realizării operațiilor; costurile maximale ale realizării operațiilor etc.

## 2.2. Structura sistemului de acțiune tehnologică la nivel de operație.

Structura unui sistem este definită în esență de totalitatea componentelor sistemului și a legăturilor (conexiunilor) dintre ele. Identificarea structurii unui sistem poate fi considerată și ca primă etapă a modelării, care în general elaborează succesiv modele iconografice (structurale) – modele analogice (fizice) – modele logice (relații calitative între variabile) – modele matematice (relații matematice între variabile) /9, 42, 57, 160, 269, 344/.

### 2.2.1. Componentele sistemului.

Componentele sistemului SATO și principalele legături între ele sunt prezentate în figura 2.3, modelul structural conceput fiind valabil pentru orice metodă sau procedeu de lucru utilizat în construcția de mașini și apарате.

Pe baza analizei funcționale a metodelor și procedeeelor de fabricare cunoscute /77, 80, 257, 291, 292, 315, 380, 468/ și aplicate în construcția de mașini, se definesc în continuare principalele componente ale SATO : Mașina de fabricare MF este sistemul tehnic construit în cea mai mare parte din organe solide cu mișcări relative determinate, care transformă o formă oarecare de energie primară  $E_{12}$  în energie stereomecanică  $E_{21}$  (transferată sub formă de lucru mecanic al unor corpură rigidă în mișcare), utilizată direct pentru prelucrarea, asamblarea sau dezasamblarea unor corpură supuse lucrării CSL (fabricării sau reparării). Aparatul de fabricare AF este sistemul tehnic constituit cel puțin în parte din organe solide, imobile sau și mobile, care, excluzând energia stereomecanică, transformă o formă de energie  $E_{12}$  în alta  $E_{21}$ , utilizată direct pentru prelucrarea, asamblarea sau dezasamblarea unor corpură

390.900  
303 ₣

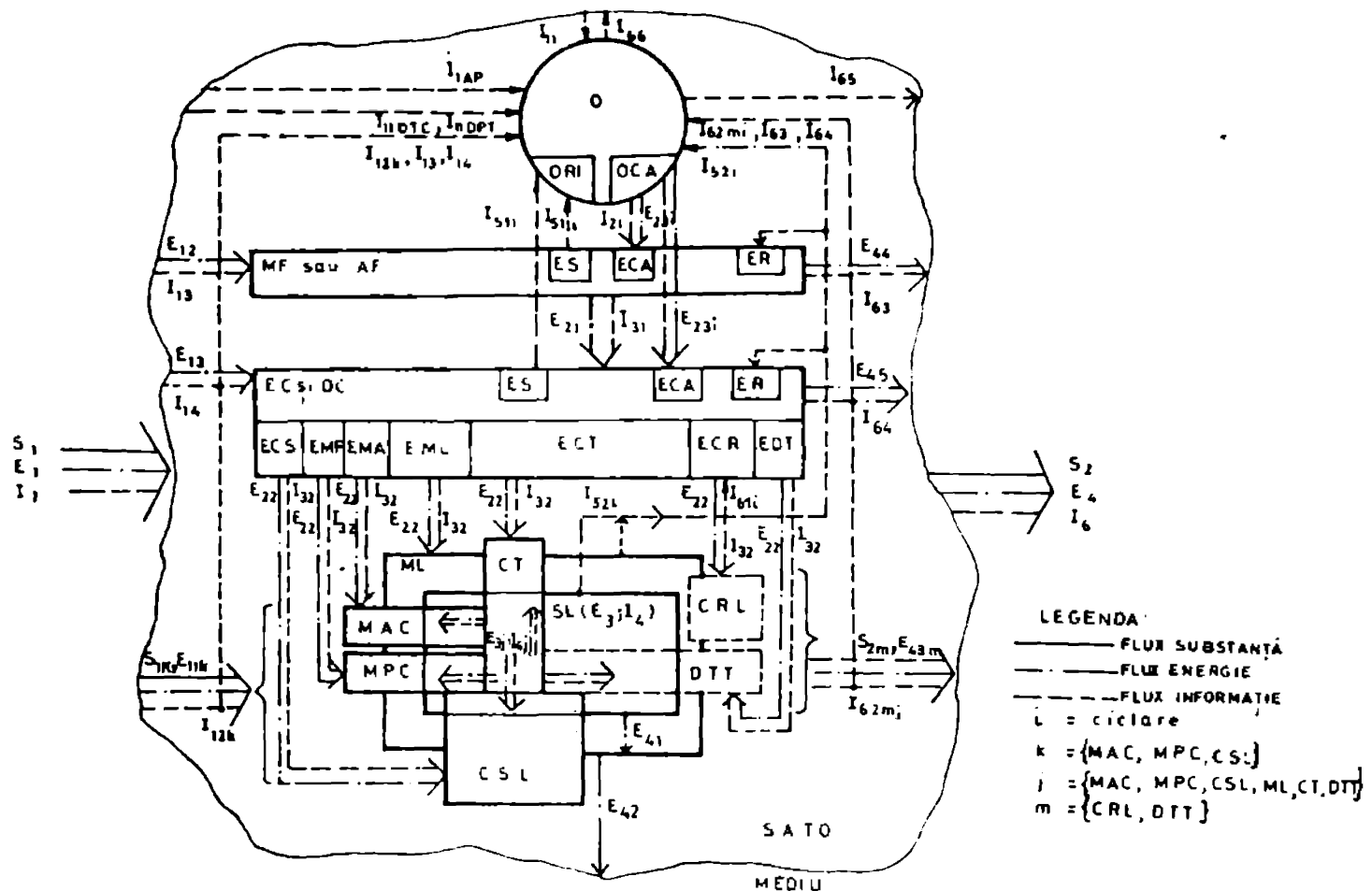


Fig.2.3. Model structural al sistemului de acțiune tehnologică la nivel de operație (SATO).

supuse lucrării. În cadrul SATO, MF sau AF sunt subsistemele tehnice principale. Un echipament de completare EC este definit ca un subsistem al SATO care completează funcțiile lipsă ale MF sau AF, transformând în energie secundară  $E_{22}E_C$ , energia primară  $E_{13}$  absorbită din mediul SATO, independent de energia  $E_{12}$ , absorbită de MF, AF. Un dispozitiv DC este definit ca EC particular, ce nu absoarbe energie primară de la mediul SATO. Un corp de transfer CT este definit ca un subsistem al SATO ce transferă în principal, la locul de desfășurare a procesului, energie secundară și informația necesară transformărilor specifice operației tehnologice respective și/sau transferă de la locul desfășurării procesului înspre mediul SATO energie necesară transformării absorbită de CSL într-o operație prealabilă (de exemplu, în cazul unor operații de prelucrare dimenziunală la cald, prin turnare, forjare etc., cînd CSL a fost topit respectiv încălzit în prealabil). Mediul de lucru ML este definit ca un subsistem al SATO constituit din corpul fluid care înaintea acțiunii CT este în contact cu corpul supus lucrării CSL, iar după începerea acțiunii CT este înălțurat mecanic de la suprafața CSL supusă acțiunii CT, sau este supus unor transformări fizice chimice determinate

de participarea sa la constituirea sau/și existența CT. Spațiul de lucru SL este un subsistem al SATO, definit ca volum, considerat în dinamica sa, ce cuprinde porțiunile din corpul supus lucrării CSL, corpul de transfer CT, mediul de lucru ML, materialul de adaos MAC, materialul de protecție MPC și deșeul tehnologic DTT, în care se manifestă interacțiunile componente ale procesului ce realizează transformările (intrări-proces-iesiri) specifice operației tehnologice respective. Echipament tehnologic ET se numește ansamblul elementelor {CT, EC, DC}, iar utilaj tehnologic UT se numește ansamblul {MF, AF, ET} la nivel de operație.

Corpurile supuse lucrării CSL sunt principalele intrări substanțiale ale SATO și împreună cu materialele de adaos MAC respectiv materialele de protecție MPC constituie intrările, transformate în cadrul SL în corpurile rezultat al lucrării CRL ca principale ieșiri substanțiale ale SATO; deșeurile tehnologice totalizate DTT sunt ieșiri substanțiale ale SATO definite ca partea transformată din elementele SL care rezultă în urma desfășurării operației tehnologice și constituie resturi ce nu mai pot fi valorificate în cadrul aceleiași operații.

Materialele de adaos MAC sunt distințe de celelalte elemente ale SL și în cadrul proceselor, împreună cu corpurile CSL (iar parțial cu CT, ML), sunt incorporate în ieșirile CRL de caracteristici impuse, în deosebi la operații de elaborare, tratament, suprafațare și sudare. Materialele de protecție MPC a corpuriilor CSL sau CT realizează protecția acestora împotriva unor procese nedorite, ca de exemplu: încorporări de deșeuri DTT (la operații de elaborare, turnare, sudare etc.), formări de anumite deșeuri tehnologice (la operații de încălzire, tratament, aşchiere), uzări prin frecare, eroziune etc.(la operații de deformare plastică la rece, aşchiere, eroziune electrică). MPC sunt distințe de celelalte elemente ale SL numai dacă nu pot forma soluții sau suspensii în mediul de lucru ML, în materialul de adaos MAC etc.

Trebuie remarcat faptul că structura generală a spațiului de lucru SL prezentată în figura 2.3 este realizată la relativ puține operații (de exemplu, la operații de elaborare a unor materiale metalice, de sudare cu flacără). În majoritatea cazurilor SL nu cuprinde simultan toate elementele CSL, CT, ML, MAC, MPC, DTT , fie din cauza specificului operației, care nu necesită funcțional unul din elemente, fie din cauza concentrării unor elemente într-un singur corp.

In cazurile cind în cadrul unei operații sunt necesare

succesiv mai multe tipuri de corpuri de transfer CT, SATO devine o mulțime de sisteme de acțiune tehnologică pentru o fază SATF, prin fază înțelegindu-se o parte din operație ce realizează un subobiectiv tehnologic (de exemplu, prelucrarea unei singure suprafete a CSL) cu ajutorul aceluiași CT (de exemplu, sculă) și cu același regim de lucru, adică cu aceeași parametri ai livrării energiei secundare  $E_{22}$  de către UT.

Dacă prin schimbarea corpului de transfer CT nu se modifică procedeul tehnologic, între SATO și SATF nu există decât deosebiri de extindere ale limitelor domeniului parametrilor regimurilor de lucru, SATF fiind un caz particular al SATO. În cazul modificării procedeului tehnologic, o dată cu schimbarea CT survine o înlocuire a însăși procesului, apărînd un alt SL (de exemplu, la o operație de burghiere executată pe strung), caracterizat de alt tip de proces.

Modelul SATO elaborat și comentat aici are un caracter structural-funcțional general. Modelele particulare utilizate în cercetare aprofundează de fapt din cadrul modelului general o anumită parte, funcție de obiectivul cercetării. De exemplu, Kudinov /196/ dezvoltă modelul SL, pe cînd Simon /363/ dezvoltă modelul MF pentru operații de aşchiere. Definirea elementelor din care este compus sistemul nu este constantă și se aplică numai în raport cu cercetarea unei anumite probleme.

### 2.2.2. Conexiunile sistemului.

Conexiunile sunt anumite relații (legături reciproce), anumite interacțiuni între obiecte și procese, ca și între proprietățile acestora.

In configurația sistemelor se disting două tipuri (respectiv două categorii) de conexiuni sau relații /386/:

1) de subordonare, care privesc raportul dintre întreg și parte, adică dintre sistem și elementele componente (conexiuni interne), respectiv dintre sistem și suprasistem (conexiuni externe);

2) de coordonare, care privesc fie raporturile dintre elemente în cadrul sistemului (conexiuni interne, care impun o analiză structurală), fie raporturile dintre sisteme în cadrul mediului acestora, sau dintre elemente ale unor sisteme diferite (conexiuni externe care impun o analiză funcțională).

Conexiunile interne ale oricărui sistem sunt mult mai puternice decît legăturile sistemului cu mediul său exterior.

Conexiunile interne ale SATO pot fi în principal /43/:

A) de interacțiune; B) de transformare; C) de conducere.

A. Conexiunile de interacțiune reprezintă cele mai largi clase de conexiuni care, într-un fel sau altul, se manifestă în toate celelalte varietăți de conexiuni. În cadrul SATO ele necesită pentru fiecare element subsisteme specifice de interconectare (fig.2.3) care sunt: organele de recepție OR și organele de comandă-acționare OCA ale operatorului O; echipamentul de semnalizare ES, echipamentul de comandă și acționare ECA și echipamentul de recepție ER pentru cazul MF, AF și EC sau DC; echipamentele specifice ale EC și DC, necesare fiecărui element al SL (ECS, EMA, EMP, EML, ECT, ECR, EDT).

B. În cazul conexiunilor de transformare pot fi distinse fie conexiuni realizate prin intermediul unui anumit component al SATO care asigură transformare (de exemplu, transformarea energiei  $E_{12} \rightarrow E_{21}$  realizată de MF sau AF), fie conexiuni realizate pe căile interacțiunii nemijlocite dintre două sau mai multe elemente ale SATO. Ultimele se desfășoară în cadrul proceselor din SL și datorită lor componente SL, separat sau împreună, trec dintr-o stare în alta (de exemplu, interacțiunile energetice, informaționale și substanțiale între CSL, CT, ML, MAC, MPC, DTT realizate în SL, ca urmare a transferului energiei secundare  $E_{22}$  și a informației  $I_{32}$  la componente SL). Fiecare tip de flux al transformărilor prezintă particularități distincte. Astfel :

a). Transformările informaționale prezintă particularitatea că, pe lîngă fluxul determinant al informațiilor de conducere ( $I_{11} \rightarrow I_{21} \rightarrow I_{31}$ ), fiecare componentă al SATO poartă structural informație proprie necesară și transferată în SL, pentru desfășurarea procesului de transformare caracteristic operației (fig.2.3). Astfel, purtători de informație geometrică pentru CRL sunt MF, AF, EC, DC, CT, CSL, iar purtători de informație pentru timpul și succesiunea evenimentelor în SL sunt MF, AF, EC, DC, SL .

b). Transformările energetice constau din punct de vedere funcțional din succesiunea:  $E_1 \rightarrow E_2 \rightarrow E_3 \rightarrow E_4$ , în care:  $E_1$  este energia primară (de intrare), absorbță de la mediul SATO;  $E_2$  este energia secundară ce poate avea orice natură fizică, fiind transferată cu caracteristicile necesare componentelor subsistemului SL {CSL, CT, ML, MAC, MPC, DTT} cît și CRL, de către componente SATO (MF, AF sau EC) ;  $E_3$  este energia terțiară (energia de efect) ce poate fi în general mecanică, termică, chimică, electrochimică, fiind energia necesară transforțărilor fizico-chimice din SL, specifice

operătiei realizată de SATO;  $E_4$  este ieșirea de natură energetică a SATO, atât în ce privește CRL, DTT ( $E_{43m}$ ) cît și cea disipată ( $E_{42}$ ). Acest flux energetic realizat de SATO este o consecință a modificării energiei totale initiale a SATO, respectiv a subsistemului SL. În principiu, componerea energiei totale initiale a unui sistem fizic neizolat este dată de relația :

$$E_{tot_i} = E_{int_i} + E_{ext_i} = E_{ipi} + E_{ppi} + E_{ext_i} /J/ \quad (2.1)$$

în care:  $E_{int_i}$  este energia interioară inițială, care depinde numai de mărimele de stare interne;  $E_{ext_i}$  – energia exterioară inițială, de interacțiune cu exteriorul;  $E_{ipi}$  – energia inițială de interacțiune a părților sistemului;  $E_{ppi}$  – energia proprie a părților sistemului. În timpul funcționării SATO, energia  $E_2$  transferată la componente SL determină creșterea energiei totale a sistemului SL, prin creșterea energiei interioare, respectiv a energiei exterioare. La atingerea unui anumit nivel energetic în spațiul de lucru se manifestă energia de efect  $E_3$ , caracteristică operației considerate, această energie determinând de fapt transformările fizico-chimice specifice.

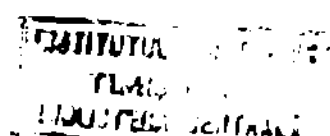
c). Transformările substanțiale ale intrărilor CSL, MAC, MPC, respectiv de CT în ieșiri CRL și DTT sunt de fapt o consecință a transformărilor energeticо-informationale, prezintind simultan modificări ale proprietăților fizico-chimice de material și modificarea la CSL, CT și formei, dimensiunilor, poziției reciproce, calității suprafețelor de delimitare. Aceste modificări sunt în concordanță cu funcția SATO: realizarea anumitor caracteristici de material, respectiv generarea suprafețelor. Fluxurile de transformare în SATO se desfășoară strins corelat, procesele informationale și energetice fiind în general mai complexe ( $I_1 \rightarrow I_3$ ;  $E_1 \rightarrow E_4$ ;  $S_1 \rightarrow S_2$ ). Procesele de transformare a substanței în conformitate cu obiectivul SATO sunt consecința transferului diferențiat al informației în SL (cu preponderență la CSL – CRL și MAC), prin intermediul transferului diferențiat al energiei (cu preponderență la CT-CSL și MAC), în condițiile realizării unui potențial generat P<sub>g</sub> în spațiul de lucru SL (§.5.5.2).

C. Conexiunile de conducere sunt o varietate a conexiunilor funcționale, fiind importante generatoare de sisteme. SATO nu poate exista fără conexiunile de conducere la nivel de sistem și la nivel de subsistem C, MF, AF, EC. Modelul din figura 2.3 pune în evidență numai cele mai importante conexiuni directe și

inverse sau interne între elemente și între intrări-iesiri. Datorită specificului proceselor din SL, în cadrul SATO studiat comenziile sunt în general discontinue, apărind în consecință o ciclare  $i = 1, 2, 3, \dots, n$  a informațiilor (fig.2.3).

Conexiunile externe ale SATO sunt bogate și variate, în cadrul categoriilor de intrări și ieșiri de substanță, energie și informație. Indiferent de gradul de automatizare a SATO, adică de ponderea participării operatorului O la funcționarea și conducerea SATO, conexiunile informaționale de subordonare  $I_{11}, I_{66}$  sunt esențiale pentru funcționarea și conducerea SATO.

In tabelul 2.1 se caracterizează în esență componentele, legăturile și categoriile de mărimi (variabile) relevante ale SATO.



Tabelul 2.1.

Componente, legături și categorii de mărimi pentru SATO

Legătură (conexiune)		Element (sistem) a cărui caracteristică (iesire) / Mărimile (mărimile) caracterizată de :	
Denumirea elementului(lor) sau componentelor	Simbol	Flux de transformare	Denumirea mărimii (lor) sau variabilelor principale ale componentelor
Principal realizat	realizat	a) Apartenență la: b) Funcție principala în SATO	Natură pentru procesul realizat de SATO
1	2	3	4
Operator	C	I <sub>1</sub> &I <sub>1</sub> & I <sub>5</sub> &I <sub>6</sub> → I <sub>2</sub> & &I <sub>7</sub> &I <sub>8</sub> → E <sub>23</sub>	Denumirea mărimii (lor) sau variabilelor principale ale componentelor - nivel calificare a) la SATO cel puțin ca reglaj, controlor, supraveghetor. b)-conducere SATO
Legături interne	mășină (aparăt) de fabricare	E <sub>12</sub> → E <sub>21</sub> & I <sub>15</sub> &I <sub>M(A)F</sub> &I <sub>52</sub> → I <sub>31</sub> &I <sub>63</sub>	-tip (metodă, proces deu tehnol.) b)-livrare:energie, partajal informație SATO -parțial conducere SATO -rigiditate la circuit E <sub>2</sub> -limite param.gabarit CSL -limite param.regim tehnol. -disponibilitate

Tabelul 2.1 - continuare

1	2	3	4	5	6	7	8
echipa- ment(e) de completare	EC $E_{13} \rightarrow$ $\rightarrow E_{22 \& E_{45}}$ $I_{14} \& I_{EC}$ $\& I_{52} \rightarrow$ $\rightarrow I_{21 \& I_{64}}$	a) la SATO b) completarea funcțiilor MF sau AF	-tip (proceden tehnol. sau acțiune de servi- re) -putere maximă -rigiditate la circuit $E_2$	-tip (proceden tehnol. sau acțiune de servi- re) -putere maximă -rigiditate la circuit $E_2$	-tip (proceden tehnol. sau acțiune de servi- re) -putere maximă -rigiditate la circuit $E_2$	-varia- bile coman- date	-varia- bile coman- date
dispozitii- ve(e) de com- pletare (ca suben- samblu dis- tinct de MF sau AF)	DC $I_{14 \& I_{DC}} \rightarrow$ $\rightarrow I_{21 \& I_{64}}$ transfer $E_{21 \& E_{13}}$	a) la SATO b) completarea funcțiilor MF sau AF sau EC	-tip (procedeu tehnol. sau acțiune de servi- re) -rigiditate la trans- fer $E_2$	-tip (procedeu tehnol. sau acțiune de servi- re) -rigiditate la trans- fer $E_2$	-tip (procedeu tehnol. sau acțiune de servi- re) -rigiditate la trans- fer $E_2$	-varia- bile coman- date	-varia- bile coman- date
legă- turi in- terne	corp(uri) de transfer	a) la SATO b) $E_{22CT} \rightarrow$ $I_{CT} \& I_{32CT} \rightarrow$ $\rightarrow I_4$ $I_{4CT} \rightarrow$	-tip (procedeu tehnol.) -caracteristici de ma- terial -caracteristici de formă și dimensiunale -parametri regim teh- nologic și cinematic transferat	-tip (procedeu tehnol.) -caracteristici de ma- terial -caracteristici de formă și dimensiunale -parametri regim teh- nologic și cinematic transferat	-varia- bile co- mandate	-varia- bile coman- date	-varia- bile coman- date

Tabelul 2.1. - continuare

1	2	3	4	5	6	7	8
mediu de lucru	ML	ML transfer E22ML I <sub>ML</sub> &I <sub>32ML</sub> → I <sub>4</sub> → E <sub>41</sub> → I <sub>4KL</sub>	a) la SATO b)-transfer ener- gie in SL, prepon- derent DTF, CSL, CT -livrare și -transfer informa- ție in SL	-caracteristici de ma- terial -parametri regim tehno- logic și cinematic -transferat	-restric- ții variabile coman- date		
spațiu de lucru	SL	I <sub>3</sub> → I <sub>3j</sub> I <sub>4</sub> → I <sub>4j</sub> S <sub>1k</sub> → S <sub>2n</sub> E <sub>11k</sub> → E <sub>43m</sub> I <sub>12k</sub> → I <sub>62m</sub> E <sub>42</sub> →	a) la SATO b) realizarea pro- ceselor specifice operării	-caracteristici fiz- ico-chimice	variabile variabile inter- media- re		
corp(uri) supus(e) lucrării	CSL	transfer E22CS I <sub>CSL</sub> &I <sub>32CS</sub> → I <sub>4</sub> → S <sub>1CS</sub> →	a) la mediul SATO ; la SATO în decur- sul procesului o- perațional b) legătură sub- stanțială și in- formatiională cu mediul SATO	-caracteristici de ma- terial -caracteristici de for- mă și dimensiionale	variabile variabile	variabile neco- menda- te	
materi- al(e) de adaos	LAC	transfer E22MA I <sub>MAC</sub> &I <sub>32MA</sub> → I <sub>4</sub> → I <sub>4MC</sub> → S <sub>1MA</sub> →	a) la mediul SATO ; la SATO în decur- sul procesului o- perațional b) legătură sub- stanțială și in- formatiională cu mediul SATO	-caracteristici de ma- terial -caracteristici de for- mă și dimensiionale	variabile variabile	variabile variabile	
In- trări				-parametri regim tehno- logic și cinematic -transferat	variabile variabile	variabile variabile	

Tabelul 2.1. - continuare

1	2	3	4	5	6	7	8
materiale (e) de protecție și CSL, MAC, CT, CRL, UT	MPC transfer EMP I <sub>MPC</sub> &I <sub>32MP</sub> → I <sub>4</sub> → I <sub>4MP</sub> → S <sub>1MP</sub> → E <sub>1</sub> → I <sub>1E1</sub>	a) la mediul SATO; la SATO în decursul procesului operațional b)-legătură substanțială și informațională cu mediul SATO -protectie elementelor SATO și realizarea performanțelor	-caracteristici de material -caracteristici de formă și dimensiunale -parametri regim transfer	variabile variabile variabile transformate	variabile necomandate	variabile necomandate	variabile necomandate
energie primară		a) la mediul SATO b) legătură energetică cu mediul SATO	-caracteristici de tip și debitarea în timp	variabile	variabile	variabile	variabile
In-trări	DTC I <sub>11DTC</sub> →	a) la mediul SATO; la SATO în decursul procesului operațional b)-legătură informațională cu mediul SATO -memorizare obiective pentru SATO	-caracteristici fizico-chimice ale CRL (eventuale DTT) -caracteristici fizico-chimice (parțial) ale CSL, MAC	restricții și obiective	variabile necomandate sau comandate	variabile de performanță	variabile comandate
documentație tehnologică pentru CRL și parțial pentru CSL, MAC	DPT I <sub>11DPT</sub> →	a) la mediul SATO; la SATO în decursul procesului operațional b)-legătură informațională cu mediul SATO	-caracteristici UT -caracteristici CSL, MAC, MPC -nivel calificare pt.operatie -parametri regim tehnologic și cidental	restricții variabile primare			

Tabelul 2.1. - continuare

1	2	3	4	5	6	7	8
informații pentru antcipare perturbării	IAP	I <sub>1</sub> A <sub>P</sub> →	a) la mediul SATO b) legături informaționale cu mediul SATO	-memorizare parametri optimi regim proces tehnologic	-precizie caracteristică DTC -productivitate operație (N <sub>T</sub> )	obiectivă	variabile de performanță.
corp(uri) rezultat al lucrării	CRL	I <sub>6</sub> li → transfer S <sub>2CR</sub> , E <sub>43CR</sub> , I <sub>62CR</sub>	a) la mediul SATO b) legătură substanțială, energetică, informațională cu mediul SATO	-caracteristici de material -caracteristici de formă și dimensiune -precizie caracteristică CRL -productivitate operație -cost tehnologic.	variabile	variabile de performanță și intermediare	variabile de performanță și intermediare
jeșiri tehnologice(totale)	DTR	transfer E <sub>22DT</sub> &E <sub>43</sub> , S <sub>2DT</sub> → I <sub>32DT</sub> &I <sub>4DT</sub> → I <sub>62DT</sub>	a) cu mediul SATO b) legătură substanțială, energetică, informațională cu mediul SATO	-caracteristici de material -caracteristici de formă și dimensiune -caracteristici de debitare -pret valoificare	variabile	variabile de performanță și intermediare	variabile intermediiare
informații de legătură pentru mediul SATO	I <sub>65</sub>	I <sub>65</sub> →	a) la mediul SATO b) legătură informațională cu mediul SATO	-caracteristici fizico-chimice ieșiri	variabile		

Tabelul 2.1. - continuare

1	2	3	4	5	6	7	8
informații de raportare către sistemul supraordonat	I <sub>66</sub>	I <sub>66</sub> →	a) I <sub>6</sub> mediul SATO b) legătură informațională cu mediul SATO	-caracteristici realizate de SATO față de obiectivele I <sub>11</sub>	variabile intermediiare.	variabile intermediiare.	variabile intermediiare.
energie finală	R <sub>4</sub>	E <sub>4</sub> →	a) I <sub>6</sub> mediul SATO b) legătură energetică cu mediul SATO	-caracteristici de tip și debitare în timp	variabile intermediiare.	variabile intermediiare.	variabile intermediiare.

### 2.3. Tipuri de modele pentru sistemul de acțiune tehnologică la nivel de operație.

Modelarea, cu vastele ei aplicații în știința contemporană, nu este altceva decât o formă complexă a raționamentului prin analogie. Deși reclamă precauții, ea se dovedește deosebit de fertilă în procesul aplicării și înțelegерii unor fenomene complexe și greu accesibile cunoașterii directe.

Modelul și modelarea nu presupun abandonarea cercetării directe, experimentale a obiectului, ci, dimpotrivă, conduc la stimularea cercetării sistemului original. În cazul cînd originalul nu este apt, din diferite motive, pentru o cercetare experimentală, se desfășoară cercetarea experimentală pe model și apoi se transferă, cu circumspectie, unele concluzii asupra originalului. Acest "transfer" incumbă întotdeauna atît pericolul unei simplificări nedismise a originalului, cît și pericolul atribuirii către acesta a unor proprietăți care sunt specifice modelului.

De aceea, valoarea unui model într-o disciplină experimentală poate fi judecată cel puțin din două puncte de vedere:

- al capacitatei sale de cuprindere a faptelor experimentale stabilite și

- a valorii de adevăr a ipotezelor implicate de model.

Cînd ipotezele unui model sunt dovedite experimental ca fapte fizice, modelul în cauză devine teorie.

Formularea unei teorii, ca un concept ce se propune pentru un aspect al realității studiate, se poate denumi deci „construirea modelului”, teoria reprezentînd un model calitativ sau cantitativ (matematic) al realității.

Nu există reguli prestabilite privind construirea de modele în științe. Actul modelării presupune, totuși, trei etape generale importante :

- a) construirea modelului;
- b) acțiunea asupra modelului și studierea proprietăților sale;
- c) transferul sau extrapolarea unor concluzii de la model la original.

Dintre tipurile de modele posibile: iconografice (structurale), analogice (fizice), funcțional-procedurale (succesiunea fazelor unui proces ce trebuie executat pentru realizarea scopului), logice (relații calitative între variabile) și matematice (relații matematice între variabile), ultimele prezintă importanță deosebită și pentru sistemele de acțiune tehnologică la nivel de

operătie, pentru cercetarea, proiectarea și optimizarea acestora.

Modelele matematice sunt constituite dintr-un sistem de relații matematice între variabilele sistemului (procesului) concret modelat, cu sau fără restricții. În general modelele matematice pot fi deterministe (formale), variabilele fiind legate între ele numai prin relații funcționale, sau probabiliste (stochastice), în care intervin și variabile aleatoare.

Modelele matematice pot fi /9, 86, 344, 424, 469/ ale sistemelor (modele pentru proiectare, modele pentru exploatare etc.) sau ale proceselor (modele deductive respectiv predictive; modele statice respectiv dinamice).

. Un model deductiv este alcătuit dintr-o ecuație sau sistem de ecuații și eventual restricții, care permit deducerea unei variabile nemăsurate pe baza celorlalte variabile măsurate. Un model predictiv reprezintă un sistem de relații care stabilesc legătura dintre variabilele dependente și independente ale procesului, indiferent dacă sînt sau nu măsurabile, permitînd prevederea răspunsului procesului la modificarea variabilelor de intrare.

Modelul staționar descrie relații valabile în regim staționar, pe cînd modelul dinamic descrie relații valabile atît în regim staționar cît și în regim tranzitoriu.

Modelele matematice ale sistemelor de acțiune tehnologică la nivel de operație prezintă, în sens larg, aceeași diversitate de tipuri și probleme, trebuind să fie corelate cu modelul structural al SATO (fig.2.3). În formulare generală, modelul matematic al SATO se poate exprima printr-o dependentă funcțională de tipul:

$$\vec{Y} = \vec{F} (\vec{U}, K) \quad (2.2)$$

în care:  $\vec{F} (\vec{U}, K)$  – vector funcție de vectorul  $\vec{U}$  al variabilelor de intrare ale SATO;  $\vec{Y}$  – vectorul variabilelor de ieșire ale SATO ;  $K$  – parametrii constructivi și tehnologici ai componentelor SATO.

Deci, SATO poate fi considerat un operator tehnologic ce transformă calitativ sau/și cantitativ variabilele sale de intrare în variabilele sale de ieșire, conform obiectivului impus pentru SATO.

Că la orice sistem dinamic (cu evoluție în timp), struc-tura internă a SATO poate fi caracterizată cu ajutorul unor mărimi interne, numite variabile de stare  $\vec{X}$ . Recaționînd sistemul și sta-sindu-i vectorul de stare  $\vec{X}$ , ecuația vectorială (2.2) se poate des-compune în două ecuații :

$$\vec{X} = \vec{G} (\vec{U}, K) \quad (2.3)$$

$$\vec{Y} = \vec{H} (\vec{X}, \vec{U}, K) \quad (2.4)$$

Intotdeauna, ecuațiile (2.2) sau (2.3) și (2.4) se caracterizează diferit și distinct în funcție de obiectivul cercetării.

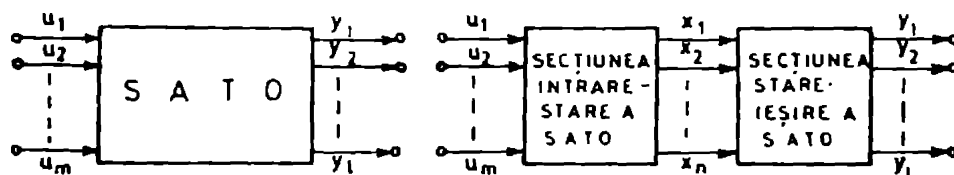


Fig.2.4. Scheme simbolice generale pentru SATO.

### 3. Sisteme de acțiune tehnologică pentru operații de prelucrare dimensională în construcția de mașini și aparate.

#### 3.1. Particularități funcționale ale sistemelor de acțiune tehnologică pentru prelucrare dimensională.

##### 3.1.1. Funcție, obiectiv și variabile de performanță.

Prelucrarea dimensională are cea mai mare pondere în cadrul operațiilor de fabricare desfășurate în construcția de mașini și aparate, putind fi realizată cu o mare diversitate de metode și procedee tehnologice /257/.

Funcția SATO pentru prelucrarea dimensională este generarea suprafeței piesei prin transformarea intrărilor relevante funcțional (obiectul sau corpul supus prelucrării, materialul de adăos, materialul de protecție, energia primară, informația purtată de unele componente ale spațiului de lucru, comenzi date de operator sau purtătorul de program) în ieșiri relevante funcțional (piesă, deșeurile tehnologice, energia evacuată de mediu). În general, procesul de generare a suprafeței reale realizează la o piesă o anumită suprafață, cu proprietăți geometrice și fizico-mecanice determinate.

La orice tip concret de SATO pentru prelucrare dimensională funcția derivă din obiectivul sistemului loc de muncă respectiv, definit parțial de valorile variabilelor de performanță  $\{y_p\}$  ale procesului de generare a suprafeței. Aceste sunt: 1.complexitatea analitică a suprafeței geometrice; 2.dimensiunile suprafeței geometrice; 3.precisiona dimensională a suprafeței reale,

referitor la dimensiuni, formă, poziție; 4.rugozitatea suprafeței reale; 5.precizia de realizare a rugozității; 6.caracteristicile fizico-chimice ale materialului piesei; 7.precizia de realizare a acestor caracteristici; 8.caracteristicile fizico-chimice ale stratului de suprafață al piesei; 9.precizia de realizare a acestor caracteristici; 10.modificările caracteristicilor fizico-chimice ale mediului ambiant spațiului de lucru; 11.productivitatea operației; 12.costul operației; 13.eficiența economică a operației.

Variabila 1 definește gradul de complexitate geometrică a suprafeței piesei, iar variabilele 1...7(9) definesc gradul de dificultate a prelucrării dimensionale, ca variabile de performanță aggregate ale SATO pentru prelucrare dimensională, respectiv ca proprietăți (caracteristici) ale sistemelor denumite piese.

Deși prezintă o importanță deosebită în elaborarea decizilor optime referitoare la procese de prelucrare dimensională, definirea și cuantificarea acestor variabile aggregate (care constituie implicit și criterii de decizie) este încă nesoluționată în literatura de specialitate. În continuare se cercetează mai îndea-proape <sup>a</sup>acestă problemă, pentru cazul general al prelucrării dimensionale.

### 3.1.2. Complexitatea suprafeței piesei și gradul de dificultate a prelucrării dimensionale.

Sistemele de acțiune tehnologică pentru prelucrarea dimensională au ca obiectiv realizarea unor ieșiri obiecte semifabricate sau piese cu caracteristici prescrise, prin constituirea sau modificarea formei, dimensiunilor, poziției reciproce și calității suprafețelor, pornind de la intrările corp supus prelucrării (material respectiv obiect semifabricat), material de adaos și material de protecție.

Piesele și obiectele semifabricate sunt delimitate de mediul lor prin suprafețe reale, caracterizate prin număr, tip, dimensiuni, poziție relativă și calitate a suprafețelor elementare componente. O secțiune a suprafeței reale determină profilul real al acesteia. Caracteristicile suprafeței reale sunt impuse de funcția obiectului sau piesei în sistemul ce le va transforma sau încorpora și constituie mărimi de ieșire ale SATO concrete ce le-su realizat.

Indiferent de sistemele de acțiune tehnologică la nivel de operație (SATO) ce au realizat-o, suprafața reală se apropie mai mult sau mai puțin de suprafața geometrică (teoretică),

reprezentată convențional prin desen tehnic și considerată fără abateri de formă, dimensionale, de poziție și fără rugozitate.

O imagine apropiată a suprafeței (profilului) reale o constituie suprafața (profilul) efectiv, obținut prin măsurare. Gradul de apropiere a suprafeței efective de suprafața reală este direct proporțional cu precizia mijloacelor de măsurare. Abaterile de la forma geometrică și de poziție se măsoară între suprafața (profilul) efectiv și suprafața (profilul) de referință, care este o suprafață (profil) tangentă la suprafața reală în exteriorul materialului obiectului sau piesei, fiind de același tip cu suprafața geometrică respectivă /46, 84/.

Dintr-un alt punct de vedere, suprafața geometrică poate fi considerată ca urma lăsată de o linie geometrică numită generatoare, prin deplasarea ei pe o altă linie geometrică numită directoare. Generarea oricărei suprafețe geometrice necesită deci două linii geometricice de formă constantă sau variabilă în timp și deplasarea relativă a uneia dintre acestea. În general generatoarea și directoarea sunt curbe strîmbe și nu se pot exprima analitic decât în cazuri particulare /4, 46/.

Cu acest punct de vedere, generarea suprafețelor reale constă în realizarea liniilor geometricice generatoare și directoare și a mișcării lor relative de generare, prin mișcarea relativă dintre corpul supus prelucrării CSP și corpul de transfer CT respectiv materialul de adaos NAC. Mișcările de generare a suprafeței se desfășoară simultan cu procesele fizico-chimice din spațiile de lucru elementare SLE ale SATO.

Dacă CT și CSL transferă energia secundară  $E_{22}$  (vezi fig. 2.3) în general prin întregul lor volum, în spațiul de lucru SL al SATO informația  $I_{32}$  și informația stocată de CT respectiv CSL se transferă la CRL numai de către anumite părți active ale acestora, reprezentate de suprafețe, linii și puncte active reale, numite convențional elemente materiale active de transfer.

Deci, din punct de vedere macroscopic generarea suprafeței reale a piesei necesită două categorii de conexiuni între corpul supus lucrării CSL și corpul de transfer CT :

1) mișcări (acțiuni) principale, în spațiul de lucru elementar SLE al SATO, în timpul cărora se desfășoară localizat (de către elementele materiale active de transfer CT și CSL) procesele fizico-chimice caracteristice metodelor tehnologice de prelucrare dimensională (modificarea stării de agregare; deformarea plastică; ruperea în stare solidă; distrugerea locală a coeziunii după

modificarea stării de agregare sau după desfășurarea unei reacții chimice; stabilirea locală a coeziunii după modificarea stării de agregare sau după desfășurarea unei reacții chimice etc.);

2) mișcări de avans, care determină parcurgerea de către spațiul (spațiile) de lucru elementare SLE a volumului necesar din corpul supus prelucrării CSL, în scopul generării complete a suprafetei reale a piesei sau obiectului semifabricat.

In ordinea descrescătoare a cantității de informație stocată privind macrogeometria suprafetei reale prelucrate, elementele materiale active de transfer ale CT pot fi /4, 101/ :

a) suprafete de aceeași formă sau de formă diferită de suprafața prelucrată (finală) a piesei;

b) curbe de aceeași formă sau de formă diferită de o curbă generatoare sau directoare a suprafetei prelucrate (finale) a piesei;

c) puncte, în sensul de porțiuni finite de dimensiuni foarte mici.

Deoarece informația privind macrogeometria suprafetei reale (formă, dimensiuni, poziție relativă) mai stochează și lanțurile cinematice generatoare sau auxiliare ale utilajului, respectiv portprogramele acestuia (comme, sabloane, modele, benzi perforate, benzi magnetice etc.) se poate conchide că în general sursele de informație privind geometria suprafetei prelucrate sunt:

1) corpul de transfer și lanțurile cinematice auxiliare, la generarea suprafetei prin metoda copierii suprafetei active a corpului de transfer;

2) corpul de transfer, lanțurile cinematice generatoare și lanțurile cinematice auxiliare, la generarea suprafetei prin metoda rulării, urmări și tangenței;

3) corpul de transfer, lanțurile cinematice auxiliare și portprogramul, la generarea suprafetei prin metoda urmări;

4) corpul de transfer, lanțurile cinematice generatoare și auxiliare, portprogramul, la generarea suprafetei prin metoda urmări sau tangenței, cind cel puțin una din caracteristicile suprafetei reale - formă, dimensiuni sau poziții relative - sunt date de portprogram.

Din punct de vedere matematic (analitic) suprafetele geometrice pot fi foarte diverse /4, 46, 257, 343/ :

a) analitice cu generatoare și directoare realizate de traiectorii rectilinii și circulare:

al) simple, formate dintr-o singură suprafață sau un

singur tip de suprafață și exprimate prin:

- ecuații algebrice de ordinul I (plan),
- ecuații algebrice de ordinul II, fie suprafață circulară cu generatoare dreaptă (cilindru circular, con circular, hiperboloid circular etc.), fie suprafață oarecare (sferă, tor, paraboloid, elipsoid etc.),
- ecuații algebrice de ordin superior (cvasihiperbolid etc.),
- ecuații transcendentale, care conțin funcții trigonometrice sau speciale (evolventoida cercului etc.).

a2). compose formate din mai multe suprafete simple fie numai algebrice, fie algebrice și transcendentale;

b) neanalitice cu generatoarea sau directoarea sau ambele realizate cu metode de programare (șablon, camă, model, desen, benzi perforate și alte portprograme) și exprimate numai prin coordonate :

b1) simple, formate dintr-o singură suprafață neanalitică;

b2) compose, formate din mai multe suprafete simple neanalitice și analitice.

Cuantificarea complexității macrogeometriei suprafetei trebuie să exprime această ierarhie și componentă posibilă a suprafetelor reale.

In afara complexității geometrice (analitice)  $K_a$  a suprafetei piesei, gradul de dificultate a generării suprafetei geometrice  $K_g$  mai trebuie să ia în considerare dificultatea realizării dimensiunilor de gabarit  $K_d$  ale acesteia. In esență, aceste aspecte determină în practică soluția concretă privind metoda de generare a suprafetei și sursele de informație pentru macrogeometria piesei.

La prelucrarea prin aşchiere și prin separare cu tăișuri asociate, pe lîngă gradul de dificultate  $K_g$  a generării suprafetei, gradul de dificultate a prelucării dimensionale  $K_p$ , mai trebuie să ia în considerare unele caracteristici de material ale corpului supus lucrării CSL (de exemplu, rezistența de rupere la tracțiune, duritatea, plasticitatea etc.), rigiditatea CSL, rugozitatea impusă suprafetei reale, precizia dimensională impusă suprafetei reale. In esență, aceste aspecte determină în practică gradul de dificultate a realizării caracteristicilor tehnologice geometrice ale suprafetei reale,  $K_t$ .

Deoarece în cadrul lucrării de fată se cercetează

probleme ale prelucrării dimensionale cu îndepărțare de substanță de la obiectul prelucrării, pentru acest caz, prin agregarea variabilelor selectate mai sus, se concep și se definesc în figura 3.1 variabilele  $K_a$ ,  $K_d$ ,  $K_g$ ;  $K_m$ ,  $K_s$ ,  $K_t$ ;  $K_p$ :

$$K_p = K_g + K_t = K_a + K_d + K_t = K_a + K_d + K_m + K_s \quad (3.1)$$

Trebuie remarcat faptul că coeficientul  $K_m$  pentru caracteristicile de material și rigiditate este definit în figura 3.1 pentru condițiile de interacțiune specifice sculelor, adică, pentru prelucrarea prin aşchiere și prin separare cu tăișuri asociate. Gradul de generalitate a utilizării mărimii  $K_p$  poate fi extins dacă în relația de definiție a mărimii  $K_m$  se iau în considerare și alte caracteristici de material, mai greu de cuantificat: electroconductibilitate, natură chimică etc.

Relațiile originale propuse pentru determinarea valorii  $K_p$  la prelucrarea suprafetei reale cu posibilitățile procezelor tehnologice actuale conduc la valorile limită din tabelul 3.1.

Tabelul 3.1

Valori limită pentru componentele gradului  $K_p$  de dificultate a prelucrării dimensionale a suprafetei reale.

Nr. crt.	Grad sau coeficient	Simbol	Valori limită
1.	coeficient de complexitate analitică a suprafetei geometrice	$K_a$	1,5...500
2.	coeficient de dificultate a realizării dimensiunilor de gabarit ale suprafetei.	$K_d$	1,0...220
3.	grad de dificultate a generării suprafetei geometrice	$K_g$	2,5...720
4.	coeficient pentru caracteristicile de material și rigiditate	$K_m$	0,5...130
5.	coeficient pentru caracteristicile tehnologice ale suprafetei reale	$K_s$	0,5...150
6.	grad de dificultate a realizării caracteristicilor tehnologice geometrice ale suprafetei reale	$K_t$	1,0...280
7.	grad de dificultate a prelucrării dimensionale a suprafetei reale	$K_p$	3,5...1000

Aceste valori limită au fost obținute pentru următoarele extreme:  $A_{ts} = 0,00002 \text{ mm}^2 (\phi 0,005 \text{ mm}) \dots 10 \text{ m}^2$ ;  $H_{smax} = 1\dots1000 \text{ mm}$ ;  $L_{min} = 0,1 \text{ mm}$ , respectiv pentru valorile extreme ale complexității formei geometrice și ale parametrilor  $\sigma_F$ ,  $y$ ,

HRC,  $R_a$ ,  $T_d$ ,  $T_f$ ,  $T_p$  impuse la obiectul prelucrării și la piesă de către tehnica actuală.

Relațiile de definiție propuse au admis pentru valorile extreme o pondere de cca. 70 % a gradului de dificultate a generării suprafeței geometrice  $K_g$ . Pentru valori mici și mijlocii ale  $K_g$  (suprafețe geometrice relativ simple), ponderea  $K_g$  se reduce pînă la maxim 50...60 % din valoarea  $K_p$ .

Mărimele noi și relațiile propuse pentru determinarea gradului de dificultate a generării suprafeței geometrice  $K_g$ , respectiv a gradului de dificultate a prelucrării dimensionale a suprafeței reale  $K_p$ , prezintă generalitate și relativă simplitate. Această metodă este superioară metodicii calitativ propuse de Hoffmen și Rossa /152/ sau metodelor sugerate de Mai /222/ respectiv Goranskii /124/ în ce privește caracterizarea complexității suprafeței geometrice. Față de metodele de determinare a gradului de complexitate pentru unele procedee de prelucrare prin aşchiere /129, 141/ metoda elaborată este mult mai generală și ia în considerare suplimentar factori care nu pot fi ignorati în decizia privind procedeul optim de prelucrare (dimensiunile de gabarit ale suprafeței, caracteristicile de material ale obiectului prelucrat).

Componentele mărimei  $K_p$  vor fi utilizate în cadrul cercetării de față drept criterii complementare în selecția variantei optime a tehnologiei, cu care ocazie se face și o testare a sensibilității lor (cap.10).

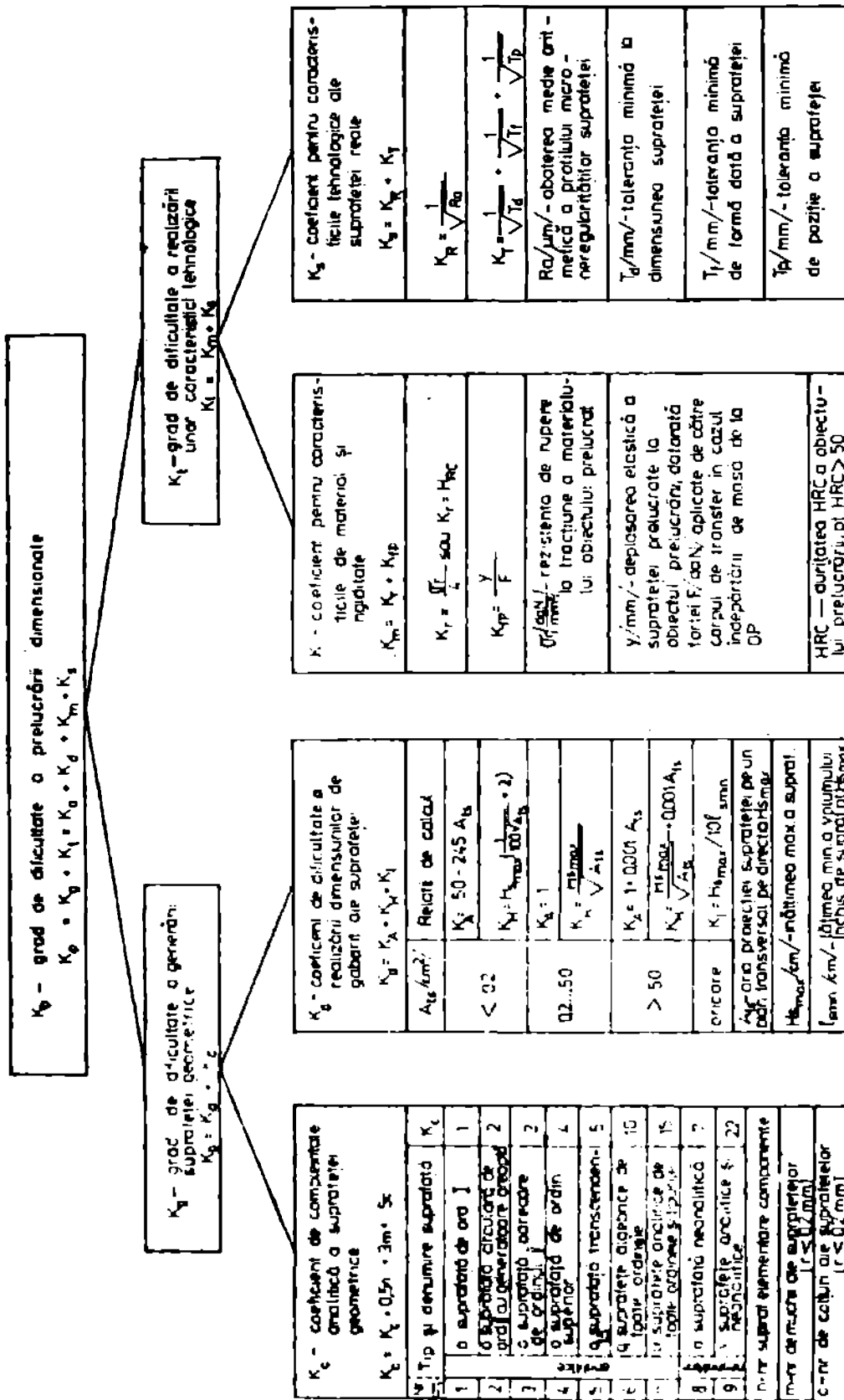
### 3.2. Structuri ale spațiului de lucru al sistemelor de acțiune tehnologică la nivel de operatie și metode de prelucrare dimensională fără contact.

#### 3.2.1. Metode, procedee și procese tehnologice.

Metoda tehnologică este un mod sistematic și principal de execuție a unei operații în cadrul SATO, a unei serii de operații în cadrul sistemelor de acțiune tehnologică mari ierarhizate, mod comun după un criteriu esențial (de exemplu: natura fenomenelor în spațiul de lucru, natura rezultatelor etc.) pentru mai multe clase de procedee tehnologice.

Procedeul tehnologic este determinat de mijloacele și condițiile în care se realizează o metodă tehnologică, adică diferență funcție de utilajul tehnologic, mediul de lucru etc. În cadrul fiecărei metode tehnologice se dozează diferite procedee tehnologice, funcție de criteriul considerat. De exemplu, în cadrul

**Fig. 3.1. Componenta si relatiile de determinare a gradului de dificultate a prelucrarii dimensionale**



metodelor de prelucrare dimensionala se disting procedee functie de utilaj (strunjire, burghiere, frezare, rectificare etc. pentru metoda de prelucrare prin așchiere) sau functie de mediul de lucru (sudarea in aer, sub flux, in gaze inerte, in hidrogen, in bixoxid de carbon etc. pentru metoda de sudare electrica prin topire).

In general metodele tehnologice de rezultat insumeaza diferite metode tehnologice de fenomen, cu procedee tehnologice corespunzatoare rezultatului (prelucrarea prin eroziune, sudarea, tăierea etc.).

Procesele tehnologice se realizeaza la nivel de loc de muncă, linie de fabricare etc., prin aplicarea diferitelor metode si procedee tehnologice, conform necesitatilor.

### 3.2.2. Funcții și structuri ale spațiului de lucru pentru operații de prelucrare dimensionala cu îndepărțare de substanță de la obiectul prelucrării.

Așa cum s-a arătat (§ 2.2.1), spațiul de lucru SL este un subsistem al SATO care are funcția de a efectua direct procesele fizico-chimice ce realizează în timp transformările specifice operației respective. De exemplu, în cazul prelucrării dimensionale cu îndepărțare de substanță de la obiectul prelucrării, funcția spațiului de lucru al SATO este efectuarea directă a proceselor fizico-chimice ce determină îndepărțarea de material de la obiectul prelucrării, în conformitate cu metoda utilizată de generare a suprafeței, pentru ca în timp să se realizeze transformările specifice operației (metodei tehnologice) respective, rezultând în final suprafața reală a piesei. Astfel :

1) la metodele tehnologice de prelucrare prin separarea unor portiuni relativ mari din obiectul prelucrării (prin rupere cu încovoiere respectiv prin străpungeră, prin tăiere cu tăișuri asociate) funcția spațiului de lucru este efectuarea de deformări plastice și ruperi dirijate pe anumite suprafețe ce parcurg transversal obiectul prelucrat, respectiv de îndepărțare a deșeului rezultat;

2) la metodele tehnologice de prelucrare prin prelevarea unor fragmente mici de la suprafața obiectului prelucrării (prin așchiere, prin eroziune) funcția spațiului de lucru este efectuarea de deformări plastice și ruperi dirijate pe anumite suprafețe mici în stratul exterior al obiectului prelucrat (la așchiere), respectiv efectuarea unor activări locale specifice urmate de ruperi ale legăturilor interatomice între materialul excedentar din stratul

**exterior** al obiectului-transformat local în deșeu- și materialul obiectului prelucrat (la prelucrarea prin eroziune).

Generarea suprafetei reale a piesei implică desfășurarea simultană și puternic corelată a unor procese de transformare a substanței, procese energetice și informaționale. Obiectivul sistemelor tehnologice de generare a suprafetei reale a piesei fiind în primul rînd de natură informațională (formă, dimensiuni, poziție reciprocă și calitate a suprafetei reale a piesei), se impune și la analiza structurii spațiului de lucru ca prim punct de vedere cel informational.

Așa cum se observă în figura 2.3, în cazul cel mai general spațiul de lucru SL al SATO se constituie în jurul interfețelor dintre corpul de transfer CT și corpul supus lucrării CSL, materialul de adaos MAC și materialul de protecție MPC.

Transmiterea informației la corpul rezultat al lucrării CRL se face în mod direct de către CT și CSL, cu participarea nesemnificativă a MAC și MPC.

In funcție de metoda de generare a suprafetei reale, spațiul de lucru al SATO (volumul SL) are o extindere diferită în raport cu suprafața piesei sau obiectului semifabricat realizat. Astfel, la generarea suprafetei reale prin copierea formei corpului de transfer CT spațiul de lucru se poate extinde în unele cazuri simultan pe întreaga suprafață a piesei (cazul prelucrării pieselor prin turnare), respectiv în cealaltă extremă, la generația suprafetei reale prin metoda urmei, spațiul de lucru se poate extinde pe o porțiune foarte mică a suprafetei obiectului prelucrat sau piesei (cazul prelucrării pieselor prin strunjire cu cuțit neprofilat și adâncime mică de aşchiere). În primul caz limită (copierea formei la turnare) corpul de transfer CT stochează practic întreaga informație despre suprafața reală a piesei, pe cînd celălalt caz limită (integrarea urmei punctului material de transfer la strunjire) corpul de transfer CT (vîrful cuțitului) stochează parțial informație despre microgeometria suprafetei reale a piesei, restul informației necesare fiind transferată de la lanțurile cinematice respectiv portprogramul strungului sau de la organele de comandă acționate de operator. Între aceste două situații limită, așa cum s-a arătat în § 3.1.2, informația despre suprafața reală a piesei este transferată cu ponderi diferite de la corpul de transfer, lanțurile cinematice, organele de comandă acționate de operator, portprogram.

Corespunzător acestor moduri de transmitere în timp a

informației la suprafața reală a piesei, spațiul de lucru poate fi imobil (cazul copierii formei la metoda de prelucrare prin turnare sau galvanoplastie) sau se poate deplasa relativ față de suprafața reală generată (celelalte cazuri și metode de generare).

Indiferent dacă spațiul de lucru se deplasează sau nu față de suprafața reală generată în timpul procesului de prelucrare (deci independent de volumul SL) se pot considera două categorii de componente (subsisteme ierarhice) ale spațiului de lucru al SATO :

a) spațiul de lucru elementar SLE, corespunzător unui element de suprafață geometrică a corpului de transfer CT ( $ds_{CT}$ ), care constituie elementul macroscopic al SL, util în studiile de generare a suprafetei;

b) spațiul de lucru microscopic SLM, corespunzător unei zone mai restrînse, în care se desfășoară singular procesele fizico-chimice de bază (definitorii) ale transformării (de exemplu: deformarea plastică și fisurarea-ruperea unui element microscopic de așchie; procesele fizico-chimice care determină prelevarea de material de la o descărcare singulară prin străpungerea mediului dielectric etc.).

In desfășurarea procesului de generare a suprafetei reale, spațiul de lucru microscopic SLM „parcurge” spațiul de lucru elementar SLE, iar spațiile de lucru elementare generează în paralel (ca la prelucrarea cu copierea formei prin turnare și.a.) sau succesiv și paralel-succesiv (ca în celelalte cazuri) forma, dimensiunile, poziția reciprocă și calitatea suprafetei reale.

Ca la orice sistem, structura spațiului de lucru este determinată de funcția SL, este subordonată acesteia, realizînd-o. Din puncte de vedere al componentelor SL, apar în practică trei categorii de determinări funcționale importante :

1) tipurile de componente ale SL (CSL, CT, ML, MAC, MPC, DTT) sunt determinate pentru fiecare caz concret de funcția SL în cadrul SATO respectiv, operațiile care să utilizeze toate componentele SL fiind relativ puține (sudarea cu flacără și.a.);

2) numărul de componente ale SL din fiecare tip este determinat de funcția SL, putînd apărea o mulțime de elemente identice sau distințe la fiecare componentă: p CSL - p CRL și n CT respectiv q SL etc. (prelucrarea cu mai multe scule);

3) dacă SL sau una din componente ale SL devine limitată funcțional, se impune o modificare, o îmbogățire a structurii lor, astfel încît să poată satisface noua cerință funcțională impusă.

In cazul prelucrării dimensionale cel mai tipic exemplu în acest sens îl constituie limitarea funcțională a corpului de transfer la metodele tehnologice clasice de generare a suprafetei. In cadrul lucrării de față interesează mai mult metodele de prelucrare cu îndepărțare de substanță de la obiectul prelucrării OP.

### 3.2.3. Structuri de corpuri de transfer la operații de prelucrare dimensională cu îndepărțare de substanță de la obiectul prelucrării.

Metodele clasice importante de prelucrare dimensională cu îndepărțare de substanță de la obiectul prelucrării sunt așchierea și separarea cu tăișuri asociate (se pot neglija străpungerea și ruperea cu încovoiere, care au o pondere neglijabilă în practica industrială).

Limitele de aplicabilitate ale acestor metode provin /255/ din modul de transmitere a energiei de efect mecanic ( $E_3$ ) la obiectul prelucrării OP (corpul supus lucrării CSL în figura 2.3), adică provin de la corpul de transfer CT.

Atât la prelucrarea prin așchiere cât și la separarea (tăierea) cu tăișuri asociate, CT este de fapt scula (obiect rigid cu forme și dimensiuni predeterminate), iar energia  $E_3$  se transmite la OP prin contact mecanic între sculă și obiectul prelucrării. In aceste cazuri, pentru ca prelucrarea să se poată desfășura trebuie indeplinite riguros următoarele condiții:

(a) duritatea materialului sculei să fie mai mare decit duritatea materialului obiectului prelucrat;

(b) rigiditatea sculei și a obiectului prelucrării să fie adecvată forțelor mecanice importante ce apar în timpul procesului;

(c) materialul obiectului prelucrat să nu prezinte exclusiv rupere fragilă;

(d) în cazul generării suprafetelor la așchiere scula să parcurgă suprafața în general treptat, în fîșii și straturi succesive.

Aceste condiții sunt necesare pentru a se putea realiza - cu precizia cerută funcțional pieselor - ruperea legăturilor interatomice între materialul excedentar (transformat în deșeu DT) și materialul obiectului prelucrat.

Deci, la generarea suprafetei reale a pieselor cu energie de efect mecanic transferată în regim continuu, în cazul

unui obiect al prelucrării OP în stare solidă normală (la temperatură și presiune normală, fără magnetizare, fără tensiuni remanente etc.) este necesar în primul rînd /397/ ca energia specifică de suprafață a sculei  $E_{SSC}$  să fie cît mai mare în raport cu energia specifică de suprafață  $E_{SOP}$  a obiectului prelucrat OP, corespunzător condiției (a) :

$$E_{SSC} - E_{SOP} = \Delta E_S > 0 \quad (3.2)$$

In cazul cînd valori foarte mari ale  $E_{SOP}$  (valoarea  $E_{SSC}$  fiind limitată naturală) determină  $\Delta E_S \rightarrow 0$ , sau în cazul cînd presiunea realizabilă între sculă și OP este prea mică pentru a determina ruperea legăturilor la obiectul prelucrat, condiția (b) nefiind respectată, apar următoarele direcții fenomenologice posibile pentru a înlătura limitele metodelor clasice în genera-re suprafetei reale a piesei :

(1) Micșorarea valorii  $E_{SOP}$  (durității OP) pentru un nivel dat al  $E_{SSC}$ , prin activarea proceselor de prelucrare, ca primă

direcție, concretizată în aducerea energiei interne a materialului de la suprafața OP la un nivel superior stării normale, dar sub valoarea critică de rupere a legăturilor interatomice, în contul unei energii suplimentare furnizată din exteriorul OP, eventual de un alt corp de transfer CT, potrivit necesităților. Aceasta reduce, evident, energia specifică de suprafață a

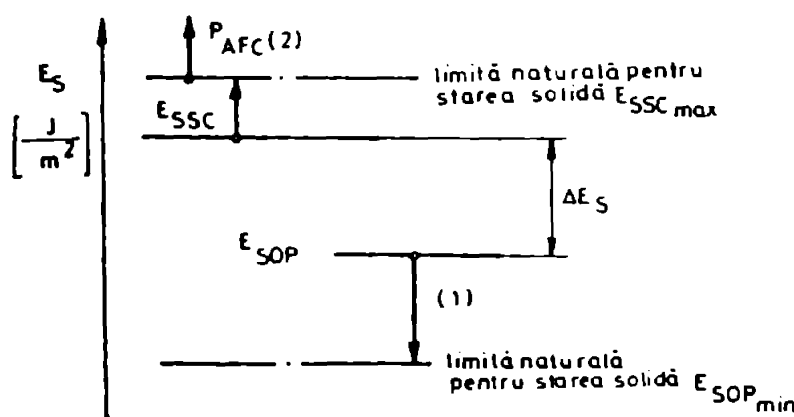


Fig.3.2.Situatii ale nivelului energiei specifice de suprafață  $E_{SSC}$  a sculei și  $E_{SOP}$  a obiectului prelucrării.

OP (fig.3.2), permitînd deplasarea unora dintre limitele tehnico-economice ale prelucrării, dar nu și eliminarea lor. Activarea presupune încălzirea, fisurarea etc. la suprafață a OP.

(2) Creșterea valorii  $E_{SSC}$ . Întrucînt valoarea  $E_{SSC}$  este limitată natural (duritățile materialului sculei nu pot fi infinit de mari), rămîne ca singură soluție înlătura sculei, mai precis, a transmiterii energiei de către corpul de transfer CT prin contact mecanic și lucru mecanic al unor corpurî rigide în mișcare (scule). Adică, este necesar să nu se utilizeze exclusiv energia

stereomecanică la ruperea legăturilor interatomice între materialul excedentar și materialul OP.

Dacă CT cu această structură (sculă) este limitat funcțional, se impune - ca în cazul oricărui sistem - o modificare, o îmbogățire a structurii lui. Deoarece limitarea funcțională provine din proprietatea de rigiditate mecanică a CT, este necesar (a două direcție) ca corpul de transfer să transmită energia de efect la obiectul prelucrării prin intermediul unui nou component, al unui subsistem fizico-chimic, rigid mecanic, numit agent fizico-chimic AFC. Nerigiditatea mecanică a AFC rezolvă problema (funcția) creșterii practic nelimitate a potențialului  $P_{AFC}$  (a nivelului energiei specifice, figura 3.2) la CT /397/, însă face insolubilă problema înmagazinării structurale de informație proprie, necesară pentru realizarea preciziei dimensionale a prelucrării. Din acest motiv, în structura CT trebuie să intre funcțional obiectului cel puțin un obiect de transfer OT rigid, cu forme și dimensiuni predeterminate, care să facă legătura energetică și informațională cu echipamentele EC și DC, cu mașina sau aparatul de fabricare MF, AF, respectiv să înmagazineze informație geometrică proprie, necesară corpului de transfer CT în cadrul procesului prelucrării dimensionale de precizie dată. În cazul cînd obiectul de transfer al energiei către agentul fizico-chimic nu poate stoca suficientă informație, este necesară o îmbogățire mai avansată a structurii OT, cu încă cel puțin un corp solid rigid (de exemplu, la perforarea prin explozie obiectul de transfer este compus din explozibilul care generează undă de soc în lichid și placă de tăiere purtătoare de informație privind suprafața reală a piesei).

De fapt, principalul problema se pune asemănător și la alte metode de prelucrare clasice (prin deformare plastică la rece, prin agregare de pulberi, prin depunere electrochimică etc.), putind apare în compunerea corpului de transfer obiecte de transfer și agenți fizico-chimici specifici /75, 329, 346/.

Atunci, structura corpului de transfer CT în cazul general se prezintă ca în figura 3.3.

De fapt în cazul prelucrării prin așchiere, separare cu tășuri asociate, prin deformare plastică sau prin agregare de pulberi, scula nu este altceva decît obiectul de transfer OT, unic component al corpului de transfer CT, cînd nu este necesar funcțional AFC.

Agenții fizico-chimici AFC pot fi corp lichid, corp gazos, undă de soc în fluid, cîmp și întotdeauna definesc (generează)

metode sau procedee de prelucrare dimensională distințe de cele clasice fenomenologic /255, 293, 314, 346, 397/.

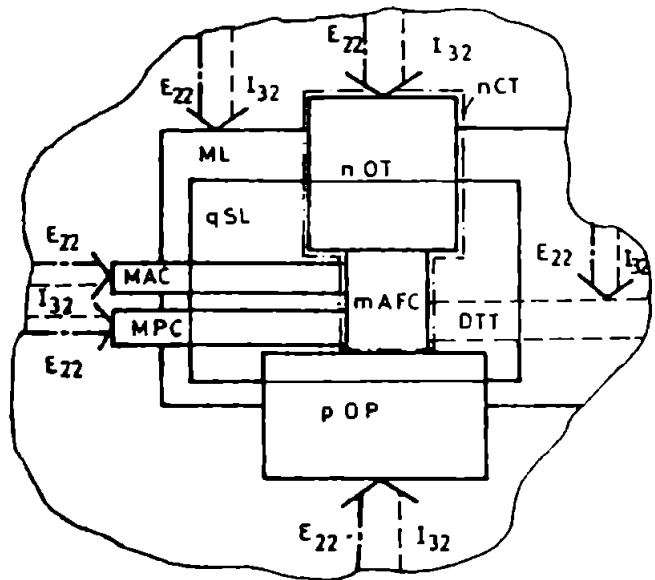


Fig.3.3. Model structural generalizat pentru spațiul de lucru SL și pentru corpul de transfer CT la prelucrarea dimensională.

varea OP și generarea la CT a unor agenții fizico-chimici corespunzători), fenomenologic posibile de a înlătura limitele metodelor clasice de prelucrare dimensională cu îndepărțare de substanță de la obiectul prelucrării OP, au fost analizate pînă aici – așa cum de altfel s-a precizat – în ipoteza transferării în regim continuu a energiei  $E_{22} \rightarrow E_3$  de la CT la OP (fig.2.3 și 3.3). Evident, aceasta implică caracteristici spațial-temporale corespunzătoare regimului continuu, pentru transferul energiei atît în spațiul de lucru SL, cît și în afara acestuia ( $E_{41} \rightarrow E_{42} \rightarrow E_{43}$ ). Totodată, aceasta este cauza unor limitări ale potențialului  $P_{AFC}$ , deoarece, din motive tehnico-economice, puterea absorbă din mediul exterior SATO de către utilajul tehnologic (și corespondator  $E_{12}$ ,  $E_{13}$ ) este limitată.

(3) Pentru a elibera și această limită în generarea suprafeței piesei, se poate utiliza o a treia direcție: transferarea în regim de impuls a energiei  $E_{22} \rightarrow E_3$  la CT și OP și în general la SL. Aceasta permite practic realizarea oricărui nivel al potențialului  $P_{AFC}$ , iar prin modificarea caracteristicilor spațial-temporale ale transferului energiei în SL și în afara acestuia ( $E_{41} \rightarrow E_{42} \rightarrow E_{43}$ ), permite evoluția favorabilă generală a proceselor din SL, chiar în cazul utilizării sculelor (de exemplu, la prelucrarea prin deformare plastică cu puțeri și viteze mari), permite îmbunătățirea suplimentară a performanțelor tehnico-economice ale prelucrării dimensionale.

Trebuie precizat faptul că și în condițiile utilizării AFC, activarea OP este funcțional necesară pentru îmbunătățirea performanțelor prelucrării dimensionale (îndeosebi productivitatea prelucrării), iar activarea generală a proceselor din spațiul de lucru se realizează pe toate căile  $E_{22}$  (vezi fig.3.3), sau chiar de către agenții fizico-chimici speciali pentru activare (AFCA).

Cele două direcții (activarea OP și generarea la CT a unor agenții fizico-chimici corespunzători), fenomenologic posibile de a înlătura limitele metodelor clasice de prelucrare dimensională cu îndepărțare de substanță de la obiectul prelucrării OP, au fost analizate pînă aici – așa cum de altfel s-a precizat – în ipoteza transferării în regim continuu a energiei  $E_{22} \rightarrow E_3$  de la CT la OP (fig.2.3 și 3.3). Evident, aceasta implică caracteristici spațial-temporale corespunzătoare regimului continuu, pentru transferul energiei atît în spațiul de lucru SL, cît și în afara acestuia ( $E_{41} \rightarrow E_{42} \rightarrow E_{43}$ ). Totodată, aceasta este cauza unor limitări ale potențialului  $P_{AFC}$ , deoarece, din motive tehnico-economice, puterea absorbă din mediul exterior SATO de către utilajul tehnologic (și corespondator  $E_{12}$ ,  $E_{13}$ ) este limitată.

(3) Pentru a elibera și această limită în generarea suprafeței piesei, se poate utiliza o a treia direcție: transferarea în regim de impuls a energiei  $E_{22} \rightarrow E_3$  la CT și OP și în general la SL. Aceasta permite practic realizarea oricărui nivel al potențialului  $P_{AFC}$ , iar prin modificarea caracteristicilor spațial-temporale ale transferului energiei în SL și în afara acestuia ( $E_{41} \rightarrow E_{42} \rightarrow E_{43}$ ), permite evoluția favorabilă generală a proceselor din SL, chiar în cazul utilizării sculelor (de exemplu, la prelucrarea prin deformare plastică cu puțeri și viteze mari), permite îmbunătățirea suplimentară a performanțelor tehnico-economice ale prelucrării dimensionale.

In afara acestor trei direcții de bază, mai există și altele (transferul și distribuirea spațială a energiei  $E_3$  la OP și MAC, combinări ale direcțiilor analizate, cinematica generării suprafeței etc.) prezentate în literatură /212, 213, 293, 397/; care permit progresul metodelor și procedeelor de prelucrare dimensională în construcția de mașini și aparate.

Pe aceste direcții s-au dezvoltat în ultimele patru decenii și se dezvoltă încă metodele de generare a suprafeței piesei cu prelevare de material /231, 255, 293, 314, 329, 343, 409/.

### 3.2.4. Metode de prelucrare dimensională fără contact între obiectul de transfer și obiectul prelucrării.

Progresul tehnico-științific și cerințele mediului social-economic au determinat în ultimele patru decenii /255, 293, 328/ o creștere deosebită a performanțelor produselor și proceselor realizate de acestea, manifestată la nivelul pieselor componente ale sistemelor tehnice prin dezvoltarea puternică a următoarelor tendințe constructive și tehnologice: 1) creșterea foarte dinamică a ponderii materialelor cu caracteristici fizico-chimice excepționale; 2) creșterea complexității formelor suprafețelor și a ponderii pieselor cu formă complexă; 3) lărgirea importantă a gamei dimensiunilor pieselor (ultraminiaturizate/gigantice); 4) creșterea ponderii pieselor cu precizie dimensională și netezime foarte ridicată a suprafeței; 5) creșterea productivității, economicității și eficienței prelucrării dimensionale.

Aceste tendințe au perspectivă de dezvoltare importantă în viitor.

In această situație, metodele clasice de prelucrare dimensională au ajuns sau tind obiectiv să ajungă în numeroase cazuri la limita de aplicabilitate tehnică sau economică, determinată de imposibilitatea de prelucrare (grad de dificultate a prelucrării dimensionale peste performanțele metodelor clasice - tendințele 1...4) respectiv de costul inacceptabil (tendința 5).

Ca răspuns la noile cerințe și tendințe, cercetarea-proiectarea și producția au creat noi metode și procedee de prelucrare dimensională, noi utilaje tehnologice.

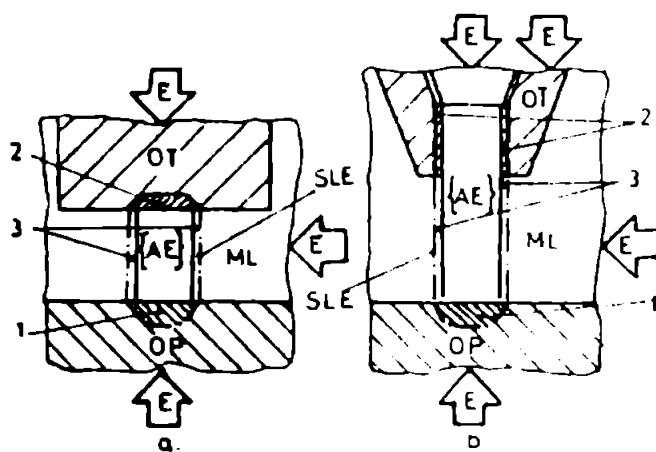
In domeniul prelucrării dimensionale cu prelevare de material de la obiectul prelucrării, noile metode tehnologice s-au dezvoltat și se dezvoltă încă pe direcția activării proceselor îndeosebi la obiectul prelucrat, a transmiterii energiei de

efect la acestea prin diversi agenți fizico-chimici generați în structura corpului de transfer, a combinării metodelor clasice cu cele noi, a transmiterii prin impuls a energiei de efect la obiectul prelucrat.

In prezent, pe lîngă metodele clasice de prelucrare dimensională, „cu contact” între obiectul de transfer și obiectul prelucrării, se aplică tot mai larg în industrie metode noi „fără contact” între obiectul de transfer și obiectul prelucrării. In cadrul acestor metode de prelucrare dimensională „fără contact” în cazul prelevării de substanță de la obiectul prelucrării se definește o nouă metodă tehnologică, de prelucrare dimensională prin eroziune /255/.

De fapt, prelucrarea dimensională prin eroziune este o metodă tehnologică de rezultat. Eroziunea obiectului prelucrat este realizată de sisteme fizico-chimice diferite de corpul solid rigid, ca îndepărțare discontinuuă, cumulativă și progresivă a substanței de la suprafața obiectului OP. Prelucrarea prin eroziune se realizează industrial prin multe metode tehnologice simple sau complexe de fenomen (tabelul 3.2).

Agenții fizico-chimici din structura corpului de transfer pot fi denumiți agenți erozivi AE, energia furnizată de aceștia în spațiul de lucru, provenind fie din energia proprie în exces (la substanțe chimice active, care mai prezintă și particularitatea că pot fi stocate), fie prin transfer de la un alt sistem (la



**Fig.3.4.** Model structural pentru spațiul de lucru elementar SLE la prelucrare dimensională prin eroziune: a-pentru agenți erozivi AE de tip puncte; b-pentru agenți erozivi AE tip jet; 1-portiunea cu modificări ale mărimilor de stare la obiectul prelucrării OP; 2-idem la obiectul de transfer OT; 3-idem la mediul de lucru ML; E-energie furnizată de utilajul tehnologic.

jet de particule abrazeive în gaz, la electrolit în cîmp electric, la descărcări electrice în lichide, la radiatie Laser etc.). Densitățile de putere ale agenților erozivi sunt foarte ridicate: de la  $1 \text{ kW/cm}^2$  la agentul fizico-chimic de activare AFCA flacără oxacetilenică utilizată la prelucrarea prin eroziune chimică în jet de oxigen, pînă la  $10^5 \text{ kW/cm}^2$  pentru agentul eroziv fascicul laser /200, 216, 409, 468/.

In figura 3.4 se prezintă (255/ structura spațiului de

lucru elementar la prelucrarea dimensională prin eroziune.

Tabelul 3.2.

Principalele metode de prelucrare dimensională fără contact, cu aplicabilitate tehnologică industrială frecventă.

Catego- ria me- todei	Denumirea metodei	Corp de transfer Agent fizico- chimic și sculă utili- zată	Obiecte de transfer	Mediu de lucru utilizat
<b>EROZIUNE</b>	1 prelucrare prin e- roziune abrazivă	2 jet de parti- cule abrazive în gaz	3 duză	5 aer
	prelucrare prin e- roziune chimică	lichid chimic activ	mască (pt. transfer infor- ma- ție)	aer
		jet de gaz chimic activ (oxigen)	duză	aer, apă
	prelucrare prin e- roziune electro- chimică	electrolit în cîmp electric	electrod	lichid e- lectrolit
	prelucrare prin e- roziune cu plasmă	jet de plasmă arc de plasmă	duză	aer
	prelucrare prin e- roziune electrică	descărcare e- lectrică în impuls	electrod	lichid di- electric
	prelucrare prin e- roziune cu fasci- cul laser	fascicul de fotoni	lentilă	aer
<b>FORMARE</b>	prelucrare prin e- roziune cu fasci- cul de electroni	fascicul de electroni	bobină	atmosferă vidată
	prelucrare prin de- formare electrohi- draulică	undă de soc a descărcării electrică în impuls	electrozi și matriță (pt.trans- fer infor- mație)	lichid dielec- tric (apă)
	prelucrare prin de- formare (presare) cu explozie.	onda de soc a exploziei	explosibil și matriță (pt.trans- fer infor- mație)	aer, apă, nisip
	prelucrare prin de- formare în cîmp electromagnetic	cîmp elec- tromagnetic în impuls	bobină și matriță (pt.trans- fer infor- mație)	aer

Tabelul 3.2.- continuare

1	2	3	4	5
EROZIUNE	prelucrare prin eroziune abraziv-ca-vitațională	suspensie abra-zivă și bulă cavitatională cu cimp ultra-sonic	obiect de transfer	suspensie abrazivă
	prelucrare prin contact electric	descărcare e-lecrică și sculă electro-conductoare în rotație	electrods-culă	aer, apă
C/IM	prelucrare prin eroziune electro-chimică abrazivă	electrolit în cimp electric și corp abra-ziv	electrods-culă	lichid electro-lit
	prelucrare prin eroziune electro-chimică și electrică	electrolit în cimp electric, descărcare e-lecrică în impuls, și sculă electroconduc-toare în rota-ție sau translație alter-nativă	electrods-culă	lichid electro-lit

Legendă: S - metodă simplă; C - metodă combinată; IM - metodă cu îndepărțare de material de la obiectul prelucrat; DP - metodă cu deformare plastică a obiectului prelucrat.

Cu excepția lichidelor active chimice care pot fi stocate, ceilalți agenți erozivi trebuie constituiți la suprafața obiectului prelucrării de către un echipament de generare și un echipament de formare finală și poziționare aflate în componența utilajului tehnologic. Echipamentul de formare finală și poziționare constituie din unul sau mai multe coruri solide, cu sau fără contact cu agentul eroziv AE, îndeplinește funcții legate de alimentarea cu energie a AE, poartă informație asupra formei și dimensiunilor acestuia și determină poziționarea acțiunii agentului eroziv la suprafața obiectului prelucrării.

Dintre componentele echipamentului de formare finală și poziționare, cel care transmite energie și informație finală asupra stării (inclusiv asupra formei și dimensiunilor) agentului eroziv, fiind supus în general acțiunii acestuia, este tocmai obiectul de transfer OT care împreună cu multimea agenților erozivi AE formează corpul de transfer CT.

In spațiul liber dintre obiectul de transfer și obiectul prelucrării, în zona în care acestea sunt cele mai apropiate una de alta pe o anumită porțiune din suprafața lor, se formează un interstiu de grosime  $\delta$ . În cazul prelucrării cu substanțe lichide active chimic  $\delta = 0$ .

Trebuie remarcat faptul că una din caracteristicile acțiunii de prelucrare prin eroziune, care o diferențiază net în raport cu metodele bazate pe transmiterea energiei stereomecanice, constă în capacitatea agenților erozivi să, în limitele mărimii proprii a interstițiului  $\delta$ , să realizeze procesul elementar de îndepărțare a materialului de la obiectul prelucrării OP, fără nevoie de deplasarea relative a obiectului de transfer față de OP. Aceasta creează dificultăți, uneori importante, în obținerea unei precizii dimensionale ridicate a prelucrării.

In zona de interacțiune (interfață) agenți erozivi-obiect de prelucrat energia secundară transferată la acestia în regim continuu sau regim de impuls se transformă în principal în energie de efect (mecanică, termică, chimică), care se consumă pentru separarea elementară a materialului excedentar cu constituirea deșeurilor și pentru realizarea unor modificări fizico-chimice ireversibile în porțiunile limitrofe zonei de unde a fost îndepărtat materialul excedentar.

Evacuarea de la suprafața obiectului prelucrării a deșeurilor rezultate, în afara spațiului de lucru elementar SLE respectiv în afara zonei de interacțiune posibilă între agentul eroziv și obiectul prelucrării, se realizează fie în contul energiei furnizate de agentul eroziv, fie în contul unei energii secundare suplimentare, transmisă deșeurilor prin mediul de lucru, obiectul de transfer, obiectul prelucrării, sau, mai rar, prin alt corp.

Interacțiunea agent eroziv – obiect de transfer și agent eroziv – mediul de lucru conduce în general la efecte nedorite ale prelucrării (de exemplu, eroziunea obiectului de transfer, degradarea proprietăților mediului de lucru).

Funcție de metoda de generare a suprafeței reale a pielei (vezi § 3.1.2), în afara acțiunii principale de eroziune desfășurată în spațiul de lucru elementar SLE, mai sunt necesare diverse miscări ale SLE, atât în interstiu (la metodele cu copierea formei obiectului de transfer) cît și mișcări de avans realizate împreună sau cu ajutorul obiectului de transfer.

Funcțiile noi ale spațiului de lucru elementar la prelucrarea prin eroziune, datorate noii structuri a corpului de transfer, cu permis ca, o dată cu dezvoltarea SATU pentru aceste

metode de prelucrare, să se poată realiza performanțe deosebite ale prelucrării dimensionale, specifice fiecărei metode tehnologice de fenomen /314/.

Astfel se explică faptul că în prezent se manifestă tendința ca ponderea prelucrării dimensionale prin eroziune să fie de: 40...50 % la fabricarea ștanțelor, matrițelor (respectiv 60...80 % la cele cu elemente active din aliaje dure); 10...15 % la prelucrarea pieselor din aliaje de înaltă rezistență (respectiv 40...50 % la prelucrarea paletelor de turbină); 10...15 % la operații de debavurare, curățire a pieselor, turnare etc.; 7...10 % la prelucrarea pieselor din materiale mineraloceramice, feritelor, diamantelor, cuarțului, materialelor semiconductoare etc. /61, 216, 328, 390/. Se estimează că după anul 1980 ponderea prelucrării prin eroziune va atinge 10...15 % din totalul prelucrărilor dimensionale în construcția de mașini și aparate /213, 293, 328/.

### 3.3. Sisteme de acțiune tehnologică pentru operații de prelucrare dimensională prin eroziune electrică.

#### 3.3.1. Particularități funcționale și structurale ale sistemelor de acțiune tehnologică pentru operații de prelucrare dimensională prin eroziune electrică.

La fiecare metodă sau procedeu tehnologic, la fiecare SATO concret, metodele structural-funcționale generale elaborate anterior (figurile 1.1; 2.2; 2.3; 3.4, tabelul 2.1), prezintă, evident, concretizări particulare.

Descoperită oorecum întâmplător /199/ în timpul cercetărilor privind procesele de eroziune electrică a contactelor electrice, prelucrarea dimensională prin eroziune electrică a răspuns încă din anii 1945...1950 la o cerință funcțională a mediului economic, de prelucrare dimensională eficientă cu îndepărțare de substanță de la obiectele din materiale electroconductive de foarte înaltă duritate sau rezistență. În cei 35 ani de existență generațiile de SATO pentru prelucrarea electroerozivă s-au succedat dinamic (fig.2.1), în conceperea soluțiilor noi pentru procese și structuri un rol important avându-l cercetare fundamental-orientată și cercetarea aplicativă în domeniu. Se poate să une că în prezent prelucrarea prin eroziune electrică tinde să devină o metodă clasică de prelucrare dimensională, care este deja optimizată la un nivel

comparativ cu prelucrarea prin ășchiere.

SATO pentru prelucrarea dimensională prin eroziune electrică cu îndepărțare de substanță prezintă /213, 217, 293, 298, 314/ o structură incompletă a spațiului de lucru SL, lipsind materialul de adaos MAC definit ca la § 2.2.1. Componentele SL sunt (fig .2.3 și 3.4; tabelul 2.1) :

a) corpul supus lucrării CSL, denumit (ca la orice operație de prelucrare) obiectul prelucrării OP, din material electro- sau semiconductor, având forme și dimensiuni predeterminate;

b) corpul de transfer CT, ca subsistem compus din obiectul de transfer OT denumit electrod de transfer ET (material electroconductor cu anumite caracteristici, având forme și dimensiuni predeterminate) și din multimea agentilor erozivi AE descărcări electrice în impuls (în arc sau în scînteie), generate în timp în interstițiul dintre OP și ET cu echipamente specializate ale utilajului tehnologic, în urma străpunerii lichidului dielectric prezent în interstițiul dintre OP și ET;

c) mediul de lucru ML, denumit lichid de lucru LL, ca subsistem compus din lichidul dielectric pur (hidrocarburi, apă distilată etc.) în care pot fi dizolvate sau puse în suspensie diverse substanțe, atât cu funcție de material de protecție MPC (de exemplu, protecție împotriva uzării electrodului /108/) cît și ca deșeuri DTT (gaze, produse ale pirolizei LL, particule solide prelevate de la OP și ET) rezultate în urma proceselor din SL.

Restul componentelor SATO (vezi fig.2.3) prezintă funcții și structuri adecvate metodei de generare a suprafeței picsei P și gradului de automatizare necesar pentru utilajul tehnologic. Cu totul specifică este funcția generatorului de impulsuri GI /255/, care furnizează la ET și OP energie electrică cu caracteristici necesare pentru constituirea în SL, în interstițiul ET-OP, a agentilor erozivi descărcările electrice.

Prelucrarea prin eroziune electrică permite realizarea tuturor metodelor cunoscute de generare a suprafețelor (copiere, rulare, integrarea urmei, tangență) /88, 213, 253/. Acest fapt este singular în cadrul procedeelor de prelucrare dimensională cunoscute de tehnica actuală și se doboarește lipsei mișcării principale (în sensul definit la prelucrarea prin ășchiere), respectiv formei deosebit de complexe ce o poate avea suprafața activă a electrodului, dimensiunile microscopice ale agentului eroziv descărcările electrice singulare.

In cadrul metodelor de generare, copierea formei suprafe-

ței active a ET este utilizată în prezent în proporție de 80 %, prelucrîndu-se prin eroziune electrică suprafetele ce nu pot fi generate convenabil prin aşchiere, cu valori ale coeficienților  $K_c \geq 10$  și  $K_a \geq 35$  (fig.3.1). Circa 15 % este ponderea generării suprafetei prin integrare dublă a urmei cu ET filiform, restul de 5 % fiind în prezent ponderea generării suprafetei prin alte metode, realizate pe mașini speciale sau specializate, respectiv mașini echipate cu capete de lucru speciale sau universale. Substanța activă a electrodului ET stochează cantități diferite de informație referitoare la suprafața piesei de prelucrat: maximă la prelucrarea cu copierea formei, minimă la prelucrarea cu electrod filiform /258/.

Cu utilajele și echipamentele de completare (capete de lucru universale) existente, se pot realiza /88, 352, 360, 403/ 100 variante de operații la prelucrarea prin eroziune electrică. La toate aceste variante se poate identifica distinct ierarhia spațiilor de lucru: pentru SATO (SL) - elementar (SLE) - microscopic (SLM), conform celor demonstate la § 3.2.2. Spațiul de lucru microscopic SLM trebuie considerat tocmai cel corespunzător unei desărcări electrice singulare. Așa cum au demonstrat diferite cercetări /135, 213, 217, 314, 409, 423, 432/, la prelucrarea prin eroziune electrică grosimea interstițiului dintre ET și OP are valoarea  $\delta = (0,005...0,5)$  mm iar diametrul minim de concentrare a fluxului de energie are valoarea  $1 \mu\text{m}$ .

O concluzie imediată a acestei ierarhii este aceea că în cercetarea sistemelor ce se pot delimita la prelucrarea dimensională prin eroziune electrică trebuie considerate strict procesele și componentele sistemelor studiate și nicidcum procesele și componentele subsistemelor. De exemplu, cercetarea generării suprafetei piesei trebuie să considere componentele spațiului de lucru SL (OP, ET, AE, LL, DTT) cu proprietățile lor exprimate la nivel macroscopic, respectiv procesele integrale din interstițiul activ (în care se desfășoară mulțimea desărcărilor electrice AE) și pasiv (fără desărcări electrice). Cercetarea proceselor și componentelor la nivelul spațiului de lucru microscopic SLM (desărcare electrică singulară) nu poate aduce informații relevante pentru generarea macroscopică a suprafetei piesei. Acest adevăr a fost demonstrat și recunoscut abia în ultimii 10 ani /217/, după ce timp de 25 de ani cercetările teoretice și experimentale s-au străduit în primul rînd să elucideze și să modeleze procesele complexe ce se desfășoară în SLM cu un singur AE - desărcarea electrică singulară.

Indiferent de nivelul ierarhic al sistemului spațiu de lucru (SLM, SLE, SL), procesul de generare a suprafeței cu îndepărțare de substanță de la obiectul prelucrării OP cuprinde /46, 84, 101, 255, 328/ două grupe de procese fizico-chimice distințe: a) separarea materialului excedentar de la suprafață sau din OP, cu constituirea de deșeului DTT (în urma ruperii legăturilor interatomice între OP și DTT); b) evacuarea de la suprafață OP și din SL a deșeurilor DTT rezultate. Complexitatea acestor procese este maximă la nivelul sistemului SL al SATO.

In cazul prelucrării dimensionale prin eroziune electrică complexitatea maximă a proceselor de transformare necesare pentru generarea suprafeței piesei, apare la prelucrarea cu copierea formei electrodului. In acest caz, la acțiunea în masă a descărcărilor electrice {AE} în impuls, desfășurată în spațiul de lucru SL al SATO, apare o interacțiune între componentele multimi {AE} cu atât mai mare cu cît intersticiul ET-OP are o grosime δ mai mică, o formă mai complexă, respectiv cu cît este mai mică durata puazei dintre două impulsuri de curent successive.

In figura 3.5 se sintetizează pe baza cunoștințelor actuale /189, 217, 252, 293, 593, 420/ principalele grupe de procese și conexiuni ce apar la acțiunea în masă a descărcărilor electrice în cazul prelucrării electroerozive în regim stabil (fără impulsuri de mers în gol, fictive prin punți conductoare sau de scurtcircuitare, ce pot apare la funcționare în regim tranzitoriu al regulatorului de avans RA, programat de către operator prin transmiterea informației  $I_{2RA}$ ).

La funcționarea în regim stabilă RA, generatorul de impulsuri comandate GI absoarbe de la rețeaua electrică energie primară  $E_{1GI}$  și generează în spațiul de lucru SL cu o frecvență  $f_i$  conform programării  $I_{2GI}$ , un număr total de N descărcări electrice AE (impulsuri de curent) cu anumite caracteristici, într-o anumită perioadă de timp  $\Delta t$  :

$$N = N_{pp} + N_{pm} + N_{fg} \quad (3.3)$$

în care:  $N_{pp}$  - descărcări pentru prelucrare propriu-zisă, care furnizează energie de efect pentru piroliza lichidului de lucru LL cu constituirea deșeului gazos  $D_{gaz}$  și a produselor pirolizei  $D_{pir}$ , pentru separarea de la obiectul OP și electrodul ET a deșeului solid  $D_{sol(OP+ET)}$ , pentru procese de degunere a unor policile solide la ET și OP, pentru procese de evacuare naturală a deșeurilor din cadrul efectelor dinamice ale unierilor de soc {U.S.} ale descărcărilor electrice;

$N_{pm}$  - descărcări pentru mărunțirea și dispersarea deșeurilor solide  $D_{sol}$  care formează local aglomerări  $A_{sol}$  în intersticiul I dintre ET și OP, în urma creșterii rezistenței pe traseul de evacuare în afara SL (de exemplu, datorită creșterii ariei suprafeței și adâncimii de prelucrare la perechea ET-OP, datorită micșorării grosimii δ a intersticiului etc.), respectiv pentru separare de la ET a deșeului solid  $D_{sol}(ET)$  și în mică măsură pentru procese de piroliză a LL, depunere de pelicule, evacuare;

$N_{fg}$  - descărcări fictive prin aglomerările de gaz  $A_{gaz}$  care se formează local în intersticiu (de exemplu, datorită micșorării - față de optimul pentru regimul de lucru concret - a ariei suprafeței și adâncimii de prelucrare la ET-OP) și produc numai piroliza LL.

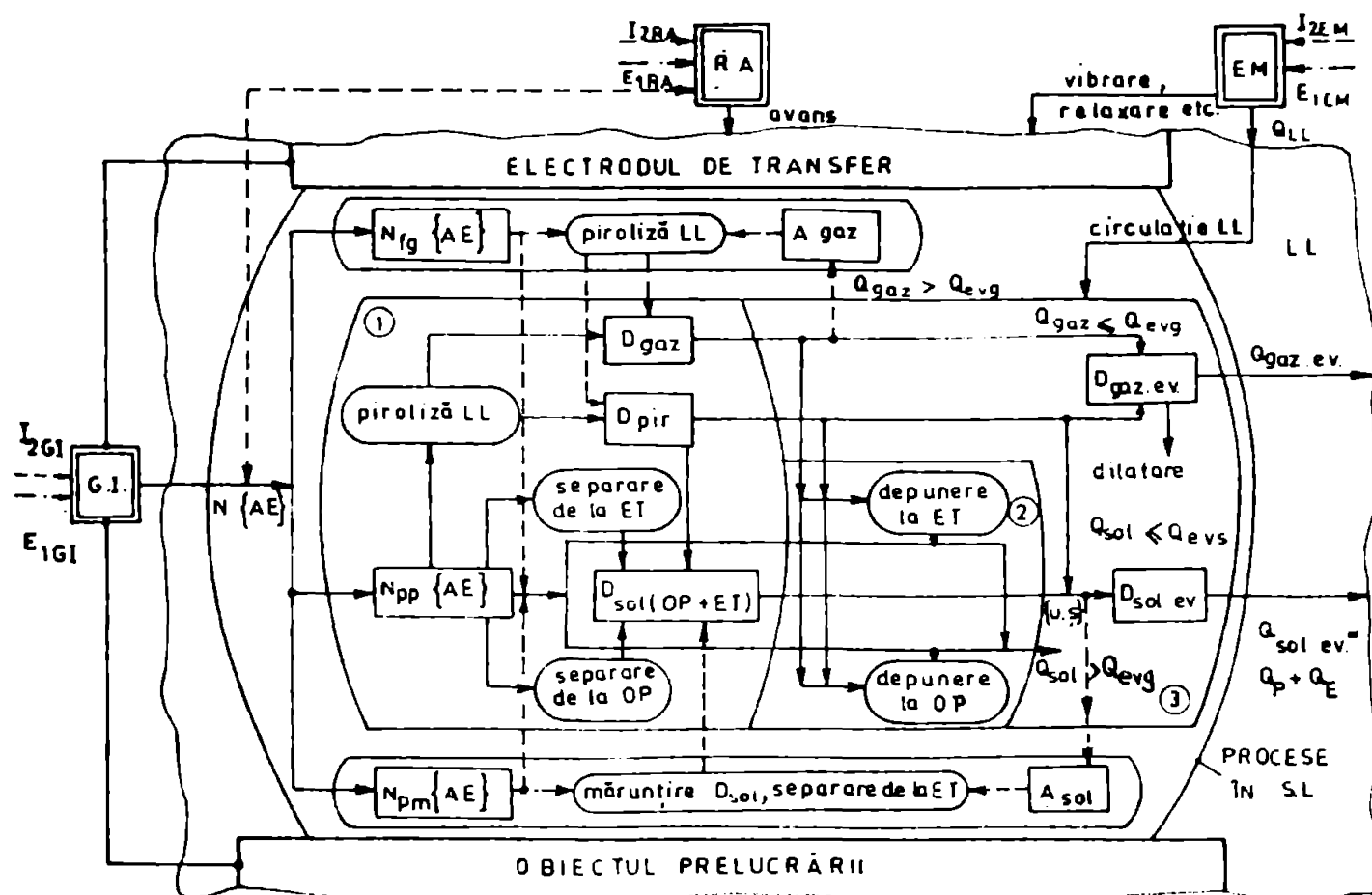


Fig.3.5. Principalele grupe de procese fizico-chimice din spațiul de lucru la prelucrarea prin eroziune electrică cu copierea formei electrodului.

1.separare deșeu; 2.depunere pelicule; 3.evacuare deșeu.

In perioada de timp  $\Delta t$ , în spațiul de lucru SL cu grosimea δ mică a intersticiului se desfășoară deci procese complexe de separare de substanță de la OP și ET, de piroliză a LL și depunere a unor pelicule solide la ET și OP, urmate de procese de evacuare din I a deșeurilor solide  $D_{sol,ev}$  respectiv gazoase  $D_{gaz,ev}$ . În condiții optime de desfășurare a proceselor în SL, între debitul de

producere a deșeurilor solide  $Q_{sol}$  și debitul  $Q_{evs}$  de evacuare a acestora din I există egalitatea :

$$Q_{sol} = Q_{ev.s} \quad (3.4)$$

respectiv analog pentru deșeuri gazoase :

$$Q_{gaz} = Q_{evg} \quad (3.5)$$

Dacă din cauza creșterii ariei suprafeței și adâncimii prelucrării (față de optimul corespunzător regimului de lucru dat) apare inegalitatea :

$$Q_{sol} > Q_{ev.s} \quad (3.6)$$

intră în funcție procesul de reacție inversă internă prin intermediul descărcărilor de mărunțire și dispersare  $N_{pm}$  {AE}, proces care în timp reduce relativ numărul  $N_{pp}$  {AE}, respectiv valoarea  $Q_{sol}$  și refac astfel egalitatea (3.4).

Dacă din cauza micșorării ariei suprafeței și a creșterii adâncimii prelucrării (față de optimul corespunzător regimului de lucru dat) se încălzește cea mai mare parte a suprafețelor interstițiului activ la  $100^{\circ}\text{C} < T < 400^{\circ}\text{C}$  și apare inegalitatea :

$$Q_{gaz} > Q_{evg} \quad (3.7)$$

intră în funcțiune procesul de reacție inversă internă prin intermediul descărcărilor fictive în gaz  $N_{fg}$  {AE}, proces care în timp reduce relativ numărul  $N_{pp}$  {AE}, respectiv valoarea  $Q_{gaz}$  și refac astfel egalitatea (3.5).

La reducerea grosimii δ a interstițiului ambele reacții inverse interne ce apar în SL acționează corelat pentru a refac egalitățile (3.4) și (3.5).

Trebuie remarcat faptul că reacțiile inverse interne din SL sunt relativ lente și că fără procesul reacției inverse externe rapide realizată de către regulatorul de avans RA (care menține relativ constantă grosimea δ a interstițiului) procesul prelucrării prin eroziune electrică nu s-ar putea desfășura stabil. La stabilizarea procesului prelucrării contribuie important și evacuarea artificială din I a deșeurilor solide și gazoase, realizată de echipamentul mecanic și hidraulic EM programat de către operator prin transmiterea informațici  $I_{2EM}$ . Echipamentul EM absorbe de la rețeaua electrică energia primară  $E_{1EM}$  și realizează circulația LL cu un debit  $Q_{LL}$  sau vibrarea sau relaxarea ET cu anumiți parametri etc.

Modelul grupelor de procese fizico-chimice la prelucrarea prin eroziune electrică clarifică desfășurarea modificărilor carac-

teristicilor tehnologice ale prelucrării cu copierea formei și legătura strânsă între parametrii regimului de lucru și geometria interstițiului. Acest model stă la baza dezvoltării modelelor de conducere automată adaptivă a regimurilor de lucru și a subsistemelor automate adaptive tot mai perfecționate ce se realizează începând din anul 1970.

### 3.3.2. Probleme rezolvate ale prelucrării dimensionale prin eroziune electrică.

In cadrul prelucrării dimensionale prin eroziune prelucrarea electroerozivă a avut și are încă pondera cea mai mare a aplicării industriale, apreciată la 65...70 % /130, 328/. În țările dezvoltate industrial cca. 5 % din parcul de mașini unelte al întreprinderilor constructoare de mașini, aparate, SDV-uri îl constituie utilajele de prelucrare prin eroziune electrică /21, 53/. Acest fapt se datorează atât producerii în serie a primelor mașini de prelucrare prin eroziune electrică încă din anul 1947, cît și posibilităților tehnologice ale metodei /88, 171, 206, 213, 293, 314, 468/.

Avantajele prelucrării dimensionale prin eroziune electrică sunt în principal următoarele: prelucrabilitatea oricărora materiale electroconductive, independent de proprietățile lor fizico-chimice; posibilitatea generării suprafețelor de orice formă de la dimensiuni miniaturale ( $\phi 0,003$  mm) la dimensiuni de  $10 \text{ m}^2$ ; utilizarea unor obiecte de transfer (electrozi) din materiale cu durată și rezistență mecanică relativ redusă; realizarea prelucrării dimensionale fără contact între OT și OP, cu acțiune mecanică neglijabilă asupra obiectului prelucrării; productivitate și precizie ridicată a prelucrării; utilaje cu structuri cinematice relativ simple și grad ridicat de automatizare; economicitate ridicată, în deosebi la prelucrarea unor materiale cu proprietăți excepționale și a unor suprafețe de formă complexă.

Dezavantajele metodei sunt în principal: necesitatea prelucrării în mediu lichid dielectric, ceea ce complică construcția și servirea utilajului; uzarea relativ ridicată a electrozilor și ponderea mare a costului acestora (50...60 %) în costul prelucrării; productivitatea și precizia prelucrării depind de o mulțime de parametri interdependenți, încă greu de controlat; consumul specific de energie este încă foarte ridicat.

Că la orice metodă tehnologică, progresul prelucrării dimensionale prin eroziune electrică a condus la creșterea continuuă

a performanțelor și domeniului de aplicare industrială, prin dezvoltarea avantajelor și atenuarea dezavantajelor. Se poate spune că după trei decenii de dezvoltare și aplicare industrială metoda începe să se apropie de mulțimea metodelor clasice de prelucrare dimensională, fapt dovedit de reducerea relativă a ratei de creștere a brevetelor, a producției utilajelor electroerozive, începând din 1975 /15, 180, 293/, de nivelul tehnic și calitativ deosebit de ridicat al utilajelor produse în prezent, de performanțele tehnologice și economice deosebite ale prelucrărilor realizabile, indiferent de metoda de generare a suprafeței la obiectul prelucrării /216/.

Se estimează că în prezent pe plan mondial numărul mașinilor de prelucrare prin eroziune electrică instalate, depășește cifra de 100.000 bucăți. În ultimii 5 ani utilajele competitive prezintă un grad avansat de unificare al tuturor subansamblurilor, inclusiv al echipamentelor de completare (capete universale sau specializate, mese rotative, dispozitive de instalare etc.). Subsistemele funcționale prezintă performanțe și siguranță finală. La prelucrarea cu copierea formei electrodului generatoarele de impulsuri realizează la prelucrări monocanal productivități maxime de ordinul  $50.000 \text{ mm}^3/\text{min}$  pentru OF din oțel și, într-o gamă largă de regimuri electrice, uzuri relative ale electrodului de 0,01...1 %. Prelucrarea multicanal a rezolvat în ultimul timp aducerea productivității prelucrării electroerozive la nivelul prelucrării prin eroziune electrochimică.

Sistemele de conducere adaptivă, conandă program și cu calculator permit optimizarea avansată a proceselor de prelucrare, reducind la minim intervenția operatorului. Perfectionarea părților mecanice ale utilajelor, a mediilor de lucru dielectrice, a materialelor și fabricării electrozilor a contribuit în plus la realizarea unor precizii de prelucrare de ordinul 0,001...0,003 mm și a unor rugozități a suprafețelor  $R_a = 0,3...0,4 \mu\text{m}$ , la regimuri de finisare /14,15,18,28,31,39,90,127,146,170,173,178,183,194,198,21216,219,278,296,314,321,322,335,339,349,350,352,360,361,433,436,437/.

Cu toate acestea, în literatura de specialitate /15,65, 80,88,104,180,184,216,217,247,328,337,338,342,360/ se consideră ca probleme de rezolvat în viitor următoarele:

a) la utilaje de prelucrare electroerozivă: perfectionare funcțională generală, diversificare a tipodimensiunilor și gradului de specializare, creștere a gradului de unificare a subsiste-

melor; extinderea posibilităților de prelucrare a suprafețelor atât prin dimensiuni miniaturale cît și spre dimensiuni mari; perfecționarea subsistemelor mecanice prin diversificarea largă a metodelor de generare a suprafețelor și raționalizarea construcțiv-funcțională a acționărilor ajutătoare; perfecționarea generațoarelor de impulsuri prin lărgirea gamei regimurilor de lucru cu uzare practic nulă a electrodului, prin dezvoltarea sistemelor de prelucrare multicanal; îmbunătățirea subsistemelor de pregătire și circulație a mediului de lucru dielectric, perfecționarea sistemelor de conducere automată adaptivă, cu program și cu calculator, dezvoltarea automatizării complete a utilajului;

b) la elementele spațiului de lucru: aprofundarea în continuare a cercetărilor teoretico-experimentale ale proceselor din spațiul de lucru; cercetarea și asimilarea în producție curentă a noi materiale pentru electrozi și lichide de lucru, inclusiv lichide cu adaosuri speciale care să determine îmbunătățirea caracteristicilor tehnologice; îmbunătățirea caracteristicilor metodelor existente și introducerea de noi metode pentru fabricarea electrozilor, care să asigure îndeosebi precizie, identitate ridicată și economicitate sporită; trecerea pe calculator a proiectării electrozilor, îndeosebi pentru cazul generării suprafeței prin rulare; creșterea preciziei prelucrării la noile utilaje produse, respectiv de 1,5...2 ori la prelucrarea cu copierea formei; dublarea productivității prelucrării; îmbunătățirea netezimii suprafeței cu 1...2 clase;

c) la pregătirea fabricației: perfecționarea proceselor tehnologice și elaborarea de normative unitare generale, în acest domeniu; proiectarea proceselor tehnologice pe calculator; extinderea poliservirii utilajelor și organizarea de ateliere automatizate pentru prelucrare prin eroziune electrică; lărgirea persistentă a domeniului de aplicare a prelucrării electroerozive, atât în producția de bază cît și în producția auxiliară.

In România aplicarea industrială a prelucrării prin eroziune electrică datează încă din 1960. În prezent numărul mașinilor instalate depășește cifra de 300 buc. Cercetările efectuate în acest domeniu la Institutul Politehnic "Traian Vuia" din Timișoara încă din anul 1962, la Universitatea din Brașov după 1965 și la ICPTCM București după 1968, au permis realizarea mai multor prototipuri originale de mașini pentru prelucrarea prin eroziune electrică cu copierea formei electrodului. În 1977 întreprinderea Electrotimiș Timișoara produce mașini universale de gabarit

mijlociu pentru prelucrarea cu copierea formei, iar începînd din anul 1980 va fabrica în serie și mașini de prelucrare cu electrod filiform, ambele de concepție românească. A fost finanțat /328/ un program complex de cercetare-proiectare-asimilare în producția de serie pentru utilaje de prelucrare dimensională prin eroziune. În cadrul acestui program urmează ca să se dezvolte și să se diversifice în primul rînd producția utilajelor de prelucrare prin eroziune electrică, perfecționarea tehnologiilor, utilizarea mai ratională a parcului de mașini existent.

In principiu, problemele ce le au de rezolvat cercetătorii, proiectanții, producătorii de utilaje și utilizatorii din România și preluărării electroerozive sunt aceleași ca cele pe plan mondial.

Existența unui parc de utilaje de prelucrare prin eroziune electrică și perspectiva creșterii lui importante în viitor, ridică pentru utilizatorii din România cîteva probleme prioritare în următorii 5...10 ani :

- a) proiectarea proceselor tehnologice optime de prelucrare prin eroziune electrică,
- b) optimizarea construcției și fabricației electrozilor, în condițiile unei game suficient de largi de materiale pentru electrozi și a diversificării procedeelor de fabricare a electrozilor.

La rezolvarea unor aspecte ale acestor probleme de pregătire a fabricației prin eroziune electrică, lucrarea de față urmărește să aducă o modestă contribuție, în continuare.

## II. CERCETARI PRIVIND SISTEMUL ELECTROD DE TRANSFER PENTRU PRELUCRAREA PRIN EROZIUNE ELECTRICA CU COPIEREA FORMEI

### 4. Functia si structura electrodului de transfer pentru prelucrarea dimensională prin eroziune electrică.

#### 4.1. Functia electrodului de transfer.

Pe baza analizei necesităților tehnico-economice, a categoriilor de cerințe funcționale cărora le răspunde /301, 303, 314/ se poate considera că funcția globală a electrodului de transfer ET la prelucrarea prin eroziune electrică cu copierea formei este asigurarea transferului direct de energie, informație și lichid de lucru în spațiul de lucru SL al prelucrării.

Ca subsistem al spațiului de lucru, electrodul ET satisfăcă de fapt mai multe categorii de cerințe funcționale, prin funcțiile componente ale funcției globale:

a). Performanțe, cărora le corespund funcțiile de performanță:

al) cerințe funcționale ale SL, cărora le corespund funcțiile finale ale ET, pentru care a fost constituit;

a2) cerințe funcționale ale SATO și mediului SATO (vezi cap.2) cărora le corespund funcțiile colaterale ale ET ;

b). Cerințe funcționale ale însăși ET, cărora le corespund funcțiile intermediare (auxiliare) ale ET.

In tabelul 4.1 se sistematizează funcțiile ET pentru prelucrarea dimensională prin eroziune electrică, ca rezultat al analizei funcționale efectuate pentru cazul prelucrării cu copierea formei. Cu unele modificări (omisiunea funcțiilor F7, F8, F9 și F5I) funcțiile descrise în tabelul 4.1 sunt identice cu cele ale electrodului filiform.

Trebuie remarcat faptul că majoritatea funcțiilor finale și intermediare (cu excepția F1, F5, F111, F121, F5I) sunt determinate de proprietățile de material ale ET și de procesele ce se desfășoară în spațiul de lucru (vezi § 3.3.1).

Determinarea importanței funcțiilor electrodului ET se face cu metodica consacrată /301, 308/ prin stabilirea ponderei  $P_F$  a fiecărei funcții în funcția globală a ET (tabelul 4.2).

Tabelul 4.1.

<b>Functiile electrodului de transfer pentru prelucrarea dimensionala prin eroziune electrica</b>	
<b>a. Functii de performanta</b>	<b>b. Functii intermediare, cerute de rezalizarea functiilor de performanta</b>
<b>a1. functii finale</b>	<b>a2. functii colaterale</b>
F1. stocarea initiala precisă de informație macrogeometrică și microgeometrică pentru suprafetea reală a piesei (dimensiuni, formă, poziție reciprocă a suprafețelor active componente, rugozitate) (mm)	F7. asigurarea pozitio-nării precise și rapide în dispozitive tipizate SATO
F2. transferul cu pierderi reduse și informației în SL (uzură relativă % redusă)	F8. asigurarea fixării sigure și rapide în dispozitive tipizate ale SATO.
F3. transferul cu pierderi reduse și energiei electrice secundare în SL (randament $\eta_t$ %)	F9. asigurarea conec-tării-deconectării sigure și rapide la dispozitive tipizate ale ieșirii generatorului de impulsuri al SATO
F4. asigurarea posibilităților de recondiționare convenabile a suprafaței active a ET.	F10. asigurarea evacuării bune a deșeurilor tehnologice din intersticiul ET-QP
F5. asigurarea circulației favorabile a lichidului de lucru LL prin corpul ET	F11. asigurarea rigidității mecanice corespunzătoare componentelor ET (mm/daN)
F6. asigurarea circulației favorabile a lichidului de lucru LL prin materialele ET-QP în LL ( $C_p$ )	F12. asigurarea rigidității mecanice corespunzătoare componentelor ET (mm/daN)

Tabelul 4.2.

Ponderea funcțiilor electrodului de transfer în funcție globală

	F1	F2	F3	F4	F5	F6	F7	F8	F9
F1	1	1	0	0	0	0	0	0	0
F2	0	1	0	0	0	0	0	0	0
F3	1	1	1	0	0	0	0	0	0
F4	1	1	1	1	1	1	1	1	1
F5	1	1	1	0	1	0	0	0	0
F6	1	1	1	0	1	1	1	0	1
F7	1	1	1	0	1	0	1	0	0
F8	1	1	1	0	1	1	1	1	1
F9	1	1	1	0	1	0	1	0	1
p <sub>F</sub>	8	9	7	1	6	3	5	2	4

Importanța descrescătoare a funcțiilor ET este deci: F2; F1; F3; F5; F7; F9; F6; F8; F4.

Realizarea funcției F2 (uzură relativă redusă - ideal nulă), aşa cum s-a arătat la § 3.3.2, constituie unul din obiectivele prioritare ale cercetării, proiectării și producției de utilaje actuale, vizând atenuarea și înlăturarea principalului dezavantaj al prelucrării prin eroziune electrică. Cercetările sunt îndreptate deocamdată preponderent spre elucidarea procesului fizico-chimic complex al uzării ET (prelevare-depunere) și găsirea căilor de control ale acestuia /25, 27, 185, 197, 217, 252, 314, 382, 388, 420, 423/, spre perfecționarea materialelor pentru EF. Sunt însă puține cercetările privind uzarea ET la nivel macroscopic, fapt oarecum paradoxal. Drept consecință, în literatură sunt definite puține variabile de ieșire pentru procesul de uzare, este rămas în urmă studiul influenței factorilor geometrici, modelele matematice ale generării suprafeței la prelucrarea cu copierea formei nu sunt încă satisfăcătoare etc.

Realizarea funcției F1 (precizie dimensională a suprafeței active a ET) este un obiectiv important al proceselor tehnologice de fabricare a ET.

#### 4.2. Structura electrodului de transfer.

Adoptând ca prim punct de vedere transferul de informație

și ținând seama că electrodul poate avea o structură mono- sau multicomponentă, se face în figura 4.1 o distanție funcțională a componentelor ET, corelată cu tabelul 4.1.

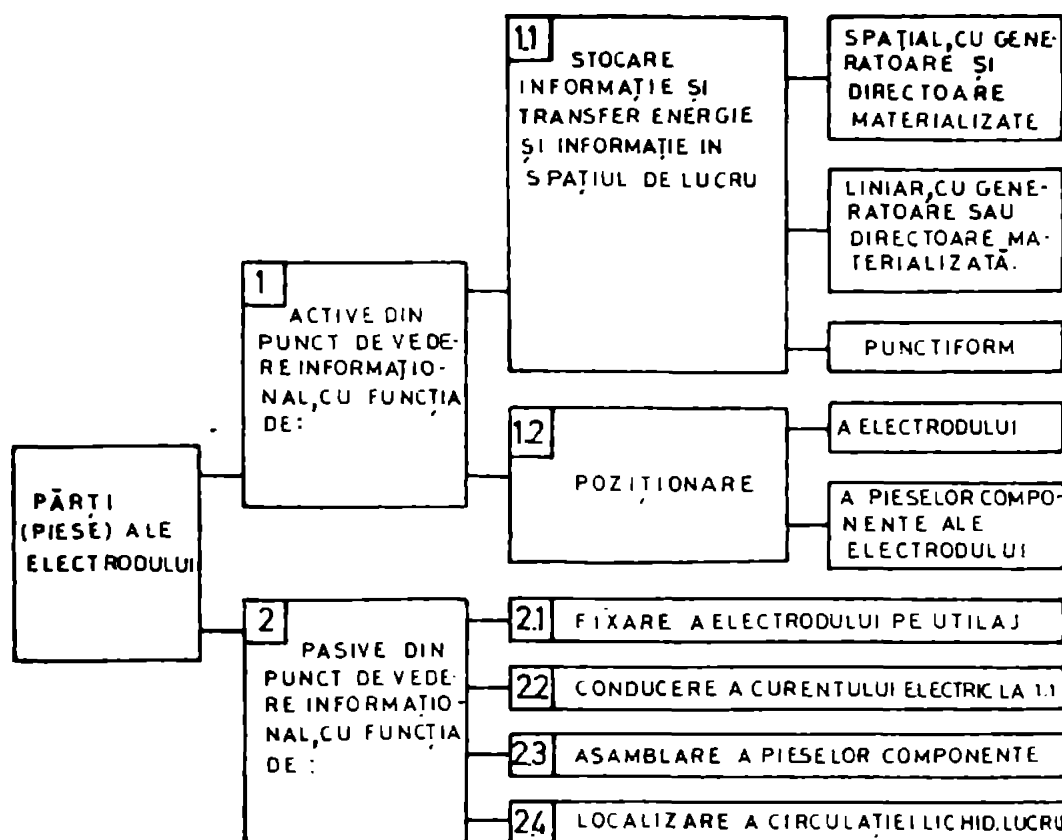


Fig.4.1.Componentele funcționale ale electrodului de transfer pentru prelucrarea dimensională prin eroziune electrică.

Din punct de vedere al transferului de energie componentele ET trebuie de asemenei separate în active ( componentele (1.1) și părțial (2.1), figura 4.1) și pasive în procesul de prelucrare prin eroziune electrică.

Componentele funcționale precizate în figura 4.1 descriu construcția de principiu a oricărui electrod. În cazul structurii celei mai simple (electrod filiform) unica componentă funcțională a ET este cea numerotată 1.1.

Componenta (1.1) realizează funcțiile finale ale electrodului și dependent de metoda de generare a suprafeței stochează-transmite informație în trei moduri: spațial, liniar, punctiform.

Analiza modurilor de generare a suprafeței reale /88,213, 314/ demonstrează marea diversitate constructivă a electrozilor pentru prelucrarea dimensională prin eroziune electrică.

Din punct de vedere al componentei principale (1.1) electrozii se clasifică conform figurii 4.2. Construcțiile monobloc (monomaterial) sunt justificate la complexități și gabarite relativ reduse ale suprafeței, în opozitie cu construcțiile compuse

ale electrozilor.

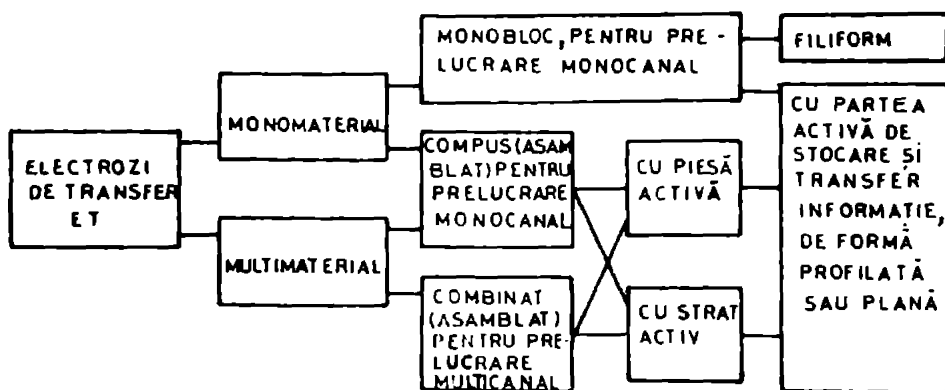


Fig.4.2.Clasificarea constructivă a electrozilor de transfer din punct de vedere al componentelor principale

La prelucrarea cu copierea formei, în cazul gabaritelor sau/și complexităților mari ale suprafeței reale a piesei, prezintă eficiență deosebită electrozii de transfer cu strat activ /258/.

#### 4.3. Calitatea electrodului de transfer.

Nivelul calității totale a unui produs înglobează valoile tuturor caracteristicilor (indicatorilor) de calitate, adică valorile variabilelor de performanță ale produsului și procesului realizat de acesta./301/. Performanțele de calitate ale produsului pot fi tehnice (1. statice: caracteristici structural-funcționale ale produsului, ergonomice, cu aspect social; 2. dinamice, însumate de disponibilitatea A(t) a produsului) sau comerciale (1. economice: productivitate, randament, costuri etc.; 2. estetice: aspect, grad de finisare, eleganță formelor etc.).

Fiind un produs cu structură relativ simplă și funcționând numai în cadrul spațiului de lucru SL al SATO pentru prelucrarea electroerozivă, calitatea totală a electrodului ET poate fi analizată și estimată numai în cadrul unui SATO concret. Dacă indicatorii de calitate sunt exprimați cantitativ, calitatea totală a ET se estimează fără dificultate cu metodele existente în literatură /30, 59/.

Din mulțimea variabilelor de performanță (vezi § 2.1) este însă nesatisfătoare exprimarea cantitativă a variabilelor pentru procesul de uzare și uzura ET, respectiv a indicatorilor de calitate referitori la disponibilitatea ET. Acest fapt crează dificultăți în estimarea nivelului calității totale a electrodului și impune cercetări speciale în domeniu, în primul rînd în ce privește procesul de uzare considerat la nivel macroscopic.

5. Procese și modele ale proceselor de uzare a electrodului de transfer la prelucrarea prin eroziune electrică cu copierea formei.

5.1. Uzură, durabilitate și coeficient de polaritate la prelucrarea dimensională prin eroziune electrică.

Inainte de a analiza mărimele ce caracterizează la nivel macroscopic uzarea și uzura electrodului, este necesar să se facă distinge între noțiunile de uzură a electrodului și durabilitate la eroziune electrică a unui material electroconductor, ultima în condiții date ale spațiului de lucru elementar SLE (combinație de materiale ET-OP-LL; polaritate a conectării ET și OP la generatorul de impulsuri GI; formă și caracteristici ale impulsurilor de tensiune și de curent; grosime  $\delta$  a interstițiului activ; viteză de circulație în interstițiu a lichidului de lucru LL etc.).

Așa cum s-a arătat la § 3.3.1 (fig.3.5), uzura electrodului este rezultatul procesului de uzare (prelevare de la ET + depunere la ET) și poate fi definită de modificarea formei și reducerea diferențială a dimensiunilor părții active a electrodului ET în decursul procesului de prelucrare a obiectului prelucrat OP. De fapt, uzura este una din consecințele la ET a conexiunilor de interacțiune și de transformare posibile în spațiul de lucru. În anumite condiții /213, 217, 333, 410/ aceleași categorii de conexiuni realizează fie uzură nulă, fie încărcări la electrod (modificări de formă și creșterea diferențială a dimensiunilor părții active a electrodului în decursul procesului de prelucrare a OP).

Pentru a se distinge de uzură, care este determinată în mod esențial și de factori geometrici /6, 304/ ce îngreunează mai mult sau mai puțin evacuarea deșeurilor solide  $D_{sol}$  din interstițiu, durabilitatea la eroziune electrică a unui material electroconductor exprimă comportarea la nivel macroscopic a acestuia, independent de factorii geometrici ai prelucrării ET-OP.

Trebuie deci să caracterizeze, în condiții date, procesele de separare (prelevare) de la ET, piroliză a LL și depunere (peliculizare) la ET, este necesar ca durabilitatea la eroziune electrică a materialului ET să fie determinată în absența influenței evacuării deșeurilor  $D_{sol}$  cauzată de geometria interstițiului, deci cu electrozi ET-OP având suprafețe active plane și în absența în interstițiu a descărcărilor de mărunțire și disperdere (fig.3.5) :

$$N_{pm} \{ AE \} = N_{fg} \{ AE \} = 0 \quad (5.1)$$

Atunci, descărcările de prelucrare propriu-zisă  $N_{pp}$  {AE} se vor distribui aleatoriu în intersticiu.

In cazul cînd nu sînt îndeplinite condițiile de depunere a peliculelor protectoare la suprafața ET apare un caz particular al durabilității, pentru care, din motive de distincție, se propune denumirea de rezistență la eroziune electrică a materialului electroconductor.

Pentru a exclude influența perturbatorie a încălzirii OP și ET asupra rezultatelor încercării la durabilitate electroerozivă, semnalată de Zlobin /421/, este necesar să se realizeze în intersticiu densități de curent /213, 313, 314, 325, 456, 458/ :

$$j_{med} = (0,5 \dots 15) \text{ A/cm}^2,$$

corelate cu ariile suprafețelor de interacțiune ET-OP și cu modul de evacuare a deșeurilor din intersticiu. Se impune ca proiecția suprafețelor active ale ET-OP pe un plan perpendicular pe direcția avansului ET să fie, în cazul determinării durabilității la eroziune electrică /148, 294, 410, 456, 457, 458/ :

$$A_{tE} = (20 \dots 500) \text{ mm}^2$$

Încercarea la duritate electroerozivă se poate face cu sau fără circulația lichidului de lucru LL. In primul caz este necesar /148, 359, 456, 458/ ca în intersticiul activ să se realizeze refularea LL cu o presiune:

$$P_{LLI} = (0,05 \dots 0,3) \text{ daN/cm}^2$$

In al doilea caz este necesar ca prin forma și dimensiunile ET și OP să se excludă posibilitatea aglomerării în intersticiu a unor deșeuri solide sau gazoase ( $A_{sol}$ ,  $A_{gaz}$  conform fig.3.5), ședică este necesar să se respecte egalitatea (5.1). In cazul încercării la durabilitate electroerozivă fără circulația lichidului de lucru realizarea egalității (5.1) presupune efectuarea încercării la suprafețe de interacțiune plane cu arie minimală /304, 421/ :

$$A_{tE} = (20 \dots 50) \text{ mm}^2$$

seu cel puțin cu rază de evacuare  $r_{ev}$  minimă /213/. Pentru a elmina posibilitatea de apariție a traseelor de evacuare verticale, generatoare ale aglomerărilor  $A_{sol}$ , se impune ca formele și ariile secțiunilor normale pe direcția de avans, efectuate prin ET ( $A_{nE}$ ) și prin OP ( $A_{nP}$ ) să fie identice. Electrozii ET și OP utilizati în acest caz pentru încercări pot fi cilindrici ( $d_1 = 5 \dots 6 \text{ mm}$ ), tubulari sau paralelipipedici (grosime redusă  $\delta_1 = 2 \dots 4 \text{ mm}$ ).

Durata încercării la durabilitate electroerozivă se recomandă /148/ :

$$t_{id} = (5 \dots 15) \text{ min.}$$

Adîncind în continuare analiza comportării materialelor electroconductive în procesul eroziunii electrice, se remarcă faptul că polaritatea conectării ET și OP la generatorul de impulsuri GI determină în toate cazurile, inclusiv la materialele identice ale ET și OP, eroziune (prelevare) mai mare la unul din electrozi /213, 314/. Evident acest fenomen apare și în cazul cînd **electrodul prezintă la suprafața activă o peliculă depusă** în urma proceselor desfășurate în spațiul de lucru SL (fig.3.5), prelevarea de material de la ET în timpul încercării făcîndu-se în primul rînd din pelicula depusă anterior, cu un alt efect de polaritate decît în cazul materialului electroconductor de bază al ET. Deci, la determinarea efectului de polaritate, pentru a cunoaște numai comportarea la procese de separare (prelevare) prin eroziune electrică a perechii de materiale încercate, se impune eliminarea posibilității ca în timpul încercării să se preleveze material din două straturi (peliculizat și bază), adică se impune eliminarea din SL a proceselor de depunere la ET și la OP.

Exprimînd de fapt repartiția energiei de efect  $E_3$  ( $E_{3ET}$  și  $E_{3OP}$  cf.fig.2.3) între electrozi efectul de polaritate la eroziune electrică este determinat de un număr mare de factori: polaritatea conectării la generatorul de impulsuri, caracteristicile fizico-chimice ale materialelor electrozilor, caracteristicile fizico-chimice ale mediului de lucru lichid dielectric, grosimea interstîțiului dintre electrozi, forma și caracteristicile impulsurilor de tensiune și de curent, geometria canalului descărcării /35, 180, 185, 195, 197, 213, 251, 262, 271, 279, 284, 294, 314, 340, 371, 398/. Unele cercetări /279, 154, 197/ au demonstrat importanța hotărîtoare pentru efectul de polaritate a raportului dintre potențialele de ionizare a materialelor celor doi electrozi, respectiv a raportului dintre numărul de electroni și ioni la descărcarea în impuls cu caracteristici date.

Se poate conchide că (tabelul 5.1) :

a). Uzura electrodului este o consecință a proceselor de uzură a ET desfășurate în intreg spațiul de lucru SL (fig.3.5), adică o consecință a tuturor proceselor de separare-depunere la ET, de mărunțire și evacuare a deșeurilor  $D_{sol}$ . Uzura poate fi exprimată prin diverse mărimi (variabile) de ieșire tehnologice, globale sau locale.

Tabelul 5.1.

**Caracterizarea comportării la eroziune electrică a părții active a electrodului de transfer și a unei perechi de materiale electrocductive, în cazul mediului de lucru lichid dielectric**

Nr. crt.	Consecință (efect) sau mărime	Caracteristici ale descărcării electrice	
		tip de descărcări în interstițiul ET-OP	mod de acțiune
1.	uzură a electrodului de transfer	toate tipurile posibile $N_{pp}$ ; $N_{pm}$ ; $N_{fg}$	
2.	durabilitate la eroziune electrică a unui material electroconductor.	numai descărcări $N_{pp}$ ce realizează separare și depunere	în masă
3.	rezistență la eroziune electrică a unui material electroconductor	numai descărcări $N_{pp}$ ce realizează separare	
4.	coeficient de polaritate pentru o pereche de materiale date	numai descărcare $N_{pp}$ ce realizează separare elementară	singulară

b). Durabilitatea la eroziune electrică a unui material electroconductor este o caracteristică, o consecință a proceselor desfășurate în spațiul de lucru elementar SLE (definit la § 3.2.2), adică numai a proceselor de separare-depunere la ET și de evacuare fără măruntire a  $D_{sol}$ .

c). Rezistența la eroziune electrică a unui material electroconductor este un caz particular al durabilității electro-erozive, cind în SLE se desfășoară numai procese de separare de la ET (nu sunt îndeplinite condițiile de depunere a peliculelor protectoare la suprafața ET).

d). Coeficientul de polaritate este o caracteristică numai a proceselor de separare (prilevare) ce se desfășoară în spațiile de lucru (corespunzătoare descărcărilor) singulare SLM, fiind excluse procesele de peliculizare a electrozilor și procesele de măruntire a degeurilor solide. Coeficientul de polaritate poate fi considerat o variabilă intermediară pentru procesele din SLE și SL. Evident, în virtutea apartenențelor SL {SLE{SL}}, efectul de polaritate pentru o anumită pereche de materiale supuse eroziunii electrice în condiții date, determină parțial atât rezistența la eroziune electrică, durabilitatea la eroziune electrică, cât și uzura electrodului de transfer.

Uzura, durabilitatea la eroziune electrică și rezistența

la eroziune electrică se pot exprima global prin raportul dintre reducerile de volum la electrozii supuși prelucrării sau încercării.

Durabilitatea la eroziune electrică a unui material electroconductor (ET) se exprimă /421/ prin relația :

$$\Psi_o = \frac{V_{Po}}{V_{Eo}} = \frac{1}{\gamma_o} \quad (5.2)$$

în care:  $V_p$  /mm<sup>3</sup>/ - volumul de material prelevat de la obiectul prelucrării OP;  $V_E$  /mm<sup>3</sup>/ - volumul uzării electrodului ET; o - indice care marchează realizarea condițiilor pentru respectarea egalității (5.1), în cazul electrozilor OP-ET având suprafete active plane.

Intotdeauna se realizează inegalitatea :

$$V_E < V_p \quad (5.3)$$

Cea ce, funcție de efectul de polaritate, impune conectarea ET fie drept catod (polaritate directă) fie drept anod (polaritate inversă). La orice determinare a durabilității electroerozive se precizează detaliat în ce condiții, cu ce parametri s-a desfășurat încercarea.

Coeficientul de polaritate este definit pentru o pereche de materiale electroconductoare /314/ :

$$C_p = \frac{\gamma_{o-}}{\gamma_{o+}} = \frac{V_{Bo-}}{V_{Po+}} \cdot \frac{V_{Po-}}{V_{Eo+}} \quad (5.4)$$

în care:  $\gamma_{o-}$  - uzura relativă volumică a electrodului la polaritate directă, în condițiile respectării egalității (5.1) și ale absenței depunerii de pelicule protectoare pe ET;  $\gamma_{o+}$  - uzura relativă volumică a electrodului la polaritate inversă, în condițiile menționate. Dacă  $C_p \ll 1$  este optimă polaritatea directă, dacă  $C_p \gg 1$  este optimă polaritatea inversă. Deși este determinat de procese microscopice, desfășurate în spațiul de lucru microscopic SIM al unei descărcări singulare, în practică  $C_p$  se determină prin încercări de durată, deci prin însumarea efectelor descărcărilor singulare, desfășurate în condițiile menționate. În conformitate cu cele expuse în tabelul 5.1 ar fi necesar ca determinarea  $C_p$  să se facă prin încercări la descărcări singulare.

Studiul efectuat mai sus permite că în tabelul 5.2 să se sintetizeze condițiile de bază ale încercării la durabilitate

electroerozivă. Acestea pot fi luate în considerare nu numai în practica determinărilor, ci și la elaborarea unui standard în acest domeniu.

Tabelul 5.2.

Parametri geometrici și de regim pentru determinarea durabilității la eroziune electrică a unui material electroconductor.

Mărimi	Valori limită pentru cazul evacuării din interstițiul a deșeurilor solide și gazoase	
	prin circulația forțată a lichidului de lucru	b) natural
$j_{med}$ /A/cm <sup>2</sup> /	0,5 ... 15	0,5 ... 15
$A_{tE}$ /mm <sup>2</sup> /	50 ... 500	20...30 sau $r_{ev} \cdot \text{min}$
$r_{ev}$ /mm/	$d_E/6$	$d_E/6 = g_E/4 \rightarrow \text{min}$
$d_E$ /mm/	$(\frac{4}{\pi} A_{tE})^{1/2}$	5 ... 6
$g_E$ /mm/	$f(A_{tE})$	2 ... 4
$A_{nE}/A_{nP}$	1	1
$p_{LLI}$ /daN/cm <sup>2</sup> /	0,05 ... 0,3	-
$t_{id}$ /min/	15	5 ... 15

#### Observații:

- a) semnificație notățiilor:  $j_{med}$  - densitatea de curent în interstițiu;  $A_{tE}$  - aria proiecției suprafetei active a electrodului pe un plan perpendicular pe direcția mișării de avans;  $r_{ev}$  - rază de evacuare a deșeurilor;  $d_E$  - diametrul electrodului;  $g_E$  - grosimea electrodului paralelipipedic;  $A_{nE}/A_{nP}$  - aria secțiunii normale pe direcția de avans a ET/OP;  $p_{LLI}$  - presiunea de refuzare a lichidului de lucru în interstițiu;  $t_{id}$  - durata încercării la durabilitate electroerozivă;
- b) pentru a se putea mări valorile  $A_{tE}$ , se propune efectuarea în timpul încercării a unei mișări de translație orbitală orizontală a electrodului, cu excentricitate  $e = 0,1...0,3$  mm.

Valorile pentru  $A_{tE}$  pot fi mărite întrucâtva dacă unuia din electrozi i se imprime o mișcare de translație orbitală orizontală, care activează evacuarea deșeurilor din interstițiu.

Spre deosebire de durată electroerozivă, uzura electrodului se determină în condițiile concrete și complexe ale

prelucrării dimensionale electroerozive, cînd în spațiul de lucru există toate tipurile de descărcări electrice ( $N_{pp}$ ,  $N_{pm}$ ,  $N_{fg}$ ), ca o consecință directă a factorilor geometrici ai interstițiului: trasee lungi de evacuare, raze de curbură mici, grosimi și mici ale interstițiului /115, 213, 214, 298/.

Această definire a noțiunilor și clarificare a conținutului încercărilor, în conformitate cu procesele ce se desfășoară în spațiul de lucru, lipsește în literatura de specialitate cunoscută.

### 5.2. Procese fizico-chimice la uzarea electrodului de transfer în cazul prelucrării prin eroziune electrică cu copierea formei.

O primă sinteză privind grupele de procese componente ale uzării electrodului ET (prelevare de substanță prin eroziune de la ET + depunere pelicule la ET) a fost prezentată în § 3.3.1 pentru cazul utilajelor actuale de prelucrare prin eroziune electrică cu copierea formei.

Datorită caracteristicilor descărcării electrice în impuls (temperatura în canalul descărcării este obișnuit  $10.000\dots 11.000\text{ }^{\circ}\text{C}$  la descărcarea în scînteie  $t = 0\dots 10^{-6}\text{ s}$ , respectiv  $4.000\dots 5.000\text{ }^{\circ}\text{C}$  la descărcarea în arc  $t = 10^{-5}\dots 10^{-4}\text{ s}$  de la străpungerea lichidului de lucru LL) eroziunea ET este inevitabilă și se desfășoară în orice condiții din spațiul de lucru al SATO. Două decenii de cercetări au permis stabilirea unei scări a rezistenței la eroziune electrică a diverselor materiale pentru electrozi /213, 314, 340, 341, 394/.

Procesele de prelevare prin eroziune nu puteau însă explica uzurile foarte reduse ale ET ce apar în anumite condiții. Încă în 1961 /418/, pe baza unui număr mare de experimentări, s-a emis ipoteza că electrozii din cupru și grafit supuși eroziunii în anumite condiții de regim electric și lichid de lucru se autorefecă prin depunerea la suprafața lor a unor pelicule de protecție din grafit, formate din produsele pirolizei lichidului de lucru D<sub>pir</sub> (fig.3.5). Cercetările teoretice și experimentale desfășurate au confirmat în timp această ipoteză /17, 62, 108, 217, 252, 288, 332, 382, 393, 420/. În prezent este demonstrat faptul că depunerea peliculelor și protejarea electrodului împotriva uzării necesită /212, 217/ îndeplinirea următoarelor condiții în spațiul de lucru SLE, respectiv SL :

- 1) temperatura la suprafața electrodului ET ( $T_{ET}$ ) să nu

fie sub o anumită temperatură critică de formare a peliculei ( $T_{depE} \approx 700^{\circ}\text{C}$ ) și să nu depășească temperatura de topire a materialului ET ( $T_{topE}$ ) :

$$T_{depE} \leq T_{ET} < T_{topE} \quad (5.5)$$

2) în apropierea zonei ET încălzită la temperatura  $T_{ET}$  să existe în cantitate suficientă produse lichide și gazoase ale pirolizei  $D_{pir}$ , din care să se formeze pelicula prin depunere pe ET :

$$D_{pir} \geq D_{plim} \quad (5.6)$$

3) procesele din spațiul de lucru să se desfășoare astfel încât în zona ET încălzită la temperatura  $T_{ET}$  depunerea peliculei să se facă timp suficient de mare, iar grosimea peliculei  $g_{dep}$  să asigure protecția ET la regimul de prelucrare dat :

$$g_{dep} \approx g_{dopt} \quad (5.7)$$

Desigur că situatia ideală, a uzurii nule la electrodul ET, o constituie procesul dinamic perfect echilibrat în spațiu și timp al depunerii și eroziunii peliculei de grafit inclusiv la suprafața ET. Aceasta este încă un obiectiv al viitorului și programele /328/ apreciază că automatizarea avansată a proceselor pentru toată gama regimurilor de prelucrare electrice cu uzură nulă, necesită cel puțin 15 ani de cercetări.

In situatia actuală, SATO existente pentru prelucrare prin eroziune electrică cu copierea formei realizează pentru anumite regimuri uzuri nule, pentru altă regimuri uzuri ale ET mai puțin sau mai mult pronunțate (are loc eroziunea peliculei depuse și a materialului de bază al ET sau, cind nu există condiții de depunere, numai eroziunea materialului de bază al ET). In anumite condiții /213, 217, 314, 409/ apare chiar o uzură „negativă” a ET – cind local debitul depunerii la ET ( $Q_{dep}$ ) depășește debitul prelevării de la ET ( $Q_E$ ) – sau apare zgurificarea la obiectul prelucrării OP.

Pentru a reduce sau a anula uzura electrodului la prelucrarea prin eroziune electrică cu copierea formei s-au făcut cercetări numeroase pe diverse directii :

- noi materiale sau noi structuri ale materialelor pentru electrozi /108, 176, 192, 208, 250, 314, 327, 378, 394/ ;
- noi lichide de lucru sau noi adaosuri la acestea, inclusiv de pulbere de grafit /73, 108, 235, 284, 327/;
- îmbunătățirea sau optimizarea caracteristicilor impulsurilor de tensiune și curent generate de generatoarele de impulsuri

ale utilajelor de prelucrare electroerozivă /62, 108, 177, 168, 205, 214, 288, 314, 332, 382, 391/;

- îmbunătățirea sau optimizarea caracteristicilor circulației forțate a lichidului de lucru /106, 115, 186, 274, 369/.

In producția de utilaje pentru prelucrarea prin eroziune electrică cu copierea formei, în mod deosebit după 1965, s-a aplicat însă preponderent generarea impulsurilor cu coeficienți de umplere de valori mari ( $\tau \rightarrow 1$ ) pentru operații de degroșare cu uzură redusă, respectiv se recomandă în cărțile mașinilor rapoarte mici între amplitudinile impulsurilor de curenț și duratele impulsurilor, la operații de finisare cu uzură mijlocie /213, 214, 314, 358, 455, 456, 458/. Chiar dacă funcționează în conexiune cu regulațoare de avans de foarte bună calitate, cu asemenea tipuri de generatoare și în lipsa comenzilor adaptive avansate nu se pot elimina efectele de zgurificare sau uzură „negativă” (încărcare la electrod). Deabia după anul 1970, o dată cu inventarea și producerea în serie a generatoarelor de impulsuri de protecție (peliculizare) /214, 278, 314/ s-a depășit această dificultate, creindu-se premizele ca după 1980 să se extindă în industrie generatoarele de impulsuri universale cu uzuri reduse ( $\delta = 0,1...5\%$ ) și la regimurile de finisare (rugozități la obiectul prelucrării  $R_a < 1 \mu\text{m}$ ), la care să fie reglabile coefficientul de umplere, forma, amplitudinea și frecvența celor trei categorii de impulsuri: de străpungere, de lucru, de peliculizare /104, 192, 217/.

Concluzia ce se degajă din această analiză a proceselor este aceea că, deși s-au realizat pînă în prezent progrese remarcabile în reducerea uzurii electrodului la prelucrarea prin eroziune electrică cu copierea formei, aceasta va rămîne încă mult timp un dezavantaj pentru precedeu. Dată fiind cunoașterea actuală insuficientă a procesului de uzare la nivel macroscopic /24, 63, 64, 163, 164, 166, 248, 263/ se impune cercetarea unor aspecte privind variabilele procesului la nivelul spațiului de lucru SL, interdependențele dintre variabile, respectiv dintre variabile și parametrii.

### 5.3. Procese la nivel macrogeometric în cazul prelucrării prin eroziune electrică cu copierea formei.

#### 5.3.1. Variabilele geometrice și procese la nivel macroscopic.

Pentru procesul de uzare a electrodului ET, respectiv de

prelevare de la obiectul prelucrării OP variabilele macrogeometrice de intrare (independente de proces - fig.2.2) sunt:

a) la suprafața inițială a OP: formă, dimensiuni, poziție reciprocă a suprafețelor componente, abaterile dimensionale, de formă sau poziție față de prescripțiile documentației tehnice de execuție a OP.

b) la suprafața inițială a ET: formă, dimensiuni, poziție reciprocă a suprafețelor componente, abaterile dimensionale, de formă sau poziție față de prescripțiile documentației tehnice de execuție a ET.

Formele suprafețelor active inițiale ale OP și ET pot fi descrise (vezi § 3.1.2) prin ecuații algebrice, ecuații transcen-dente, prin coordonate. Prin calcule sau citire directă din documentația de execuție, se pot determina razele de curbură locale inițiale.

In general forma inițială a suprafeței active a electrodului diferă de cea inițială a suprafeței active a obiectului prelucrării, urmând ca prin prelucrarea electroerozivă forma ET să se copieze cît mai exact la piesă, ținând seama de grosimea interstițiului dintre ET și OP. Această diferență de formă între suprafețele active inițiale ale ET și OP determină ca în general procesul de generare a suprafeței la piesă să parcurgă local, succesiv, două categorii de faze:

a) faze tranzitorii, caracterizate din punct de vedere geometric de variația importantă a grosimii δ a interstițiului ET-OP, datorată unor diferențe între razele inițiale de curbură în puncte conjugate (pe aceeași normală) ale suprafețelor ET și OP, mai mare ca grosimea interstițiului :

$$|r_{KPi} - r_{KEi}| \gg \delta \quad (5.8)$$

b) faze staționare, caracterizate din punct de vedere geometric de relația:

$$r_{K Pf} \approx r_{KEf} + \delta \quad (5.9)$$

în care:  $r_{Ki}$  /mm/ - raza de curbură inițială în zona considerată;  $r_{Kf}$  /mm/ - raza de curbură finală în zona considerată;  $\delta$  /mm/ - grosimea interstițiului între ET-OP pentru regimul de lucru considerat; indicele P - referitor la obiectul prelucrării OP; indicele E - referitor la electrodul ET.

In prima aproximare a studiului teoretic al uzării electrodului, pentru explicitare, în figura 5.1 se prezintă urmărele

unei secțiuni normale pe suprafețele sferice sau cilindrice ale ET și OP, în ipotezele: uzura relativă volumică a electrodului  $\gamma_0 > 0$ ;

deșeul solid  $D_{sol}$  rezultat în urma prelevării de substanță este evacuat instantaneu din intersticiu. In cazul unei faze tranzitorii a procesului de generare a suprafeței (de exemplu, la începutul prelucrării), formarea interstițiului de grosime  $\delta = \text{const.}$  pe o distanță  $\Delta X$  (fig.5.1 a) necesită un timp  $\Delta t_{\Delta X}$  de desfășurare a procesului de generare a suprafeței.

Prelievarea de substanță de la OP și uzarea ET determină micșorarea razei de curbură inițiale a OP de la  $r_{KPi}$  la raza de curbură finală  $r_{K Pf}$ ,

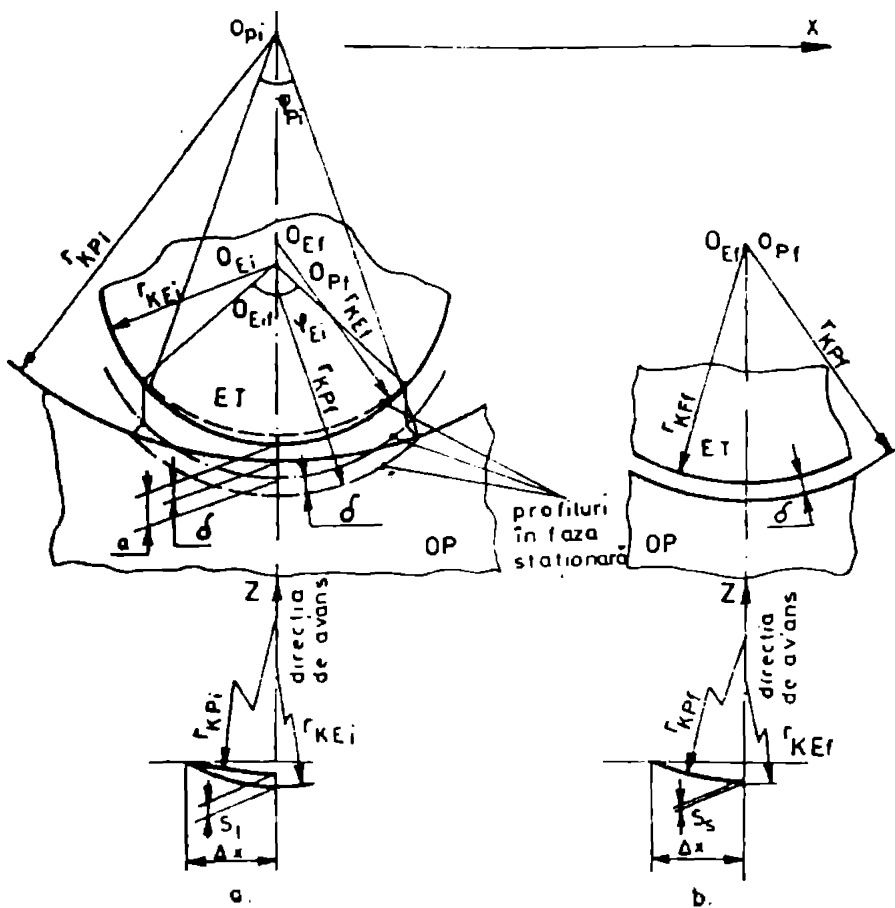


Fig.5.1. Interstițiul activ pentru faza tranzitorie (a) și staționară (b) a prelucrării prin eroziune electrică cu copierea formei electrodului.

respectiv creșterea razei de curbură inițiale a ET de la  $r_{KEi}$  la  $r_{KEf}$ . Există evident relațiile:

$$r_{KEi} < r_{KEf} < r_{KPf} \quad (5.10)$$

După timpul  $\Delta t_t$  de la începutul procesului de generare a suprafeței OP se ajunge în fază staționară (fig.5.1 b) caracterizată de relația (5.9).

Comparând diferențele între razele de curbură ale OP și ET pentru cele două faze a și b ale generării suprafeței (fig.5.1) se constată că :

$$r_{KPi} - r_{KEi} \gg r_{KPf} - r_{KEf} \quad (5.11)$$

Din această cauză, prelucrarea dimensională a OP pe o același porțiune  $\Delta X$  necesită prelevarea de volume diferite de substanță de la OP în fază tranzitorie ( $V_{ptt}$ ) și în fază staționară ( $V_{ps0}$ ) :

$$V_{ptt} \gg V_{ps0} \quad (5.12)$$

Ordinul de mărime al diferenței între aceste două volume este

sugerație de diferență între înălțimea secerilor circulare pe direcția de avans OZ pentru cazul fazei tranzitorii ( $s_t$  - fig.5.1 a) respectiv fazei staționare ( $s_s$  - fig.5.1 b), la razele de curbură considerate.

Intrucât regimul de prelucrare este același în ambele faze se poate scrie, în ipoteza (5.1) :

$$\delta = \frac{V_{Eto}}{V_{Pto}} = \frac{V_{Eso}}{V_{Pso}} \quad (5.13)$$

Tinând seama de relația (5.12) și de faptul că porțiunea  $\Delta X$  este considerată în figura 5.1 aceeași pentru ambele faze, rezultă imediat :

$$V_{Eto} \gg V_{Eso} \quad (5.14)$$

$$L_{EOZt} \gg L_{EOzs} \quad (5.15)$$

în care:  $L_{EOZt}$  /mm/ - uzura liniară longitudinală locală a electrodului pe axa OZ după faza tranzitorie;  $L_{EOzs}$  - idem, pentru faza staționară (fig.5.1).

Deci, în fazele tranzitorii ale generării suprafetei prin eroziune electrică cu copierea formei uzarea electrodului este mult mai intensă în zonele unde razele de curbură ale suprafetei sale active sunt mult mai mici decât razele de curbură în zonele conjugate ale suprafetei prelucrate la obiectul prelucrării.

In cazul fazelor staționare ale procesului de generare a suprafetei, caracterizate din punct de vedere geometric de relația (5.9), cercetări anterioare /6, 298/ ale autorilor Achimescu și Popa au permis stabilirea unor relații între variabile macrogeometrice de intrare și de ieșire, relații care elucidează mecanismul macroscopic de uzare a electrodului.

Aceste relații (vezi și §5.5.4) sunt :

$$\lambda_z = \frac{\Delta z_E}{\Delta z_P} = \lambda_l = \frac{h_{El}}{h_{Pl}} = \gamma_o \left( 1 \pm \frac{h_{Pl} \cos \varphi_i + \delta}{r_{K1Ei}} \right) \left( 1 \pm \frac{h_{Pl} \cos \varphi_i + \delta}{r_{K2Ei}} \right) \quad (5.16)$$

$$h_{El} = h_{Pl} \gamma_o \left( 1 \pm \frac{h_{Pl} \cos \varphi_i + \delta}{r_{K1Ei}} \right) \left( 1 \pm \frac{h_{Pl} \cos \varphi_i + \delta}{r_{K2Ei}} \right) \quad (5.17)$$

$$v_{El} = v_{Pl} \gamma_o \left( 1 \pm \frac{h_{Pl} \cos \varphi_i + \delta}{r_{K1Ei}} \right) \left( 1 \pm \frac{h_{Pl} \cos \varphi_i + \delta}{r_{K2Ei}} \right) \quad (5.18)$$

în care:  $\lambda_z = \lambda_l$  - uzura relativă liniară locală pe direcția de

avans OZ (longitudinală) a electrodului;  $\Delta Z_E = h_{El} / \text{mm} /$  - grosimea, pe direcția de avans, a stratului de material uzat la electrod în timpul  $\Delta t$ , la abscisa X;  $\Delta Z_P = h_{Pl} / \text{mm} /$  - grosimea, pe direcția de avans, a stratului de material prelevat de la obiectul prelucrării în timpul  $\Delta t$ , la abscisa  $X + \delta \cdot \sin \varphi_i$ , deoarece prelevarea de la OP se face pe direcția normalei înclinate cu unghiul inițial  $\varphi_i$  față de axa OZ;  $\delta / \text{mm} /$  - grosimea interstițiului între ET-OP pentru regimul de lucru considerat;  $\gamma_0$  - uzura relativă volumică în cazul electrozilor ET-OP având suprafețe active plane și în absența din interstițiul a descărcărilor de mărunțire și disperdere (relația 5.1);  $r_{K1Ei} / \text{mm} /$  - raza de curbură inițială (înainte de începutul perioadei de timp  $\Delta t$ ) a elementului de suprafață a ET, considerată în planul de avans, determinat de normala locală și direcția de avans OZ;  $r_{K2Ei} / \text{mm} /$  - raza de curbură inițială a elementului de suprafață a ET, considerată în planul care conține normala și este perpendicular pe planul de avans;  $v_{El} / \text{mm/s} /$  - viteza liniară locală de uzare a electrodului ET, considerată longitudinal (pe o direcție paralelă cu direcția avansului);  $v_{Pl} / \text{mm/s} /$  - idem, pentru obiectul prelucrării OP.

Se observă că, în cazul fazelor staționare ale procesului de generare a suprafeței piesei, la suprafețe plane ale electrodului ET și obiectului prelucrării OP caracterizate de razele de curbură inițiale  $r_{K1Ei} = r_{K2Ei} = r_{K1Pi} = r_{K2Pi} = \infty$  în condițiile (5.1) și în conformitate cu (5.17) și (5.18) rezultă :

$$h_{El} = \gamma_0 \cdot h_{Pl} ; \quad v_{El} = \gamma_0 \cdot v_{Pl} \quad (5.19)$$

Dacă pentru zonele plane ale ET și OP se admite o anumită valoare  $h_{Plp}$ , pentru grosimea unui strat de substanță prelevată de la OP, la un regim electric de lucru dat acesteia îi corespunde timpul de prelucrare  $\Delta t$ . Cu ipoteza (5.1) considerată, procesul de uzare a ET poate fi descris din punct de vedere geometric ca o succesiune continuă de secvențe j ( $j = 1, 2, \dots, n$ ) de uzare, fiecare având durată :

$$t = f(h_{Plp}; \text{pereche ET-OP; regim de lucru}) / \text{min} / \quad (5.20)$$

Tot conform (5.17) și (5.18) rezultă că, pentru același ET, în fiecare secvență j uzura  $h_{Elm}$  la muchii exterioare orizontale ( $r_{K1Ei} \approx 0$  și  $r_{K2Ei} \gg 0$ ), verticale ( $r_{K1Ei} \gg 0$  și  $r_{K2Ei} \approx 0$ ) sau de poziție oarecare - este mai mare decât uzura  $h_{Elp}$  în zonele plane ale ET.. Analog, rezultă că în fiecare secvență j, la raze de curbură comparabile cu cele de la muchii, uzura  $h_{Elc}$  la colțuri exterioare

$(r_{KE1} \approx 0 ; r_{K2E1} \approx 0)$  este mai mare decât uzura  $h_{Elm}$  în zona mu-chiilor. Atunci sunt adevărate inegalitățile:

$$h_{Elo} > h_{Elm} > h_{Elp} ; v_{Elo} > v_{Elm} > v_{Elp} \quad (5.21)$$

Aceasta înseamnă că în zonele convexe ale ET, după desfășurarea unei secvențe  $j$  de uzare, la colțurile și muchiile exterioare razele de curbură finale  $r_{KEfj}$  vor crește față de cele inițiale  $r_{KEij}$  cu atât mai mult cu cît valoarea mărimilor  $\gamma_0$  și  $\delta$  este mai mare, respectiv cu cît valoarea mărimilor  $r_{KEij}$  și  $\varphi_{ij}$  este mai mică. Pentru secvența de uzare următoare ( $j+1$ ) razele de curbură și unghiurile de înclinare inițiale ale porțiunii considerate vor fi:

$$r_{KEi(j+1)} = r_{KEfj} \quad (5.22)$$

$$\varphi_{i(j+1)} = \varphi_{fj} \quad (5.23)$$

Deci în fază staționară a procesului de generare a suprafeței piesei prin eroziune electrică cu copierea formei, procesul de uzare a electrodului ( $\gamma_0 > 0$ ) se prezintă din punct de vedere geometric ca o succesiune de modificări (cu durată  $\Delta t$ ) a zonelor suprafeței active cu  $r_{KEi} \neq \infty$ :

$$r_{KEil} \rightarrow r_{KEfl} \rightarrow \dots \rightarrow r_{KEfj} \rightarrow \dots \rightarrow r_{KEfn} \quad (5.24)$$

$$\varphi_{ij} \rightarrow \varphi_{fl} \rightarrow \dots \rightarrow \varphi_{fj} \rightarrow \dots \rightarrow \varphi_{fn} \quad (5.25)$$

In zonele suprafeței active a ET unde  $r_{KEi} = \infty$ , în fiecare secvență de durată  $\Delta t$  se uzează un strat de material de grosime  $h_{Elp}$ , în cazul cînd condițiile menționate nu se modifică.

In realitate, evacuarea instantanea din interstîtu (ipoteza 5.1) a deșeului solid  $D_{sol}$  se întâlnește extrem de rar în practica prelucrării industriale prin eroziune electrică cu copierea formei. Prezența în interstîtu a deșeurilor solide și a aglomerărilor acestora  $A_{sol}$  în anumite zone, în mod special în cele cu valori mici ale razelor de curbură  $r_{KE}$ ,  $r_{KP}$  și în zonele de trece-re de la traseul orizontal la traseul vertical de evacuare, determină apariția reacției inverse interne prin intermediul descărcăriilor de măruntire și dispersare  $N_{pm}$  (vezi § 3.3.1), ceea ce accentuează suplimentar uzarea electrodului tocmai acolo unde factorii geometrii cauzează uzură preponderentă.

Se pot formula următoarele concluzii:

1). La prelucrarea prin eroziune electrică cu copierea formei, în condiții de prelucrare date, chiar dacă nu se iau în considerare efectele descărcărilor de măruntire și dispersare a

deșeului solid ce apare obișnuit în procesele de evacuare a acestora din interstițiu, uzura electrodului se distribuie neuniform datorită factorilor geometrici. Variabilele geometrice de intrare care determină direct uzarea locală diferențiată a electrodului și implicit generarea suprafeței piesei, sunt: curburile locale ale suprafețelor active ale electrodului și obiectului prelucrării; unghiul dintre normala locală la suprafața activă a electrodului și direcția de avans a acestuia; grosimea interstițiului.

2). Viteza de uzare locală  $v_{El}$ , uzura relativă liniară locală  $\lambda_l$ , uzura liniară locală a electrodului  $L_E$  sunt constante pe toată suprafața activă a ET numai în cazul suprafețelor active plane la ET și OP. (curburile  $K_E = 1/r_{KE} = K_P = 1/r_{KP} = 0$ ), perpendiculare pe direcția de avans ( $\varphi = 0$ ).

3). În cazul suprafețelor active de altă formă și orientare valorile mărimilor  $v_{El}, \lambda_l, L_E$  se modifică în funcție de curbura locală a suprafeței și de unghiul dintre normala locală și direcția de avans :

- la curburi pozitive (suprafețe convexe ale ET),  $v_{El}, \lambda_l, L_E$  cresc cu creșterea curburii locale a ET;

- la curburi negative (suprafețe concave ale ET),  $v_{El}, \lambda_l, L_E$  scad cu creșterea valorilor absolute ale curburii locale a ET;

- la o anumită valoare a curburii creșterea, respectiv scăderea  $v_{El}, \lambda_l, L_E$  este accentuată de micșorarea unghiului  $\varphi_i$  și de mărirea grosimii δ a interstițiului ET-OP.

4). La colțuri ( $r_{K1Ei} \approx r_{K2Ei} \approx 0$ ) respectiv la muchii ( $r_{K1Ei} \ll r_{K2Ei}$  sau  $r_{K2Ei} \ll r_{K1Ei}$ ) ale electrodului, modificarea în timp a razelor de curbură initiale începe întotdeauna din punctele de pe suprafața ET situate pe normale paralele la direcția de avans cind  $\varphi_i = 0$  (deci  $h_{Elmax}$ ) și se propagă diferit:

- la curburi pozitive (suprafețe convexe ale ET) are loc o creștere a razei de curbură ( $r_{KEf} > r_{KEi}$ ), prin propagarea uzării maxime  $h_{Elmax}$  înspre zonele suprafeței ET ce au raze de curbură mai mari decât ale muchiilor sau colțurilor;

- la curburi negative (suprafețe concave ale ET) are loc o micșorare a razei de curbură ( $r_{KEf} < r_{KEi}$ ), prin propagarea uzării maxime  $h_{Elmax}$  în spate colțuri sau muchii.

5). Cind unghiul  $\varphi_i \rightarrow 90^\circ$  și  $r_{K1E} \rightarrow \infty$  valorile mărimilor  $v_{El}$  și  $\lambda_l$  devin nedeterminate, având loc trecerea de la suprafețele active la suprafețele pasive ale interstițiului.

6). În cazul evacuării dificile a deșeurilor solide din

interstițiu (grosimi mici ale interstițiului, trasee lungi de evacuare, modificări ale traiectoriei traseului de evacuare etc.) uzarea electrodului este accentuată suplimentar tocmai acolo unde factorii geometrici cauzează uzură preponderentă.

### 5.3.2. Interdependențe între variabile la uzarea electrodului.

Studiul efectuat la § 5.3.1 a demonstrat importanța primordială a variabilelor geometrice în determinarea uzării electrodului ET la prelucrarea prin eroziune electrică cu copierea formei.

Analiza detaliată a procesului de uzare /298/ cu considerarea dependențelor legice între un număr mare de variabile, studiate în literatura de specialitate, a permis stabilirea interdependențelor între grupele de variabile de ieșire și grupele de variabile de intrare (fig.5.2).

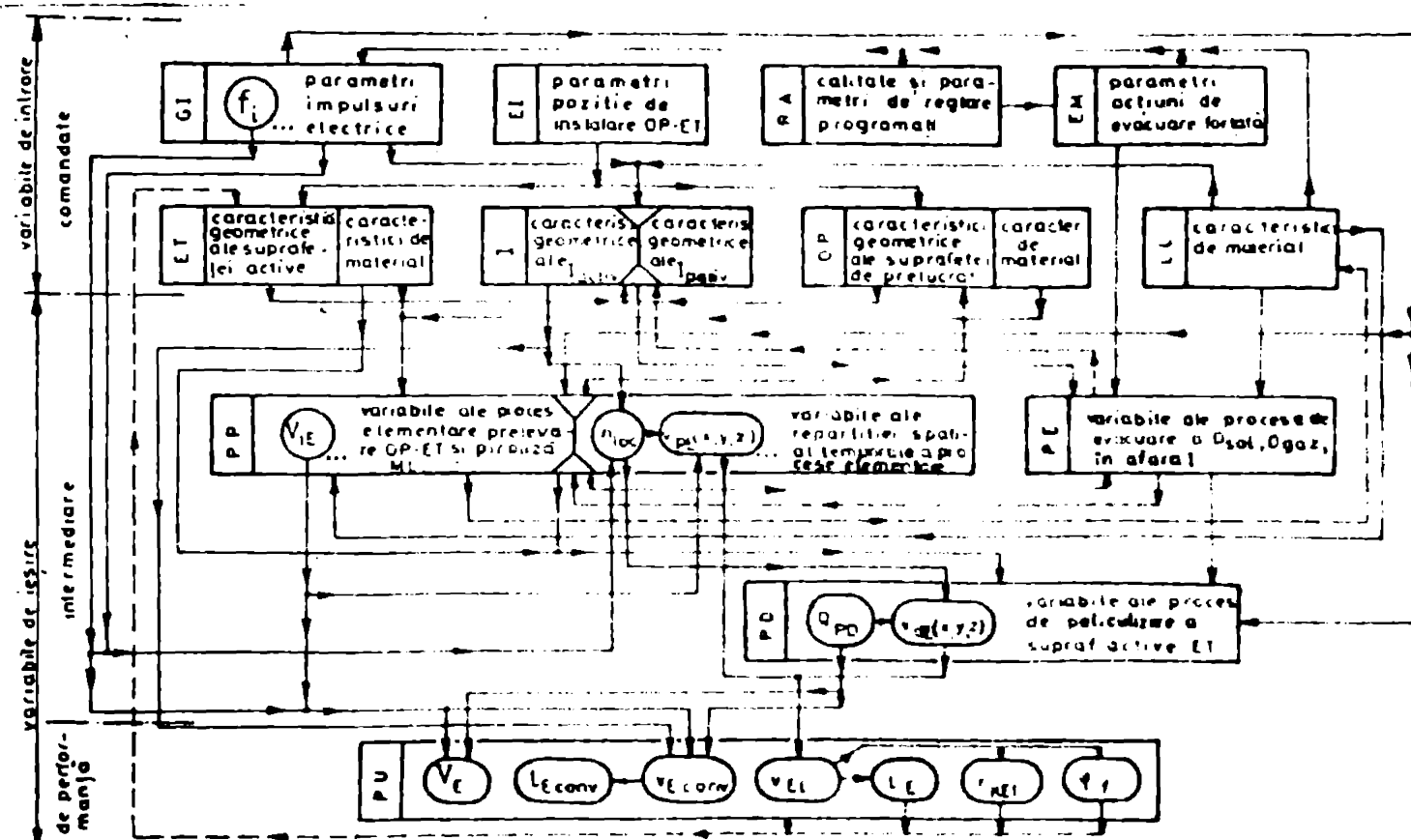


Fig.5.2. Schema interdependenței principalelor categorii de variabile care determină uzarea electrodului la prelucrarea prin eroziune electrică cu copierea formei.

In cadrul unor grupe s-au evidențiat variabilele care determină direct mărimile ce caracterizează procesul de uzare a ET, fără a se prezenta, - din motive de spațiu, - și alte interdependențe în interiorul unei grupe.

Grupele de variabile sint dispuse pe nivele, corespunzătoare în principal ordinei lor de intrare în acțiune, în cadrul

durării  $\Delta t$ . Mărările de intrare provenite de la utilajul tehnologic, - respectiv de la generatorul de impulsuri GI, echipamentul de instalare EI, regulatorul de avans RA, echipamentul mecanic și hidraulic ce produce evacuarea EM, - cît și de la elementele intersticiului de lucru OP, ET, LL, I, determină desfășurarea în intersticiu a proceselor de prelevare și piroliză PP, de evacuare PE și de depunere PD (peliculizare) pe suprafața activă a ET. Unele variabile intermediare, rezultate din procesele PP, PE, PD, împreună cu unele variabile de intrare determină direct mărările caracteristice ale procesului de uzare PU, definite la § 5.3.1:  $r_{KEf}$ ,  $\varphi_f$ ,  $L_E$ ,  $v_{El}$ .

Rezultă că majoritatea variabilelor procesului de prelucrare determină indirect uzura electrodului, prin intermediul proceselor componente, în urma unor interdependențe multiple, în trepte. Schema din figura 5.2 prezintă interdependențele directe (linie continuă) și categoriile principale de reacții inverse interne (linie întreruptă).

Un factor de cea mai mare importanță pentru procesul de uzare a electrodului este densitatea convențională medie locală  $n_{loc}$  a descărcărilor în timpul  $\Delta t$ , definită /298/ ca :

$$n_{loc} = \frac{N_{XY}}{\Delta X \cdot \Delta Y} \quad /mm^{-2}/ \quad (5.26)$$

unde:  $N_{XY}$  - numărul de descărcări pe porțiunea din suprafața activă a ET, a cărei proiecție în planul  $Z = 0$  este elementul de suprafață  $\Delta X \cdot \Delta Y$ .

Mărimea  $n_{loc}$  determină direct valoarea vitezei liniare locale  $v_{pE}$  de prelevare din ET și a vitezei liniare locale  $v_{dE}$  de depunere pe suprafața ET, ambele fiind considerate pe direcția de avans. Din diferența acestor două viteze rezultă viteza liniară locală de uzare a electrodului :

$$v_E = v_{pE} - v_{dE} \quad (5.27)$$

Pe direcția de avans, aceasta poate fi definită și ca:

$$v_{El} = \frac{L_E}{\Delta t} \quad /mm/min./ \quad (5.28)$$

în care:  $L_E$  /mm/ - uzura liniară locală a ET, măsurată paralel cu direcția de avans;  $\Delta t$  /min./ - durata secvenței de timp.

Intensitatea procesului de uzare a ET este caracterizată global de viteza liniară convențională de uzare a electrodului :

$$v_{E,conv.} = \frac{Q_E}{A_{tE}} = \frac{Q_{EP} - Q_{ED}}{A_{tE}} / \frac{\text{mm}^3}{\text{min}} / \quad (5.29)$$

în care:  $Q_E / \text{mm}^3/\text{min}/$  - debitul uzării electrodului;  $Q_{EP} / \text{mm}^3/\text{min}/$  - debitul de material prelevat de electrod;  $Q_{ED} / \text{mm}^3/\text{min}/$  - debitul de material depus (peliculizat) la electrod;  $A_{tE} / \text{mm}^2/$  - protecția suprafeței active a ET pe planul  $Z = 0$ .

Rezultatul procesului de uzare PU este uzura ET, caracterizată global de volumul  $V_E$  de material uzat de la electrod sau de uzura liniară convențională a acestuia:

$$L_{E,conv.} = \frac{V_E}{A_{tE}} / \text{mm} / \quad (5.30)$$

respectiv caracterizată local de uzura liniară locală  $L_E$ , de curbură locală  $K_f = 1/r_{KEf}$  a suprafeței active a ET, de unghiul  $\varphi_f$  al normalei locale la suprafața activă a ET față de direcția de avans, de grosimea  $\delta$  a interstițiului.

Din relațiile (5.16), (5.17), (5.18), din figurile 3.5 și 5.2 rezultă de asemenea că tot geometria în continuă schimbare a interstițiului este cauza care la un moment dat perturbă stabilitatea procesului de prelucrare prin formarea în interstițiu a aglomerărilor de deșeuri solide  $A_{sol}$ , accentuând suplimentar uzarea ET.

#### 5.4. Variabile pentru caracterizarea uzării, uzurii și durabilității electrodului de transfer la prelucrarea prin eroziune electrică cu copierea formei.

Mărurile ce caracterizează uzura electrodului sunt mărimi geometrice ce pot fi măsurate direct pe electrod, după încetarea procesului de prelucrare. Ele constituie una din categoriile de mărimi (variabile) de performanță ale procesului de prelucrare dimensională prin eroziune electrică.

Procesul de uzare mai poate fi caracterizat de alte variabile de performanță dău intermediare, măsurabile direct sau indirect, conținând însă obligatoriu factorul timp în relația de dependență.

Mărurile pot caracteriza uzarea și uzura electrodului, global sau local, respectiv în fiecare din aceste cazuri ele pot fi absolute, relative sau convenționale. Tabelul 5.3 prezintă sinteza acestora, pe baza literaturii clasice /213, 314, 405/ și a cercetărilor efectuate la subcapitolul 5.3. S-au inclus în tabel și

unele mărimi propuse de Polanski /294/, Schumacher /355/, Siwczik /364/, Nanu și Buzulică /256/, Popa și Achimescu /6, 298/.

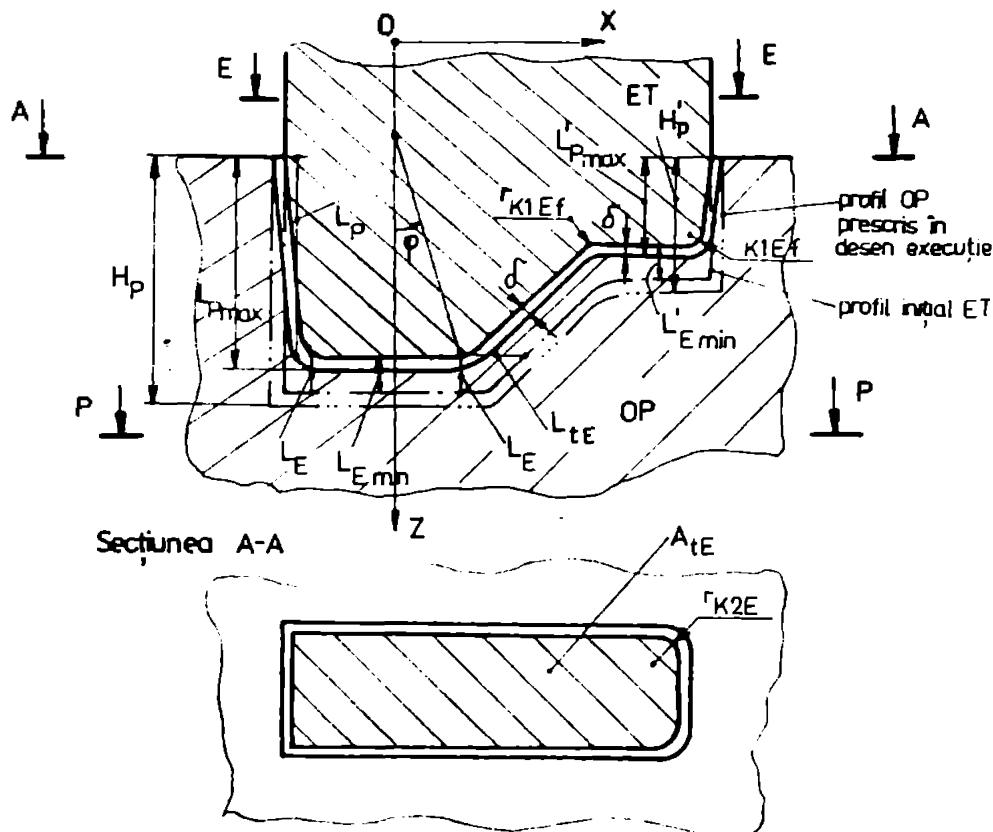
Tabelul 5.3.

Principalele mărimi pentru caracterizarea macroscopică a procesului de uzare și a uzurii electrodului la prelucrarea prin eroziune electrică cu copierea formei.

Categorii de mărimi		Mărimi caracteristice pentru :	
	absolute	proces uzare	uzură
globale		$Q_E = \frac{V_E}{t} / \frac{\text{mm}^3}{\text{min}} \quad (5.31)$ $q_{EI} = \frac{Q_E}{I_{\text{med}}} / \frac{\text{mm}^3}{A \cdot \text{min}} \quad (5.32)$	$V_E / \text{mm}^3 /$
globale	relative ET/OP	$\delta = \frac{Q_E}{Q_P} / \% \quad (5.33)$ $\Psi = \frac{Q_P}{Q_E} = \frac{1}{\delta} / \% \quad (5.35)$	$\delta = \frac{V_E}{V_P} / \% \quad (5.34)$ $\Psi = \frac{V_P}{V_E} / \% \quad (5.36)$
locale	convenționale	$v_{Econv} = \frac{Q_E}{A_{tE}} / \frac{\text{mm}}{\text{min}} \quad (5.37)$ $k_{ev} = \frac{\delta - \delta_0}{\delta} / \% \quad (5.39)$	$L_{Econv} = \frac{V_E}{A_{tE}} / \text{mm} \quad (5.38)$ $u_L = \frac{L_{Emin}}{L_{Econv}} / \% \quad (5.40)$
locale	absolute	$v_{Elmed} / \frac{\text{mm}}{\text{min}}$ $v_{El} / \frac{\text{mm}}{\text{s}}$ $q_{Ej} = \frac{v_{Elmed}}{j} / \frac{\text{mm}^3}{A \cdot \text{min}} \quad (5.41)$	$L_E / \text{mm} / ; L_{Et} / \text{mm} / ;$ $r_{KEf} / \text{mm} / ; \varphi_{Ef} / \text{rad} / ;$ $L_{Eadm}.$
locale	relative ET/OP	$\lambda_L = \frac{v_{Elmed}}{v_{Elmed}} / \% \quad (5.42)$	$\lambda_L = \frac{L_E}{L_P} / \% \quad (5.43)$ $M_L = \frac{L_E - L_{Emin}}{L_{Pmax}} / \% \quad (5.44)$
locale	convenționale	$n_{loc} = \frac{N_{XY}}{\Delta X \cdot \Delta Y} / \text{mm}^{-2} \cdot \text{min}^{-2} \quad (5.45)$ $\epsilon_{L1} = \frac{(H_p - L_p)_i \cos \varphi_i + \delta}{r_{K1Ei}} \quad (5.46)$ $\epsilon_{L2} = \frac{(H_p - L_p)_i \cos \varphi_i + \delta}{r_{K2Ei}} \quad (5.48)$	$a_P = \frac{A_P}{L_P} \quad (5.47)$

Mărimile  $K_{ev}$ ,  $n_{loc}$ ,  $q_{Ej}$ ,  $L_{tE}$ ,  $\varepsilon_{l1}$  și  $\varepsilon_{l2}$  sunt originale și permit o mai bună cunoaștere a procesului sau a tendințelor acestuia ( $\varepsilon_{l1}$  și  $\varepsilon_{l2}$ ).

Semnificația simbolurilor este următoarea (vezi și figura 5.3):



**Fig.5.3.** Mărimi geometrice ce caracterizează uzura electrodului la un moment  $t$  al prelucrării prin eroziune electrică cu copierea formei:

EE – secțiune normală prin partea pasivă a electrodului, căreia îi corespunde aria  $A_{nE}$ ; PP – secțiune normală prin partea neprelucrată a obiectului prelucrării, căreia îi corespunde aria  $A_{nP}$ .

$Q_E / \frac{\text{mm}^3}{\text{min}}$  – debitul uzării electrodului;

$V_E / \frac{\text{mm}^3}{\text{min}}$  – volumul uzurii electrodului după timpul de prelucrare  $t$ ;

$q_{EI} / \frac{\text{mm}^3}{\text{A} \cdot \text{min}}$  – debitul specific al uzurii electrodului;

$I_{med} / \text{A}$  – curentul mediu prin intersticiu;

$\delta / \%$  – uzura relativă volumică a electrodului;

$\psi / \%$  – productivitatea relativă volumică a prelucrării;

$Q_p / \frac{\text{mm}^3}{\text{min}}$  – debitul prelevării de la obiectul prelucrării;

$V_p / \frac{\text{mm}^3}{\text{min}}$  – volumul prelevării de la obiectul prelucrării;

$v_{Econv} / \frac{\text{mm}}{\text{min}}$  – viteza liniară convențională de uzare a electrodului;

$A_{tE}(z) / \text{mm}^2$  – aria proiecției suprafeței active a electrodului pe un plan transversal  $Z = 0$  ( $A_{tE} \leq A_{nE}$ ) ;

- $L_{Econv}$  /mm/ - uzura liniară convențională a electrodului;
- $u_l$  % - raportul de uzură longitudinală a electrodului, care indică gradul de uniformitate a uzurii;
- $L_{Emin}$  /mm/ - uzura liniară longitudinală minimă a electrodului, măsurată paralel cu direcția de avans OZ;
- $k_{ev}$  % - ponderea uzării electrodului datorită descărcărilor prin deșeu ( $N_{pm}$ ,  $N_{fg}$ );
- $\delta_o = \frac{1}{\Psi_o} = \frac{V_{Eo}}{V_{Po}}$  % - durabilitatea la eroziune electrică (uzura relativă volumică) a electrodului determinată în condițiile precizate de tabelul 5.2, cind se asigură  $N_{pm} = N_{fg} = 0$ ;
- $L_E$  /mm/ - uzura liniară longitudinală locală a electrodului, măsurată paralel cu direcția de avans OZ;
- $L_{tE}$  /mm/ - uzura liniară transversală locală a electrodului, măsurată perpendicular pe direcția de avans OZ;
- $L_{Edm}$  /mm/ - uzura liniară longitudinală locală admisibilă a electrodului, în conformitate cu toleranțele prescrise de desenul de execuție al piesei;
- $\delta$  /mm/ - grosimea interstițiului geometric dintre electrod și obiectul prelucrării, măsurată pe normală la suprafața prelucrată a OP și egală cu distanța dintre liniile adiacente (tangente la profilul microscopic real) ale ET și OP; în figura 5.3  $\delta$  este considerat constant, în ipoteza  $N_{pm} = N_{fg} = 0$ , contrară situației reale a procesului;
- $\delta_t$  /mm/ - grosimea interstițiului geometric frontal între electrod și obiectul prelucrării, adică a interstițiului dispus transversal (perpendicular) sau înclinat pe direcția avansului;
- $\delta_l$  /mm/ - grosimea interstițiului geometric lateral între electrod și obiectul prelucrării, adică a interstițiului dispus longitudinal (paralel) față de direcția avansului
- $r_{KEF}$  /mm/ - raza de curbură locală finală (după o secvență de timp  $\Delta t$  sau după un timp  $t$ ) a electrodului, indicele 1 precizează această rază în planul de avans, determinat de normală la suprafață în punctul respectiv și direcția de avans; indicele 2 precizează această rază în planul care conține normală și este perpendicular pe planul de avans
- $\varphi_{Ef}$  /rad/ - unghiul dintre normala locală la suprafața electrodului (după o secvență de timp  $\Delta t$  sau după un timp  $t$ ) și direcția de avans OZ;

$v_{Elmed}$  / $\frac{mm}{min}$ / - viteza liniară medie locală de uzare a electrodului, considerată pe o direcție paralelă cu direcția avansului;

$v_{El}$  / $\frac{mm}{s}$ / - viteza liniară locală de uzare a electrodului, considerată pe o direcție paralelă cu direcția avansului;

$q_{Ej}$  / $\frac{mm^3}{A \cdot min}$ / - factor de uzare locală a electrodului;

$j$  / $\frac{A}{mm^2}$ / - densitatea de curent prin suprafața electrodului;

$v_{Pmed}$  / $\frac{mm}{min}$ / - viteza liniară medie locală de prelevare de la obiectul prelucrării, considerată pe o direcție paralelă cu direcția avansului;

$L_p$  /mm/ - prelevarea liniară longitudinală locală de la obiectul prelucrării, măsurată paralel cu direcția de avans OZ;

$\lambda_L$  /%/ - uzura relativă liniară locală longitudinală la electrod, considerată pe o direcție paralelă cu direcția avansului OZ;

$M_1$  /%/ - raportul de uzură relativă liniară locală longitudinală la colțurile sau muchiile electrodului, considerat pe o direcție paralelă cu direcția avansului OZ;

$n_{loc}$  / $mm^{-2}$ / - densitatea convențională medie locală a descărcărilor în timpul  $\Delta t$ ;

$N_{XY}$  - numărul de descărcări pe porțiunea din suprafața activă a electrodului, a cărei proiecție în planul  $Z = 0$  este elementul de suprafață  $\Delta X \cdot \Delta Y$ ;

$\varepsilon_1$  - factor de neuniformitate locală a uzurii electrodului, considerată pe o direcție paralelă cu direcția avansului OZ, la un moment  $t$ ;

$H_p$  /mm/ - adâncimea locală de prelevare la obiectul prelucrării, conform desenului de execuție, măsurată paralel cu direcția de avans;

$r_{KE1}$  /mm/ - raza de curbură locală inițială (la începutul unei secvențe de timp  $\Delta t$  sau al unei perioade de timp  $t$ ) a electrodului; indicele 1 precizează această rază în planul de avans, determinat de normala locală la suprafață în punctul respectiv și direcția de avans; indicele 2 precizează această rază în planul care conține normala și este perpendicular pe planul avansului;

$\varphi_1$  /rad/ - unghiul inițial dintre normala locală la suprafața electrodului și obiectul prelucrării (la începutul unei sevențe de timp  $\Delta t$  sau al unei perioade de timp  $t$ ) și direcția de avans OZ;

$a_p /%$  - abaterea relativă longitudinală locală a dimensiunii obiectului prelucrării;

$A_p /mm/$  - abaterea absolută longitudinală locală a dimensiunii obiectului prelucrării, admisă conform cîmpului de toleranță prescris în desenul de execuție.

Este evident că în mod analog se pot defini pe direcția normalei la suprafața activă a OP și ET mărimele corespunzătoare  $L_{En}$ ,  $L_{Pn}$ ,  $v_{Enmed}$ ,  $v_{En}$ ,  $\lambda_n$ ,  $\epsilon_{nl}$ ,  $\epsilon_{n2}$ .

La fel ca la prelucrarea dimensională prin contact între obiectul de transfer și obiectul prelucrării (așchiere, tăiere cu tășuri asociate, prelucrare prin deformare plastică) și la prelucrarea dimensională prin eroziune electrică se pot defini două categorii de durabilități ale obiectului de transfer :

1) durabilitatea efectivă a electrodului, ca interval de timp  $T_{ef}$ , de participare efectivă a acestuia la procesele de transformare ale prelucrării, între două schimbări succesive ale electrodului, impuse de mărimea uzurii admisibile  $L_{Eadm}$ , în conformitate cu toleranțele prescrise de desenul de execuție al piesei sau de procesul tehnologic proiectat;

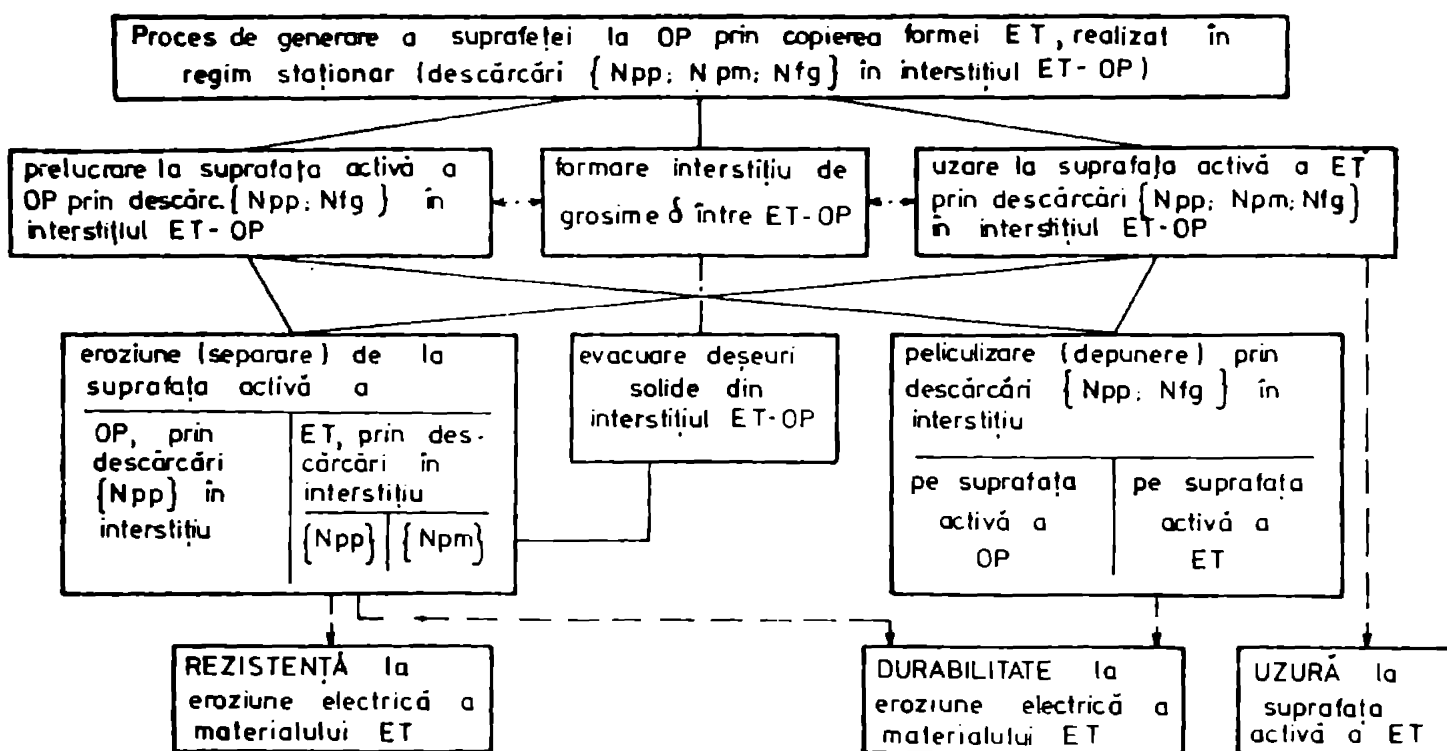
2) durabilitatea optimă a electrodului  $T_{opt}$ , ca durabilitate efectivă optimă în raport cu anumite criterii: productivitate  $Q_p$  maximă; cost minim al operației etc.

### 5.5. Model matematic pentru procesul de uzare a electrodului de transfer la prelucrarea prin eroziune electrică.

#### 5.5.1. Etape în studiul proceselor la generarea suprafetei prin eroziune electrică cu copierea formei.

Datorită uzării inevitabile a electrodului de transfer ET și complexității proceselor fizico-chimice în spațiul de lucru, generarea suprafetei prin copiere la obiectul prelucrării OP (în final la piesa P) continuă să rămînă un proces macroscopic insuficient cunoscut /24, 64, 263/. Acest fapt limitează performanțele prelucrării prin eroziune electrică cu copierea formei și impune aprofundarea cercetărilor în domeniu.

Din punct de vedere macroscopic procesul de generare a suprafetei prin copierea formei LT realizat în regim staționar (vezi subcapitolele 5.2 și 5.3) are o structură ierarhizată (fig.5.4) :



**Fig.5.4.** Structura procesului de generare a suprafeței la prelucrarea prin eroziune electrică cu copierea formei electrodului de transfer ET.

**I. procese componente:** a) proces de formare a interstițiului de grosime δ între ET-OP; b) proces de prelucrare la suprafața activă a OP; c) proces de uzare la suprafața activă a ET;

**II. procese determinante:** a) proces de prelevare (separare) de la suprafețele active ale OP și ET; b) proces de peliculizare (depunere) pe suprafețele active ale OP și ET; c) proces de evacuare din interstițiu a deșeurilor solide și gazoase.

Trebuie subliniat faptul că în condiții ideale, dacă nu ar exista procesul de uzare a ET, generarea suprafeței la OP s-ar reduce la formarea interstițiului și reproducerea prin copiere a formei ET, în urma proceselor de prelucrare.

Așa cum se cunoaște, în realitate prelucrarea prin eroziune electrică cu copierea formei realizată pe utilajele actuale se desfășoară cu o uzură mai mare sau mai mică a ET, – consecință a tuturor categoriilor de procese din spațiul de lucru (fig.3.5; 5.2; 5.4). Dacă se elimină influența proceselor de evacuare (tabul 5.1), materialul ET poate fi caracterizat de durabilitatea sa la eroziune electrică, iar dacă prin condițiile și regimurile de lucru se elimină și procesele de peliculizare (depunere), materialul ET poate fi caracterizat de rezistența sa la eroziune electrică.

Corespunzător proceselor componente, generarea suprafeței la prelucrarea prin eroziune electrică cu copierea formei

trebuie deci studiată în următoarele etape :

- 1) stabilirea legilor uzării ET în condițiile eliminării influenței evacuării deșeurilor (în ipoteza evacuării instantanee, în afara interstițiului, a materialului prelevat de la OP și ET);
- 2) stabilirea legilor formării interstițiului între ET-OP, în condițiile evacuării artificiale (fortate) a deșeurilor din interstițiu;
- 3) stabilirea legilor generării suprafetei OP în condițiile evacuării artificiale a deșeurilor din interstițiu.

Aceasta se conturează ca singura cale eficientă de studiu a procesului macroscopic, deosebit de complex, de generare a suprafetei prin eroziune electrică cu copierea formei.

Pe lîngă dificultățile de studiu determinate de ierarhia proceselor, de multimea de procese fizico-chimice microscopice și de acțiunea intercorelată a unui număr foarte mare de factori /6, 115, 186, 317, 298, 366, 369, 388, 394, 395/, apare încă plus dificultatea lipsei de generalitate a teoriei „restrînse” a generării suprafetei, valabilă numai pentru prelucrarea prin aşchiere /46, 101/.

#### 5.5.2. Utilizarea unor concepte ale termodinamicii proceselor ireversibile în teoria generală a generării suprafetei la prelucrarea dimensională.

Teoria generării suprafetei pentru prelucrarea prin aşchiere s-a dezvoltat în mod deosebit în ultimele trei decenii /46, 101/ și a permis rezolvarea pe baze riguroș științifice a îmbunătățirii preciziei de prelucrare și rugozității, a creșterii productivității prelucrării, prin inventarea sau perfecționarea unor procedee și mașini unelte. Așchierea fiind o metodă tipică de prelucrare cu contact, scula așchiectoare (unica componentă a corpului de transfer, cu funcție de obiect de transfer) este în contact direct cu obiectul prelucrării în timpul procesului de aşchiere.

Această structură simplă a corpului de transfer CT la prelucrarea prin aşchiere (§ 3.2.3) constituie principalul impediment al aplicării teoriei „restrînse” a generării suprafetei la prelucrarea prin eroziune electrică, caracterizată (§ 3.2.4) de structura bicomponentă a CT: obiect de transfer OT și agent fizico-chimic AFC de tip punte sau de tip jet, aflat simultan în contact direct cu OP și OT.

Din punct de vedere fizico-chimic, generarea suprafetei la prelucrarea dimensională este totodată un proces ireversibil,

indiferent de structura corpului de transfer. Acest fapt permite dezvoltarea unei teorii „generalizate” a generării suprafetei, pe baza unor concepte ale termodinamicii proceselor ireversibile.

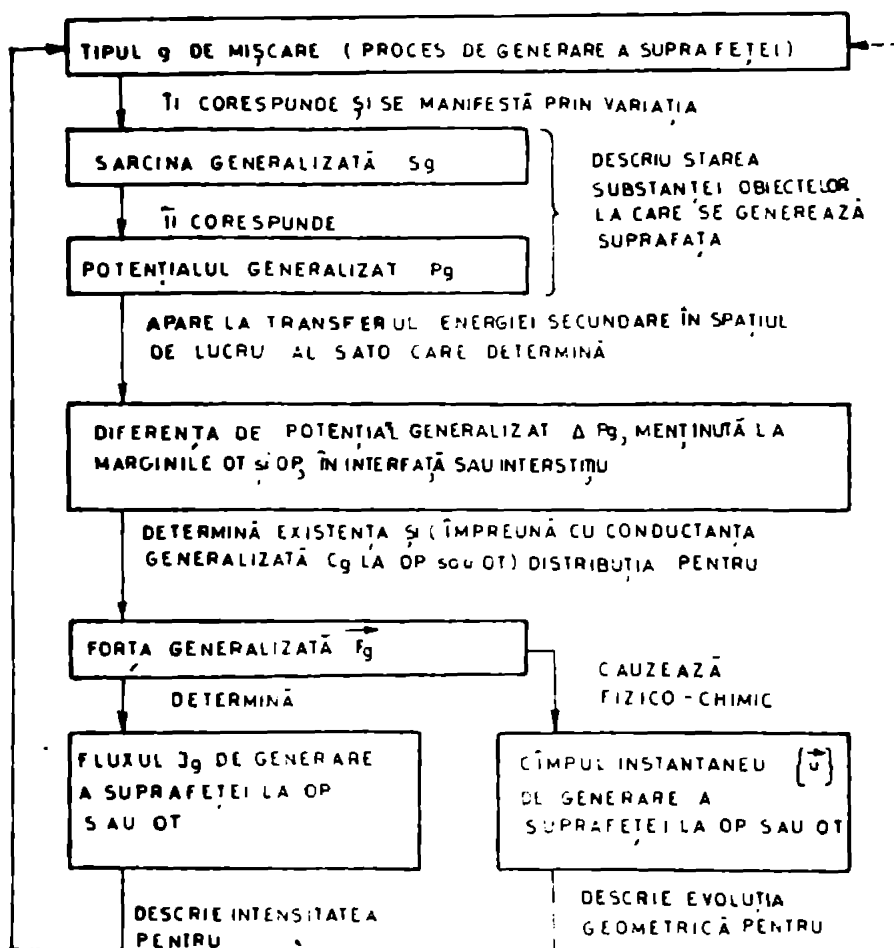


Fig.5.5. Determinismul energetic și informațional la generarea suprafetei în cazul prelucrării dimensionale

Teoria generării suprafetei la prelucrarea dimensională /306,397/ pornește de la concepția că /138/ orice formă de mișcare a materiei se manifestă prin modificarea unei „sarcini generalizate” de un tip bine determinat, iar aceasta îi corespunde un „potențial generalizat” (fig.5.5). Sarcina generalizată și potențialul generalizat descriu starea substanței în mișcare, iar producția lor trebuie să ai bă dimensiune de energie.

In cazul generării

suprafetei la prelucrarea dimensională sarcina generalizată  $S_g$  și potențialul generalizat  $P_g$  descriu starea substanței obiectelor la care se generează suprafața, adică starea substanței obiectului prelucrării OP ( $S_{gp}$ ,  $P_{gp}$ ) și a obiectului de transfer OT respectiv materialului de adaos MA ( $S_{g0}$ ,  $P_{g0}$ ;  $S_{gM}$ ,  $P_{gM}$ ) în timpul prelucrării. In anumite condiții (vezi § 3.2.3) realizate prin transfer de energie  $E_2$  spre spațiul de lucru SL, între OT (MA) și OP există o diferență de potențial generalizat menținută la marginile OT (MA) și OP, în interfață (la prelucrări cu contact) sau în interstițiul (la prelucrări fără contact) dintre acestea. Diferența de potențial determină desfășurarea unor acțiuni asupra OP și OT (MA), care schimbă starea substanței acestora, iar unele acțiuni modifică și configurația OP sau OT (MA), adică generează suprafete noi la OP sau OT (MA).

Diferența dintre potențialul generalizat  $P_{g0}$  la marginile OT (respectiv dintre potențialul generalizat  $P_{gM}$  la marginile MA)

și potențialul generalizat  $P_{gP}$  la marginile OP :

$$\Delta P_{gl} = P_{g0} - P_{gP}; \quad \Delta P_{g2} = P_{gM} - P_{gP} \quad (5.49)$$

determină existența și distribuția într-un mod oarecare a forțelor generalizate  $F_g$ . Prin definiție /138/, forța generalizată este:

$$\vec{F}_g = - \text{grad } P_g \quad (5.50)$$

In cazul generării suprafetei, în ultimă instanță, tocmai forțele generalizate  $\vec{F}_g$  reprezintă cauza fizico-chimică a apariției cîmpului instantaneu  $\vec{u}$  de generare a suprafetei, adică cîmpul vitezelor  $\vec{u}_p$  de deplasare a punctelor marginale ale OP, respectiv a cîmpului vitezelor  $\vec{u}_0$  de deplasare a punctelor marginale ale OT sau acîmpului vitezelor  $\vec{u}_M$  de deplasare a punctelor marginale ale MA.

In tabelul 5.4 /397/ se prezintă caracteristicile categoriilor fenomenologice de metode simple (necombinante) de generare a suprafetei la prelucrarea dimensională. La metodele simple de generare a suprafetei în decursul întregului proces acționează forța generalizată de un singur tip: presiune ( $g = 0$ ;  $g = 1$ ); gradient al entalpiei, adică flux termic ( $g = 2$ ;  $g = 3$ ); intensitatea cîmpului electric ( $g = 4$ ); gradient al potențialului chimic ( $g = 5$ ); forță mecanică volumică ( $g = 6$ ).

In aceste condiții, cîmpul instantaneu  $\vec{u}$  se poate considera ca un flux  $J_g$  de generare a suprafetei, adică un flux de transfer al volumului substanței în unitatea de timp prin suprafata corespunzătoare a OP, respectiv a OT sau a MA. Trebuie remarcat faptul că dimensiunea mărimi  $J_g$  este aceeași cu a mărimi  $u$ , adică  $[m^3/m^2 \cdot s] = [m/s]$ . Conform termodinamicii proceselor ireversibile /138/ este valabil:

$$|\vec{u}| = J_g = C_g |\vec{F}_g| \quad (5.51)$$

în care:  $\vec{F}_g$  - forță staționară de tipul  $g$  a generării suprafetei;  $C_g$  - coeficient de proporționalitate, numit conductanță generalizată a generării suprafetei.

Conductanța  $C_g$  a generării suprafetei caracterizează suscepțibilitatea (sensibilitatea) OP, OT, MA respectiv a materialelor acestora la acțiunea forței generalizate de tip  $g$  și depinde de însăși natura și mărimea forței generalizate  $\vec{F}_g$ .

Aspectele energetice ale generării suprafetei sunt indisolubil legate de cele informaționale (fig.5.5). Dacă forțele generalizate  $\vec{F}_g$  reprezintă cauza fizico-chimică (energetică) a proceselor în spațiul de lucru și implicit cauza apariției cîmpului

Categorii de metode fenomenologice simple de generare a suprafețelor la prelucrarea dimensională

Numărul G	Dimensiunile sarcinii S	Dimensiunea potențialului P	Dimensiunea forței și a conductanței C	Exemple de procedee de prelucrare dimensională
G=0, mecanică	$[S_0] = m^2$ aria suprafeței	$[P_0] = J/m^2$ energia de suprafață	$[F_d] = N/m^2$ presiune $[C_d] = m^2/N.s$	aschierare, forjare, stăntare-matrițare
G=1, mecanică	$[S_1] = m^2$ aria suprafeței	$[P_1] = J/m^2$ energie de suprafață	$[F_1] = N/m^2$ presiune $[C_1] = m^2/N.s$	separare prin rupere a corpului fragil
G=2, termică	$[S_2] = kg$ masa totală	$[P_2] = J/kg$ entalpia specifică	$[F_2] = J/kg.m$ gradient al entalpiei $[C_2] = s$	turnare, prelucrare prin impulsuri electrice, sudare cu arc electric
G=3, termică	$[S_3] = kg$ masa vaporilor	$[P_3] = J/kg$ entalpia specifică	$[F_3] = J/kg.m$ gradient al entalpiei $[C_3] = s$	prelucrare electroerozivă, cu fascicul laser, cu fascicul de electroni
G=4, electrochimică	$[S_4] = C$ sarcina electrică	$[P_4] = V$ potențial electric	$[F_4] = V/m$ intensitatea câmpului electric $[C_4] = m^2/s.V$	dopunere catodică, prelucrare electrochimică dimensională
G=5, chimică	$[S_5] = mol, kg.mol$ de substanță	$[P_5] = J/mol$ potențial izobar-izotermic	$[F_5] = J/mol.m$ gradient al potențialului chimic $[C_5] = s$	eroziune chimică, cristalinare din soluție, sudare prin difuziune
G=6, mecanică	$[S_6] = m^3$ volum de substanță în stare fluidă	$[P_6] = N/m^2$ presiune	$[F_6] = N/m^3$ gradient de presiune, forță volumică $[C_6] = m^3/s.kg$	extrudare

vitezelor  $\vec{U}$  de generare a suprafețelor, cauza geometrică (informațională) a evoluției configurațiilor OP, OT, MA o constituie cîmpul  $\vec{u}$ .

### 5.5.3. Model matematic pentru procesul de generare a suprafeței la prelucrarea dimensională fără contact cu copierea formei.

Modelul matematic al generării suprafeței la obiectul prelucrării OP și la obiectul de transfer OT în cazul prelucrării dimensionale fără contact cu copierea formei /307/ se elaborează în ipotezele: a) între OT și OP există un interstițiu cavșii paralel de grosime  $\delta$  mai mică (chiar cu un ordin de mărime) decât razele de curbură  $r_{KO}$  și  $r_{KP}$  ale suprafețelor active ale OT și OP; b) la marginile OT și OP se menține o diferență de potențial generalizat,  $P_{g0} - P_{gp}$  datorită conectării OT și OP la un echipament G de genera-

re a agentilor fizico-chimici necesari desfășurării proceselor de generare a suprafeței cu copierea formei OT (descărcări electrice în impuls, electrică în cîmp electric, suspensie abrazivă și bule cavitационale în cîmp ultrasonic etc.);

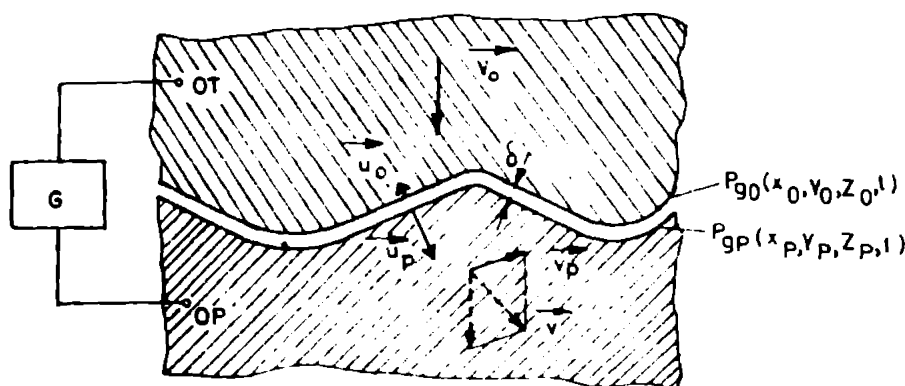


Fig.5.6. Porțiune din spațiul de lucru la prelucrarea dimensională fără contact cu copierea formei.

c) condițiile fizico-chimice ale procesului de prelucrare sunt constante în spațiul de lucru al prelucrării. Partial aceste ipoteze sunt prezentate în figura 5.6.

In cazul general obiectul de transfer OT și obiectul prelucrării OP se deplasează cu vitezele  $\vec{v}_p$  și  $\vec{v}_0$ , modificarea configurației OP și OT în timpul procesului de generare a suprafețelor fiind descrisă de repartitia vitezelor  $\vec{u}_p$  și  $\vec{u}_0$  (cele două cîmpuri de generare a suprafețelor), de direcție coincidentă cu direcția normalei locale la suprafața activă a OP, respectiv OT. Așa cum s-a arătat (§ 5.5.2), deplasarea punctelor marginale ale OP și OT cu vitezele  $\vec{u}_p$  și  $\vec{u}_0$ , - ca urmare a procesului de generare a suprafețelor, - este determinată de diferența de potențial generalizat  $P_{g0} - P_{gp}$ , prin intermediul forței generalizate de generare  $\vec{F}_g$ .

Conform (5.5.1) este evident că modulele vitezelor de

deplasare  $\vec{u}_P$  și  $\vec{u}_0$  sunt proporționale cu intensitatea forțelor de generare :

$$|\vec{u}_P| = C_{gP} |\vec{F}_g| = C_{gP} |\text{grad } P_g| \quad (5.52)$$

$$|\vec{u}_0| = C_{g0} |\vec{F}_g| = C_{g0} |\text{grad } P_g| \quad (5.53)$$

în care  $C_{gP}$  și  $C_{g0}$  sunt conductanțele de generare a suprafeței pentru OP și OT, dependente de mediul de lucru din interstiu, materialele OP și OT, energia secundară  $E_2$  transferată în spațiul de lucru (§ 2.2.2). Exprimând legătura generală între intensitatea modificării suprafețelor OP și OT (vitezele  $\vec{u}_P$ ;  $\vec{u}_0$ ) și intensitatea proceselor fizico-chimice din interstiu pentru anumite caracteristici ale componentelor spațiului de lucru ( $P_{gP}$ ;  $P_{g0}$ ;  $C_{gP}$ ;  $C_{g0}$ ), relațiile (5.52) și (5.53) reprezintă ecuațiile fizice generale ale procesului de generare a suprafețelor, fiind similare cu ecuațiile constitutive din mecanica mediilor continue.

In cazul cînd potențialele  $P_{g0}$  și  $P_{gP}$  sunt constante în timpul procesului de generare a suprafeței (ipoteza c), se poate scrie :

$$|\text{grad } P_g| \approx \left| \frac{P_{g0} - P_{gP}}{\delta} \right| = \left| \frac{\Delta P_g}{\delta} \right| \quad (5.54)$$

iar relațiilor (5.52) și (5.53) le corespunde :

$$\vec{u}_P = C_{gP} \left| \frac{P_{g0} - P_{gP}}{\delta} \right| \vec{n}_P = g_P (C_{gP}, |\Delta P_g|, \delta) \vec{n}_P \quad (5.55)$$

$$\vec{u}_0 = C_{g0} \left| \frac{P_{g0} - P_{gP}}{\delta} \right| \vec{n}_0 = g_0 (C_{g0}, |\Delta P_g|, \delta) \vec{n}_0 \quad (5.56)$$

în care  $\vec{n}_P$  și  $\vec{n}_0$  sunt versorii normalelor locale la suprafața activă a obiectului prelucrării OP și a obiectului de transfer OT (s-a acceptat sensul pozitiv pentru versorii normalelor dirijați în interior). Relațiile (5.55) și (5.56) arată că, în cazul unui proces de generare cu caracteristici invariabile ( $C_{gP}$ ,  $C_{g0}$ ,  $|\Delta P_g|$  constante) aspectul fizic se reduce în final la o exprimare pur geometrică..

In continuare se poate trece la elaborarea modelului matematic general al procesului de generare a suprafețelor OP și OT, legînd aspectul fizic de dinamica modificării în timp a suprafețelor active ale OP și OT.

In acest scop se consideră la un moment t ecuația suprafeței active a OP :

$$f_P(x_P, y_P, z_P, t) = 0 \quad (5.57)$$

respectiv ecuația suprafeței active a OT :

$$f_0(x_0, y_0, z_0, t) = 0 \quad (5.58)$$

unde  $x_p, y_p, z_p$  sunt coordonatele punctelor marginale ale OP, iar  $x_0, y_0, z_0$  sunt coordonatele punctelor marginale ale OT. Suprafețele se presupun netede sau netede pe porțiuni, ceea ce asigură existența derivatelor parțiale ale funcțiilor (5.57) și (5.58).

Fie funcțiile :

$$\Phi_1 = f_p(x, y, z, t) \quad (5.59)$$

$$\Phi_2 = f_0(x, y, z, t) \quad (5.60)$$

Se observă că pe suprafața OP ( $X = x_p; Y = y_p; Z = z_p$ ) respectiv pe suprafața OT ( $X = x_0; Y = y_0; Z = z_0$ ) rezultă conform (5.57) și (5.58) :

$$\Phi_1 = 0 \quad ; \quad \Phi_2 = 0 \quad (5.61)$$

Prin aceasta, suprafețelor OP și OT li s-au atribuit cîmpurile scalare  $\Phi_1$  și  $\Phi_2$ . Această atribuire se poate face în orice moment, ceea ce înseamnă că procesul de generare a suprafețelor îi corespund cîmpurile dinamice  $\Phi_1$  și  $\Phi_2$ , cu niveluri potențiale  $\Phi_1 = 0$  și  $\Phi_2 = 0$ , care se deplasează în spațiu.

Considerind diferențiala totală a funcției  $\Phi_1$  sau a funcției  $\Phi_2$  (pentru simplificare nu se vor scrie indicii), rezultă:

$$\frac{\partial \Phi}{\partial x} \cdot \frac{dx}{dt} + \frac{\partial \Phi}{\partial y} \cdot \frac{dy}{dt} + \frac{\partial \Phi}{\partial z} \cdot \frac{dz}{dt} + \frac{\partial \Phi}{\partial t} = 0 \quad (5.62)$$

sau, în exprimare vectorială :

$$\vec{u} \cdot \text{grad } \Phi + \frac{\partial \Phi}{\partial t} = 0 \quad (5.63)$$

în care :

$$\text{grad } \Phi = \vec{i} \frac{\partial \Phi}{\partial x} + \vec{j} \frac{\partial \Phi}{\partial y} + \vec{k} \frac{\partial \Phi}{\partial z} \quad (5.64)$$

$$\vec{u} = \vec{i} \frac{dx}{dt} + \vec{j} \frac{dy}{dt} + \vec{k} \frac{dz}{dt} \quad (5.65)$$

Decoarece:

$$\vec{u} \cdot \text{grad } \Phi = |\vec{u}| \cdot |\text{grad } \Phi| \cdot \cos(\vec{u}, \text{grad } \Phi) \quad (5.66)$$

îar  $\vec{u} \parallel \text{grad } \Phi$ , rezultă :

$$\sqrt{u_x^2 + u_y^2 + u_z^2} \cdot \sqrt{\left(\frac{\partial \Phi}{\partial x}\right)^2 + \left(\frac{\partial \Phi}{\partial y}\right)^2 + \left(\frac{\partial \Phi}{\partial z}\right)^2 + \frac{\partial \Phi}{\partial t}} = 0 \quad (5.67)$$

Relația (5.63) pune în evidență legătura dintre viteza  $\vec{u}$  de deplasare a punctelor marginale ale OP sau OT și funcția  $\Phi$ , care permite cunoașterea suprafetei OP sau OT, în orice moment.

Relațiile (5.55) sau (5.56) împreună cu (5.63) reprezintă modelul matematic general al generării suprafetei la prelucrarea dimensională fără contact cu copierea formei. Revenind la indicirea funcției  $\Phi$  și ținând seama de notațiile (5.59) și (5.60), pentru cazul generării suprafetei la obiectul prelucrării OP (piesa P) rezultă :

$$\left. \begin{aligned} \vec{u}_P \cdot \text{grad } f_P + \frac{\partial f_P}{\partial t} &= 0 \\ \vec{u}_P &= s_P (c_{gP}, |\Delta P_g|, \delta) \vec{n}_P \end{aligned} \right\} \quad (5.68)$$

respectiv pentru cazul generării suprafetei (uzării) la obiectul de transfer OT, rezultă :

$$\left. \begin{aligned} \vec{u}_0 \cdot \text{grad } f_0 + \frac{\partial f_0}{\partial t} &= 0 \\ \vec{u}_0 &= s_0 (c_{g0}, |\Delta P_g|, \delta) \vec{n}_0 \end{aligned} \right\} \quad (5.69)$$

Dacă, față de un sistem de axe OXYZ, OP și OT au o mișcare de translație caracterizată de vectorii vitezelor  $\vec{v}_P$  respectiv  $\vec{v}_0$  (fig.5.6), ecuațiile (5.68) și (5.69) devin :

$$\left. \begin{aligned} (\vec{u}_P + \vec{v}_P) \cdot \text{grad } f_P + \frac{\partial f_P}{\partial t} &= 0 \\ \vec{u}_P &= s_P (c_{gP}, |\Delta P_g|, \delta) \vec{n}_P \end{aligned} \right\} \quad (5.70)$$

$$\left. \begin{aligned} (\vec{u}_0 + \vec{v}_0) \cdot \text{grad } f_0 + \frac{\partial f_0}{\partial t} &= 0 \\ \vec{u}_0 &= s_0 (c_{g0}, |\Delta P_g|, \delta) \vec{n}_0 \end{aligned} \right\} \quad (5.71)$$

La aceste sisteme se adaugă legătura între vitezele  $\vec{u}_P$  și  $\vec{u}_0$ , necesară ca, prin avans să se asigure  $\delta = \text{const.}$ , cel puțin în zona unde grosimea  $\delta$  a interstițiului are valoare minimă.

De exemplu, în cazul prelucrării prin eroziune electrică cu copierea formei, cind se poate considera practic  $\delta \approx \text{constant}$  în întregul interstițiu, este valabilă relația :

$$\frac{\vec{u}_P}{\cos(\vec{n}_P, \vec{v})} + \frac{\vec{u}_0}{\cos(\vec{n}_0, \vec{v})} = \vec{v} = \vec{v}_P + \vec{v}_0 \quad (5.72)$$

în care  $\vec{v}$  – viteza de avans a OT în raport cu OP.

Pe baza relațiilor (5.70), (5.71) și (5.72) se poate elabora modelul matematic al generării suprafetei pentru oricare din metodele de prelucrare fără contact cu copierea formei, caracterizate de relațiile (5.55) și (5.56) specifice.

#### 5.5.4. Model matematic pentru procesul de generare a suprafetei electrodului (uzare) la prelucrare prin eroziune electrică cu copierea formei.

În conformitate cu concluziile de la § 5.5.1, se trece în continuare la stabilirea legilor uzării electrodului de transfer la prelucrarea prin eroziune electrică, în condițiile eliminării influenței evacuării deșeurilor (prima etapă a cercetării generării suprafetei, § 5.5.1) /305/.

Ipotezele care stau la baza elaborării modelului matematic sunt (§ 5.5.2 și 5.5.3): a) între electrodul de transfer ET și obiectul prelucrării OP există un interstiu cvasiparalel de grosime și mai mică (chiar cu un ordin de mărime) decât razele de curbură  $r_{KE}$  și  $r_{KP}$  ale suprafetelor active ale ET și OP; b) la marginile ET și OP se menține diferența de potențial generalizat  $\Delta P_g$  /J/kg/, datorită conectării ET și OP, aflate în lichidul de lucru LL, la generatorul de impulsuri de tensiune și curent al utilajului de prelucrare prin eroziune electrică cu copierea formei; c) condițiile fizico-chimice ale procesului de prelucrare sunt constante în spațiul de lucru al prelucrării și nu se formează aglomerări de deșeuri în interstiu (evacuarea în afara interstiului a produselor solide și gazoase ale eroziunii este simultană cu prelevarea de la OP și ET); d) prelevarea de substanță de la OP și ET se face numai pe direcție normalei locale la suprafetele active; e) se consideră situația cea mai frecvent utilizată în practica prelucrării, cind OP este instalat pe masa mașinii ( $\vec{v}_p = 0$ ), iar ET este fixat în dispozitivul portelectrod și în raport cu OP este translatat vertical cu viteza  $\vec{v}_E$  de către sistemul de avans automat al mașinii de prelucrare.

Se pornește de la modelul general al generării suprafetei la obiectul de transfer OT în cazul prelucrării dimensionale fără contact cu copierea formei (5.70), (5.71), (5.72), ținând seama că la prelucrarea prin eroziune electrică obiectul de transfer OT (indicii 0) se numește electrod de transfer ET (indicii E) :

$$(\vec{u}_E + \vec{v}_E) \text{ grad } f_E + \frac{\partial f_E}{\partial t} = 0 \quad (5.73)$$

$$\vec{u}_E = g_E (C_{gE}, |\Delta P_g|, \delta) \vec{n}_E \quad (5.74)$$

$$\frac{\vec{u}_P}{\cos(\vec{n}_P, \vec{v})} + \frac{\vec{u}_E}{\cos(\vec{n}_E, \vec{v})} = \vec{v} = \vec{v}_E \quad (5.75)$$

în care:  $\vec{u}_E$  - viteza de deplasare (de uzare), pe normală locală la suprafața activă a ET, a punctelor marginale ale suprafeței active a electrodului;  $\vec{v}_E$  - viteza de translație verticală a ET;  $f_E(X_E, Y_E, Z_E, t)$  - ecuația suprafeței active a ET;  $C_{gE}$  - conductanța generării suprafeței (uzării) ET, dependentă de caracteristicile lichidului de lucru LL din intersticiul ET-OP, de caracteristicile de material ale ET-OP, de caracteristicile impulsurilor de tensiune și curent în spațiul de lucru etc.;  $\vec{n}_E$  - versorul normalei locale la suprafața activă a ET;  $\vec{u}_P$  - viteza de deplasare (de prelevare), pe normală locală la suprafața prelucrată a OP, a punctelor marginale ale suprafeței active a OP;  $\vec{n}_P$  - versorul normalei locale la suprafața activă a OP;  $\vec{v} = \vec{v}_P + \vec{v}_E = \vec{v}_E$  - viteza de avans a ET în report cu OP, egală, în ipoteza că ( $v_P = 0$ ), cu viteza de translație verticală a ET.

Dacă :

$$Z_E = f_2(X_E, Y_E, t) \quad (5.76)$$

este ecuația suprafeței ET la momentul  $t$ , atunci, cu notațiile din § 5.5.2, ecuația suprafeței ET se mai scrie :

$$f_E = Z_E - f_2(X_E, Y_E, t) = 0 \quad (5.77)$$

iar funcția ce descrie cimpul dinamic  $\Phi_2$  este :

$$\Phi_2 = Z - f_2(X, Y, t) \quad (5.78)$$

Cu această considerare se trece la explicitarea termenilor din relația (5.73).

Conform notațiilor din figura 5.7, viteza de uzare pe normală locală la suprafața activă a ET este :

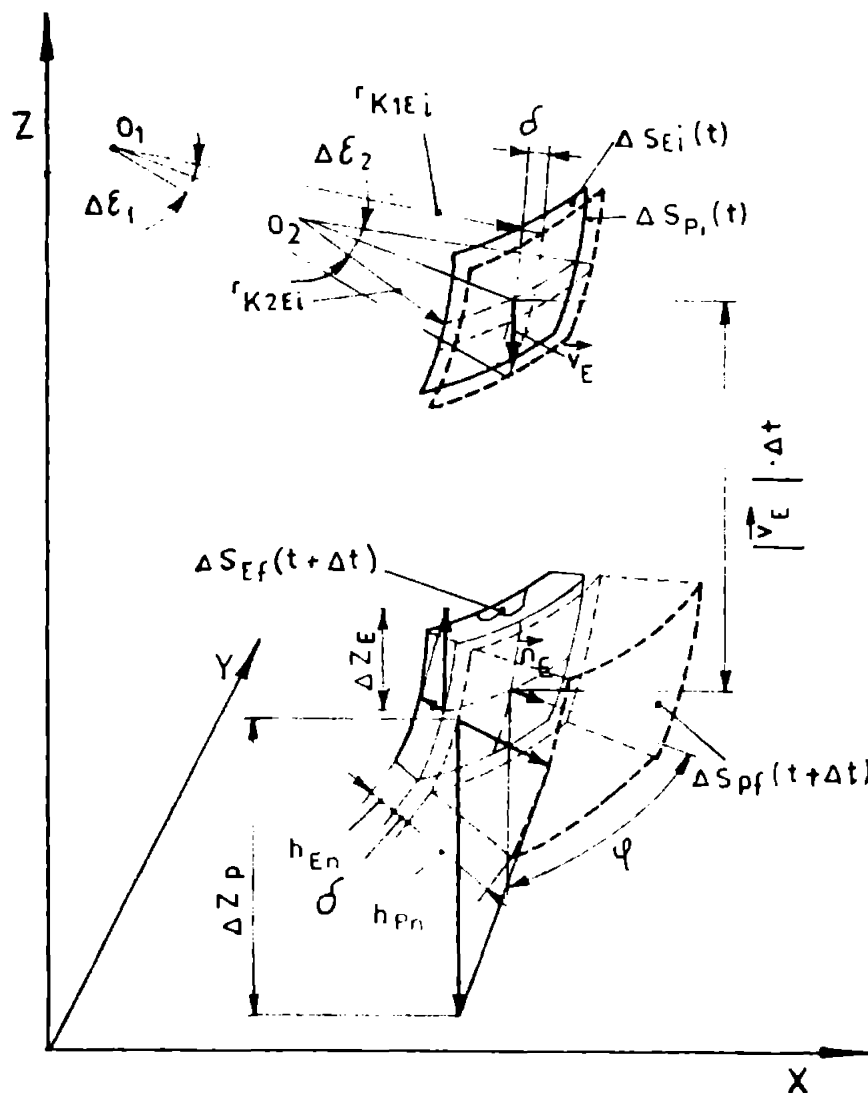
$$\vec{u}_E = \frac{\Delta h_{En}}{\Delta t} \vec{n}_E \quad (5.79)$$

ceea ce pe baza relațiilor (5.73), (5.77), (5.78), (5.79), permite să se scrie pentru primul termen al relației (5.73) :

$$\vec{u}_E \cdot \text{grad } \Phi_2 = \frac{\Delta h_{En}}{\Delta t} \vec{n}_E \cdot \text{grad } \Phi_2 = \quad (5.80)$$

$$= \frac{\Delta h_{En}}{\Delta t} |\vec{n}_E| \cdot |\text{grad } \Phi_2| \cdot \cos(\vec{n}_E, \text{grad } \Phi_2) =$$

$$= \frac{\Delta h_{En}}{\Delta t} |\text{grad } \Phi_2| = \frac{\Delta h_{En}}{\Delta t} \sqrt{1 + \left(\frac{\partial f_2}{\partial x}\right)^2 + \left(\frac{\partial f_2}{\partial y}\right)^2}$$



. Fig.5.7. Geometria spațiului de lucru elementar pentru fază staționară de durată  $\Delta t$  a prelucrării prin eroziune electrică cu copierea formei.

unde s-a ținut seama de paralelismul dintre direcția normalei locale și a gradientului într-un punct oarecare al suprafeței active a ET, respectiv că :

$$\text{grad } \Phi_2 = -i \frac{\partial f_2}{\partial x} - j \frac{\partial f_2}{\partial y} + k \quad (5.81)$$

$$|\text{grad } \Phi_2| = \sqrt{1 + \left(\frac{\partial f_2}{\partial x}\right)^2 + \left(\frac{\partial f_2}{\partial y}\right)^2} \quad (5.82)$$

Exprimînd  $\Delta h_E$  prin  $\Delta z_E$  (fig.5.7) :

$$\Delta h_E = \Delta z_E \cos(\vec{k}, \vec{n}_E) = -\Delta z_E \cdot \cos \varphi \quad (5.83)$$

Pentru a determina  $\cos \varphi$ , se consideră produsul scalar  $\vec{k} \cdot \text{grad } \Phi_2$ . Pe de o parte :

$$\begin{aligned} \vec{k} \cdot \text{grad } \Phi_2 &= |\vec{k}| |\text{grad } \Phi_2| \cdot \cos(\vec{k}, \text{grad } \Phi_2) = \\ &= -|\text{grad } \Phi_2| \cdot \cos \varphi = -\sqrt{1 + \left(\frac{\partial f_2}{\partial x}\right)^2 + \left(\frac{\partial f_2}{\partial y}\right)^2} \cdot \cos \varphi \quad (5.84) \end{aligned}$$

iar pe de altă parte :

$$\vec{k} \cdot \text{grad } \Phi_2 = \vec{k} \left( -i \frac{\partial f_2}{\partial x} - j \frac{\partial f_2}{\partial y} + k \right) = 1 \quad (5.85)$$

Din (5.84) și (5.85) rezultă :

$$\cos \varphi = -\frac{1}{\sqrt{1 + \left(\frac{\partial f_2}{\partial x}\right)^2 + \left(\frac{\partial f_2}{\partial y}\right)^2}} \quad (5.86)$$

Tinînd seama de (5.83) și (5.86), relația (5.80) devine :

$$\vec{u}_E \cdot \text{grad } \Phi_2 = \frac{\Delta z_E}{\Delta t} \quad (5.87)$$

Conform relațiilor (5.73), (5.77), (5.78) și figurii 5.7, al doilea termen al ecuației (5.73) este :

$$\vec{v}_E \cdot \text{grad } \Phi_2 = -k \cdot v_E \left( -i \frac{\partial f_2}{\partial x} - j \frac{\partial f_2}{\partial y} + k \right) = -v_E \quad (5.88)$$

Tinînd seama de (5.73), (5.77) și (5.78) pentru al treilea termen al relației (5.73) rezultă :

$$\frac{\partial \Phi_2}{\partial t} = - \frac{\partial f_2}{\partial t} \quad . \quad (5.89)$$

Inlocuind (5.87), (5.88), (5.89) în (5.73) se obține :

$$\frac{\partial f_2}{\partial t} = \frac{\Delta z_E}{\Delta t} - v_E \quad (5.90)$$

sau

$$f_2(x, y, t + \Delta t) = f_2(x, y, t) + \Delta z_E - v_E \cdot \Delta t \quad (5.91)$$

Relația (5.91) este în concordanță cu mecanismul de generare a suprafeței la electrodul ET în cazul prelucrării prin eroziune electrică cu copierea formei (fig.5.7) și reprezintă modelul

matematic general al uzării ET, în condițiile cînd obiectul prelucrării OP este fix iar ET se deplasează paralel cu axa OZ, cu viteza de translație  $\vec{v}_E$ . Pentru  $Y = \text{const.}$  relația (5.91) devine identică cu un model particular /64/, demonstrat pe cale geometrică simplificată.

Pe de altă parte avansul  $\Delta Z$  al electrodului este (fig. 5.7) :

$$\Delta Z = v_E \cdot \Delta t = \Delta Z_E + \Delta Z_P \quad (5.92)$$

Inlocuind (5.92) în (5.91) se obține :

$$f_2(X, Y, t + \Delta t) = f_2(X, Y, t) - \Delta Z_P \quad (5.93)$$

Cu ajutorul modelelor matematice (5.91) sau (5.93), procesul de generare a suprafeței (uzare) la ET poate fi studiat în succesiuni de secvențe de durată  $\Delta t$ .

În explicitarea termenilor  $\Delta Z_P$  sau  $\Delta Z_E$  se pornește de la relația de definiție a uzurii relative volumice a electrodului, în ipoteza că normala la suprafața elementului de suprafață inițial  $\Delta S_{Ei}$  al ET (la momentul t) și normala la suprafața elementului de suprafață inițial  $\Delta S_{Pi}$  al OP, sunt paralele, avînd același unghi  $\varphi$  în raport cu axa OZ (fig. 5.7). Pentru perechea de elemente de suprafață  $\Delta S_{Ei}$  și  $\Delta S_{Pi}$ , în ipotezele c și d, uzura relativă volumică  $\delta_o$  (vezi relațiile 5.1 și 5.2) poate fi considerată constantă în orice interval de timp  $\Delta t$  :

$$\delta_o = \frac{\Delta V_E}{\Delta V_P} = \frac{h_{En} \cdot \Delta A_E}{h_{Pn} \cdot \Delta A_P} \quad (5.94)$$

în care:  $\Delta V_E$  - volumul uzurii elementare a electrodului;  $\Delta V_P$  - volumul prelevării elementare de la obiectul prelucrării;  $h_{En}$  - grosimea locală pe direcția normalei a stratului de substanță uzat la ET în perioada de timp  $\Delta t$ ;  $h_{Pn}$  - grosimea locală pe direcția normalei a stratului de substanță prelevat de la OP în perioada  $\Delta t$ ;  $\Delta A_E = \Delta V_E/h_{En}$  și  $\Delta A_P = \Delta V_P/h_{Pn}$  - ariile elementare respective.

Tinînd seama de definiția uzurii relative liniare locale  $\lambda_n$  pe direcția normalei la elementele de suprafață activă, de noțiile din figura 5.7 și de (5.94), se poate scrie :

$$\lambda_n = \frac{h_{En}}{h_{Pn}} = \frac{\Delta V_E \cdot \Delta A_P}{\Delta V_P \cdot \Delta A_E} \quad (5.95)$$

In cazul curburilor pozitive (raze convexe ale suprafeței

active a ET) se poate scrie pe baza figurii 5.7 :

$$\frac{\Delta A_p}{\Delta A_E} = \lambda_n \cdot \frac{\Delta V_p}{\Delta V_E} = \\ = \lambda_n \frac{h_{Pn}(r_{K1Ei} + h_{Pn} + \delta)(r_{K2Ei} + h_{Pn} + \delta) \Delta \varepsilon_1 \cdot \Delta \varepsilon_2}{h_{En} \cdot r_{K1Ei} \cdot r_{K2Ei} \cdot \Delta \varepsilon_1 \cdot \Delta \varepsilon_2} \quad (5.96)$$

Din (5.95), (5.94) și (5.96) rezultă pentru momentul  $t + \Delta t$  :

$$\lambda_n = f_o \left( 1 + \frac{h_{Pn} + \delta}{r_{K1Ei}} \right) \left( 1 + \frac{h_{Pn} + \delta}{r_{K2Ei}} \right) \quad (5.97)$$

în care:  $r_{K1Ei}$  – raza de curbură inițială (la momentul  $t$ ) a elementului de suprafață  $\Delta S_{Ei}$  a ET, în planul de avans, determinat de normala  $\vec{n}_E$  și direcția de avans;  $r_{K2Ei}$  – raza de curbură inițială a elementului de suprafață  $\Delta S_{Ei}$  a ET, în planul care conține normala  $\vec{n}_E$  și este perpendicular pe planul de avans.

In cazul curburilor negative (zone concave ale suprafeței active a ET) se demonstrează analog că, pentru momentul  $t + \Delta t$ , este valabilă relația :

$$\lambda_n = f_o \left( 1 - \frac{h_{Pn} + \delta}{r_{K1Ei}} \right) \left( 1 - \frac{h_{Pn} + \delta}{r_{K2Ei}} \right) \quad (5.98)$$

Pe direcția de avans OZ se definește uzura relativă liniară locală  $\lambda_z$  :

$$\lambda_z = \frac{\Delta z_E}{\Delta z_P} \quad (5.99)$$

în care grosimea  $\Delta z_E$ , pe direcția de avans, a stratului de substanță uzat la ET la abscisa X respectiv grosimea  $\Delta z_P$ , pe direcția de avans, a stratului de substanță prelevat de la OP la abscisa  $X + \delta \cdot \sin \varphi_i$ , sunt date de relațiile :

$$\Delta z_E = \frac{h_{En}}{\cos \varphi_i} ; \quad \Delta z_P = \frac{h_{Pn}}{\cos \varphi_i} \quad (5.100)$$

Din (5.99), (5.97), (5.98), (5.100) rezultă :

$$\lambda_z = f_o \left( 1 \pm \frac{\Delta z_P \cdot \cos \varphi_i + \delta}{r_{K1Ei}} \right) \left( 1 \pm \frac{\Delta z_P \cdot \cos \varphi_i + \delta}{r_{K2Ei}} \right) \quad (5.101)$$

$$\Delta z_E = f_o \cdot \Delta z_P \left( 1 \pm \frac{\Delta z_P \cdot \cos \varphi_i + \delta}{r_{K1Ei}} \right) \left( 1 \pm \frac{\Delta z_P \cdot \cos \varphi_i + \delta}{r_{K2Ei}} \right) \quad (5.102)$$

Din (5.92) și (5.102) se obține, pentru orice punct de coordonate  $X_E$ ,  $Y_E$ ,  $Z_E$  date, următoarea dependență :

$$\Delta Z_p = f(\delta_0, r_{K1Ei}, r_{K2Ei}, \delta, \Delta Z, \varphi_i) \quad (5.103)$$

In practica prelucrării se pot determina prin încercări și măsurători valorile mărimilor  $\delta_0$ ,  $\delta$ . Valorile razelor de curbură  $r_{K1Ei}$ ,  $r_{K2Ei}$  și a unghiurilor  $\varphi_i$  pentru configurația suprafetei active inițiale a electrodului sunt date în documentația tehnică de fabricare a acestuia. Dacă se studiază uzarea ET în succesiuni de secvențe  $\Delta t$  corespunzătoare unor avansuri  $\Delta Z$  de valori convenabil alese, se pot calcula valorile  $\Delta Z_p$  respectiv  $\Delta Z_E$ , deci se poate determina cu relația (5.93) configurația suprafetei active a ET la sfîrșitul secvenței  $\Delta t$ . După determinarea razelor de curbură pentru noua configurație, cu relația (5.103) se calculează valorile  $\Delta Z_p$  pentru secvența  $\Delta t$  următoare, ciclul descris reluindu-se succesiv, în conformitate cu necesitățile studiului.

Modelul matematic elaborat permite simularea pe calculatorul electronic numeric a procesului de generare a suprafetei (uzare) a electrodului la copierea formei acestuia, în cazul cînd se face simultan prelevarea și evacuarea din interstițiul a produselor solide și gazoase ale eroziunii electrice. Modelul matematic este valabil și în cazul altor cinematici de generare a suprafetei, cînd se copiază profilul electrodului.

## 6. Cercetări experimentale privind uzarea electrodului de transfer la prelucrarea prin eroziune electrică cu copierea formei.

### 6.1. Obiective și metodică a cercetărilor experimentale.

Așa cum s-a arătat în subcapitolul 3.3 și în capitoalele 4 și 5, procesul de uzare a electrodului la prelucrarea prin eroziune electrică cu copierea formei prezintă complexitate deosebită, este prea puțin studiată în literatură deși determină în mod hotărîtor performanțele procedeului. Acest fapt a necesitat profundarea, în capitolul 5, a studiului teoretic al uzării electrodului și impune în continuare cercetări experimentale, în vederea verificării corectitudinii modelului matematic elaborat și explicării propuse pentru mecanismul de uzare a electrodului.

Cercetările experimentale ale procesului macroscopic de

uzare a electroșului ET la prelucrarea electroerozivă cu copierea formei, efectuate de alți cercetători, se pot grupa în cîteva categorii :

a) cercetări de „constatare” a uzurii electrodului ET, care nu au urmărit verificarea cantitativă sau calitativă a vreunui model matematic elaborat în prealabil, ci obținerea de diverse informații despre procesul de uzare /27, 62, 188, 238, 248, 264, 331, 330, 444/;

b) cercetări necesare pentru determinarea unor modele matematice sub forma unor ecuații de regresie, valabile pentru cauzi cu totul particulare ale uzării ET /114, 115, 263/ ;

c) cercetări de verificare a corectitudinii unor modele matematice particulare pentru uzarea ET /63, 64, 186/.

Pentru modelarea și simularea procesului de generare a suprafetei la piesă respectiv pentru proiectarea ET cu calculatorul electronic numeric, prezintă importanță deosebită numai ultima categorie de cercetări (§ 5.5.1).

Din păcate, cercetările efectuate de Crookall, Fereday, Moncrieff /63, 64/, nu au reușit să obțină o concordanță satisfăcătoare între rezultatele simulării pe calculatorul electronic numeric a procesului de uzare și rezultatele cercetărilor experimentale efectuate pentru cazul electrozilor plăci subțiri. Aceasta se datorează în principal imperfecțiunii modelului matematic elaborat, simplificărilor admise în cadrul analizei numerice și considerării voit - simplificate a unor răcordări circulare ale profilelor de uzare la muchii.

Pe baza celor expuse mai sus și a concluziilor formulate la § 5.5.1, se adoptă în continuare următoarele obiective și metodă a cercetării experimentale în cadrul spațiului limitat al acestei lucrări :

1) cercetarea procesului de uzare la prelucrarea prin eroziune electrică cu electrozi plăci subțiri în condiții de evacuare practic instantanee a deșeurilor solide din intersticiu, comparațiv cu dinamica uzării electrozilor cilindrici în condiții de evacuare naturală a deșeurilor în afara interstițiului;

2) verificarea imediată a corectitudinii modelului matematic elaborat la § 5.5.4, prin compararea uzurii relative liniare calculate și a celei măsurate în zona rotunjirii muchiilor electrozilor de transfer tip plăci subțiri;

3) verificarea corectitudinii explicației teoretice propuse la § 5.3.1 pentru mecanismul macroscopic general al procesului

de uzare a electrodului de transfer, prin compararea ei cu rezultatele experimentale obținute la prelucrarea prin eroziune electrică cu electrozi cilindrici, în condiții de evacuare naturală a deșeurilor în afara interstițiului.

### 6.2. Mijloace, regimuri de lucru și metode utilizate la cercetarea experimentală.

Cercetările experimentale au utilizat următoarele  componente ale sistemului tehnologic SATO :

1) utilaj de prelucrare prin eroziune electrică tip EROSIMAT SFE 30-C/457/ cu generator de impulsuri de tip RC, ales în scopul obținerii de uzuri ridicate la rugozități acceptabile și productivități suficient de mari, cerute de durată convenabilă pentru încercări;

2) lichid de lucru petrol fără nici un material de adaos sau protecție, filtrat în timpul procesului de către sistemul de circulație al utilajului EROSIMAT SFE 30-C ;

3) obiecte ale prelucrării OP din oțel aliat de scule C 120 (STAS 3611-66), călite-revenite la duritatea 56...58 HRC; în cazul electrozilor plăci, OP au avut forma unor plăci prismatice drepte cu dimensiunile 35x35x3 mm, iar în cazul prelucrării cu electrozi cilindrici OP au avut forma unor prisme compuse din două bucăți asamblate cu șuruburi, pentru ca în final, după terminarea prelucrării la diferite adâncimi, să fie posibilă măsurarea profilurilor OP în planul axial;

4) electrozi de transfer din cupru Cu 99,9 (STAS 270/1-74, STAS R 6388-68) în formă de plăci prismatice drepte cu dimensiuni-le /mm/ : lungime 80, grosime 3, lățime 8; 11,3; 16; 20; respectiv ET de formă cilindrică cu diametrul /mm/: 8; 11,3; 16; 20, din același material;

5) regimuri de lucru programate: a) regim electric mijlociu, având în circuitul de încărcare al generatorului de impulsuri  $C = 18 \mu F$ ,  $R = 103 \Omega$ , iar în spațial de lucru o tensiune de lucru medie de străpungerere măsurată  $U = (170 \pm 5) V$ , un curent mediu  $I_{med} = (5,8 \pm 0,2) A$ , energia descărcării  $W_i \approx 0,3 J$ , frecvența impulsurilor de curent  $f_i \approx 400 Hz /457/$ ; b) circulație a lichidului de lucru în cadrul cuvei cu un debit  $Q_L \approx 15 l/min$ , evacuarea deșeurilor solide în afara interstițiului ET-OP făcîndu-se natural, fie direct și practic instantaneu cu prelevarea lor (la electrozii plăci subțiri), fie în urma măruncirii avansate, după un timp cu atît mai îndelungat de la momentul separării

lor din OP și ET, cu cît adîncimea prelucrării este mai mare (la electrozi ET cilindrici); c) reglare a sistemului de avans automat al ET, astfel încât să se realizeze întotdeauna randament optim și stabilitate a prelucrării.

In afara aparaturii pentru măsurarea parametrilor electriți  $U$  și  $I_{med}$  s-au mai utilizat următoarele aparate și metode de măsurare:

6) măsurarea maselor OP și ET s-a făcut cu o precizie de  $2 \cdot 10^{-4}$  g pe balanță analitică, iar volumele prelevate de la electrozi s-au determinat cunoscând scăderea masei  $\Delta m$  și a densității  $\rho$ ,  $V = \Delta m \cdot \rho$ ;

7) măsurarea coordonatelor profilurilor ET și OP s-a făcut pe un proiectoare de profile MP 320 Carl Zeiss-Jena, la o mărire de 10 ori;

8) densitățile  $\rho_E$  și  $\rho_O$  ale materialelor ET și OP s-au determinat prin metoda dublei cîntăriri;

9) duratele prelucrărilor s-au măsurat cu cronometrul.

Valorile obținute în urma prelucrării rezultatelor serilor de experiențe reprezintă media a cel puțin 3 măsurători.

In legătură cu ariile transversale ale electrozilor de transfer, trebuie precizat că ele sunt de 1,8...4,5 ori mai mari la electrozi cilindrici ( $A_{tE} = 50; 100; 200; 300 \text{ mm}^2$ ) față de electrozi plăci ( $A_{tE} = 28; 40; 58; 66 \text{ mm}^2$ ). In condițiile experimentării la regim de lucru constant, aceasta are drept consecință densități de curent  $j_{med}$  de 1,8...4,5 ori mai mari la prelucrarea cu electrozi plăci față de prelucrarea cu electrozi cilindrici, deci valori ale uzurii relative  $\delta_0$  mai mari la electrozi plăci. S-a preferat inegalitatea densităților de curent față de inegalitatea dintre diametrul și lățimea ET (erau necesare lățimi ale ET plăci de 16, 33, 66, 100 mm pentru a asigura  $j_{med}$  identic), deoarece cel mai important aspect îl constituie comparabilitatea profilurilor de uzare a celor două tipuri de electrozi, pentru diverse diametre și adîncimi de prelucrare.

### 6.3. Rezultatele cercetărilor experimentale ale procesului de uzare a electrodului la prelucrarea prin eroziune electrică cu copierea formei.

#### 6.3.1. Cercetări experimentale comparative ale uzării electrozilor plăci subțiri și electrozilor cilindrici.

In condițiile precizate la subcapitolul 6.2 s-au făcut

prelucrări electroerozive cu copierea formei la adâncimi în obiectul prelucrării  $L_{Pmax} = 1; 2; 3; 5; 10; 15; 20; 25$  mm (pentru electrozi plăci subțiri) și  $L_{Pmax} = 5; 10; 15; 20; 25$  (pentru electrozi ET cilindrici).

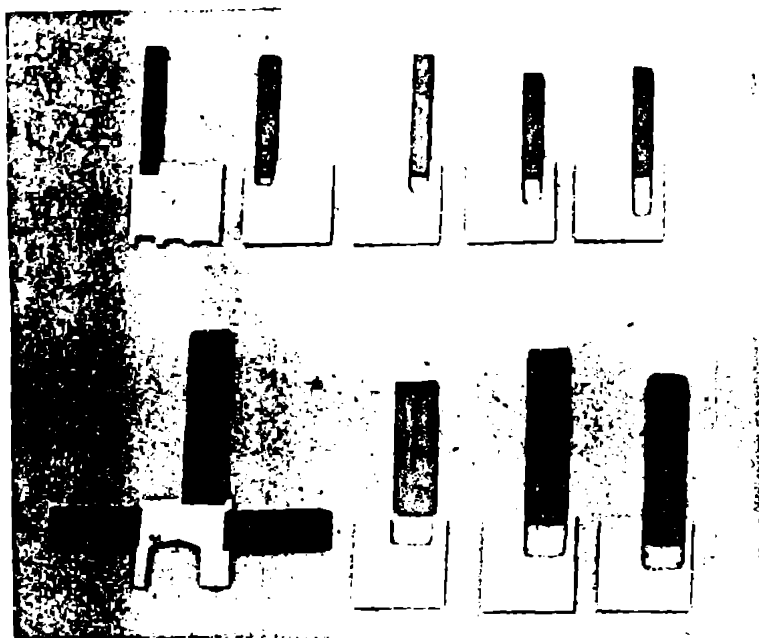


Fig.6.1. Electrozi ET și obiecte prelucrate OT utilizate la cercetarea experimentală a uzurii electrozilor.

permite evidențierea unui număr mare de dependențe. Dintre acestea, conform obiectivului stabilit la subcapitolul 6.1, s-au luat în considerare doar dependențele relevante dintre variabilele de ie-

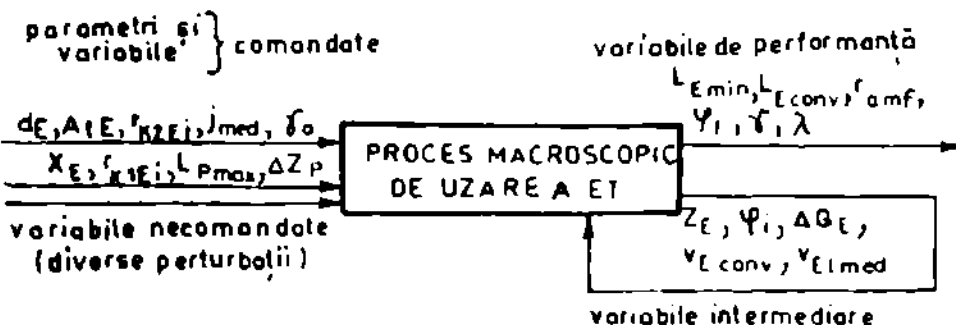


Fig.6.2. Variabile relevante considerate în cercetarea experimentală macroscopică a uzurii electrozilor la prelucrarea prin eroziune electrică cu copierea formei.

ra 6.2 este precizată în tabelul 5.3, relația (5.16) și anterior în capitolul 6, rămîn de definit doar:  $X_E$ ,  $Z_E$  - coordonatele punctelor marginale ale (profilului) electrodului ET în planul XOZ care conține direcția de avans paralelă cu OZ;  $r_{amf}$  /mm/ - raza aproximată la muchie electrodului ET uzat, la sfîrșitul (finalul) prelucrării

Figura 6.1 prezintă aspectul final al electrozilor ET și obiectelor OP, la sfîrșitul prelucrărilor menționate.

Măsurătorile de timpi operativi  $t$ , respectiv cele de mase, densități, dimensiuni liniare și unghiulare etc. efectuate cu metodele prezentate anterior și prelucrarea rezultatelor experimentale obținute

sire (de performanță, intermediare) și cele de intrare (comandate) ale procesului de uzare considerat sub aspect macroscopic (fig. 6.2).

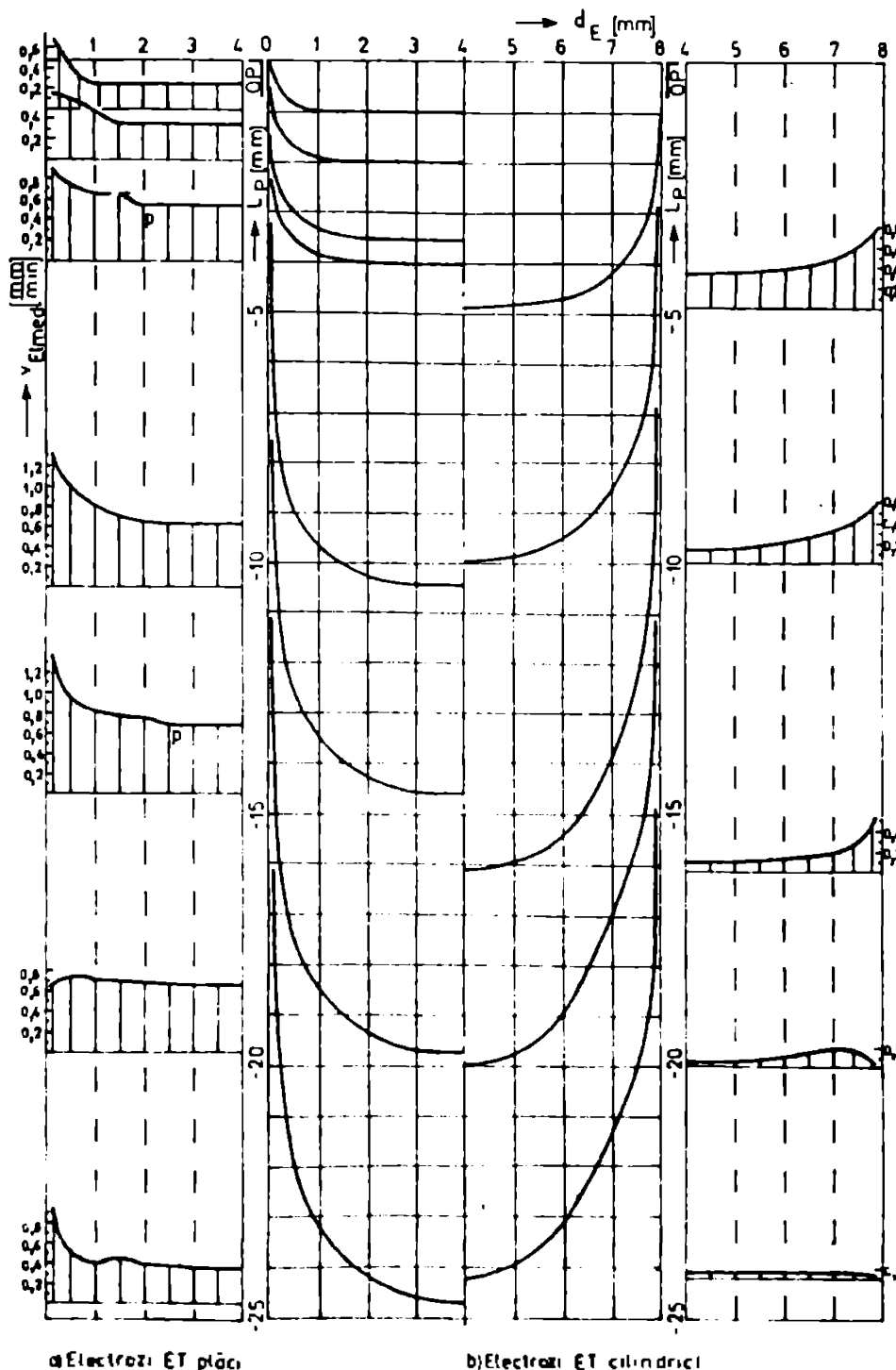
Deoarece semnificația marii majorități a variabilelor specificate în figu-

sau secvenței de durată  $\Delta t$ .

Figurile 6.3, 6.4, 6.5, 6.6 prezintă comparativ pentru electrozi plăci și cilindrici dependențele ce definesc profilul:

$$Z_E = f(X_E, L_{Pmax}, d_E, j_{med}) \quad (6.1)$$

la patru valori ale parametrului lățimea/diametrul electrodului  $d_E = 8; 11,3; 16; 20 \text{ mm}$ .



**Fig.6.3.** Profilurile efective și vitezele  $v_{Elmed}$  la diverse adâncimi de prelucrare pentru  $d_E = 8 \text{ mm}$ .

Se observă imediat, chiar fără a efectua măsurări ale razelor approximate la muchii, că la adâncimi ale prelucrării  $L_{Pmax}$  comparabile există relația :

$$r_{amf.placi} \ll r_{amf.cilindr} \quad (6.2)$$

explicată de uzarea suplimentară a ET cilindrici, ca urmare a des-

cărcărilor de mărunțire  $N_{pm}$  a deșeurilor solide evacuate natural din interstiu. Trebuie evidențiat faptul că inegalitatea (6.2) apare totuși în condițiile menționate anterior, cînd densitatea de curent :

$$j_{med.placi} = (1,8 \dots 4,5) \times j_{med.cilindr} / \frac{A}{cm^2} \quad (6.3)$$

ceea ce de fapt micșorează valoarea raportului

$$r_{amf.cilindr} / r_{amf.placi}$$

Influența razei de curbură  $r_{K2Ei}$  (relația 5.16) asupra creșterii valorii

$r_{amf.cilindr}$  este redusă și în orice caz este compensată de efectul valorii mai mici a densității de curent  $j_{med}$  la electrozi cilindrici (relația 6.3).

In figura 6.7 se prezintă variatiile uzurii relative volumice  $\gamma$  și a razei approximate la muchii  $r_{amf}$  :

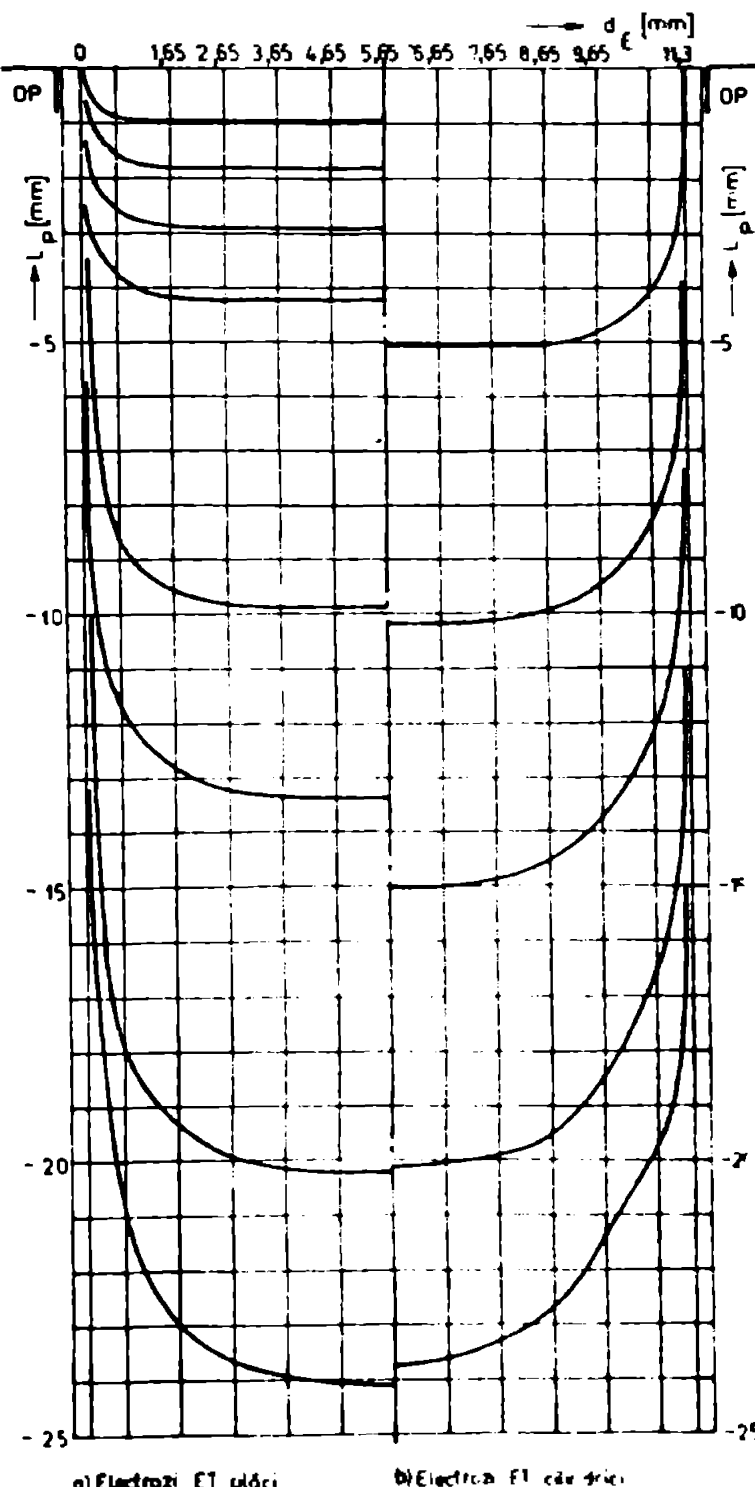
$$\gamma = f(L_{Pmax}, d_E, j_{med}) \quad (6.4)$$

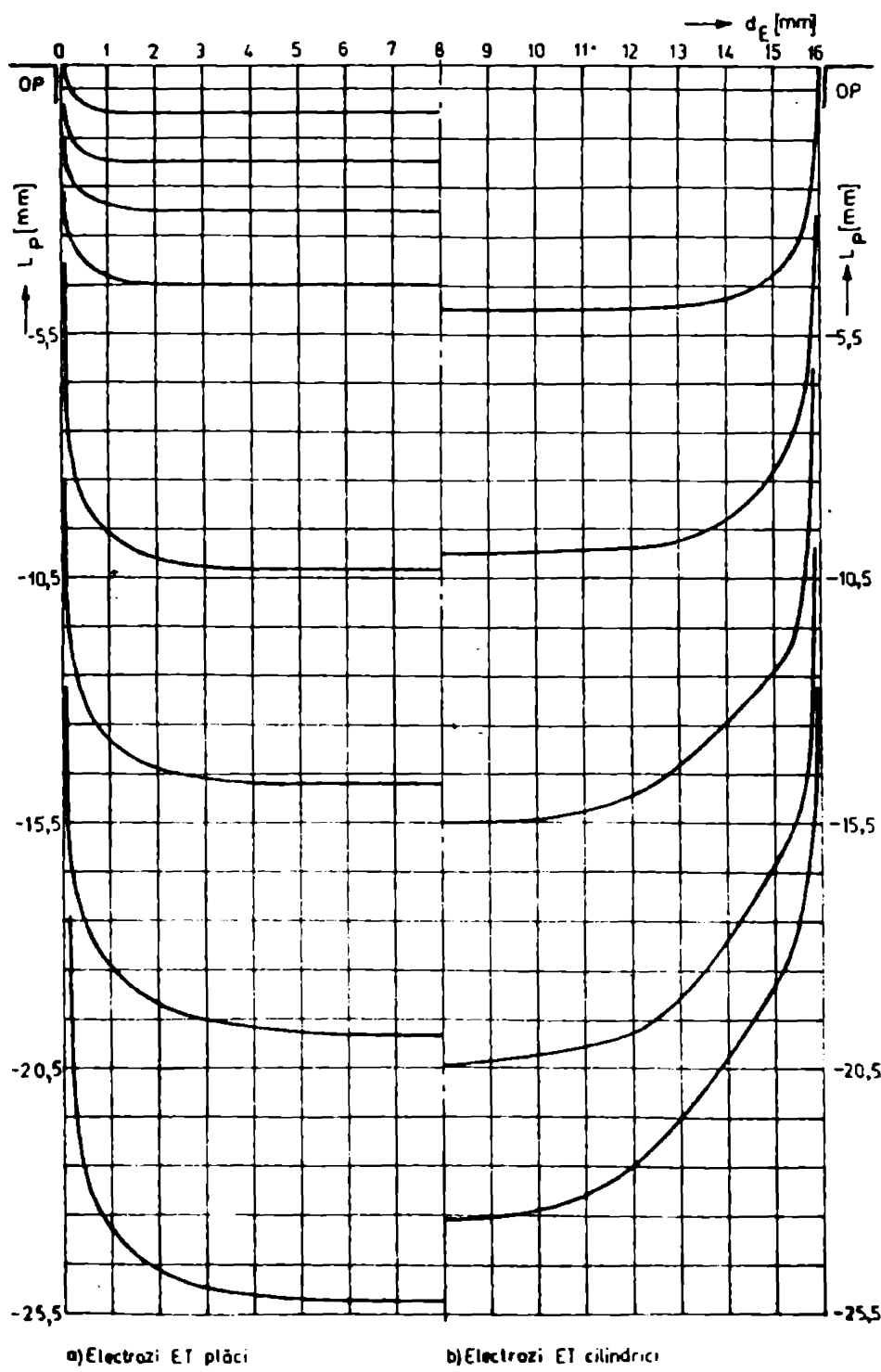
$$r_{amf} = f(L_{Pmax}, d_E, j_{med}) \quad (6.5)$$

care evidențiază cu deosebi-

Fig.6.4. Profilurile efective ale electrozilor de lățime/diametru  $d_E = 11,3$  mm la diverse adîncimi de prelucrare  $L_{Pmax}$ .

tă claritate efectul eliminării descărcărilor de mărunțire  $N_{pm}$  la prelucrarea cu electrozi pluci; constanța razelor  $r_{amf.placi}$  independent de valorile  $d_E$  și  $j_{med}$ , respectiv evasiconstanța uzurii relative volumice  $\gamma$  funcție de  $L_{Pmax}$ . Descărcările de mărunțire a deșeurilor solide  $N_{pm}$  desfășurate cu preponderență în zona muchiilor

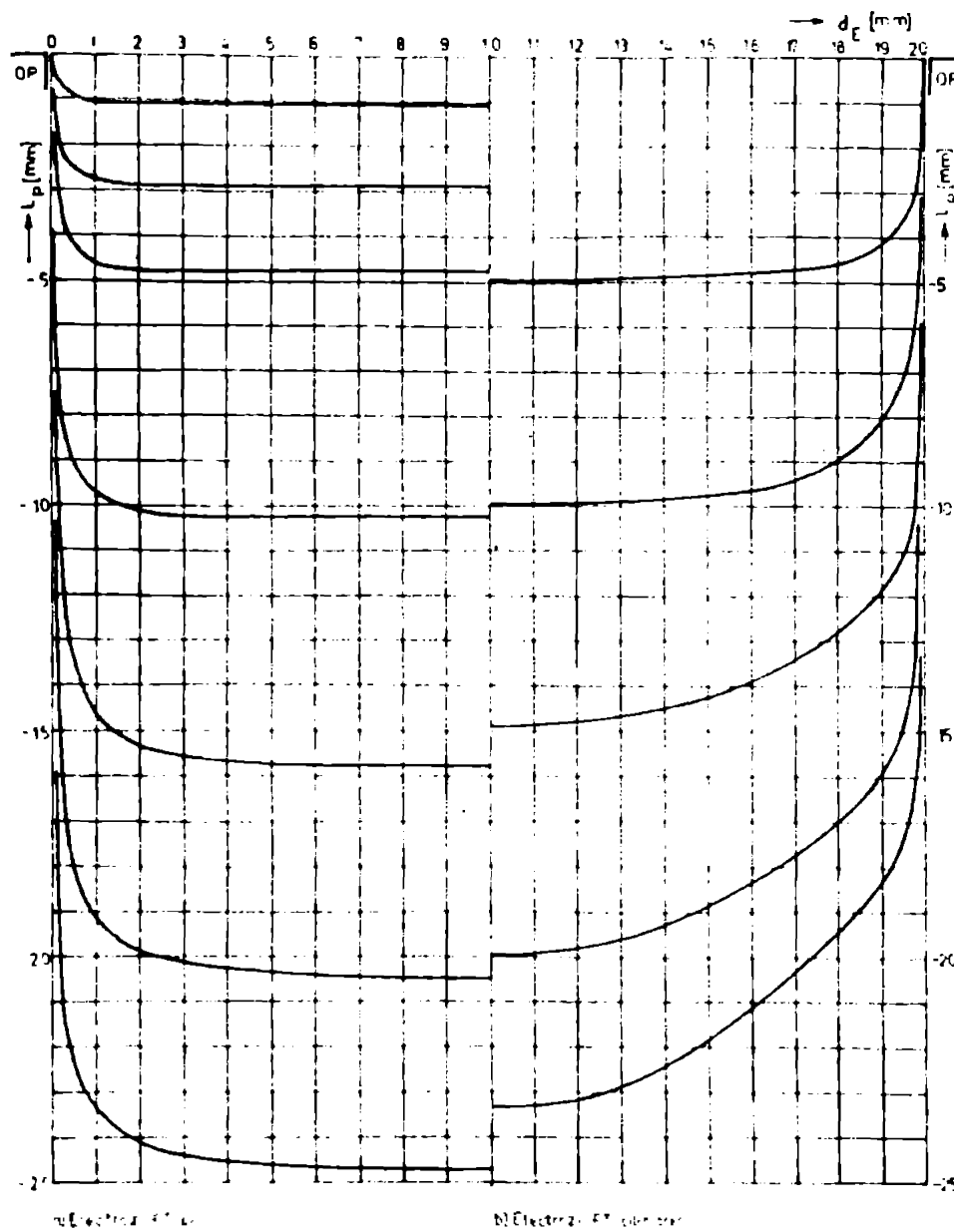




**Fig.6.5.** Profilurile efective ale electrozilor lățime/diametru  $d_E = 16$  mm la diverse adîncimi de prelucrare  $L_{Pmax}$ .

electrozilor cilindrii, unde începe traseul vertical de evacuare, determină uzări locale foarte pronunțate, îndeosebi la adîncimi de prelucrare  $L_{Pmax} > 10$  mm. Ca un efect al reacției inverse interne a procesului de prelucrare la valori  $L_{Pmax} > 5$  mm și  $r_{amf} > 2$  mm se usurează traseul de evacuare a deșeurilor și se constată o reducere generală a valorii uzurii relative volumice  $\hat{\gamma}$ , în cazul electrozilor cilindrii. În condițiile regimului electric utilizat la prelucrare, la diametre  $d_E = 8; 11,3$  mm și adîncimi  $L_{Pmax} > 15$  mm

au apărut peliculizări grafitice zonale ale electrozilor cilindrici, ceea ce a dus în continuare la scăderea valorilor uzurii volumice  $\delta$ . La diametre mai mari  $d_E = 16; 20$  mm și adîncimi  $L_{Pmax} > 20$  mm, efectul descărcărilor de măruntire  $N_{pm}$  a fost mai important decât cel al peliculizărilor grafitice zonale, ceea ce a determinat creșteri relative ale uzurii volumice  $\delta$ .



**Fig.6.6.** Profilurile efective ale electrozilor de lățime/diametru  $d_E = 20$  mm la diverse adîncimi de prelucrare  $L_{Pmax}$ .

Evoluția în timp a uzurii relative volumice  $\delta$  și a uzurii liniare minime a electrozului  $L_{Emin}$ , paralelu cu axa OZ (fig.6.8):

$$\delta = f(d_E, j_{med}, t) \quad (6.6)$$

$$L_{Emin} = f(d_E, j_{med}, t) \quad (6.7)$$

evidențiază mai bine influența asupra uzării  $\delta$  a factorilor

menționați anterior și influența deosebită a valorii densității medii de curent  $j_{med}$  (relația 6.3), care este cauza singulară a relației:

$$L_{Emin.\text{plăci}} \geq L_{Emin.\text{cilindri}} \quad (6.8)$$

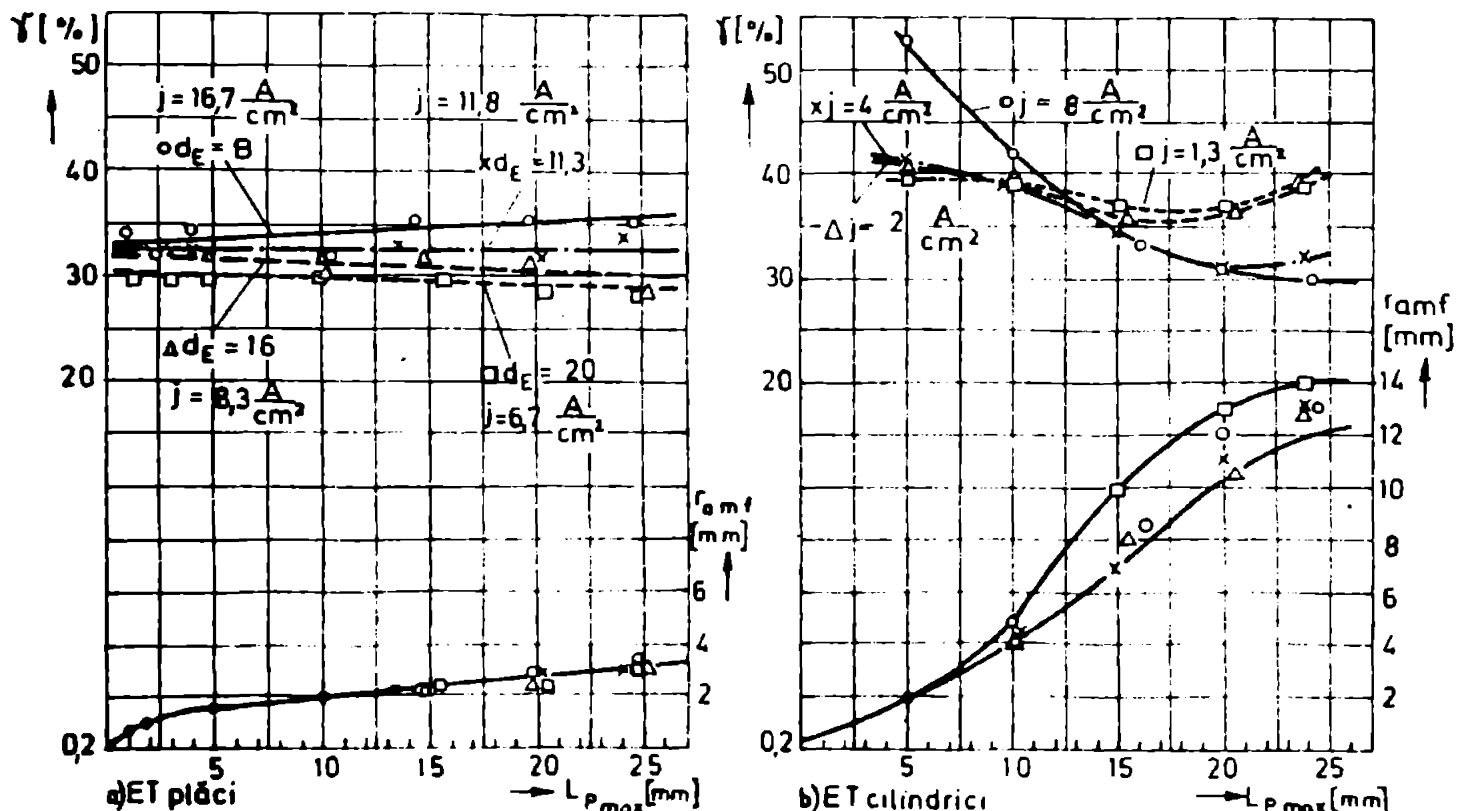


Fig.6.7. Dependențele  $f = f(L_{pmax}, d_E, j_{med})$  și  $r_{amf} = f(L_{pmax}, d_E, j_{med})$  pentru electrozii ET.

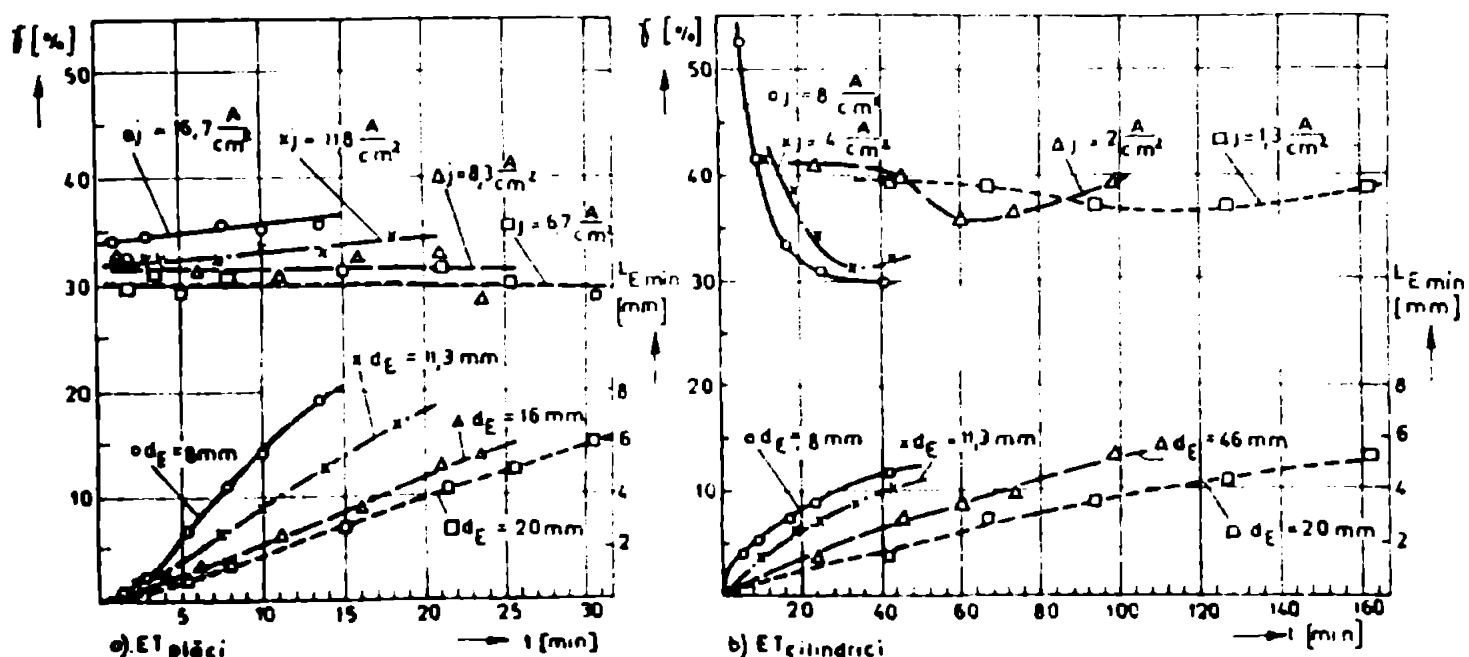


Fig.6.8. Dependențele  $f = f(d_E, j_{med}, t)$  și  $L_{min} = f(d_E, j_{med}, t)$  pentru electrozii ET.

Informații mai detaliate despre desfășurarea în timp și spațiu a procesului de uzare a electrodului oferă evoluția valorilor

variabilelor  $\Delta Q_E$ ,  $L_{Pmax}$ ,  $v_{Econv}$  (fig.6.9 și fig.6.10) :

$$\Delta Q_E = f(d_E, j_{med}, t) \quad (6.9)$$

$$L_{Pmax} = f(d_E, j_{med}, t) \quad (6.10)$$

$$v_{Econv} = f(d_E, j_{med}, t) \quad (6.11)$$

$$L_{Econv} = f(d_E, j_{med}, t) \quad (6.12)$$

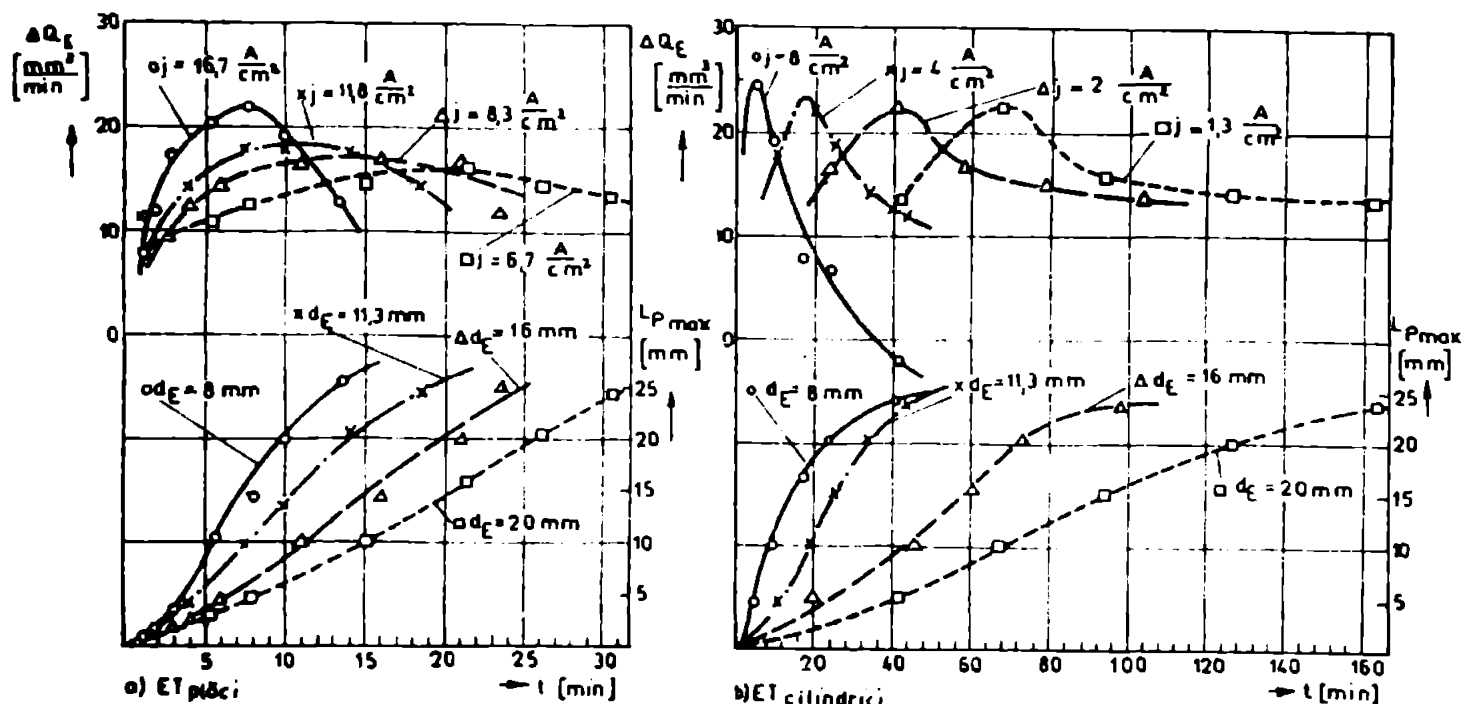


Fig. 6.9. Dependențele  $\Delta Q_E = f(d_E, j_{med}, t)$  și  $L_{Pmax} = f(d_E, j_{med}, t)$  pentru electrozi ET.

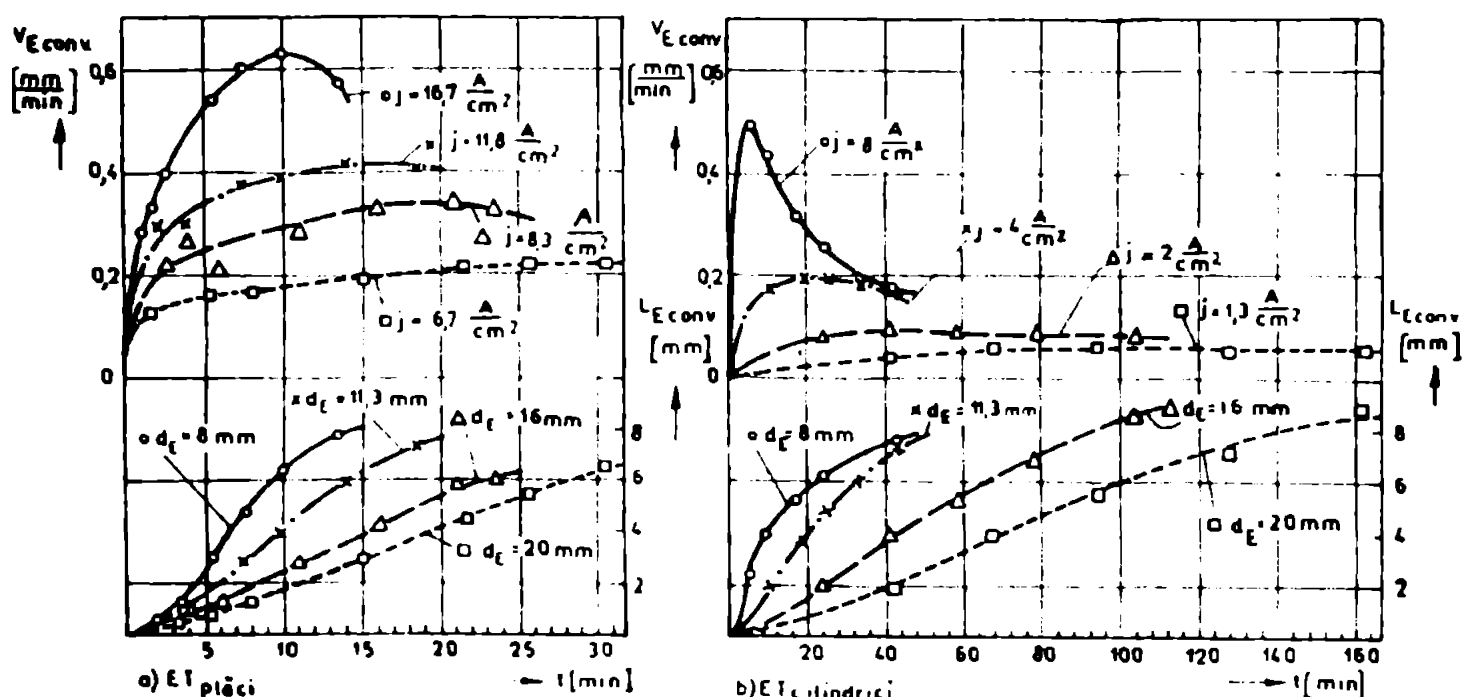


Fig. 6.10. Dependențele  $v_{Econv} = f(d_E, j_{med}, t)$  și  $L_{Econv} = f(d_E, j_{med}, t)$  pentru electrozi ET.

Atât variația de la o adâncime  $L_{Pmax}$  la alta a debitării de material  $\Delta Q_E$  prelevat de la electrozi, cît și viteza convențională de uzare a electrozilor  $v_{Econv}$  (relațiile de definiție 5.31 și 5.37 din tabelul 5.3) prezintă maxime distințe în timpul formării razei de rotunjire approximate critice a muchiilor  $r_{am.crit}$ . La valori  $r_{amf} > r_{am.crit}$  începe procesul de reducere relativă a uzării electrozilor, cu tendință de formare a unor profiluri de egală uzură. În cazul electrozilor plăci subțiri razele de rotunjire  $r_{am.crit} = (2...2,5)$  mm se formează la adâncimi de prelucrare  $L_{Pmax} = (12...20)$  mm, după care procesul de uzare ( $L_{Econv}$  în fig.6.10 a,  $L_{Emin}$  în figura 6.8 a) se intensifică, cu tendință clară de saturatie. În cazul electrozilor cilindrici, deși densitatea de curent este mai mică (relația 6.3), uzura la muchii este mult mărită de descărările de măruntire a deșeurilor solide  $N_{pm}$ , razele de rotunjire  $r_{am.crit} = (4...5)$  mm, formate la adâncimi mai mici  $L_{Pmax} = (5...10)$  mm, fiind de 2 ori mai mari ca în cazul electrozilor plăci. Creșterea dificultăților de evacuare naturală a deșeurilor solide în afara interstițiului la  $L_{Pmax} > 10$  mm determină uzări locale pronunțate la schimbarea direcției traseului de evacuare, mărinind astfel valoarea  $r_{amf}$ , cu reduceri simultane a vitezei de prelevare ( $\Delta Q_E$  în figura 6.9 b,  $v_{Econv}$  în fig.6.10 b).

Tendința de formare a unor profiluri de egală uzură apare evidentă la rapoarte  $L_{Pmax}/d_E$  de valoare suficient de mare. De exemplu, pentru electrozi de lățime/diametru  $d_E = 8$  mm (fig.6.3), profilul de egală uzură în cazul electrozilor cilindrici apare la valori  $L_{Pmax}/d_E \geq 3$ . Acest fapt este dovedit de variația vitezei longitudinale medie locale de uzare :

$$v_{Elmed} = \frac{\Delta Z_E}{\Delta t} = f(X_E, L_{Pmax}, j_{med}) \quad (6.13)$$

în care:  $\Delta Z_E$  /mm/ - scurtarea (uzura liniară a) electrodului la abscisa  $X_E$  de la o adâncime de prelucrare  $L_{Pmax}$  la următoarea ;  $\Delta t$  /min/ - intervalul de timp necesar pentru prelucrarea de la o adâncime  $L_{Pmax}$  la următoarea. La electrozii cilindrici (fig.6.3 b) viteza  $v_{Elmed}$  are valori și diferențieri mari pînă la formarea razei de rotunjire  $r_{am.crit}$  ( $L_{Pmax} \approx 5$  mm), iar apoi își reduce relativ valoarea și diferențierea pînă la formarea profilului de egală uzură (la  $L_{Pmax} = 25$  mm), cînd :

$$v_{Elmed} = (0,06...0,07) \frac{mm}{min} \approx \text{constant} \quad (6.14)$$

6.3.2. Verificarea experimentală a modelului matematic pentru uzarea electrozilor plăci subțiri la prelucrarea prin eroziune electrică cu copierea formei.

Verificarea experimentală a modelului matematic compus din relațiile (5.91) și (5.102) nu este deocamdată posibilă, deoarece în cazul prelucrării electroerozive tridimensionale cu copierea formei pe utilaje existente este irealizabilă evacuarea instantanee din interstițiul a deșeurilor solide ale prelucrării. În această situație, verificarea experimentală a modelului se face pentru cazul bidimensional (electrozi plăci subțiri) în planul XOZ /305/ :

$$f_2(X, t + \Delta t) = f_2(X, t) + \Delta Z_E - v_E \cdot \Delta t \quad (6.15)$$

$$\Delta Z_E = \gamma_o \cdot \Delta z_p \left( 1 \pm \frac{\Delta z_p \cdot \cos \varphi_i + \delta}{r_{KlEi}} \right) \quad (6.16)$$

în care s-au considerat aceleasi notări ca la § 5.5.4.

Așa cum s-a arătat la pagina 106, pe baza modelului matematic compus din relațiile (6.15) și (6.16) este posibilă simularea pe calculatorul electronic numeric a procesului de uzare a electrozilor plăci subțiri, cea mai convenabilă modalitate de simulare folosind o unitate de ieșire cu afișare de tip plotter, care trasează direct profilul electrozilor după fiecare secvență de timp  $\Delta t$ . Corectitudinea și precizia modelului va reiese din compararea profilurilor obținute experimental cu profilurile trasate de plotter. Această simulare pe calculatorul electronic numeric depășește însă tema și spațiul lucrării de față.

O verificare experimentală imediată a preciziei modelului matematic (6.15) și (6.16) este posibilă prin studierea comparativă a uzurii relative liniare  $\lambda_z$  (definită pe direcția de avans OZ) măsurată, respectiv calculată. Din relația (5.101) sau (6.16) se poate scrie pentru cazul electrozilor plăci dreptunghiulare :

$$\lambda_z = \frac{\Delta Z_E}{\Delta z_p} = \gamma_o \left( 1 + \frac{\Delta z_p \cdot \cos \varphi_i + \delta}{r_{KlEi}} \right) \quad (6.17)$$

Deoarece profilul de uzare a electrozilor nu este circular (relațiile 6.15 și 6.16) iar pe porțiuni ale muchiilor electrozilor uzați de măsoară razele  $r_{am}$  (§ 6.3.1), se poate face verificarea primară a modelului matematic tocmai în aceste zone, pe baza relației analoage cu (6.17) :

$$\lambda_{Zam} = \frac{\Delta Z_{Eam}}{\Delta Z_{Pam}} = \delta_0 (1 + \frac{\Delta Z_{Pam} \cdot \cos \varphi_i + \delta}{r_{ami}}) \quad (6.18)$$

în care:  $\Delta Z_{Eam}$  =  $L_{Eamj} - L_{Eam(j-1)}$  /mm/ - uzura liniară locală longitudinală (pe o direcție paralelă cu direcția de avans OZ) a electrodului în decursul unei secvențe j de durată  $\Delta t$ ;  $L_{Eam(j-1)}$  /mm/ - uzura liniară locală longitudinală la începutul secvenței  $\Delta t$ ;  $L_{Eamj}$  /mm/ - uzura liniară locală longitudinală la sfîrșitul secvenței  $\Delta t$ ;  $\Delta Z_{Pam}$  /mm/ - prelevarea liniară locală longitudinală la obiectul prelucrării, măsurată analog cu  $\Delta Z_{Eam}$ ;  $\delta_0$  - uzura relativă volumică a electrodului în cazul interstițiului plan și al absenței descărcărilor de mărunțire și dispersare;  $\varphi_i$  - unghiul inițial, la începutul secvenței  $\Delta t$ , dintre normala la suprafața electrodului și direcția de avans OZ, la abscisa  $X_E$  corespunzătoare uzurii  $L_{Eam}$ ;  $\delta$  /mm/ - grosimea interstițiului geometric dintre electrod și obiectul prelucrării;  $r_{ami}$  /mm/ - raza de curbură locală inițială, la începutul secvenței  $\Delta t$ , de valoare egală cu raza aproximată la muchia electrodului, considerată la abscisa  $X_E$  corespunzătoare uzurii  $L_{Eam}$ .

Prima egalitate din relația (6.18) a fost utilizată la determinarea pe cale experimentală a uzurii relative liniare  $\lambda_{Zam}$  pornind de la măsurările efectuate cu comparatorul (pentru avansuri și grosimi  $\delta$  ale interstițiului) și projectorul de profile, iar a doua egalitate din relația (6.18) a permis calculul uzurii  $\lambda_{Zamc}$  pe baza modelului matematic elaborat la § 5.5.4.

Sinteza comparării rezultatelor experimentale ( $\lambda_{Zam}$ ) cu cele calculate ( $\lambda_{Zamc}$ ), la valori măsurate  $\delta = 0,1$  mm;  $r_{ami} = 0,2$  mm raza inițială la muchia electrodului;  $\varphi_i = 45^\circ$ ;  $\delta_0 = 0,26$  pentru  $j_{med} = 16,7$  A/cm<sup>2</sup>;  $\delta_0 = 0,24$  pentru  $j_{med} = 11,8$  A/cm<sup>2</sup>;  $\delta_0 = 0,22$  pentru  $j_{med} = 8,3$  A/cm<sup>2</sup>;  $\delta_0 = 0,20$  pentru  $j_{med} = 6,7$  A/cm<sup>2</sup> este dată în tabelul 6.1. Valorile uzurii  $\delta_0$  s-au determinat prin măsurări în zonele plane frontale ale electrozilor plăci subțiri, utilizând relația (5.19), fiind corespondente cu valorile din literatură /330, 457/.

Rezultă o bună precizie a modelului matematic (6.18), dovedită de abaterile  $\pm 4,5\%$  (tabelul 6.1 coloana 12) respectiv de încadrarea punctelor care verifică modelui într-o bandă verticală îngustă ( $X_E = 0,15 \dots 0,58$  mm), în conformitate cu consideren-tele expuse la § 5.5.4.

Tabelul 6.1.

Sinteză rezultatelor verificării experimentale a preciziei modelului matematic pentru uzarea electrozilor plăci subțiri la prelucrare prin eroziune electrică cu copierea formei

Nr. crt.	$d_{E1}$	$t$	$L_{Eam}$	$I_{Pam}$	$\Delta z_{Pam}$	$x_{Eam}$	$\varphi_1^o$	$r_{ani}$	$\lambda_{Zam}$	$\frac{\Delta \lambda_Z}{\lambda_{Zam}}$	$\%$
0	1	2	3	4	5	6	7	8	9	10	11
1	1,06	0,60	0,63	0,60	0,63	0,15	45	0,2	0,952	0,969	1,8
2	1,75	0,99	1,55	0,39	0,92	0,32	53	0,8	0,424	0,430	1,4
3	3,10	1,65	2,87	0,66	1,32	0,40	49	1,0	0,500	0,511	2,2
4	8	2,66	1,77	3,24	0,12	0,37	0,25	67	1,2	0,324	0,313
5	5,50	4,95	8,08	3,18	4,84	0,25	67	1,4	0,657	0,630	-3,4
6	7,70	6,65	12,32	1,70	4,24	0,32	77	2,2	0,401	0,384	-4,1
7	10,00	8,29	17,02	1,64	4,70	0,35	80	2,6	0,349	0,352	-4,5
8	13,50	10,03	22,15	1,74	5,13	0,40	80	3,0	0,339	0,346	0,9
9	1,10	0,55	0,68	0,55	0,68	0,15	45	0,2	0,809	0,816	0,9
10	2,15	0,93	1,48	0,38	0,80	0,52	30	0,8	0,475	0,478	0,7
11	3,00	1,31	2,42	0,38	0,94	0,45	52	1,0	0,404	0,403	-0,3
12	11,5	4,00	1,76	3,53	0,45	1,11	0,58	46	1,2	0,405	0,414
13	7,50	4,44	7,93	2,68	4,40	0,40	58	1,5	0,609	0,629	2,2
14	10,00	5,58	11,31	1,14	3,38	0,48	77	1,8	0,337	0,347	3,3
15	14,00	8,18	17,17	2,60	5,86	0,42	74	2,1	0,444	0,436	3,0
16	16,50	9,77	21,07	1,59	3,90	0,58	67	2,6	0,408	0,390	-1,8

Tabelul 6.1 - continuare

	1	2	3	4	5	6	7	8	9	10	11	12		
17	1,50	0,66	0,74	0,66	0,74	0,15	45	0,2	0,892	0,906	1,7			
18	2,75	1,04	1,62	0,38	0,88	0,35	45	0,8	0,432	0,419	-3,0			
19	4,00	1,32	2,36	0,28	0,74	0,43	42	1,0	0,378	0,363	-4,0			
20	6,00	1,92	3,80	0,60	1,44	0,32	52	1,2	0,417	0,401	-3,8			
21	11,00	4,27	8,31	2,35	4,51	0,25	65	1,4	0,521	0,535	2,7			
22	16,00	5,80	12,31	1,53	4,00	0,30	72	1,8	0,382	0,383	0,3			
23	21,00	7,66	17,26	1,86	4,95	0,38	75	2,1	0,376	0,365	-2,9			
24	23,50	9,01	21,51	1,35	4,25	0,25	78	2,6	0,310	0,303	-2,3			
25		1,75	0,50	0,65	0,50	0,15	45	0,2	0,769	0,760	-1,2			
26		5,25	1,45	2,48	0,95	1,83	0,25	52	0,8	0,519	0,507	-2,3		
27		7,82	2,07	4,01	0,62	1,53	0,35	53	1,0	0,405	0,404	-0,2		
28		20	15,00	4,33	8,58	2,26	4,57	0,40	64	1,4	0,494	0,500	1,2	
29			21,50	6,43	13,52	2,10	4,94	0,45	67	1,8	0,425	0,426	0,2	
30			25,50	7,63	17,75	1,20	4,23	0,40	79	2,2	0,284	0,282	-0,7	
31			30,50	8,73	21,79	1,10	4,04	0,35	79	2,6	0,272	0,262	-3,4	

6.3.3. Concordanța dintre teorie și experiment privind mecanismul uzării electrozilor de transfer la prelucrarea prin eroziune electrică cu copierea formei.

Rezultatele experimentale prezentate și interpretate la § 6.3.1 și § 6.3.2, atât pentru electrozi plăci subțiri (fig. 6.3 a ... 6.10 a) cît și pentru electrozi cilindrici (fig. 6.3 b ... 6.10 b) confirmă întrutotul corectitudinea explicației teoretice a mecanismului de uzare a electrodului elaborată la § 5.3.1, § 5.5.4 și sistematizată în concluziile de la pagina 81.

In plus față de acestea, variația vitezelor longitudinale medii locale de uzare  $v_{Elmed}$  (fig. 6.3 a) confirmă experimental corectitudinea explicației teoretice dată de modelul matematic (6.15), (6.16) respectiv (6.18), privind modul de propagare a uzării de la muchii spre suprafețele plane sau de curburi mai mici ale electrozilor plăci subțiri. Din (6.16) rezultă că în zona muchiei rotunjite :

$$\Delta Z_{Em} = \delta_0 \cdot \Delta Z_p \left( 1 + \frac{\Delta Z_p \cdot \cos \varphi_i + \delta}{r_{KLEi}} \right) \quad (6.19)$$

iar în zona plană a electrodului ( $r_{KLEi} = \infty$ ) :

$$\Delta Z_{Ep} = \delta_0 \cdot \Delta Z_p \quad (6.20)$$

Deci, întotdeauna la curburi pozitive, într-o parte și în cealaltă (fig. 6.11) a liniei r de racord între suprafața frontală plană

și suprafața cilindrică a muchiei rotunjite există relația :

$$\Delta Z_{Em} > \Delta Z_{Ep} \quad (6.21)$$

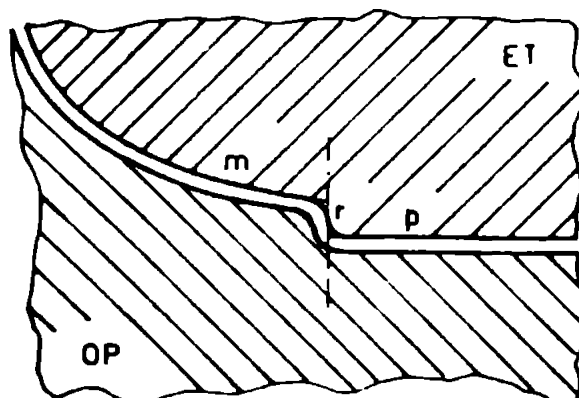
ceea ce indică prezența unei discontinuități generatoare de uzuri mai mari înspre suprafața plană frontală a electrodului, unde curbura este pozitivă și maximă. Această concluzie teoretică este foarte bine confirmată experimental de variația vitezelor  $v_{Elmed}$  la adâncimile de prelucrare

$$L_{Pmax} = 4; 14,5 \text{ mm} \quad (\text{fig. 6.3 a})$$

Fig. 6.11. Principiul propagării uzării de la muchii (m) spre suprafețe plane (p) sau de curburi mai mici ale electrozilor plăci subțiri.

punctele p, în care apare curbura pozitivă maximă).

Tot variația vitezelor locale de uzare  $v_{Elmed}$  (fig. 6.3)



arată clar că în general, în punctele unde apar la un moment dat raze de curbură minime uzarea electrodului ET este mai pronunțată, ceea ce determină o evoluție practic continuuă a suprafetei (profilului) active a ET, deși la aceeași abscisă  $X_E$  variabilele procesului prezintă valori oscilante, ca expresie a modificărilor perioadice a razelor de curbură locale.

Corectitudinea explicației teoretice a mecanismului de uzare a electrodului sintetizată în concluziile de la pagina 81 este confirmată, deasemeni, și de rezultatele experimentale ale cercetărilor privind influența evacuării forțate a deșeurilor în afara interstițiului /115, 186, 314/.

Cercetările menționate demonstrează că, din cauza perturbărilor proceselor de evacuare a deșeurilor sau a proceselor de peliculizare a electrozilor ET, uzare ET este accentuată suplimentar tocmai în zonele unde factorii geometrici (raze mici de curbură etc.) cauzează uzură preponderentă, în conformitate cu modelul matematic (5.91), (5.102).

## 7. Influența uzurii electrodului de transfer asupra caracteristicilor tehnico-economice ale prelucrării prin eroziune electrică cu copierea formei.

### 7.1. Influența uzurii electrodului asupra caracteristicilor tehnologice ale prelucrării.

Caracteristicile tehnologice sunt de fapt variabile de performanță ale proceselor de transformare (vezi fig.2.2 și § 3.1.1) ce definesc cantitativ modificările proprietăților fizico-chimice ale elementelor spațiului de lucru și precizia acestor modificări față de valorile impuse de documentația tehnică.

La prelucrarea prin eroziune electrică cu copierea formei uzura electrodului de transfer ET este o caracteristică tehnologică deosebit de importantă, dată fiind metoda de generare prin copiere a suprafetei piesei. Creșterea uzurii ET are în principal următoarele influențe asupra celorlalte caracteristici tehnologice: reducerea complexității analitice a suprafetei geometrice reale a piesei prelucrate față de cea prescrisă și reducerea preciziei prelucrării dimensionale a suprafetei reale a piesei.

In practica industrială, la proiectarea tehnologiei și la prelucrarea propriu-zisă trebuie cunoscuți factorii (variabilele)

care determină precizia dimensională a prelucrării prin eroziune electrică cu copierea formei. La fel ca la orice al procedeu și proces de prelucrare dimensională, și la prelucrarea electroerozivă determinarea pe cale analitică a erorii totale de prelucrare, funcție de influența tuturor factorilor, prezintă o importanță deosebită.

Eroarea totală de prelucrare în cazul prelucrării prin eroziune electrică cu copierea formei poate fi determinată cu diverse grupări ale variabilelor (după caracterul influenței; după dependența de sistemul de acțiune tehnologică la nivel de operație SATO etc. /77, 292, 315/) :

$$\begin{aligned}\vec{e}_{tot} &= \vec{e}_{sist} + \vec{e}_{int} = \vec{e}_{ind} + \vec{e}_{dep} = \\ &= \vec{e}_{ind} + \vec{e}_{str} + \vec{e}_{pro} /mm/ \quad (7.1)\end{aligned}$$

în care:  $\vec{e}_{sist}$  - erori cauzate de factori cu caracter sistematic;  $\vec{e}_{int}$  - erori cauzate de factori întâmplători;  $\vec{e}_{ind}$  - erori independente de SATO;  $\vec{e}_{dep}$  - erori dependente de SATO;  $\vec{e}_{str}$  - erori dependente de structura SATO;  $\vec{e}_{pro}$  - erori dependente de procesele SATO.

Cele trei mari grupe de erori prezintă o structură și o determinare complexă /164, 213, 314/. Astfel, erorile independente de SATO  $\vec{e}_{ind}$  pot fi teoretice (adoptarea conștientă a unor aproximări la prelucrarea prin copierea formei cu mișcare orbitală a electrodului) sau cauzate de obiectul prelucrării OP (erori geometrice de fabricare a OP, variația locală a caracteristicilor fizico-chimice ale materialului OP, variația adosului de prelucrare); erorile dependente de structura SATO  $\vec{e}_{str}$  pot fi cauzate de erorile geometrice ale mașinii (aparatului) de prelucrare, echipamentelor și dispozitivelor (atât erorile inițiale cât și cele datorate uzuarii de funcționare) sau pot fi purtate de însăși electrodul ET (erori geometrice de fabricare a ET, variația locală a caracteristicilor fizico-chimice ale materialului ET); erorile dependente de procesele din sistemul tehnologic SATO au în principiu componența:

$$\vec{e}_{pro} = \vec{e}_{inst} + \vec{e}_{uzET} + \vec{e}_{\delta} + \vec{e}_{def} + \vec{e}_{vibr} \quad (7.2)$$

în care:  $\vec{e}_{inst}$  - erorile de instalare ale OP și ET (de așezare și rezemare, de fixare, de reglare a poziției între ET-OP și a opriitorilor pentru adincința de prelucrare);  $\vec{e}_{uzET}$  - erorile macrogeometrice cauzate de uzura electrodului ET;  $\vec{e}_{\delta}$  - erorile cauzate de neuniformitatea grosimii  $\delta$  a interstițiului;  $\vec{e}_{def}$  - erorile cauzate de deformările ET și OP în decursul prelucrării (termice și,

foarte rar, elastice);  $\vec{e}_{vibr}$  - erorile cauzate de vibrații (îndeosebi de vibrațiile transversale ale ET).

Literatura de specialitate menționată anterior a studiat satisfăcător erorile componente ale erorii totale, cu excepția erorilor macrogeometrice cauzate de uzura electrodului. Această situație este explicată de rămînerea în urmă a modelării matematice a uzării electrodului ET. De aceea cercetările de la capituloarele 5 și 6 au fost orientate spre apropierea de determinarea analitică a erorilor macrogeometrice cauzate de uzarea ET la prelucrarea prin eroziune electrică cu copierea formei.

Așa cum rezultă implicit din cercetările efectuate la § 5.3.2, § 5.5.4 și cum au demonstrat cercetările experimentale efectuate de Kamciuk /166/, uzura locală  $h_{En}$  a electrodului și prelevarea locală  $h_{Pn}$  a obiectului prelucrării (considerate pe direcția normalei la suprafețele în interacțiune) în cazul intersecției lui cvasiparalel sunt proporționale cu densitatea locală de curent  $j$ :

$$h_{En} = c_E \cdot j \cdot \Delta t \quad (7.3)$$

$$h_{Pn} = c_P \cdot j \cdot \Delta t \quad (7.4)$$

în care:  $c_E$ ,  $c_P$  - coeficienți de proporționalitate.

Conform figurii 5.7, avansul pe direcția normalei la suprafețele considerate este :

$$h_n = h_{En} + h_{Pn} = (c_E + c_P) \cdot j \cdot \Delta t \quad (7.5)$$

Din (7.4), (7.5) și (5.95) rezultă :

$$h_{Pn} = \frac{c_P \cdot h_n}{(c_E + c_P)} = \frac{h_n}{1 + \lambda_n} \quad (7.6)$$

ceea ce, pe baza (5.100) și (5.101) se mai scrie :

$$\Delta Z_p = \frac{\Delta Z}{1 + \lambda_Z} \quad (7.7)$$

în care  $\Delta Z = \Delta Z_p + \Delta Z_E$  este avansul electrodului în secvență de timp  $\Delta t$ .

Pentru o durată de timp extinsă  $t_g$  se poate defini (relația 5.43 din tabelul 5.5) :

$$\lambda_L = \frac{L_Z}{L_P} \quad (7.8)$$

respectiv se obține pentru cazul interstițiului cvasiparalel :

$$L_P = \frac{L_P + L_E}{1 + \lambda_L} = \frac{a}{1 + \lambda_L} \quad (7.9)$$

Decarece  $\Delta Z_P = \Delta Z - \Delta Z_E$  și  $L_P = a - L_E$ , din (7.7) și (7.9) rezultă:

$$\Delta Z_E = \frac{\Delta Z \cdot \lambda_Z}{1 + \lambda_Z} \quad (7.10)$$

$$L_E = \frac{a \cdot \lambda_L}{1 + \lambda_L} \quad (7.11)$$

în care:  $a$  - avansul longitudinal (paralel cu direcția axei OZ) al electrodului în timpul  $t_a$ .

Tinând seama de (5.92) se demonstrează fără dificultate că (7.10) devine (5.99), sau că, înlocuind (6.17) în (7.10) se obține (6.16). De fapt, pentru determinarea analitică directă a erorii  $\vec{e}_{uzET}$ , relația (7.10) este inutilizabilă. Dar, pe direcția de avans OZ, la interstițiu cvasiparalel :

$$\left| \vec{e}_{uzET} \right|_a = L_{Ea} = \frac{a \cdot \lambda_L}{1 + \lambda_L} \quad (7.12)$$

In cazul cînd interstițiul nu este cvasiparalel de la începutul prelucrării (de exemplu în figura 7.1 cînd suprafața inițială activă a obiectului prelucrat OP este plană iar cea a electrodului ET este o formă oarecare), numai unele puncte sau zone ale suprafetei active a ET participă pe întreaga durată  $t_a$  la procesele de prelucrare din spațiul de lucru SL. Pentru celelalte puncte participarea la procesele din SL este de durată  $t_p < t_a$  și corespunzător se poate scrie, în cazul considerat (fig.7.1 b) :

$$a = L_{Pmax} + L_{Emax} = g + L_P + L_{Ep} = g + p \quad (7.13)$$

în care:  $p$  - avansul activ longitudinal local al electrodului în timpul  $t_p$ .

Atunci, relația (7.11) pe direcția de avans devine :

$$\left| \vec{e}_{uzET} \right|_p = L_{Ep} = \frac{p \cdot \lambda_L}{1 + \lambda_L} \quad (7.14)$$

In condiții identice de proces este evident valabil :

$$\left| \vec{e}_{uzET} \right|_p < \left| \vec{e}_{uzET} \right|_a \quad (7.15)$$

In cazul general, indiferent dacă interstițiuul este sau nu cvasiparalel, uzura relativă liniară locală  $\lambda_L$  este o funcție de mai multe variabile decât funcția (5.101) :

$$\lambda_L = f(\delta_0, L_p, x_E, r_{K1Ei}, r_{K2Ei}, r_{K1Pi}, r_{K2Pi}, \varphi_i, \delta, v_{LL}) \quad (7.16)$$

în care semnificațiile variabilelor sunt aceleași cu cele din subcapitolul 5.4, în afară de:  $r_{KPi}$  – razele de curbură locale inițiale ale OP, în planul de avans (indice 1) și într-un plan perpendicular pe planul de avans (indicele 2);  $v_{LL}$  – viteza locală de curgere a lichidului de lucru în interstițiu ET-OP.

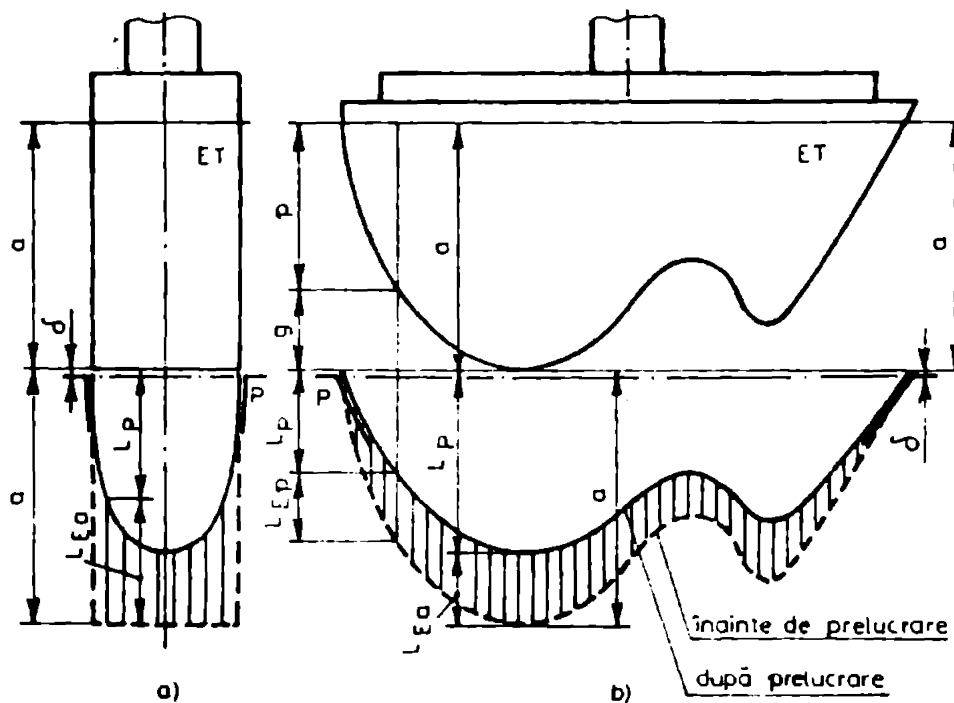


Fig.7.1. Erorile macrogeometrice cauzate la piesa P de către uzarea electrodului ET: a) interstițiu cvasiparalel de la începutul prelucrării; b) interstițiu neparalel la începutul prelucrării.

Considerind valorile  $\lambda_L = 0,0001...1$ , din (7.12) și (7.14) rezultă respectiv :

$$L_{Ea} = (0,000099...0,5) \cdot a \quad (7.17)$$

$$L_{Ep} = (0,000099...0,5) \cdot p \quad (7.18)$$

In tabelul 7.1 se reprezintă grafic relația (7.17) sau (7.18).

Deci, eroarea macrogeometrică  $\vec{e}_{uzET}$  cauzată la piesa prelucrată de către uzarea electrodului ET este cu atât mai mare cu cât este mai mare uzura relativă liniară locală și adâncimea locală a cavitatei prelucrate prin eroziune electrică cu copierea formei. Așa cum s-a arătat în capitolul 5, complexitatea deosebită a procesului de generare a suprafeței la prelucrarea electroerozivă cu

**Tabelul 7.1.**  
**Dependențe erorilor macrogeometrice uzet de uzura relativă linieră locală  $\lambda_L$**   
**a electrodului și de avansul activ a sesu p.**

$\lambda_L$	0,02	0,05	0,1	0,2	0,3	0,4	0,5	0,6	0,7	0,8	0,9	1,0
$\alpha, p$												
1	0,048	0,091	0,167	0,231	0,286	0,333	0,375	0,412	0,444	0,474	0,500	
2	0,040	0,096	0,182	0,334	0,462	0,572	0,666	0,750	0,824	0,888	0,984	1,000
3	0,060	0,144	0,273	0,501	0,693	0,858	0,999	1,125	1,236	1,332	1,422	1,500
4	0,080	0,192	0,364	0,668	0,924	1,144	1,332	1,500	1,648	1,776	1,896	2,000
5	0,120	0,288	0,546	1,002	1,386	1,716	1,998	2,250	2,472	2,664	2,844	3,000
6	0,160	0,384	0,728	1,356	1,848	2,288	2,664	3,000	3,296	3,552	3,792	4,000
7	0,200	0,480	0,910	1,670	2,004	2,772	3,432	4,04	4,720	5,440	6,740	7,000
8	0,240	0,576	1,092	1,274	1,338	2,334	3,234	4,04	4,720	5,250	6,216	6,636
9	0,280	0,672	1,274	1,456	2,042	2,672	3,432	4,04	4,720	5,250	6,216	6,636
10	0,320	0,768	1,456	1,638	2,006	2,672	3,432	4,04	4,720	5,250	6,216	6,636
11	0,360	0,864	1,638	1,820	2,340	3,006	3,760	4,158	4,832	5,592	7,104	8,000
12	0,400	0,960	1,960	2,002	2,672	3,432	4,04	4,720	5,250	6,216	6,636	7,000
13	0,440	1,056	1,152	2,184	2,566	3,424	4,008	4,620	5,292	6,200	7,122	8,000
14	0,480	1,152	1,248	2,548	2,548	3,424	4,008	4,620	5,292	6,200	7,122	8,000
15	0,520	1,248	1,344	2,548	2,548	3,424	4,008	4,620	5,292	6,200	7,122	8,000
16	0,560	1,344	1,440	2,730	2,912	3,536	3,094	6,010	6,930	8,580	9,990	11,250
17	0,600	1,440	2,730	2,912	2,912	3,536	3,094	5,678	7,392	9,122	10,656	12,000
18	0,640	1,632	3,094	3,424	3,424	5,344	5,344	6,734	7,392	9,122	10,656	12,000
19	0,680	1,632	3,094	3,424	3,424	5,344	5,344	6,734	7,392	9,122	10,656	12,000
20	0,720	2,228	3,276	3,276	3,276	5,012	5,012	6,012	6,012	6,012	6,012	6,012
21	0,750	2,324	3,458	3,458	3,458	5,346	5,346	6,346	6,346	6,346	6,346	6,346
22	0,790	2,420	3,640	3,640	3,640	6,016	6,016	6,680	6,680	6,680	6,680	6,680
23	0,830	2,516	3,822	3,822	3,822	6,016	6,016	6,702	6,702	6,702	6,702	6,702
24	0,870	2,612	4,004	4,004	4,004	6,164	6,164	6,868	6,868	6,868	6,868	6,868
25	0,910	2,708	4,186	4,186	4,186	7,682	7,682	10,626	10,626	10,626	10,626	10,626
26	0,950	2,804	4,368	4,368	4,368	8,016	8,016	11,088	11,088	11,088	11,088	11,088
27	0,990	2,920	4,550	4,550	4,550	8,350	8,350	14,300	14,300	14,300	14,300	14,300
28	1,000	2,400	4,000	4,000	4,000	8,750	8,750	16,650	16,650	16,650	16,650	16,650

copierea formei impune ca determinarea analitică a valorilor euzET să se facă pe baza simulării procesului pe calculatorul electronic numeric.

### 7.2. Influența uzurii electrodului asupra caracteristicilor economice ale prelucrării.

Caracteristicile economice ale prelucrării (fig.2.2) se referă la productivitate, cost, eficiență economică. Cresterea uzurii electrodului ET are ca influență reducerea productivității relative volumice  $\psi$  a prelucrării (tabelul 5.3, relația 5.35), a eficienței economice, respectiv mărirea costului prelucrării.

Costul producției unui lot de  $n_E$  electrozi în cadrul secțiilor întreprinderii (secției sculărie) se poate calcula /301,310/ fie pe articole de calculație :

$$C_{nE} = n_E \cdot C_E = n_E \left\{ \sum_{s=1}^n [C_{mE} - C_{desE} + C_{rdE}(1+R_s)]_s + \frac{C_{SDVE}}{n_E} \right\} / \frac{\text{lei}}{\text{lot}} \quad (7.19)$$

fie cu ajutorul taxei-oră-mașină sau valorii medii a orei-secție :

$$C_{nE} = n_E \cdot C_E = n_E \left( \sum_{k=1}^q T_{hkE} \cdot N_{TKE} + C_{mE} + \frac{C_{SDVE}}{n_E} \right) / \frac{\text{lei}}{\text{lot}} \quad (7.20)$$

$$C_{nE} = n_E \cdot C_E = n_E (V_{mhs} \cdot \sum_{k=1}^q N_{TKE} + C_{mE} + \frac{C_{SDVE}}{n_E}) / \frac{\text{lei}}{\text{lot}} \quad (7.21)$$

în care:  $C_E$  (lei/buc) – costul unui electrod;  $C_{mE}$  – costul cu materialele directe necesare fabricării unui electrod;  $C_{desE}$  (lei/buc) – contravaloarea deșeurilor recuperabile;  $C_{rdE}$  (lei/buc) – costul cu retribuția directă în secția  $s$ ;  $R_s$  – regia secției  $s$ ;  $s = 1 \dots n$  – secțiile în care se fabrică electrodul ET;  $C_{SDVE}$  (lei/lot) – costul SDV-urilor speciale eventual necesare fabricării ET (modele, mărițe etc.);  $k = 1 \dots q$  – operațiile de fabricare ale ET;  $T_{hkE}$  (lei/oră) – taxa-oră-mașină pentru operația  $k$ ;  $N_{TKE}$  (oră/buc) – norma de timp pentru operația  $k$ ;  $V_{mhs}$  (lei/oră) – valoarea medie a orei-secție sculărie pentru operații de fabricare.

In general mărimea lotului  $n_E$  este dată de relația :

$$n_E = n_P \cdot n_C \cdot n_{AT} / \frac{\text{buc}}{\text{lot}} \quad (7.22)$$

în care:  $n_P$  (buc/lot) – numărul de piese  $P$  ce se prelucrează într-un lot;  $n_C$  (cav/buc) – numărul de cavitate sau orificii de aceeași tip ce trebuie prelucrate prin eroziune electrică cu copierea

formei la o singură piesă P;  $n_{ET}$  (buc/cav) – numărul de electrozi ET necesari pentru prelucrarea electroerozivă a unei cavități (în cazul prelucrării unui orificiu  $n_{ET} = 1$ , dar se mărește corespunzător lungimea părții active a ET).

Uzura electrodului ET și precizia impusă prelucrării electroerozive determină valoarea mărimii  $n_{ET}$ . În literatura de specialitate /162, 213, 314, 364/ se propun diverse modalități de calcul a mărimii  $n_{ET}$ . În principiu /364/ apar două cazuri de electrozi corijați:

a). Pentru prelucrarea la precizia impusă a unei cavități sunt necesari mai mulți electrozi  $n_{ET}$ , dacă abaterea relativă  $a_p$  determinată de uzura locală a ET este mai mică decât uzura relativă liniară  $\lambda_L$ :

$$a_p = \frac{0,3 \cdot T_{dp}}{L_p} < \lambda_L ; \quad n_{ET} = \frac{\lg a_p}{\lg \frac{1}{1 + \lambda_L}} \geq 1 \quad (7.23)$$

în care:  $T_{dp}$  /mm/ – toleranța dimensională impusă la prelucrarea piesei P, în punctul analizat;  $L_p$  /mm/ – adâncimea cavității în piesa P, în punctul analizat;  $\lambda_L$  – uzura relativă liniară în punctul analizat.

b). Dacă nu există puncte pentru care  $a_p < \lambda_L$  apare situația inversă, cind cu un singur electrod ET se pot prelucra, la precizia impusă, mai multe cavități (piese)  $n_p \cdot n_c$ :

$$a_p > \lambda_L ; \quad n_p \cdot n_c = \frac{\lg(1 - a_p)}{\lg(1 + \lambda_L)} > 1 \quad (7.24)$$

Conform relației (7.22) rezultă în acest caz :

$$n_{ET} = \frac{1}{n_p \cdot n_c} = \frac{\lg(1 + \lambda_L)}{\lg(1 - a_p)} < 1 \quad (7.25)$$

Relațiile (7.23) și (7.24) sunt reprezentate în figura 7.2, putând fi utilizate în practica proiectării tehnologicii prelucrării electroerozive cu copierea formei.

Costul prelucrării prin eroziune electrică a unei piese P se poate calcula pe articole de calculație cu relația de genul (7.19) :

$$C_{pP} = C_{rdP}(1 + R_s) + \frac{C_{nE}}{n_p} \quad / \frac{\text{lei}}{\text{buc}} / \quad (7.26)$$

iar costul prelucrării unei cavități este :

$$C_{pc} = \frac{C_{pdP}}{n_c} = \frac{N_{TP} \cdot T_p (1 + i) (1 + R_s)}{n_c} + \frac{C_{ne}}{n_p \cdot n_c} / \text{lei/cav} \quad (7.27)$$

în care:  $C_{pdP}$  (lei/buc) - costul cu retribuția directă pentru prelucrarea prin eroziune electrică a P;  $N_{TP}$  (ore/buc) - norma de timp pentru operația de prelucrare electroerozivă a P, care în cazul general se poate determina cu produsul  $N_{TP} = n_c \cdot N_{Tc}$ ;  $N_{Tc}$  (ore/cav) - norma de timp pentru prelucrarea prin eroziune electrică a unei cavități P;  $T_p$  (lei/oră) - tariful orar al categoriei de calificare pentru prelucrarea prin eroziune electrică a P;  $i = 0,16$  - coeficient pentru impozitul pe fondul de retribuție;  $R_s$  - regia secției (în general regia secției sculărie).

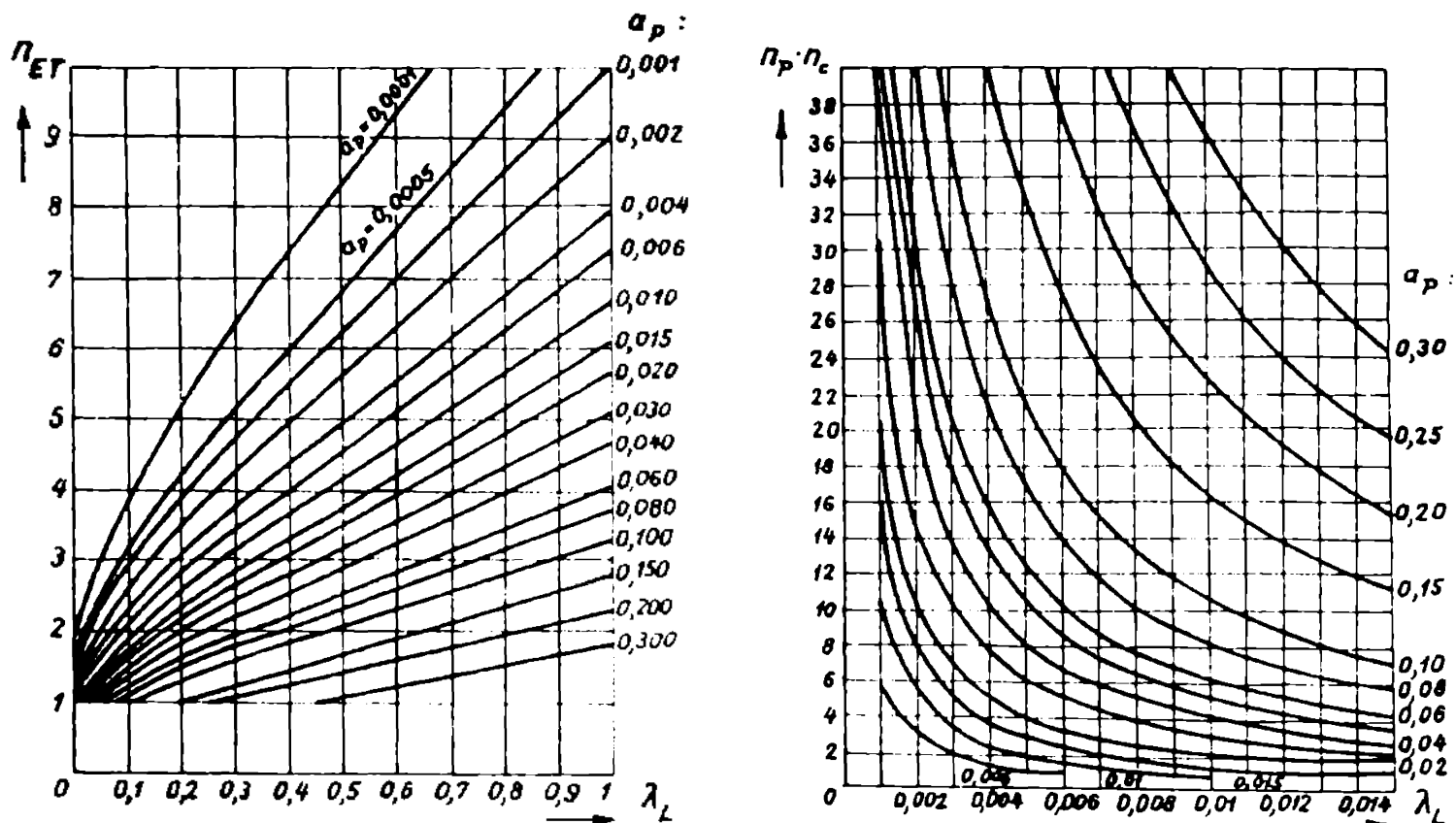


Fig.7.2. Numărul de electrozi  $n_{ET}$  necesari la prelucrarea unei cavități (a) sau numărul de cavități  $n_p \cdot n_c$  ce se pot prelucra cu un electrod (b), funcție de valoarea uzurii relative liniare  $\lambda_L$ .

Tinând seama de (7.21) și de faptul că obisnuit  $T_p = 12$  lei/oră,  $V_{mhs} = 35$  lei/oră,  $R_s = 200\%$ , relația (7.27) devine :

$$\begin{aligned} C_{pc} &= 41,5 \cdot \frac{N_{TF}}{n_c} + n_{ET} (35 \sum_{k=1}^q K_{TKE} + C_{me}) + \frac{C_{SDVE}}{n_p \cdot n_c} = \\ &= C_{pee} + C_{Ec} / \text{lei/cav} / \end{aligned} \quad (7.28)$$

în care:  $C_{pee} = 41,5 \cdot N_{TP} / n_c$  - costul desfășurării procesului de prelucrare electroerozivă cu copierea formei a unei cavitate;  $C_{Ec}$  - costul cu electrozii ET ce revine pentru o cavitate prelucrată electroeroziv.

Relația (7.28) împreună cu relațiile (7.23) și (7.25) sau figura 7.2 arată că ponderea costului cu electrozii  $C_{Ec}$  în costul prelucrării electroerozive a unei cavități este cu atât mai mare cu cît uzura relativă liniară  $\lambda_L$  este mai mare, respectiv cu cît abaterea relativă  $a_p$ , impusă la prelucrarea piesei P, este mai mică. Această pondere crește deasemeni, cu mărirea costului cu materialele pentru electrozi, a duratei fabricării ET și a cotei pentru SDV-uri speciale necesare fabricării ET.

Rezultă evident că reducerea costului cu electrozii  $C_{Ec}$  este posibilă numai prin selecția optimă a materialelor și a procedeelor de fabricare a electrozilor de transfer.

III. STUDII SI CERCETARI PRIVIND FABRICAREA  
ELECTROZIILOR DE TRANSFER PENTRU PRELUCRAREA  
PRIN EROZIUNE ELECTRICA CU COPIEREA FORMEI

8. Studiul procedeelor de fabricare a electrozilor  
de transfer pentru prelucrarea prin eroziune  
electrică cu copierea formei.

In ultimele trei decenii fabricația electrozilor prin prelucrarea prin eroziune electrică cu copierea formei s-a caracterizat printr-o deosebită diversificare a materialelor și procedeelor. Această diversificare a urmărit întotdeauna, în esență, realizarea unei calități totale optime pentru produsul electrod, adică (subcapitolul 4.3), un nivel al performanțelor tehnice de calitate în conformitate cu cerințele fundamentale impuse electrodului, realizate cu costuri minime și eficiență economică maximă.

Dată fiind mulțimea de materiale și procedee existente, fabricarea electrozilor de transfer ridică în prezent două probleme importante :

1) stabilirea domeniului optim de aplicare a materialelor și procedeelor de fabricare a electrozilor, în funcție de diverse criterii ;

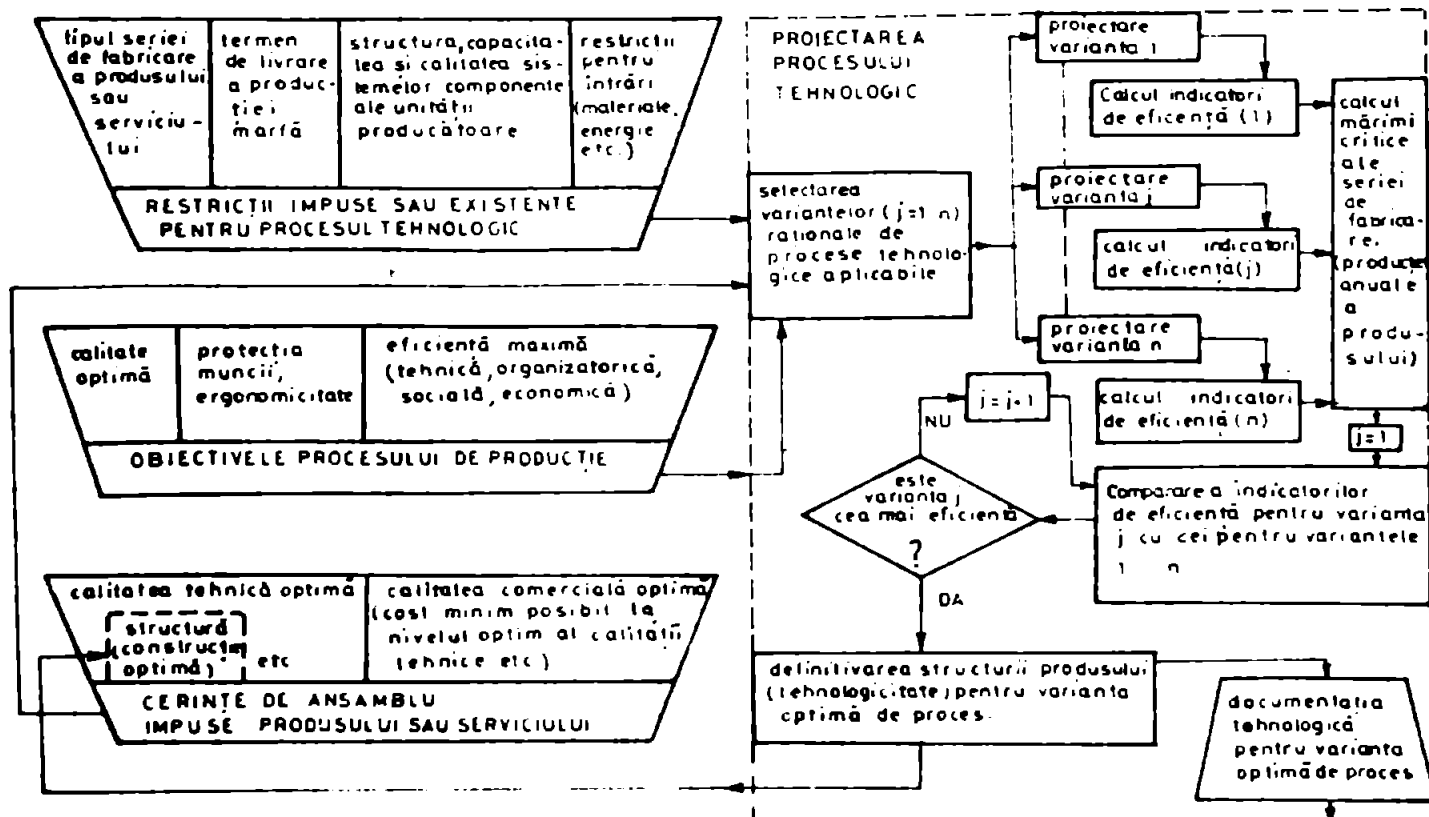
2) identificarea și dezvoltarea acelor procedee de fabricare ce asigură costuri reduse  $C_{Ec}$  cu electrozii necesari prelucrării unei cavități, orificiu etc.

8.1. Domeniile aplicării optime a procedeelor  
de fabricare a electrozilor de transfer.

Domeniul aplicării optime a unui proces tehnologic de fabricare se stabilește obișnuit (fig.8.1) după proiectarea pe variante j a proceselor (succesiunea rațională a operațiilor, alegerea utilajelor și echipamentelor tehnologice, stabilirea regimurilor optime de lucru etc.), calculul unor indicatori de eficiență și, pe baza acestora, calculul mărimii critice a seriei de fabricare.

Indicatorii de bază ai eficienței economice a unei tehnologii sunt determinați /301, 310/ de nivelul investițiilor necesare pentru tehnica nouă și de costurile corespunzătoare tehnologiei respective, putând fi: a) cheltuieli recalculate  $K_{tn}$  pentru tehnica nouă, cînd investiția pentru tehnica nouă prezintă valori sensibil diferite pentru cele două variante de tehnologii comparate ;

b) costul complet comercial  $C_{cc}$  sau costul de secție  $C_s$ , cînd o tehnologie nouă necesită modificări importante ale proceselor, sau cînd se compară procese desfășurate în secții diferite; c) costul tehnologic  $C_t$ , cînd nu sînt necesare modificări importante ale proceselor, sau cînd utilajele necesare pentru tehnologiile comparate există în dotarea secției.



**Fig.8.1. Principiul proiectării și alegerii procesului tehnologic optim**

Corespunzător acestor indicatori diferenți de eficiență se calculează distinct mărimea critică a volumului anual de producție  $Q_{cr,j}$  sau mărimea critică a seriei de fabricație a produsului  $Q_{crsj}$  (tabelul 8.1).

In cazul mai multor procese tehnologice comparative  $j = 1, 2, \dots, n$  se pot calcula stîrtea mărimi critice  $\xi_{cr}$ , cîte perechi de tehnologii se compară, rezultînd domeniul optim de aplicare a fiecărei tehnologii  $j$ . În comparația a două tehnologii, tehnologia mai eficientă economic este /310/ :

- tehnologia cu costuri fixe  $C_{fix}$  mai mici, la volume de producție  $Q < Q_{cr}$ ;
- tehnologia cu costuri fixe  $C_{fix}$  mai mari la  $Q > Q_{cr}$ .

**Tabelul 8.1.**  
Relatări de calcul pentru mărimile critice a volumului produs  
de tehnologii pentru fabricarea aceluiasi produs

<p><b>Nr. crt.</b> Criteriul de definiție a mărimii critice a volumului produs</p> <p>1. Economii maxime la cheltuielile anuale recalculate <math>\Sigma K_{aj}</math> și eficiența investițiilor suplimentare <math>e_{sj} &gt; e_{na}</math></p> $e_{sj} = \frac{C_{fixao} - C_{fixaj}}{(C_{varuo} - C_{varuj}) + \frac{C_{fixaj}}{C_{varaj}}} \geq e_{na}$	<p>Mărimi critice <math>Q_{cra}</math> a volumului anual de producție sau <math>Q_{ors}</math> a seriei de fabricație a produsului:</p> $Q_{craj} = \frac{(C_{fixaj} - C_{fixao}) + e_{na}(I_{fixj} - I_{fixo})}{(C_{varuo} - C_{varuj}) + e_{na}(I_{varuo} - I_{varuj})}$ $(3.1)$	<p>Domeniu eficient de aplicare a tehnologiilor:</p> <p>-pentru tehnologia j : <math>Q_{anj} &gt; Q_{craj}</math></p> <p>-pentru tehnologia O : <math>Q_{ano} &lt; Q_{craj}</math></p>
<p>2. Egalitatea costurilor complete comerciale <math>C_{cco} = C_{ccj}</math></p> $C_{crj} \cdot C_{varuo} + C_{fixo} = Q_{crj} \cdot C_{varuj} + C_{fixj}$	<p>(E.2) <math>C_{craj} = \frac{C_{fixj} - C_{fixao}}{C_{varuo} - C_{varuj}} / \frac{\text{buc}}{\text{an}}</math></p> $(3.2)$ $C_{crsj} = \frac{C_{fixsj} - C_{fixso}}{C_{varuo} - C_{varuj}} / \frac{\text{buc}}{\text{serie}}$	<p>-pentru tehnologia j : <math>Q_{anj} &gt; Q_{craj}</math></p> <p><math>Q_{bj} &gt; Q_{crsj}</math></p> <p>-pentru tehnologia O :</p> <p><math>Q_{ano} &lt; Q_{craj}</math></p> <p><math>Q_{bo} &lt; Q_{crsj}</math></p>
<p>3. Egalitatea costurilor tehnologice <math>C_{to} = C_{tj}</math></p> $Q_{crj} \cdot C_{tvuo} + C_{tfj} = Q_{crj} \cdot C_{tvuj} + C_{tfj}$	<p>(E.4) <math>Q_{crj} = \frac{C_{tfaj} - C_{tfso}}{C_{tvuo} - C_{tvuj}} / \frac{\text{buc}}{\text{an}}</math></p> $(E.5) Q_{crsj} = \frac{C_{tfaj} - C_{tfso}}{C_{tvuo} - C_{tvuj}} / \frac{\text{buc}}{\text{serie}}$	

Semnificațiile simbolurilor din tabelul 8.1 sint :

- indicii o și j reprezintă varianta de bază, respectiv varianta comparată ( $j = 1, 2, \dots, n$ );
- indicii a și s reprezintă volumul de producție anuală, respectiv al seriei (total);
- indicele u reprezintă costuri unitare, în (lei/buc);
- $e_{sj}$  - coeficientul eficienței anuale a investițiilor suplimentare pentru tehnologia j (tabelul 3.2);
- $e_{na}$  - coeficientul eficienței anuale normative absolute a investiției, specific ramurii industriale în care se aplică tehnologiile respective;
- $C_{varu}$  - cost variabil unitar pe obiect fabricat cu tehnologia respectivă (lei/buc);
- $C_{fix}$  - cost fix total anual sau al seriei, (lei/an), (lei/serie);
- $I_{varu}$  - investiții variabile unitare pe obiect fabricat, (lei/buc)
- $I_{fix}$  - investiții fixe necesare pentru aplicarea tehnologiei respective, (lei) ;
- $Q_{an}$  - volumul anual al producției realizate cu tehnologia respectivă, (buc/an) ;
- $Q_{cr}$  - mărimea critică a volumului producției în unitatea de timp a perioadei de plan considerate, (buc./u.t.p.p.);
- $C_{cc}$  - cost complet comercial pentru volumul de producție realizat cu tehnologia respectivă, (lei/an), (lei/serie);
- $C_t$  - cost tehnologic pentru volumul producției realizat cu tehnologia respectivă, (lei/an), (lei/serie) ;
- $C_{tvu}$  - cost tehnologic variabil, unitar, pentru procesul respectiv, (lei/buc) ;
- $C_{tf}$  - cost tehnologic fix total anual sau al seriei, (lei/an), (lei/serie).

Această metodică "post proiectare detaliată a tehnologiilor comparate" pune în evidență numai ultimul criteriu de decizie ( $K_{tn}$  sau  $C_{cc}$ , sau  $C_t$ ) și nu poate fi utilizată convenabil la determinarea domeniului aplicării optime a procedeelor de fabricare a electrozilor ET, din cauza volumului prea mare de calcule. Se impune (fig.2.2), cel puțin pentru selecția primară a soluțiilor de fabricare a componentei active (1.1) a ET (fig.4.1), luarea unor decizii multicriteriale, atât la alegerea materialului (decizie necesară pentru aprovizionare), cît și la alegerea procedeelor de fabricare (decizie necesară pentru investiții, asigurare forță de muncă, pregătire tehnică a fabricației ET).

In cazul unei întreprinderi specializate pe anumite produse care necesită capacitate de producție importantă pentru prelucrarea electroerozivă, sau în cazul unei secții sculărie producătoare de matrițe și stanțe, apar deci două etape decizionale importante în pregătirea fabricației electrozilor:

1). Alegerea materialului pentru electrozi și stabilirea tipodimensiunilor de semifabricate sau materiale ce trebuie aprovisionate, pe baza criteriilor  $a_p$ ,  $\delta_0$ ,  $n_E$ ,  $A_{tE}$ , în următoarea succesiune:

a) determinarea cu relația (7.23) a abaterii relative minime  $a_{Pmin}$ , care poate fi considerată ca uzura relativă liniară minimă admisibilă :

$$a_{Pmin} = \lambda_{Lmin} = \left| \frac{0,3 T_{dP}}{L_P} \right|_{min} \quad (8.6)$$

b) compararea valorilor  $\lambda_{Lmin}$  cu valorile uzurii relative volumice  $\delta_0$  pentru diverse materiale de electrozi în cazul utilajelor de prelucrare electroerozivă disponibile și alegerea materialului ET, ținând seama de accesibilitatea comercială;

c) determinarea ariilor  $A_{tE}$  maxime și minime ale proiecției suprafeței active a electrodului pe un plan transversal pe direcția de avans, pentru cazul concret al unei fabricații;

d) determinarea pe mărci a tipodimensiunilor de semifabricate și cantităților de materiale necesare pentru electrozi, ținând seama și de mărimea medie a loturilor de electrozi  $n_{Emed}$  (relația 7.22).

2). Alegerea procedeelor de fabricare a componentelor active (1.1) a electrozilor (fig.4.1), pe baza criteriilor  $A_{tE}$ ,  $K_{aE}$ ,  $R_{aE}$ , în următoarea succesiune:

a) alegerea materialului pentru electrod, funcție de mărimea  $A_{tE}$  și de tipodimensiunile de materiale disponibile;

b) alegerea procedeului de fabricare a electrodului funcție de complexitatea analitică  $K_{aE}$  a suprafeței geometrice active a ET (fig.5.1), de abaterea medie aritmetică  $R_{aE}$  a profilului microneregularităților (rugozitatea) suprafeței active a ET, de reproductibilitatea suprafeței active și de posibilitatea de recondiționare a electrodului uzat.

Criteriul „rugozitate” necesită o precizare interesantă. Deoarece pînă în prezent (§ 5.3.2) prelucrarea prin eroziune electrică cu copierea formei nu poate realiza la piesă o rugozitate

mai mică decât  $R_{ap} = (0,2...0,4) \mu m$  și un număr mare de procedee de prelucrare a suprafetei active a ET realizează clasa 1 sau 2 de precizie a prelucrării (tabelul 8.2), este inutilă realizarea la ET a unei rugozități  $R_{ae} = (0,01...0,2) \mu m$  prin lustruire, ro-dare, superfinisare. Tinând seama de acesta și de faptul că funcțional electrodul trebuie realizat cu dimensiuni liniare și unghiulare în clasa 2 de precizie (IT 6), în majoritatea cazurilor se poate recomanda /85/ corelația (8.7), reprezentată în figura 8.2, dintre rugozitatea suprafetei active și toleranța dimensională liniară de prelucrare a suprafetei ET :

$$R_{ae} = 0,1 \cdot T_{de}^{0,8} \geq 0,4 \mu m \quad (8.7)$$

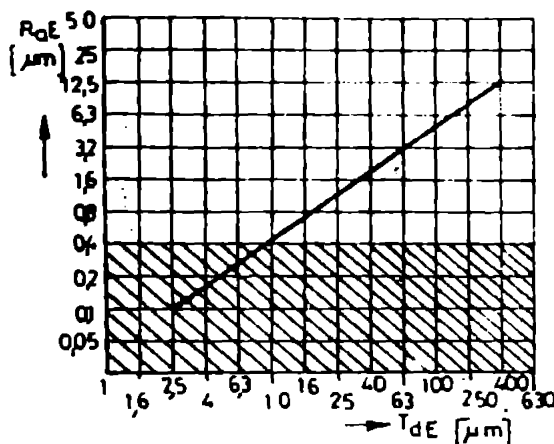


Fig.8.2.Relatărea rugozitate-toleranță la fabricarea suprafetei active a electrodului.

Pe baza datelor din literatură de specialitate /16, 32, 34, 54, 68, 83, 85, 92, 167, 176, 192, 201, 208, 227, 237, 356, 359, 373, 381, 422, 439, 454, 455, 456, 458/ și a studiilor efectuate în cadrul acestei lucrări, în tabelul 8.2 se

sintetizează cu exprimare cantitativă și calitativă nivelul principalelor performanțe ce pot fi realizate cu procedele cunoscute de fabricare a componentei active (1) a electrodului (fig.4.1) pentru prelucrarea prin eroziune electrică cu copierea formei, respectiv uzarea relativă  $\delta_0$  în cazul utilizării generatoarelor de impulsuri comandate actuale.

Pe baza criteriilor prezentate în tabelul 8.2 și a etapelor decizionale indicate anterior, se pot stabili următoarele materiale și domenii optime de aplicare a procedeelor de fabricare a electrozilor :

I. Pentru secțiile sculărie dotate cu 1...2 mașini electroerozive cu copierea formei: ca material cupru electrolitic Cu 99,95 k, Cu 99,95 (STAS 270/1-74), grafit EKL-E6 produs de Elektrokohle Lichtenberg RDG sau grafit EEPG de proveniență URSS; ca procedee așchiere și eroziune chimică;

II. Pentru secțiile sculărie și întreprinderile specializate dotate cu mai mult de 3 mașini electroerozive cu copierea formei: ca materiale Cu 99,95 k, Cu 99,95 (STAS 270/1-74), grafit EKL-E6 sau EEPG, pseudosilaj  $Tb$  și  $Zr$  - 25% Cu, posibil de livrat de Sinterom Cluj; ca procedee, așchiere, eroziune chimică, galvanoplastie.

Tabelul 8.2.

Performanțe ale procedeeelor de prelucrare a componentei active a electrodului

Nr. crt.	Me-to-dă	Procedeu tehnologic	Denumire obiect de transfer, metodă de generare a sur- prefeței	Performanțe realizabile de proceee tehnologice				
				K <sub>pt.</sub>	A <sub>TE</sub> sau m <sub>E</sub>	T <sub>DE</sub> /mm/ seu clasa de preci- zie	R <sub>AE</sub> pt. su- prafata ac- tivă a ET /μm/	le process Vpkmed (cm/s)
1	forme	2	pereți groși	4	... 10000 kg	c1.5...8	6...100	8
2	temporare	1	pereți subțiri	... 300 kg	c1.4...7	6...25	4..10-5...	9
3	formă	cochilie	mare	... 7 kg	c1.4...7	1,6...25	mare	mare
4	durabile	matrăță	mare	... 20 kg	c1.3...6	0,4...12,5	... 1..10-2	mijl.
5	trăgere	filieră	mijl.	... 5 cm <sup>2</sup>	0,05...0,1	0,2...6	2..10-1...2	mijl.
6	extrudare	matrăță	mijl.	... 300 cm <sup>2</sup>	0,2...0,5	0,2...50	1...2..10-1	mică
7	forjare	liberă, prof.	mic	... 100 kg	0,1...2,5	6...100	5...2..10 <sup>2</sup>	mare
8		în matrăță	mare	... 200 kg	c1.6...8	0,8...50	9...1..10 <sup>4</sup>	mijl.
9	anbutis.	matrăță	mijl.	... 3000 cm <sup>2</sup>	c1.5...7	0,8...12,5	40...1..10 <sup>4</sup>	mică
10.	AGR. PULBERI	matrăță	mijl.	... 200 cm <sup>2</sup>	c1.3...4	0,8...6	f.mică	
11.	TĂIERE T. A.	ștanță	mijl.	... 1000 cm <sup>2</sup>	c1.4...7	1,6...12,5	1..10 <sup>3</sup> ..1..10 <sup>4</sup>	mică
12	strunjire	rotatie, filet copiere	mijl.	... 5000 cm <sup>2</sup>	c1.1...5	0,2...12,5	1..10 <sup>2</sup> ..8..10 <sup>2</sup>	mică
13			mare	... 3000 cm <sup>2</sup>	c1.2...5	0,2...12,5	1..10 <sup>2</sup> ..5..10 <sup>2</sup>	mică
14	robotare	rectilinie	mic	... 100000 cm <sup>2</sup>	c1.3...5	1,6...12,5	5...2..10 <sup>2</sup>	mică
15	AGCHIEBER	profilată	mijl.	... 500 cm <sup>2</sup>	c1.2...4	0,4...12,5	5...5..10 <sup>1</sup>	mică

Tabloul 8.2. - continuare

0	1	2	3	4	5	6	7	8	9
16	burghiere, largire	mic.	... 100 cm <sup>2</sup>	cl.3...7	0,8...25	10...5.10 <sup>2</sup>			mică
17	frezare	cilindr.front.	... 3000 cm <sup>2</sup>	cl.3...7	0,8...6,2	6.10 <sup>2</sup> ...			mică
18	rulare	... 1000 cm <sup>2</sup>	cl.2...5	0,8...3					mică
19	copiere	... 10000 cm <sup>2</sup>	cl.4...5	3...25		...2.10 <sup>2</sup>			mică
20	abraziuine	cilindr, plană rectif. profil	... 10000 cm <sup>2</sup>	cl.2...3	0,1...3,2	2.10 <sup>3</sup> ...			mică
21		mare	... 500 cm <sup>2</sup>	cl.1...3	0,1...3,2				mică
22		copiere orbit.	... 3000 cm <sup>2</sup>	cl.3...6	0,8...25	...5.10 <sup>3</sup>			f.mică
23	EROZIUNE CHIM.	mare	... 50000 cm <sup>2</sup>	cl.7...9					
24	electroch. model	f.mare	... 50000 cm <sup>2</sup>	cl.1...3	0,1...6	10 <sup>-7</sup> ..10 <sup>-5</sup>			f.mică
25	metaliiz.	flacără	mare	... 500 cm <sup>2</sup>	cl.5...8	3.10 <sup>-4</sup> ...			mare
26		arc electric	mare	... 500 cm <sup>2</sup>	cl.5...8	6...100			mare
27		plasmă	mare	... 500 cm <sup>2</sup>	cl.4...7	6...100	...4.10		mijl.

III. În general sunt eficiente în cazuri particulare și următoarele:

a). Pentru prelucrarea oțelului: ca material cupru sintetizat;

b). Pentru operații de degroșare și în general precizii mici de prelucrare: ca materiale oțel carbon, alamă Am 63 (STAS 95-67); ca procedeu metalizare, turnare, forjare;

c). Pentru operații de prelucrare a orificiilor - proce-  
dese de tragere sau extrudare;

d). Pentru cazul disponibilității comerciale bune a gra-  
fitului, ca procedeu - abraziunea orbitală, la fabricație în se-  
rie mijlocie și mare.

Dacă în secțiile de sculărie și în întreprinderile specia-  
lizate în fabricația matrițelor se aplică procedeele menționate  
anterior, se poate desfășura a treia etapă decizională, de selec-  
tie a procesului tehnologic optim de fabricare a electrozilor,  
pentru fiecare caz concret, după criteriul cost cu electrozii  $C_{Ec}$   
(relație 7.28) sau după criteriul cost al prelucrării (tabelul  
8.1).

#### 8.2. Posibilități de creștere a productivității prelucrării suprafetei active a electrozilor de transfer.

Reducerea costurilor cu electrozii necesari prelucrării electroerozive a unei cavități  $C_{Ec}$  depinde în mare măsură (rela-  
ția 7.28) de creșterea productivității fabricării ET și în mod de-  
osebit de creșterea productivității prelucrării componentei active  
(1) a electrodului (fig.4.1), caracterizată în general de maximul  
gradului de dificultate  $K_{pmax}$  a prelucrării dimensionale (fig.3.1).

Productivitatea fabricării componentei active (1) a ET  
se exprimă diferit, funcție de nivelul sistemului considerat:  
a) sistem tehnologic SATO; b) spațiu de lucru SL al acestuia; c)  
spațiul de lucru elementar SLE al SL. În mod corespunzător, căile  
creșterii productivității fabricării componentei (1) sunt specifi-  
ce: a) soluții tehnico-organizatorice la nivelul pregătirii fabri-  
cației și al organizării locului de muncă; b) îmbunătățiri ale me-  
todelor de generare a suprafetei reale (1); c) creșteri ale vite-  
zelor de desfășurare a proceselor fizico-chimice în spațiul de  
lucru.

Productivitatea operației de prelucrare a suprafetei  
reale active j a electrodului ET pentru cazul unui procedeu k dat,

poate fi exprimată în principiu prin norma de producție  $N_{Pkj}$  realizată de SATO considerat :

$$N_{Pkj} = \frac{1}{N_{Tkj}} = \frac{1}{t_{bk} + t_{ak} + \frac{T_{pik}}{n_E} + T_{slk} + T_{irk}} = \frac{1}{t_{bk} + T_{rk}} / \frac{\text{buc}}{\text{oră}} \quad (8.8)$$

în care:  $t_{bk}$  (ore/buc) - timp de bază necesar pentru desfășurarea propriu-zisă a generării suprafeței reale active j a electrodului;  $t_{ak}$  (ore/buc) - timp ajutător;  $T_{pik}$  /ore/ - timp de pregătire-încheiere;  $n_E$  /buc/ - mărimea lotului de electrozi ET;  $T_{slk}$  (ore/buc) - timpul de servire a locului de muncă;  $T_{irk}$  (ore/buc) - timpul de întreruperi elementare.

Productivitatea generării suprafeței reale active j a electrodului ET pentru cazul unui procedeu k dat poate fi exprimată, analog, la nivelul SL, prin relația :

$$N_{Gkj} = \frac{1}{t_{bk}} = \frac{Q_{Pk}}{V_{Pkj}} = \frac{A_{Pk} \cdot v_{Pkmed}}{A_{Pj} \cdot H_{Pjmed}} / \frac{\text{buc}}{\text{oră}} \quad (8.9)$$

în care:  $Q_{Pk}$  ( $\text{cm}^3/\text{oră}$ ) - productivitatea procesului operației k (solidificare-răcire; deformare plastică; presare-agregare de pulberi; aşchiere; eroziune; depunere etc.) pentru o anumită metodă de generare a suprafeței;  $V_{Pkj}$  ( $\text{cm}^3/\text{buc}$ ) - volumul de material din electrodul ET ce trebuie supus operației k, pentru a se realizeze prelucrarea suprafeței reale active j a ET;  $A_{Pk}$  / $\text{cm}^2$ / - aria suprafeței active a obiectului de transfer OT pentru o anumită metodă de generare a suprafeței electrodului, prin care se transferă informație și energie în spațiul de lucru al prelucrării;  $A_{Pj}$  / $\text{cm}^2$ / - aria suprafeței active j a electrodului ce trebuie generată;  $H_{Pjmed}$  ( $\text{cm}/\text{buc}$ ) - înălțimea medie a volumului de material din obiectul susținut operației k de generare a suprafeței active j a electrodului;  $v_{Pkmed}$  ( $\text{cm}/\text{oră}$ ) - viteza medie a desfășurării procesului operației k.

Funcție de metoda de generare a suprafeței, transferul de energie și informație de la OT în spațiul de lucru se face prin suprafețe active de diferite mărimi:

a) la generarea suprafeței cu copierea formei componentei active a obiectului de transfer (turnare în forme statice, matriceare, depunere electrochimică, depunere prin metalizare, eroziune chimică etc.) aria suprafeței active a OT are valoare maximă :

$$h_{Pk} = A_{Pj} / \text{cm}^2 \quad (8.10)$$

b) la generarea suprafeței prin integrarea urmări

(strunjire sau rabotare cu cuțit neprofilat etc.) sau tangență dublă (frezare prin copiere etc.) aria suprafeței active a OT are valoarea :

$$A_{Pk} = s \cdot t \cdot 10^{-2} \text{ /cm}^2 \quad (8.11)$$

în care: s (mm/rot) sau (mm/c.d.) – avansul, care mai poate fi considerat la generarea suprafeței ca lungimea proiecției generatoarei materializate de OT pe un plan tangent la suprafața geometrică generată; t /mm/ – adâncimea de aşchiere.

Deoarece  $s \cdot t \cdot 10^{-2} \ll A_{Pj}$ , rezultă că generarea suprafeței cu copierea formei OT este cea mai productivă dacă se realizează valori suficiente de mari ale vitezei  $v_{Pkmed}$ . Această concluzie este confirmată în practică în primul rînd de productivitatea foarte înaltă a generării suprafeței active a electrodului prin abraziune orbitală a grafitului, la care  $v_{Pkmed}$  are valori foarte ridicate /167, 175, 180, 202, 210, 213, 324, 452/.

Valori ridicate ale vitezei  $v_{Pkmed}$  prezintă și procedeul de ambutisare cu viteze mari (ambutisare electrohidraulică) /32, 107, 275/, dar grosimea stratului activ de cupru, precizia prelucrării și complexitatea analitică a suprafeței geometrice realizabile au valori insuficiente.

Procedeul de depunere prin metalizare cu aparatură clasică, la care viteză jetului de fluid purtător este subsonică, nu poate realiza caracteristici fizico-mecanice satisfăcătoare ale stratului activ /54, 359/, având o aplicare restrinsă.

Analizînd valorile vitezelor  $v_{Pkmed}$  date în tabelul 8.2, se constată că îndeosebi procedeele de depunere electrochimică respectiv prin metalizare și procedeul de eroziune chimică necesită în perspectivă creșterea importantă a vitezei  $v_{Pkmed}$  la desfășurarea procesului.

Literatura de specialitate /126, 157, 191, 400, 401, 405, 406/ a confirmat deja faptul că dintre procedeele de fabricare a electrozilor cu strat activ, singurul care realizează performante înalte în ceea ce privește complexitatea analitică și gabaritul suprafeței, precizia prelucrării dimensionale și durabilitatea la eroziune electrică a materialului electrodului, este procedeul de depunere electrochimică (galvanoplastie). Deci, cercetările pentru creșterea productivității sunt oportune în primul rînd în acest caz.

9. Cercetări privind creșterea productivității depunerii electrochimice, cu posibilități de aplicare la fabricarea electrozilor de transfer cu strat activ din cupru.

9.1. Particularități ale sistemelor de acțiune tehnologică pentru operații de prelucrare dimensională prin depunere electrochimică (galvanoplastie).

Prelucrarea dimensională prin depunere electrochimică (galvanoplastie) este o metodă cunoscută de aproape 150 ani (Iakobi 1836), aplicată industrial încă din a doua jumătate a secolului XIX și aflată într-o nouă dezvoltare în ultimele trei decenii /98, 230, 273, 312/. În prezent se fabrică în mod curent prin galvanoplastie piese de formă foarte complicată cu caracteristici fizico-chimice speciale, cu gabarite pînă la  $10 \text{ m}^2$  (în construcția de mătrițe, piese de mașini și aparate cu caracteristici speciale, electrozi de transfer pentru prelucrarea electroerozivă etc.), la precizii de  $\pm 1 \mu\text{m}$ , rugozități pînă la  $R_a = 0,01 \mu\text{m}$  și costuri mai mici cu 50%... 50 de ori față de alte procedee convenționale /33, 132, 147, 150, 204, 233, 277, 280, 357, 368/. Dacă la galvanoplastie clasică, în electroliti clasici și cu activare prin bărbotare sau mișcare lentă a catodului, viteza de depunere este mică  $v_{Pkmed} = 0,007...0,09 \text{ mm/h}$  /126, 147, 149, 191, 230, 347/ în cazul unor electroliti speciali pe bază de sulfamat de nichel, se pot realiza viteze de depunere foarte mari  $v_{Pkmed} = 1 \text{ mm/h}$  /33, 150, 230, 357/.

Așa cum s-a arătat la subcapitolul 3.2 și la § 5.5.2, galvanoplastia este o metodă de prelucrare dimensională fără contact între obiectul de transfer OT (modelul electroconductor sau electroconductibilizat, conectat drept catod și celulei electrolitice) și materialul de ados MA (metal sau aliaj conectat drept anod). Mediul de lucru ML este un electrolit (soluție apoasă a unei sări a metalului MA), iar agent fizico-chimic AFC este electrolitul din cimpul electric generat în interstițiul dintre electrozi de către echipamentul electric de alimentare. Obiectul prelucrat OP este coaja metalică depusă electrochimic pe suprafața activă a OT, generarea suprafeței piesei galvanoplastice fiindu-se prin copierea formei OT. În electrolitul ML se pot introduce, după necesități, materiale de protecție MP pentru a asigura caracteristici structurale necesare la piesă P, respectiv se degajă deșeuri DP în urma desfășurării proceselor în spațiul de lucru SL al sistemului de acțiune tehnologică SATO (fig.2.3).

Procesele fizico-chimice ce se desfășoară în spațiul de lucru SATO prezintă o complexitate deosebită și realizarea unor performanțe înalte ale galvanoplastiei a necesitat perfecționarea remarcabilă atât a celulelor de electroliză (cuvă, electrozi MA și OT, electrolit ML, contacte pentru electrozi etc.) cît și a diverselor echipamente funcționale ale instalației: echipamentul de alimentare cu energie electrică, echipamente de circulație și filtrare a electrolitului, echipamente de termostatare a celulei, echipamente de control a parametrilor procesului (pH, temperatură, concentrații substanțe în electrolit, tensiune, curent etc.), echipamente de comandă, inclusiv pentru schimbarea periodică a polarității de conectare a electrozilor /20, 98, 99, 121, 230, 273, 312, 319, 320/. În prezent se impune efectuarea de cercetări în mod deosebit pentru a înlătura trei importante dezavantaje ale galvanoplastiei clasice /172, 220, 404/ : imposibilitatea copierii canalelor înguste sau cu unghiuri ascuțite, depunerea neuniformă a metalului, durata mare a prelucrării din cauza valorilor mici ale vitezei de depunere  $v_{pkmed}$  a metalului la catod.

#### 9.2. Stadiul actual al prelucrării prin depunere electrochimică a stratului activ al electrozilor de transfer.

Datorită avantajelor tehnice și economice importante, se manifestă în prezent pe plan mondial extinderea aplicării galvanoplastiei clasice a cuprului la fabricarea stratului activ al electrozilor de transfer necesari prelucrării electroerozive, îndeosebi pentru arii transversale ale electrozilor  $A_{th} \geq 0,5 \text{ m}^2$  /120, 136, 137, 147, 149, 191, 207, 293, 347, 348, 351, 365, 400, 401, 405, 406, 447/. O contribuție importantă la această extindere au adus-o și progresele tehnologiei de fabricare a modelelor /73, 144, 145, 330, 273, 280, 399, 412).

Pentru a elimina dezavantajele depunerii electrochimice se desfășoară în general cercetări și s-au obținut rezultate favorabile în asigurarea uniformității depunerii /155, 232, 273, 282, 268/, respectiv s-a studiat activitatea ale depunerii prin viteză de curgere mare ale electrolitului ( $v > 1,25 \text{ m/s}$ ), prin iradieri ultrasonice sau sonice /97, 117, 118, 365, 406, 411, 450, 451/. Cu aceste cercetări de început deficiențele sunt atacate, dar nu au fost încă înlăturate.

In România galvanoplastia nichelului se aplică industrial

la București, Jimbolia etc. pentru fabricarea matrițelor de injecțat mase plastice /230/ iar galvanoplastia cuprului se aplică la Arad pentru fabricarea matrițelor de păpuși și la Brașov /103/ la fabricarea electrozilor pentru prelucrarea prin eroziune electrică. Un colectiv de la I C P T C N București /182/ a studiat și a elaborat tehnologii tip pentru fabricarea electrozilor cu strat activ prin galvanoplastia cuprului. Toate aceste tehnologii sunt neactivate (eventual se utilizează reversarea curentului și barbotarea electrolitului) și datorită vitezelor mici de depunere nu sunt aplicate pe măsura necesităților la fabricarea electrozilor cu strat activ.

Se impune în primul rînd creșterea productivității depunerii electrochimice la fabricarea electrozilor, fără a diminua caracteristicile cuprului depus în condiții de proces neactivat (101, 316, 400, 402, 405/: compoziție Cu  $\geq 99,99\%$ , structură compactă fără pori, termoconductibilitate și electroconductibilitate ridicată ( $\varrho \leq 0,017241 \Omega \cdot \text{mm}^2/\text{m}$ ), rezistență la rupere  $\sigma_r = 115...410 \text{ N/mm}^2$ , alungire la rupere 20...40 %, duritate 70...110 HB.

Dată fiind complexitatea formei suprafeței active a modelului OT pe care se efectuează depunerea electrochimică a cuprului pentru electrozi, activarea sonică și ultrasonică a procesului prezintă, evident, cel mai mare interes pentru cercetările privind creșterea productivității prelucrării.

Activarea ultrasonică a depunerii electrochimice a straturilor subțiri de cupru (grosimi g < 0,3 mm) este cercetată satisfăcător /117, 118, 408/, pe această bază fiind posibilă dezvoltarea studiilor și pentru creșterea vitezei de depunere  $v_{Pkmed}$  la galvanoplastia cuprului. Echipamentul de activare ultrasonică prezintă însă complexitate și costuri ridicate, iar în cazul suprafețelor de formă complicată apare în plus dificultatea activării pe întreaga suprafață activă a modelului OT, ca urmare a directivității liniare pronunțate a oscilațiilor ultrasonice.

Activarea sonică a depunerii electrochimice a cuprului este mai puțin cercetată /97, 118/, deși necesită echipament de activare simplu și relativ ieftin. Este mai ușor de rezolvat activarea sonică pe întreaga suprafață a modelului OT, prin vibrarea zonelor necesare ale spațiului de lucru. În principiu sunt posibile două variante de realizare a activării sonice a depunerii electrochimice :

- a). Vibrarea electrozilor OT (-) și MA (+) în scopul eliminării polarizării de concentrație la catod și a eliminării

pasivării anodului în timpul procesului de electroliză. Fácsko și Rădoi au demonstrat /97/ că o vibrare a catodului cu o frecvență de 50 Hz și o amplitudine de 2 mm permite o mărire a densității de curent catodice la depunerea cuprului pentru refinarea electrolică de la cea maxim admisibilă de (1...2,5) A/dm<sup>2</sup> în cazul catodului staționar, la 100 A/dm<sup>2</sup> (deci de 40...100 ori mai mare), fără a se putea constata o înrăutățire sensibilă a depozitului.

b). Vibrarea agentului fizico-chimic AFC, adică a electrolitului din cîmpul electric generat de către sursa de curent electric în intersticiul dintre electrozi. Această variantă de activare este prea puțin cercetată, iar în literatura disponibilă rezultatele obținute se referă la cazuri cu totul particulare de frecvențe și amplitudini ale vibrațiilor /118/. Față de vibrarea electrozilor care în general au mase mult diferite, vibrarea AFC prezintă avantajul relativei constante a masei de electrolit supus vibrării, la diferite dimensiuni ale electrozilor.

Indiferent de modul activării sonice sau ultrasonice o problemă încă nerezolvată o constituie determinarea parametrilor optimi ai activării în timp cât mai scurt, pentru orice instalație de galvanoplastie și orice caracteristici ale electrozilor MA (+) și OT (-). Rezolvarea teoretică a problemei ridică foarte mari dificultăți, fiind vorba de vibrații în medii multifazice, iar pe cale experimentală clasică (determinarea grosimii stratului depus) durata cercetării este prea mare.

### 9.3. Cercetări experimentale privind creșterea productivității depunerii electrochimice a cuprului cu posibilități de aplicare la fabricația electrozilor de transfer.

#### 9.3.1. Obiective și metodică a cercetărilor experimentale.

Productivitatea depunerii electrochimice se poate exprima în modul cel mai caracteristic prin productivitatea procesului (relație 8.9) :

$$Q_{PK} = A_{PK} \cdot v_{PKmed} \quad / \frac{\text{cm}^3}{\text{oră}} / \quad (9.1)$$

în care:  $A_{PK}$  /cm<sup>2</sup>/ - aria suprafeței active a modelului OT utilizat la galvanoplastie;  $v_{PKmed}$  (cm/oră) - viteza medie a desfășurării procesului depunerii electrochimice. În cazul unor catozi OT cu aceeași aria  $A_{PK}$ , productivitatea depunerii este direct proporțională

cu viteza  $v_{Pkmed}$ .

Cu metodele clasice, care permit determinarea prin cintărire a masei de metal depuse, respectiv măsurarea cu metode destructive sau nedestructive a grosimii și a stratului de metal depus /123, 153, 318/, viteza  $v_{Pkmed}$  se determină indirect și relativ dificil, fiind necesare multe încercări, de durete mari.

In această situație și în spațiul limitat al acestei lucrări se adoptă următoarele obiective ale cercetării experimentale: în domeniul galvanoplastiei cuprului :

1) elaborarea unei metode rapide de determinare a frecvenței optime de vibrare a electrolitului dintre electrozi OT (-) și MA (+), frecvență la care viteza de depunere  $v_{Pkmed}$  este maximă;

2) determinarea frecvenței optime de vibrare a electrolitului (AFC) pentru cazul unei cuve de dimensiuni mici.

De fapt, la determinarea frecvenței optime de vibrare a electrolitului este suficientă determinarea vitezei relative  $\Delta v_{Pkmed}$ , ca diferență dintre viteza de depunere la frecvența studiată și viteza de depunere în cazul electrolitului staționar. Determinarea vitezei se poate face mai ușor indirect, de exemplu prin oscilografierea variației diferenței potențialului de elec-

trod în elementul galvanic cu faze terminale identice:

oțel inoxidabil / electrolit / Cu / oțel inoxidabil  
Diferența de potențial apare o dată cu depunerea electrochimică a cuprului pe catodul din oțel inoxidabil și devine maximă în momentul cînd pe catod s-a format un strat compact de cupru.

### 9.3.2. Echipamente concepute și realizate pentru cercetarea experimentală a depunerii electrochimice a cuprului.

S-a conceput și realizat un echipament universal pentru determinarea frecvenței optime de vibrare a elementelor spațiului de lucru SL, vibrare efectuată în scopul activării procesului de depunere electrochimică a cuprului sau altor metale.

Echipamentul poate fi utilizat la orice instalație de depunere electrochimică și are structura prezentată în figura 9.1. În cuve C este introdus electrolitul ML și se află imersați electrozii MA (+), OT (-), compunind împreună celula de electroliză. Celula de electroliză și echipamentul de alimentare cu energie electrică aparțin instalatiei de depunere electrochimică care se

cercetează. Pentru cuva de dimensiuni mici utilizată echipamentul de alimentare cu energie electrică este compus din variatorul electronic de tensiune OB 108/1, grupul redresor GR tranzistorizat, rezistență reglabilă R1 și aparatelor de măsură ampermtru A1, voltmetru V1.

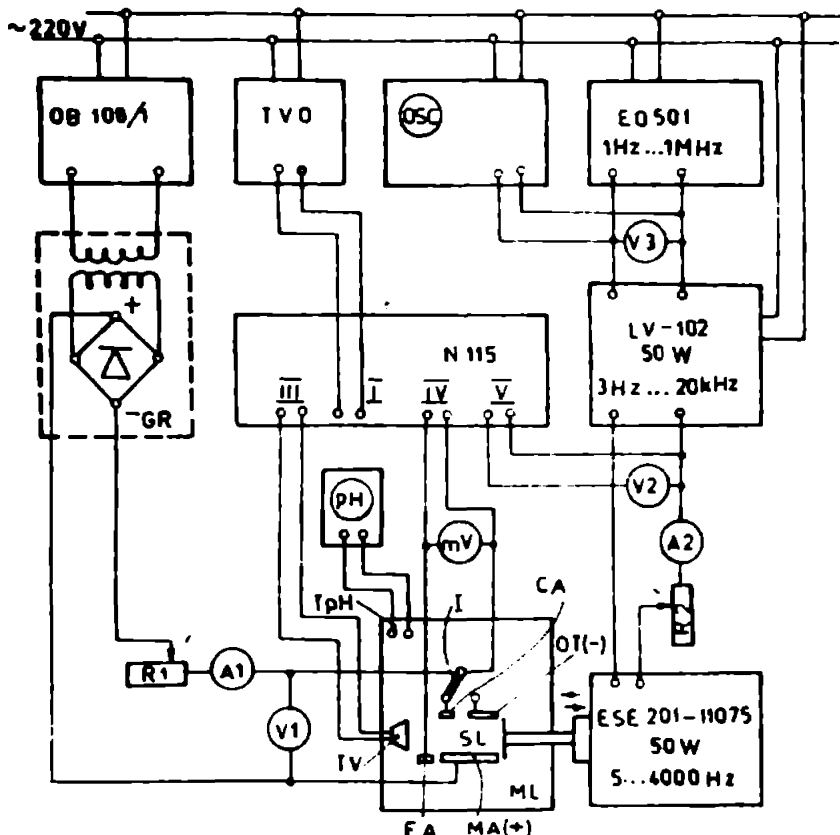


Fig.9.1. Schema de principiu a echipamentului pentru determinarea frecvenței optime de vibrare la activarea sonică a depunerii electrochimice.

toare de putere maximă 40 W, pentru cuve de dimensiuni mari sunt necesare vibratoare de 200 W, 500 W, 1000 W, cu frecvențe și amplitudini reglabile.

Cu ajutorul rezistenței reglabile R2, al aparatelor de măsură voltmetrelor V2, V3 și ampermetrul A2, respectiv a osciloscopului OSC este posibilă reglarea suplimentară și controlul parametricalor echipamentului de activare sonică.

Determinarea influenței activării sonice a proceselor de depunere electrochimică se face cu ajutorul elementului galvanic: electrod auxiliar EA (oțel inoxidabil)/ electrolit ML / metal depus electrochimic / catod auxiliar CA (oțel inoxidabil), conectat la milivoltmetrul mV cu ajutorul comutatorului I. Traductorul de pH permite evidențierea modificărilor pH-ului electrolitului, iar traductorul de vibrații TV permite evidențierea vibrațiilor ce se transmit în spațiul de lucru SL.

Echipamentul de activare sonică este compus din generatorul de joasă frecvență E 0501 /461/, amplificatorul LV-102 /462/ și vibratorul electromagnetic ESE 201-11075 /459/ sau electrodinamic VED 1 /142, 143/. Cu vibratorul se realizează vibrarea unor elemente ale spațiului de lucru SL: fie electrozii MA (+) și OT (-), fie electrolitul aflat în intersticiul dintre electrozi ca în schema prezentată în figura 9.1. Pentru cuve de dimensiuni mici și mijloaci se utilizează vibra-

Deoarece aparatul disponibilă de măsurare a vibrațiilor nu conținea traductoare de vibrații în lichide, a fost necesară realizarea unui traductor de vibrații TV original, dintr-un difuzor electromagnetic, o piesă de contact din material plastic și o peliculă de cauciuc pentru impermeabilizare. În primă instanță, funcția acestui traductor este evidențierea frecvenței, a compunerii vibrațiilor în lichid și a maximului amplitudinilor pe direcțiile utile activării proceselor din spațiul de lucru.

La înregistrarea vibrațiilor momentane ale tensiunilor și curentilor de la apărate sau traductori se utilizează oscilograful multicanal N 115 /463/ cu galvanometre tip M 1015 /464/, având banda de lucru pe frecvențele 0...9000 Hz. Pentru baza de timp se utilizează un generator de semnal sinusoidal TVO.

O vedere de ansamblu a echipamentului de cercetare experimentală este prezentată în figura 9.2. pH GR

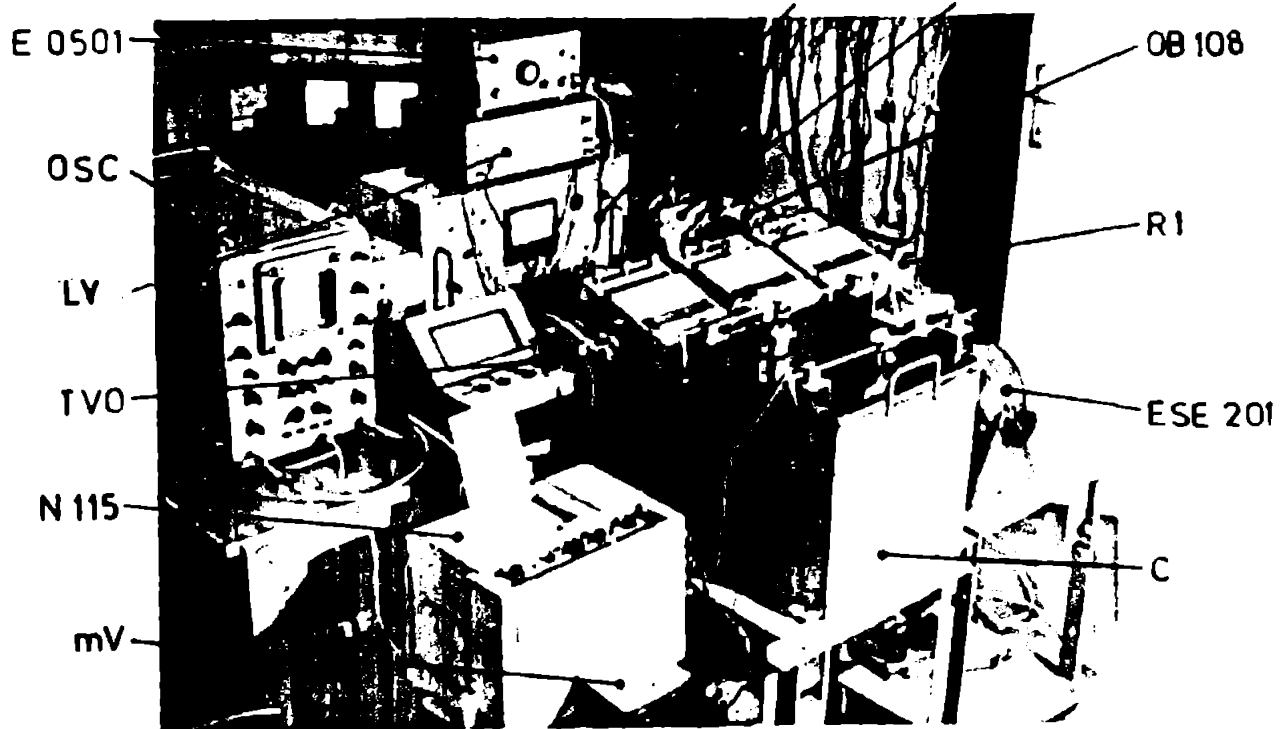


Fig.9.2. Echipamentul pentru determinarea frecvenței optime de vibrare la activarea sonică a depunerii electrochimice a cuprului.

### 9.3.3. Determinarea experimentală a frecvenței optime de activare sonică a depunerii electrochimice a cuprului.

Echipamentul pentru cercetare experimentală descris la § 9.3.2 a fost utilizat la determinarea frecvenței optime de vibrare a agentului fizico-chimic AFC (electrolit în cimpul electric dintre electrozii MA și OT), în cazul depunerii electrochimice a cuprului, la  $U=4V$ ,  $j=20A/dm^2$ ,  $T=25^\circ C$ .

Pe baza recomandărilor literaturii de specialitate /97, 98, 126, 191, 230, 320, 400, 401, 406, 450, 451/ s-au utilizat următoarele componente ale celulei electrolitice (fig.9.1):

- a) cuvă Cl din polistiren antișoc cu dimensiuni interioare  $250 \times 200 \times 100$  mm și grosime a peretilor 4 mm;
- b) mediu de lucru ML electrolit acid, în soluție aprosă cu: 220 g/l  $\text{Cu SO}_4$ , 48 g/l  $\text{H}_2\text{SO}_4$ , 80 mg/l Cl din apă potabilă și 0,6 ml/l adaos Novostar Blasberg, cu funcție de micșorare a dimensiunilor grăuntiilor de cupru electrolitic depus;
- c) material de adaos MA anod de cupru electrolitic pentru catozi Cu 99,95 k, STAS 270/1-74 și STAS 642-71 cu dimensiuni  $100 \times 70 \times 10$  mm;
- d) obiect de transfer OT catod din tablă de oțel inoxidabil 10 NC 180 (STAS 3583-64) cu dimensiuni corespunzătoare cu ale anodului.

O imagine de ansamblu a celulei electrolitice utilizate este redată în figura 9.3.

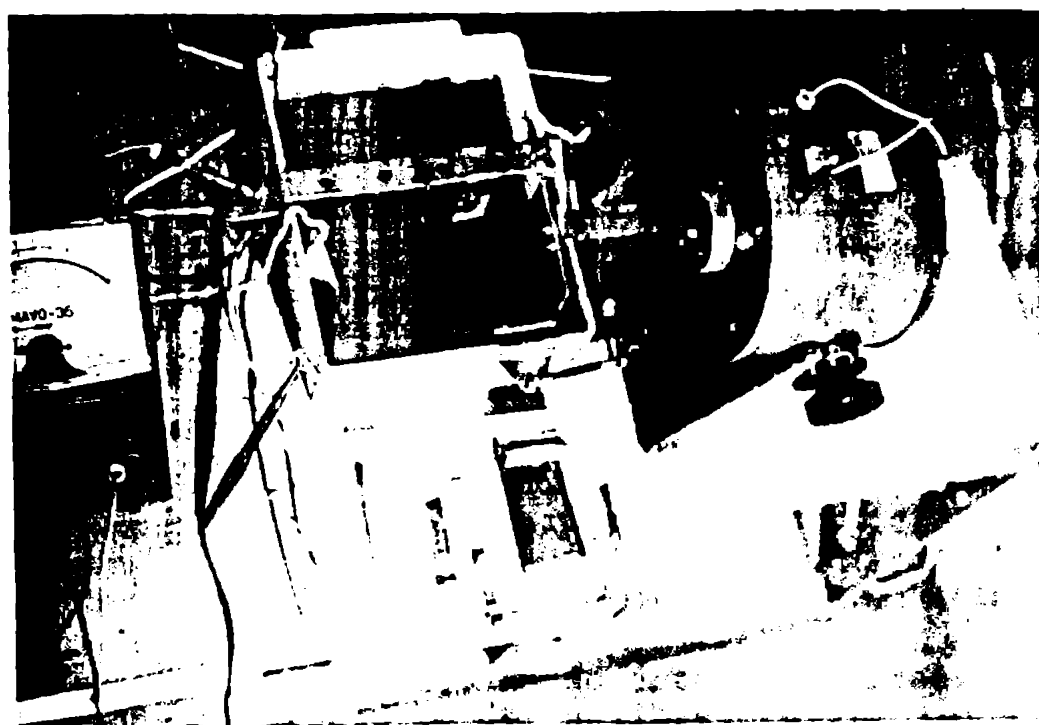


Fig.9.3.Celula electrolitică utilizată pentru determinarea experimentală a frecvenței optime de activare sonică.

Cu ajutorul oscilografului N 115 s-au înregistrat succesiiv două grupe de semnale: 1) semnale pentru caracterizarea procesului de vibrare: (I) de la generatorul de semnal sinusoidal TVO; (II) de la ieșirea din amplificatorul LV-102; (III) de la traductorul de vibrații TVmersat în electrolit; 2) semnale (IV) de la fazele terminale din oțel inoxidabil (electrodul auxiliar EA și catodul auxiliar CA) ale elementului galvanic Ni/ML/Cu/CA.

La toate determinările experimentale s-a menținut constantă puterea la ieșirea din amplificatorul LV-102 (fig.9.1) la nivel de circa 20 W, ceea ce înseamnă că o dată cu creșterea frecvenței, amplitudinea vibrațiilor masei mobile a vibratorului ESE 201-11075 se reduce. Dar, masa mobilă a vibratorului electrodinamic este în contact cu electrolitul aflat în intersticiul dintre electrozi, fapt care modifică caracteristicile vibrațiilor, față de starea neîncărcată.

In conformitate cu caracteristicile dinamice ale vibratorului /143, 459/, în domeniul de frecvențe  $f = 30 \dots 48$  Hz (deplasat cu 10...15 Hz spre valori mai mari față de starea neîncărcată) s-au constatat amplitudini mari ale vibrațiilor lichidului (fig.9.4 III), corespunzătoare depărtării de frecvență de rezonanță  $f = 16$  Hz. Se observă că o dată cu apropierea de  $f = 50$  Hz, amplitudinea vibrațiilor în lichid scade și acestea devin armonice. La unele frecvențe ( $f = 30; 35; 37; 42$  Hz) s-a constatat o vibrare sensibilă a peretilor cuvei C din material plastic, vibrațiile înregistrate fiind nesarmonice.

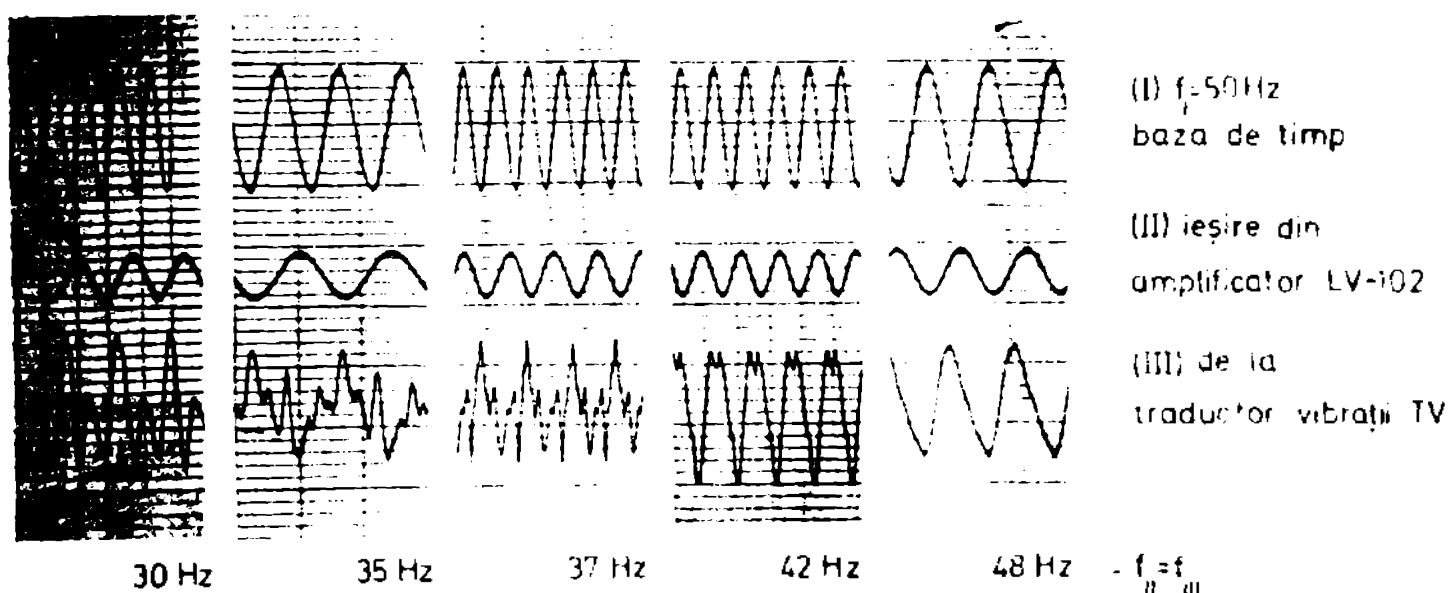
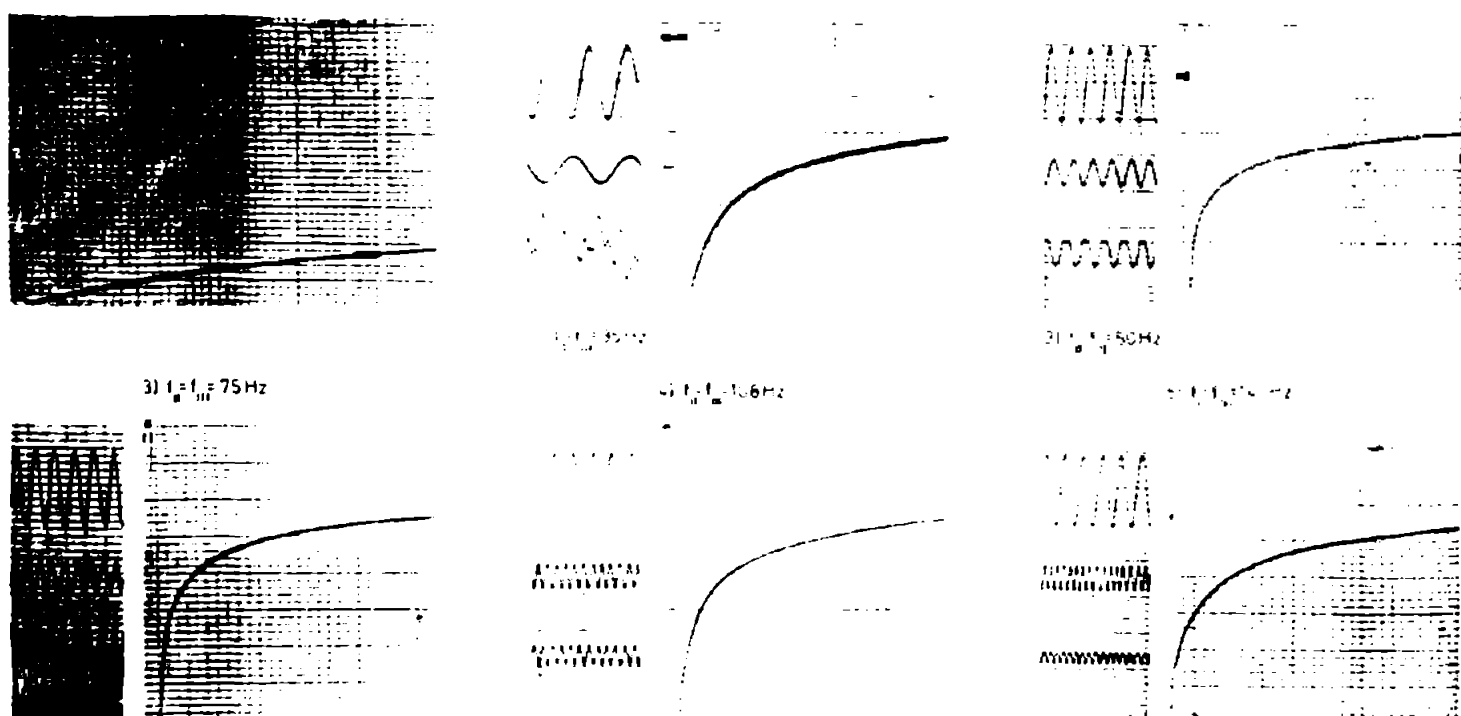


Fig.9.4. Semnale înregistrate la depărtarea de frecvență de rezonanță ( $f_{II} \approx 16$  Hz) a vibratorului.

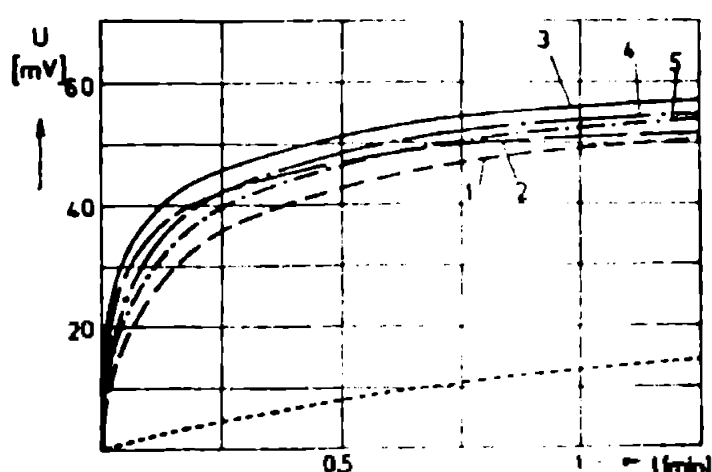
In figura 9.5 se prezintă înregistrările (I)...(IV) pentru cinci frecvențe ( $f_{II} = f_{III} = 35; 50; 75; 108; 140$ ) selectate din cele 20 determinări efectuate, comparativ cu variația tensiunii la elementul galvanic EA/EL/Cu/CA în cazul electrolitului stătiorar. Se observă imediat că la frecvența  $f_{II} = f_{III} = 75$  Hz amplitudinea vibrațiilor în intersticiul MA (+) / OT (-) este maximă, iar viteza de depunere  $v_{pkmed}$  este relativ cea mai mare. Deci, în condițiile celulei electrolitice studiate (fig.9.3) frecvența optimă a activării sonice este  $f_{out} = 75$  Hz.



**Fig.9.5.** Semnale înregistrate la determinarea frecvenței optime de vibrare a electrolitului dintre electrozi.

Dacă se compară curbele IV înregistrate în figura 9.5, rezultă că rață de depunere în electrolit staționar, viteză de depunere  $v_{pkmed}$  crește de 4...5 ori la vibrarea sonică a agențului fizico-chimic, cu frecvență de cca. 75 Hz. Ne poate conta astfel pe

o creștere a productivității depunerii electrochimice a cuprului de cca. puțin 4 ori, confirmată și prin cintărire, ceea ce largeste considerabil domeniul de aplicare eficientă a galvanoplasticii la fabricarea electronilor pentru prelucrarea electroerozită a copierea formei.



**Fig.9.6.** Influența frecvenței de vibrare a electrolitului între electrozi asupra vitezei de depunere electrochimică a cuprului.

#### 9.5.4. Posibilități de aplicare a rezultatelor cercetărilor experimentale și aplicarea electrozilor de transfer pentru realizarea unor echipamente noi

Cunoscându-se viziunea înțelegerii și ale Secției de proiectare și microprocesoră a Institutului Politehnic Timișoara și ale Secției de

politehnic "Traian Vuia" din Timișoara, s-a conceput și realizat cu un colectiv de studenți /69, 376/, un echipament de prelucrare prin galvanoplastie activată sonic a stratului activ din cupru al electrozilor de transfer de dimensiuni mici (aria transversală a electrodului  $A_{tE} \leq 0,1 \text{ m}^2$ ). Așa cum s-a arătat la subcapitolul 9.2, galvanoplastia neactivată se aplică eficient pînă la valori  $A_{tE} \geq 0,5 \text{ m}^2$ , ceea ce impune activarea procesului de depunere electrochimică la arii transversale mai mici ale electrozilor.

Cuva C2 a celulei electrolitice (fig.9.2 și fig.9.7) este realizată din tablă de oțel cu grosime de 5 mm cauciucată în interior și de dimensiuni  $370 \times 370 \times 370$  mm, fiind posibilă activarea sonică sau ultrasonică a galvanoplastiei. Activarea sonică se poate realiza fie prin vibrarea electrozilor, fie prin vibrarea electrolitului dintre electrozi. În acest scop peretele de jos și cel lateral al cuvei C2 (fig.9.7) sunt realizati cu ferestre și diafragme din cauciuc, dispozitivul de legătură DL permitînd transmiterea vibrațiilor de la unul sau două vibratoare electrodinamice ESE 201-11075 sau VED 1, respectiv a unor vibratoare mai mari, de 200 W. Suportul S de construcție sudată permite montarea cu ușurință a diverselor vibratoare electrodinamice, deoarece poziția placilor PR este reglabilă. Electrozii MA (+) și OT (-) se suspendă pe barele anodice și catodice BA respectiv BC, fiind posibilă poziționarea lor cu ușurință în orice punct din plan, datorită unor contacte mobile CM și a unor suporturi rotitoare SR.

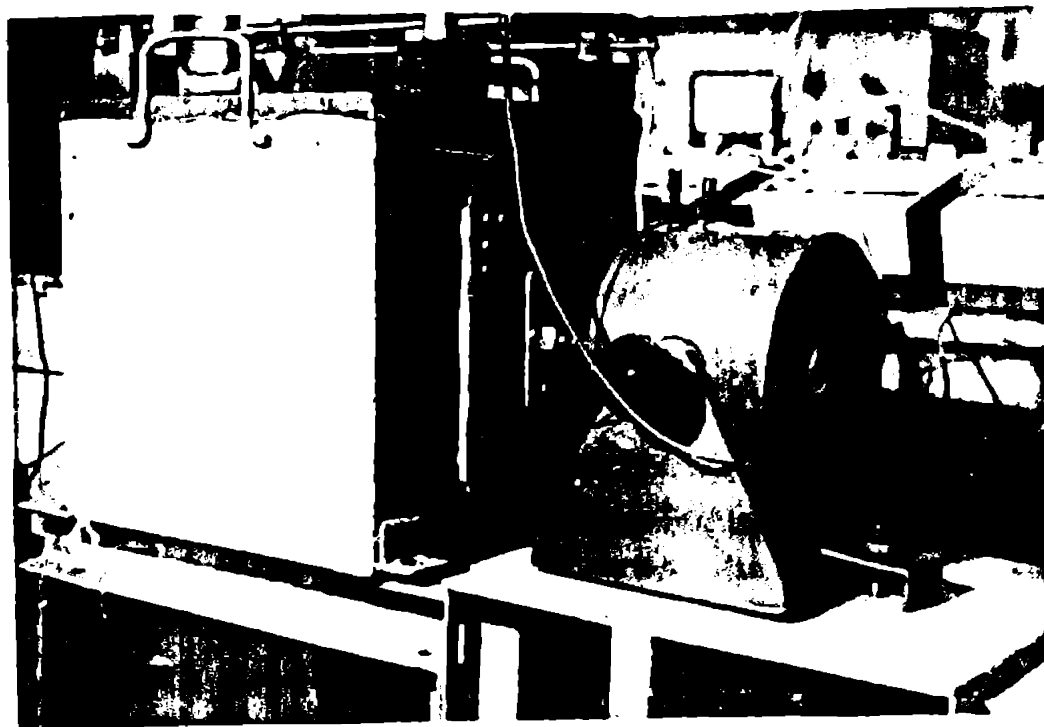


Fig.9.7. Detaliu al echipamentului realizat pentru prelucrare prin galvanoplastie activată sonic.

Așa cum s-a arătat la § 9.3.2 și cum se poate observa în figura 9.2, echipamentul pentru determinarea frecvenței optime de vibrare se atașează fără dificultăți la celula electrolitică și cuva C2, fiind posibilă stabilirea rapidă a frecvenței optime pentru cazuri concrete de gabarite, mase și forme ale electrozilor.

Echipamentul de prelucrare prin galvanoplastie activată sonic este destinat fabricării electrozilor cu strat activ din cupru în cadrul Secției de prototipuri și microproducție a Institutului politehnic "Traian Vuia" din Timișoara.

10. Influența fabricării electrozilor de transfer asupra caracteristicilor tehnico-economice ale prelucrării prin eroziune electrică cu copierea formei.

10.1. Influența fabricării electrozilor asupra caracteristicilor tehnologice ale prelucrării.

Datorită specificului metodei de generare a suprafeței piesei prin copierea formei electrodului de transfer ET, căracteristicile tehnologice ale prelucrării electroerozive sunt influențate direct de caracteristicile tehnologice ale fabricării ET.

Astfel (fig.2.2 și § 3.3.1), complexitatea analitică  $K_{ap}$  și dimensiunile  $D_p$  ale suprafeței piesei prelucrate electroeroziv au practic valori identice cu valorile  $K_{aE}$  și  $D_E$  realizate de procesele de fabricare ale electrozilor ET, iar rugozitatea  $R_{ap}$  este parțial influențată de rugozitatea inițială  $R_{aE}$ , realizată prin fabricare la suprafața activă a ET. Precizia dimensională a fabricării repetate a suprafeței active a ET, caracteristicile de rezistență, rigiditate mecanică și durabilitatea la eroziune electrică a materialului ET, realizate prin fabricare, influențează în mod complex precizia prelucrării dimensionale electroerozive a piesei P.

Așa cum s-a demonstrat în subcapitolul 7.1 (relațiile 7.12 și 7.14), cea mai mare influență asupra preciziei de prelucrare prin eroziune electrică o are durabilitatea electroerozivă  $\Psi_0 = 1/\gamma_0$  a materialului ET, care este principiul factor de influență al uzurii relative liniare  $\lambda_L$  și deci al eroziunii macroscopică  $\vec{e}_{uzET}$ . Literatura de specialitate [39, 106, 108, 112, 176, 187, 206, 208, 327, 359, 372, 422, 433, 445, 446, 453, 454, 456, 465] demonstrează că pentru actualele generatoare de impulsuri ale utilajelor de prelucrare electroerozivă prezintă valori minime

ale uzurii  $\delta_0$ , deci în general ale uzurii relative liniare  $\lambda_L$ , mai multe materiale produse curent pentru electrozi, sub formă de bare, blocuri, plăci, table sau chiar ca electrozi (tabelul 10.1).

Tabelul 10.1.

Materiale pentru electrozi utilizate preferențial

Nr. crt.	Denumire și caracteristici	Pret lei/dm <sup>3</sup>	Aplicare preferențială
1.	Cupru (cu 99,9)	cca. 450	
2.	Cupru electrolitic (Cu 99,95k)	700...750	generală
3.	Cupru electrolitic sinterizat	cca.2000	
4.	Grafit cu granulație mare	cca. 100	
5.	Grafit compact, cu granulație mijlocie	cca. 500	prelucrarea oțelurilor și a aliajelor refractare
6.	Grafit foarte compact, cu granulație fină	cca.1500	prelucrarea aliajelor dure și în general de înaltă precizie sau netezime
7.	Pseudoaliaj WCu (75% W)	cca.12000	

Materialul părții active a ET mai influențează rugozitatea  $R_{ap}$  - pseudoaliajul WCu asigurînd întotdeauna rugozitatea minimă, la orice regim de lucru dat - cît și productivitatea prelucrării  $Q_p$ , care este maximă în cazul utilizării perechilor grafit/oțel sau pseudoaliaj WCu/aliaj dur.

Aceste influențe complexe îngreunează de multe ori alegerea optimă a materialului și procedeul de fabricare a părții active a electrodului. Un factor care limitează deocamdată utilizarea grafitului și a pseudoaliajului WCu îl constituie faptul că încă nu sunt asimilate în producția internă, iar prețurile pe piata internațională cresc rapid de la un an la altul.

#### 10.2. Influența făbricării electrozilor asupra caracteristicilor economice ale prelucrării.

Fabricarea electrozilor determină direct nivelul costului  $C_{pc}$  al prelucrării electroerozive a unei cavitați, eficiența economică a prelucrării, iar în unele cazuri influențează și productivitatea operației de prelucrare prin eroziune electrică cu copierea formei.

Așa cum s-a arătat anterior (subcapitolul 7.2), norma de

temp pentru operația de prelucrare electroerozivă a unei piese P depinde de numărul  $n_c$  de cavități de același tip ce trebuie prelucrate la P și de norma de temp  $N_{Tc}$  pentru prelucrarea prin eroziune electrică a unei cavități a P :

$$N_{TP} = n_c \cdot N_{Tc} / \frac{\text{ore}}{\text{buc}} / \quad (10.1)$$

Dacă abaterea relativă  $\alpha_p$  determinată la P de către uzura locală a electrodului ET este mai mică decit uzura relativă liniară  $\lambda_L$  (relația 7.23), sunt necesari mai mulți electrozi  $n_{ET}$  pentru prelucrarea electroerozivă a unei cavități. În acest caz, variantele de materiale și procedee de fabricare alese pentru ET determină direct valoarea  $n_{ET}$  și în mod indirect norma de temp  $N_{Tc}$ , respectiv productivitatea  $W_{Pc}$  a operației de prelucrare electroerozivă a cavității :

$$W_{Pc} = \frac{1}{N_{Tc}} = \frac{1}{\sum_{t=1}^{n_{ET}} [(t_b + t_a)(1 + k_{si})]_t + \frac{T_{pi}}{n_p \cdot n_c}} / \frac{\text{buc}}{\text{oră}} / \quad (10.2)$$

în care:  $t = 1, \dots, n_{ET}$  – numărul de treceri (electrozi) necesare pentru prelucrarea electroerozivă a unei cavități a P;  $t_b$  (ore/buc) – timpul de bază al trecerii t;  $t_a$  (ore/buc) – timpul ajutător pentru o trecere t;  $k_{si}$  – coeficient pentru timpul de servire tehnică-organizatorică și pentru timpul de întreruperi reglementate;  $T_{pi}$  (ore/lot) – timpul de pregătire-încheiere pentru lotul format de cavitățile în număr  $n_c \cdot n_p$  de realizat în cele  $n_p$  piese. Relațiile (10.2) și (7.23) demonstrează faptul că productivitatea operației de prelucrare electroerozivă a cavității  $W_{Pc}$  crește o dată cu scăderea uzurii relative  $\lambda_L$  și  $\delta_o$ , deci la utilizarea pentru partea activă a ET a unor materiale și procedee de fabricare ce asigură durabilitate electroerozivă înaltă a ET.

Influența fabricării electrozilor asupra costului  $C_{pc}$  al prelucrării electroerozive a unei cavități este pusă în evidență de relația (7.28). Tinând seama de (10.1), relația (7.28) devine:

$$C_{pc} = 41,5 \cdot N_{Tc} + n_{ET} (35 \sum_{k=1}^q N_{TKE} + C_{mE}) + \frac{C_{SDVE}}{n_p \cdot n_c} / \frac{\text{lei}}{\text{cav}} / \quad (10.3)$$

în care costul  $C_{Ec}$  cu electrozii ce revine pentru o cavitate prelucrată electroeroziv este :

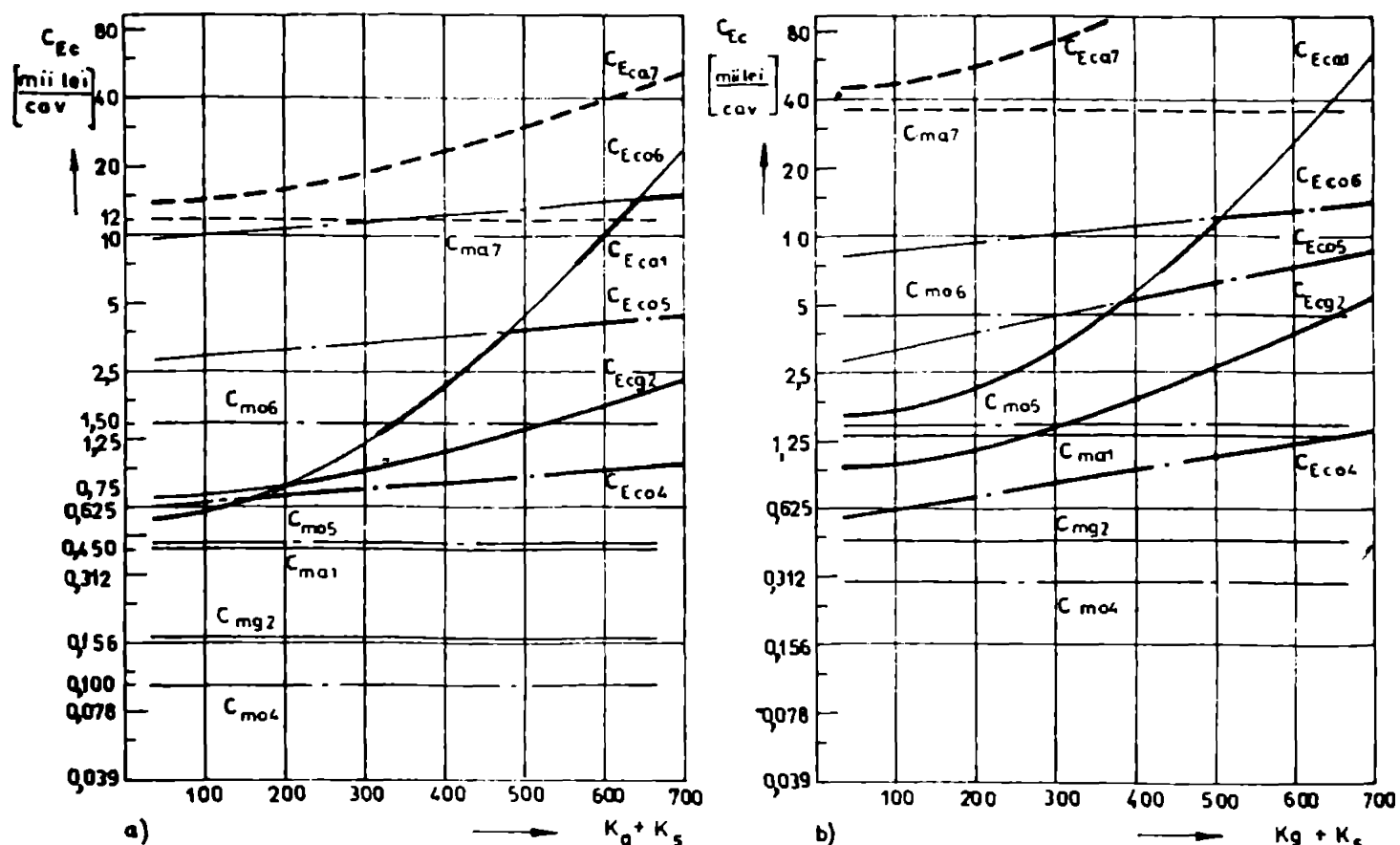
$$\begin{aligned}
 C_{Ec} &= n_{ET} (35 \sum_{k=1}^q N_{TKE} + C_m E) + \frac{C_{SDVE}}{n_p \cdot n_c} = \\
 &= 35 \cdot n_{ET} \sum_{k=1}^q N_{TKE} + n_{ET} \cdot P_{umE} \cdot V_{mE} + \frac{C_{SDVE}}{n_p \cdot n_c} = \\
 &= C_f + C_m + C_s / \frac{\text{lei}}{\text{cav}} /
 \end{aligned} \tag{10.4}$$

notăriile noi semnificând:  $P_{umE}$  (lei/dm<sup>3</sup>) – prețul unității de volum din materialul utilizat pentru ET;  $V_{mE}$ /dm<sup>3</sup> – volumul de material necesar pentru fabricarea unui electrod.

Relațiile (10.2), (10.3), (10.4) și (7.23) arată cu toată claritatea că ponderea costului  $C_{Ec}$  cu electrozii în costul  $C_{pc}$  al prelucrării electroerozive a unei cavități date este determinat de materialul ET (natură, volum  $V_{mE}$ , preț al unității de volum  $P_{umE}$ ) și de procesul de fabricare a ET (durata totală a operațiilor de fabricare  $\sum_{k=1}^q N_{TKE}$  și costul cu SDV-urile speciale pentru electrozii necesari la prelucrarea unei cavități  $C_{SDVE}/n_p n_c$ ). În principiu, nivelul costului  $C_{pc}$  și costului  $C_{Ec}$  este cu atât mai mic cu cât componentele  $N_{Tc}$ ,  $C_f$ ,  $C_m$ ,  $C_s$  ale relațiilor (10.3) și (10.4) au valori mai mici, ceea ce în final este asigurat de un material de înaltă durabilitate electroerozivă a părții active l.l. a ET (fig.4.1), de o durată totală minimă a operațiilor de fabricare a ET și de o cotă minimă cu SDV-urile speciale pentru electrozi.

Durata totală a operațiilor de fabricare a ET și cota cu SDV-urile speciale pentru electrozi sunt însă determinate de gradul de dificultate  $K_g$  a generării suprafeței geometrice active a ET și de coeficientul  $K_s$  pentru caracteristicile tehnologice ale suprafeței reale active a ET (fig.3.1). Dacă se compară cavități în OP de volum constant (de exemplu  $V_{mE} = 1$  dm<sup>3</sup>) pentru  $n_{ET} = 1$  și se reprezintă relația (10.4) pentru materialele preferențiale utilizate pentru ET (tabelul 10.1) și procedeele de bază (așchieere, galvanoplastie, abraziune orbitală) recomandate în subcapitolul 8.1 pentru fabricarea electrozilor, se pot stabili funcție de variabile ( $K_g + K_s$ ) domeniile economice de aplicare a fabricării electrozilor. Figura 10.1 prezintă principial această dependență pentru materialele nr.crt. 1, 2, 4, 5, 6, 7 precizate în tabelul 10.1, la prelucrarea suprafeței active fiind utilizată numai așchieerea (indice a), galvanoplastie (indice g) sau abraziune

orbitală (indice o) /37, 39, 67, 126, 137, 181, 191, 213, 218, 289, 311, 314, 323, 358, 401, 404, 466/.



**Fig.10.1. Dependența costului  $C_{Ec}$  cu electrodul pentru o cavitate dată de dificultatea generării suprafeței și a realizării caracteristicilor suprafeței reale active a electrozilor**  
— Cu ; - - - graphite ; - - WCu  
a) pentru  $n_{ET} = 1$  ; b) pentru  $n_{ET} = 3$

Se observă că în cazul  $n_{ET} = 1$  valorile costului  $C_{Ec}$  sunt mult apropiate la utilizarea materialelor nr. 1, 2, 4 și respectiv a procedeeelor a, g, o. Considerind suplimentar și criteriul „precizia prelucrării suprafeței ET și OP” este superior la  $(K_g + K_s) > 200$  cuprul electrolytic depus galvanoplastice. Dacă  $n_{ET} = 3$ , costul electrodului din grafite cu granulație mare (tabelul 10.1, nr.4) scade foarte mult, iar costurile electrozilor din cupru electrolytic depus electrochimic în strat de cca. 10 mm și al electrozilor din grafite cu granulație mijlocie devin practic egale.

Considerind în relația (10.4) mărimele  $n_{ET}$  și  $C_{SDVE}$  ca parametrii, componentele  $C_f$ ,  $C_m$  și  $C_g$  pot fi determinate aproximativ și comparate cu ajutorul diagramei din figura 10.2, pentru valori uzuale ale variabilelor  $N_{TKE}$ ,  $C_{mE}$  și  $n_p \cdot n_c$ . Diagramele din figurile 7.2 și 10.2 ușurează ridicarea diagramei generale concrete (ce în fig.10.1) și alegerea variantei de fabricare a electrozilor

după criteriul cost minim  $C_{E\text{cmin}}$  ce revine pentru o cavitate prelucrată electroeroziv.

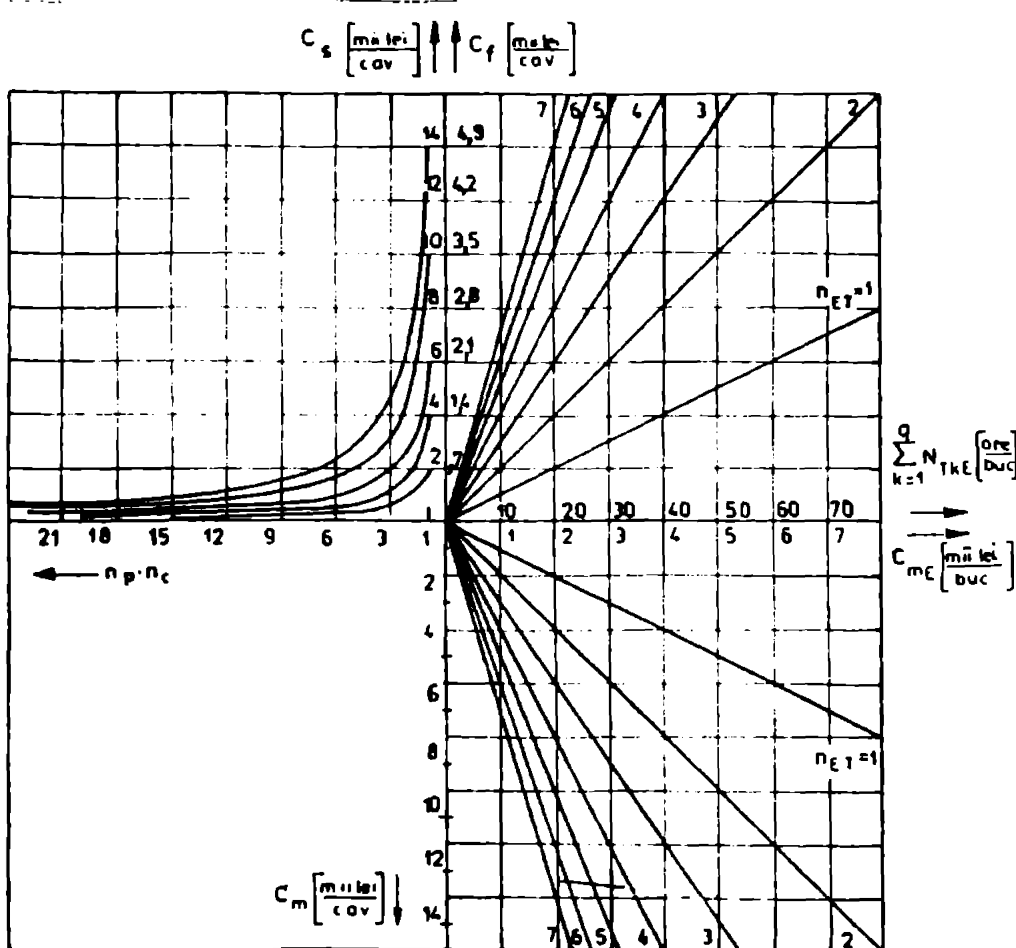


Fig.10.2. Diagramă pentru calculul componentelor costului cu electrozii  $C_{E\text{c}}$ .

Intr-un cadru mai larg, legat de gradul de dificultate a prelucrării dimensionale (fig.3.1), prezintă interes deosebit în primul rînd, verificarea experimentală a sensibilității acestei variabile aggregate  $K_p$ , atât prin compararea unor procese și procedee tehnologice diferite de prelucrare a cavitațiilor active ale unor matrițe (șachiere, electroeroziune) cît și prin studierea influenței fabricării electrozilor asupra costului  $C_{pc}$  al prelucrării electroerozive a unei cavitați.

In figura 10.3 se prezintă dependența  $C_{pc} = f(K_p)$  pentru cazul unor cavitați de dimensiuni mijlocii, de forme diferite ce s-au realizat în semifabricate din oțel aliat de scule /466/. S-au reprezentat valorile variabilelor  $C_{pc}$  și  $K_p$  pentru reperele: matriță desen DSP-7-17114-01 ( $K_p = 61$ ); matriță desen DFU-5-17607-03 ( $K_p = 107$ ); poanson desen DFU-5-176P7-01 ( $K_p = 156$ ) ; matriță desen DSP-7-17114-02 ( $K_p = 197$ ); matriță desen Pl-18085-21 ( $K_p = 255$ ); matriță desen DFU-3-11021-17 ( $K_p = 280$ ) ; poanson desen Pl-18085-21 ( $K_p = 381$ ); matriță desen DFU-3-11021-15 ( $K_p = 606$ ).

Se observă că prelucrarea prin eroziune electrică realizează reducerea costurilor  $C_{pc}$  cu 30...40% la  $K_p > 100$  (curba b față de curba a), ceea ce corespunde întrutotul cu rezultatele cunoscute în literatură /37, 39, 67, 181, 213, 218, 239, 311, 314, 323, 358, 404/. Pe baza concluziilor de la capitolul 9 și a rezultatelor comunicate în literatură /126, 137, 191, 401, 404, 407/ se poate trasa estimativ curba 10.3 c, care reprezintă dependența

$C_{pc} = f(K_p)$  pentru cazul degroșării prin aşchiere a cavitatei, urmată de prelucrare prin eroziune electrică cu electrozi rezervați prin galvanoplastie activată sonnică.

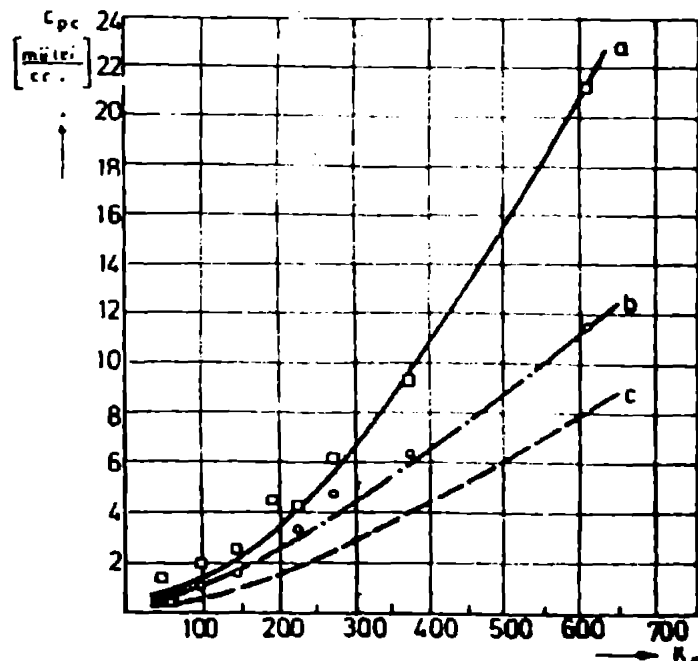
În concluzie, este că procedeul de fabricare prin galvanoplastie a electrozilor și cu strat naticiv din

Fig.10.3. Dependența costului  $C_{pc}$  al prelucrării prin eroziune electrică a unei cavitate de gradul de dificultate a prelucrării dimensionale  $K_p$ .

a) prelucrare prin aşchiere; b) prelucrare de degroșare prin aşchiere și prelucrare electroerozivă cu electrozi fabricați prin aşchiere; c) idem, cu electrozi realizati prin galvanoplastie.

cupru, se poate aplica eficient la grade de dificultate a prelucrării dimensionale  $K_p > 200$  și tehnologicitate corespunzătoare a formei și dimensiunilor suprafeței active a electrodului. Galvanoplastia activată sonică deplasează la valori  $K_p > 100$  domeniul de aplicare eficientă a procedeului.

Realizând economii de circa 30% la consumul de cupru pentru fabricarea unui electrod, galvanoplastia ar aduce unui pentru cazul utilajelor de prelucrare electroerozivă existente în Timișoara o economie anuală de 8.000...10.000 kg cupru, având o valoare de 400...500 mii lei.



#### IV. CONCLUZII GENERALE SI CONTRIBUȚIILE ORIGINALE ALE LUCRARII.

Studiile și cercetările desfășurate în cadrul lucrării de doctorat permit formarea următoarele concluzii generale :

1. Progresul tehnologiei construcției de mașini cu știință, creșterea performanțelor ei în practica industrială, inventarea unor noi metode și procedee tehnologice mai eficiente, impune aprefundarea cu hotărire a abordării sistemică în cercetarea, proiectarea, fabricația, utilizarea sistemelor tehnologice la nivel de operație, caracterizate în prezent de creșterea deosebită a complexității.

2. Prelucrarea dimensională prin eroziune electrică cu copierea formei electrodului are în prezent cea mai mare pondere în aplicarea industrială a tehnologiilor de prelucrare prin eroziune, putând fi considerată deja o metodă clasică, din punctul de vedere al caracteristicilor utilajelor realizate. Se impune intensificarea cercetărilor teoretice și experimentale privind generarea suprafeței la picătă, astfel încit electrozii să pot fi proiectați și fabricați cu asistență calculatorului electronic numeric, cu consecințe deosebit de favorabile în creșterea productivității și a preciziei prelucrării.

3. La fabricarea industrială a electrozilor prin prelucrarea prin eroziune se pot utiliza practic toate metodele și procedeele de prelucrare dimensională și de asamblare existente. În condițiile creșterii actuale a prețurilor materiilor primă, materialelor, energiei se impune însă selectarea fundamentală, riguroasă tehnic și economic a unui număr relativ redus de tehnologii de fabricare, în concordanță cu materialele disponibile pe mercat, asigurîndu-se consumuri specifice minime de materiale și energie, costuri minime cu electrozii pentru o cavitate prelucrată, funcție de gradul de dificultate a generării suprafeței active a electrodului.

Principalele contribuții originale aduse în cadrul lucrării sint următoarele :

A. In domeniul cercetării fundamentale și calculării fundamentale - orientate :

1. Îmbunătățirea definirii noilor concepții ale tehnicii generale :

- definirea corelată a conceptelor de bază ale seriei generale a sistemelor, referitor la sisteme reale și sisteme concrete, cu considerarea unor aspecte substanțial-energetice-informaționale;
- evidențierea programelor de funcționare ca elemente informative de primă importanță în realizarea finalității respectiv obiectivelor sistemelor reale.

2. Dezvoltarea bazelor teoretice ale tehnologiei construcțiilor de mașini și în mod deosebit ale tehnologiei prelucrării dimensionale, prin cercetarea sistemelor de acțiune tehnologică la nivel de operație:

- elucidarea tipurilor de sisteme în tehnologie, a ierarhiei lor și a importanței sistemelor de acțiune tehnologică la nivel de operație (SATO);

- definirea componenței, funcției, obiectivului SATO și identificarea categoriilor de variabile pentru operațiile tehnologice de fabricare în construcția de mașini;

- elaborarea modelului structural și al modelului matematic general al SATO, definirea riguroasă a componentelor acestuia (mașină și aparat de fabricare, echipament de completare, dispozitiv, corp de transfer, mediu de lucru, spațiu de lucru etc.), a legăturilor externe intrări (corpuri supuse lucrării, materiale de adăos, materiale de protecție, energie primară etc.), a legăturilor externe ieșiri (corpuri rezultat al lucrării, deșeuri tehnologice totalizate etc.);

- identificarea și studierea particularităților conexiunilor interne ale SATO (de interacțiune, de transformare, de conducere);

- definirea unor variabile de performanță pentru procesul de generare a suprafeței piesei și elaborarea relațiilor de calcul corespunzătoare; acestea permit determinarea mai riguroasă a gradului de complexitate analitică a suprafeței geometrice a piesei  $K_a$ , respectiv a gradului de dificultate a prelucrării dimensionale  $K_p$  a suprafeței reale a piesei - criterii de importanță deosebită în elaborarea deciziilor optime pentru tehnologia de prelucrare, și în final au fost utilizate concret la stabilirea cunoașterilor optime de aplicare a tehnologiilor de fabricare a electroziilor, dovedind o sensibilitate ridicată;

- analiza structurii spațiului de lucru al SATO din punct de vedere informațional și evidențierea subsistemelor componente ierarhice: spațiu de lucru elementar, spațiu de lucru microscopic;

- analiza determinării funcționale a structurii și lui de lucru și stabilirea, pe această bază, a direcțiilor tehnologice posibile de a înlătura sau deplasa limitele metodelor convenționale (așchiere, separare cu tăiere asociate, deformare plastică etc.); a) activarea proceselor la suprafața obiectului prelucrat; b) creșterea complexității structurale a corpului transfer, care să fie compus dintr-un obiect de transfer și un mecanic și unul sau mai mulți agenți fizico-chimici (corp lichid, corp gazos, undă de soc în fluid, cimp etc.) iar acestia să asigure transmiterea energiei de efect la obiectul prelucrat și la nivel energetic oricăr de înalt; c) transferarea în regim de impuls a energiei de efect în interfața corp de transfer - obiect prelucrat; d) combinarea celor trei direcții menționate;

- analiza metodelor de prelucrare dimensionala fără contact între obiectul de transfer și obiectul prelucrării, definierea riguroasă a metodei de prelucrare dimensionala prin eroziune, elucidarea procesului de generare a suprafeței piesei și a structurii spațiului de lucru elementar tip punct și tip jet;

3. Dezvoltarea teoriei generale a generării suprafaci pentru prelucrarea dimensionala fără contact și elaborarea și model matematic precis al uzării electrodalui în prelucrare prin eroziune electrică cu copierea formei:

- elucidarea principalelor grupe de procese fizice și chimice și a conexiunilor dintre acestea în prelucrarea prin eroziune electrică cu copierea formei electrodului;

- utilizarea unor concepții ale termodinamicii irreversibile pentru generalizarea teoriei generării suprafaci, deschizîndu-se căi utile în cercetarea și dezvoltarea noilor metode și procedee de prelucrare dimensionale;

- elaborarea pe această bază a unui model matematic general al generării suprafeței la obiectul prelucrat și în obiectul de transfer în cazul prelucrării dimensionale fără contact cu copierea formei;

- particularizarea modelului matematic general de la prelucrarea dimensionala prin eroziune electrică și elaborarea mecanismului macrogeometric al uzării electrodalui de transfer; cercetările experimentale efectuate și cele cunoscute din literatura de specialitate au confirmat întrutotulă corectitudinea mecanismului stabilit teoretic pentru prelucrarea cu copierea formei, modelul matematic pentru electrozii plăci fiind verificat experimental cu o precizie de  $\pm 4,5 \%$ .

B. In domeniul cercetării aplicative:

1. Cercetarea sistemului electrod de transfer pentru prelucrarea prin eroziune electrică cu copierea formei sub aspectele funcționale, ale caracterizării și influenței tehnico-economice a uzurii componentei active:

- identificarea funcțiilor electrodului de transfer a componentelor și clasificarea constructiv-funcțională a electrozilor înainte prelucrarea prin eroziune electrică;

- definirea cu rigurozitate a uzurii electrodului, a durabilității și rezistenței la eroziune electrică a unui material electroconductor și precizarea condițiilor normative ale încercării la durabilitate electroerozivă;

- definirea mărimilor pentru caracterizarea macroscopică a uzării și uzurii electrodului la prelucrarea prin eroziune electrică cu copierea formei, între care multe sunt noi;

- studiul preciziei dimensionale la prelucrarea prin eroziune electrică cu copierea formei și stabilirea pe cale teoretică a relațiilor de calcul a erorilor cauzate la piesă de către uzarea electrodului de transfer - problemă esențială a proiectării procesului tehnologic;

- determinarea analitică a influenței uzurii electrodului asupra costului electrozilor și stabilirea căilor de reducere a ponderei costului cu electrozii în costul prelucrării electroerozive a unei cavități; micșorarea uzurii relative liniare locale, selecția optimă a materialelor pentru electrozi.

2. Determinarea domeniului de aplicare optimă tehnico-economică a procedeeelor de fabricare a electrozilor de transfer și stabilirea căilor de creștere a productivității, de reducere a costurilor cu electrozii pentru prelucrarea prin eroziune electrică cu copierea formei:

- studiul comparativ al procedeeelor de fabricare a electrozilor pentru prelucrarea electroerozivă; elaborarea metodicii de alegere optimă a materialului pentru electrozi și a procedeelor optime de fabricare a componentelor active ale electrozilor;

- determinarea, pe această bază, a materialelor și domeniilor optime de aplicare a procedeeelor de fabricare a electrozilor pentru cazul secțiilor sculărie și întreprinderilor menite, în funcție de capacitatea de producție și, ușor la prelucrare electroerozivă;

- determinarea pe cale analitică a rezistenței la prelucrare

creștere a productivității prelucrării suprafeței active a electrozilor de transfer și evidențierea rezervelor încă neutilizate ale galvanoplastiei clasice, neactivate;

- determinarea analitică a influenței fabricării electrozilor asupra productivității și costului prelucrării electroerozive a unei cavități, cu evidențierea căilor de reducere a costurilor: utilizarea unor materiale cu durabilitate electroerozivă ridicată și costuri relativ reduse, durată redusă a fabricării electrodului, cotă minimă cu SDV-urile speciale pentru electrozi.

3. Cercetarea experimentală și determinarea condițiilor optime de activare sonică a depunerii electrolitice a cuprului pentru fabricarea mai productivă prin galvanoplastie a componentei active a electrodului de transfer;

- conceperea și realizarea unui echipament pentru galvanoplastie activată a cuprului, destinat fabricării electrozilor cu aria transversală pînă la  $0,1 \text{ m}^2$ ;

- cercetarea experimentală a activării sonice a depunerii electrochimice a cuprului prin vibrarea electrolitului și a electrozi și elaborarea unei metode noi, ra; iec, de determinare a frecvenței optime de vibrare;

- determinarea experimentală a frecvenței optime de activare sonică a depunerii electrochimice a cuprului în cadrul unei celeule electrolitice de dimensiuni mici ( $20 \times 20 \times 100 \text{ mm}$ ); frecvențe de vibrare a electrolitului de 75 Hz viteză de depunere crește de 4...5 ori față de cazul neactivat, ceea ce îl extinde în lățăbil domeniul de aplicare eficientă a galvanoplastiei în fabricarea electrozilor;

- stabilirea domeniilor optime de aplicare în fabricarea electrozilor de volum  $1 \text{ dm}^3$  a materialelor cupru, grafit, măndăliaj Wolfram-cupru de diferite mărți și prelucrării: polimerizare, galvanoplastie, abraziune orbitală; fabricarea prin galvanoplastie activată a electrozilor din cupru este eficientă, rapidă și economic la orice gabarit al electrozilor, în cazul prelucrării de dificultate a prelucrării dimensionale  $K_p > 100$  și al condițiilor corespunzătoare a suprafeței active a electrozilor, realizându-se economii de cca. 80 % la consumul specific de ...

C. Valorificarea rezultatelor cercetării se face prin aplicarea la întreprinderea Electrotimp din Timișoara, în cadrul unui contract de cercetare /258/, a rezultatelor obținute.

partea II a lucrării, urmând ca instalația pentru galvanizare  
activată să fie pusă în funcțiune în anul 1980 la Secția de proto-  
tipuri și microproducție a Institutului politehnic "Traian Vuia"  
din Timișoara, pentru a satisface nevoile de fabricare a electro-  
zilor necesari în procesul de producție al secției, sau pentru  
alte întreprinderi.

## V. LITERATURA

1. x x x Programul Partidului Comunist Român de răurire a societății sociale multilateral dezvoltate și înaintarea României spre comunism, București, Editura politică, 1975
2. x x x Programul-directivă de cercetare științifică, dezvoltare tehnologică și de introducere a progresului tehnic în perioada 1981-1990 și direcțiile principale pînă în anul 2000, București, Editura politică, 1980
3. x x x Directivele Congresului al XII-lea al Partidului Comunist Român cu privire la dezvoltarea economico-societății României în cincinalul 1981-1990 și orientările de perspectivă pînă în anul 1990, București, Editura politică, 1980
4. Acerkan N.S. și a. : Metallorezizinge stenki, tom, monogr., Izd. Mașinostroienie, 1965
5. Achimescu N., Popa H. : Distribuția vitezelor de uzare a electrodului la prelucrarea prin eroziune electrică cu copierea formei, lucrare comunicată la Conferința Națională de Tehnologia Neconvențională, Timișoara, 1971
6. Achimescu N., Popa H. : Influența factorilor geometrii asupra uzării electrodului la prelucrarea electroerozivă cu copierea formei, în buletinul științific și tehnic al ITR, seria mecanică, tom 17(31), fascicola 2, Timișoara, 1972, p. 21-8
7. Achimescu N., Popa H. : Studiu comportării la eroziune electrică a electrozilor conicați din material compozit Cu95C5, contract de cercetare științifică IFRV Timișoara-CNST București, Timișoara 1973
8. Achimescu N., Popa H. : Studiu generativ rezolvător al prelucrării prin eroziune electrică în condiții de evacuare instantanee a materialului excedentar, sau tipar, în buletinul științific și tehnic al IFRV, serie economică, tom 19(33), fascicola 1, Timișoara, 1980
9. Ackoff R.L., Sasieni M.W. : Bazele cercetării operaționale, București, Editura tehnică, 1970
10. Ackoff R.L. : Towards a System of System Concept., Management Science, vol. 17, nr. 11, 1971, p.601-611
11. Alekseeenko V.F. : Oblasti effektivnosti impul'sovanih metodov prošivki i virezki pri izgotovlenii knyozh, p. 107-111, in Impul'sivne metody obrabotki materialov, zhurn. znanii i tekhnika, 1977, p.160-171
12. Alting L. : A systemic approach in manufacturing technology, în Develop. Prod. Syst. Proc. 2-nu. Conf., Copenhagen, 1973, London, 1974
13. Antonescu J. și a. : Sudarea prin presiune, București, Editura tehnică, 1962
14. Armenskii A.V. și a. : Sovremennii urovni razvitiia elektroerozioraci i elektrohimiceskoi obrabotki materialov za rubejom, în Elektronnoia obrabotka materialov, nr. 2, N. Nizhev, 1971, p.83-83
15. Armenskii A.V. și a. : Osnovnie napravleniya razvitiia elektrocheskikh metodov obrabotki za rubejom, in Elektronnoia obrabotka materialov, nr.4, Nizhev, 1973, p.8-91

16. Arnoldi N.M., Levit M.L. : Nekatorie osobennosti elektroerozionnoi obrabotki ujlerofuzitovim elektrodeym i instrumentami, in Elektrofiziceskie i elektronimicеские методы обработки материалов, nr.1, Moskva, 1974, p.78-88
17. Aronov A.I. : Oprošesah obrazovaniia ujlerodistik vystav pri elektroimpulsnoi obratke instrumentami iz elektirovannovo materiala, in Elektroimpulsnii i elektronicheski sposobi obrabotki metallov, tipusk .11, Moskva, 1982, p.62-91
18. Astahov I.V. ş.a. : Elektroerozionale apsirorovatini-pravivacnie stanki normalinoi tociniti, in Stanki i instrument, nr.9, Moskva, 1977, p.9-12
19. Astrop A.W. : Reduced ESD electrode wear, in Machinery and Production Engineering, nr.329, 1970, p.117
20. Atanasiu I.A., Facsко Gh. : Electrochimie. Principii teoretice Editura tehnicii, Bucureşti, 1958
21. Avram I. : Stadiul actual al aplicării tehnologiilor neconvenționale în construcția de mașini, lucrare comunicată la Conferința națională de tehnologii neconvenționale în prelucrarea metalelor, Timișoara, 1971
22. Avseevici O.I. : Issledovanie erozionnoi stoikosti metallokeramickikh materialov na osnove metalevo poropka s okutanim dobavkami, in Impulsnie metodi obrabotki materialov, Minsk, Izd. Nauka i tekhnika, 1977, p.104-117
23. Avseevici O.I. : issledovanie erozionali stoikosti metallokeramickikh elektrodev i aktivnykh dobavkami, Impulsnie metodi obrabotki materialov, Minsk, Nauka i tekhnika, 1977, p.109-114
24. Bakuto I.A. ş.a. : Sviazi formi elektrodu-instrumenti formoi polosti, obrazuivaycisia pri elektroerozionali obrabotke, in Elektronnaya obrabotka materialov, nr.2, M., 1974, 1974, p.5-6
25. Bakuto I.A. : O vozmojnov vlijanii so vlechenia mejd. elektrodnovo promejutka na prōces elektroerozionali obrabotki, in Elektronnaya obrabotka materialov, ..., 1974, 1974, p.12-15
26. Falaganov G.N. : Modelirovanie i optimizacija v avtomatizirovannix sistemakh upravlenija, Moscow, Atomizdat, 1978
27. Ballays F. ş.a. : Etude de la distribution spatiale des charges en électroérosion, in USSR, nr.1, 1978
28. Ballays F. : Isotropische bearbeitung, in Zeitung ..., 1978, p.59-63
29. Kartagov L.V. : Tekhniko-ekonomicheskie reshetot pri optimizovanije i proizvodstve mašin, Sov. promstroenie, 1973
30. Baron T. : Calitatea și utilitatea produselor, București, Editura didactică și pedagogică, 1971
31. Barz z. : Technologische Grundlagen für die Optimierung des funkenerosiven Senken, in Industrie Anwender, nr.10, 1976, p.105-119
32. Bauer D. : Herstellung von Kupferelektroden für die funken-erodierende Bearbeitung von Werkzeugen aus durch mechanische Endigkeitslechumformung, in Industrie Anwender, nr. 1, 1976, p.100-200

33. Bauer A.E. : Galvanoforschung mit wischl., in Technik, nr.1, 1975, p.23-24
34. Belikewici B., Timashkov V. : spravocische posobie tehnologa mašinostroitelinovo zavoda, Minsk, 12., Belarusi, 1971.
35. Belkin G.S. : Vliianiie teploriznicheskikh svoistv materialov kontaktov na velicinu elektriceskoi erozii, in Elektrichestvo, nr.2, Moskva, 1970, p.56-58
36. Belousov A.P. ş.a. : Avtomatizacija processov v mašinostroenii, Moskva, Vissajaie şkola, 1973
37. Bender F.K. : Funkenerosionstechnik beeinflusst Raumformgestaltung von Werkzeugen, in Werkstatt und Betrieb, nr.1, 1966, p.785-791
38. Bender F.K. : Funkenerodieren von Schmelzengesenken, Zellstrukturitzen, Warmpress- und Druckgussformen, in Werkstatt und Betrieb, nr.12, 1966, p.853-855
39. Bender F.K. : Einfluss der Funkenerosion auf den Formenbau, in Werkstatt und Betrieb, nr. 10, 1970, p.797-799
40. Bender F.K., Pahl D. : Wirtschaftlichkeitsfragen der Funkenerosiven Raumformbearbeitung, in LOMM 3, Wien, 1970
41. Bertalanffy L. : General System Theory. Foundation, Development, Applications, New York, George Braziller, 1966
42. Birlea S. : Initiere in cibernetica sistemelor industriale, Bucureşti, Editura tehnicii, 1975
43. Blauberg I.I. ş.a. : Abordarea sistemică în ştiinţa contemporană, în Metoda cercetării sistemic, Bucureşti, Editura ştiinţifică, 1974, p.3-52
44. Boldur Gh. : Procese informaționale și de decizie, Bucureşti, Editura ştiinţifica, 1969
45. Boldur Gh. : Fundamentarea completă a procesului de calcul economic, Bucureşti, Editura ştiinţifică, 1973
46. Botez E. : Bazele generalișării suprafețelor pozițional-rotative, Bucureşti, Editura tehnicii, 1966
47. Buslenko R.P. ş.a. : Lekcii po teorii pojmov sistem, Minsk, Sovetskoe radio, 1973
48. Buzdugan Gh. ş.a. : Vibratiile sistemelor mecanice, Bucureşti, Editura Academiei RSR, 1975
49. Buzdugan Gh. ş.a. : Măsurarea vibrațiilor, Bucureşti, Editura Academiei RSR, 1975
50. Cartiș I. : Cercetări teoretice și experimentale asupra structurii, proprietăților, fizicii și mecanicii suprafețelor prelucrate prin eroziune electrică, teză de doctorat, IPTV Timișoara, 1975
51. Călin S., Belea C. : Sisteme automate adaptative și optimizare, Bucureşti, Editura tehnica, 1974
52. Călin S., Belea C. : Sisteme adaptante comune, Bucureşti, Editura tehnica, 1975
53. Călinescu V. : Tendințe în prelucrarea metalelor și minere, unele agregate și linii automate, Bucureşti, 1975
54. Cernek I. : Producția electronilor neutrini, neutrino-energia cu scîntei electrice, în cirelucările electronice, revista cibernetiv, nr. 14, Bucureşti, 1967, p. 37-42

55. Chiriță V. ș.a. : Mărițarea la colo a metalelor, București, Editura tehnică, 1968
56. Churchman C.W. : The Systems Approach, New York, Delacorte Publishing Com., Inc., 1968
57. Constantinescu P., Negoiță C.V. : Sistemele informației, modele ale conducerii și sistemelor concuse, București, Editura tehnică, 1975
58. Crawley H.J. : The economics of electrodischarge machining, în ISDM 3, Wien, 1970
59. Crăciunescu V. ș.a. : Organizarea întreprinderilor industriale. Proiectarea întreprinderilor și produselor, vol. I, Timișoara, Tipografia Universității Timișoara, 1974
60. Crișan I., Dobre N. : Automatizarea montajului în construcția de mașini, București, Editura tehnicii, 1979
61. Crișan I. ș.a. : Prognoza industriei construcțiilor de mașini, în Economia mondială: Orizont 2000, București, Editura Academiei RSR, 1980, p.177-227
62. Crookall J.R., Heuvelman C.J. : Electro-discharge machining- the state of the art, în CIRP, nr.2, 1971, p.113-170
63. Crookall J.R., Fereday J.R. : Une détermination expérimentale de la dégradation de la forme de l'électrode-outil dans l'usinage par électro-érosion, în Microtechnic, nr. 1, 1973, p.97-98 și p.197-200
64. Crookall J.R., Moncrieff A.J.R. : A theory and explanation of tool-electrode shape degeneration in electro-discharge machining, în Proc. Instn. Mech. Eng., nr. 196, 1972, p.1-11
65. Crookall J.R. : Electro-discharge machining - the past and the future, în Eng. Des., nr. 3, 1973, p.43-51
66. Crookall J.R. : An Analysis of EDM Application in Industrial Tooling Manufacture, în CIRP, nr. 1, 1973, p.11
67. Crookall J.R. : EDM in practice- its mechanics and economic utilisation, în Eng. Des., nr. 12, 1973, p.55-60
68. Danilevskii V.V. : Tehnologii în mașinărit, Kiev, Vișšaia škola, 1972
69. Decker G. : Tehnologie de fabricare și execuție a unei părți pentru galvanoplastie cu activare ionică, proiect de diplomă condus de ș.c. ing. Popa Maria, Timișoara, Facultatea de mecanică, 1979
70. Degenhardt H., Zolotin L.N. : Tehnologii a formelor în ERO și EEO, Bratislava, 1973
71. Delsalle L. : Les développements de l'électroformage à Galvano-Organo, nr.440, 1974, p.61-100
72. Demianiuk F.S. : Bazile tehnologice ale producției în serie și automatizate, București, Editura tehnica, 1974
73. Dini J.W., Johnson R.H. : Separating Burrs from Workpiece by a Med Parts from Mandrels, în Mater. Fin. Ind. Eng., nr. 1, 1973, p.52-55
74. Dixon R.J. : Design Engineering, inventiveness, problem and decision making, New York, McGraw-Hill Book Company, 1970
75. Domga A. ș.a. : Tehnologie fabricării plăcuțelor din fier și metalice, București, Editura tehnica, 1976

76. Drăgănescu M. : Societatea ca sistem, în stiințe condusorice  
societății, București, Editura științifică, 1971, p.171.
77. Drăghici G. : Tehnologia construcțiilor de mașini, București,  
Editura didactică și pedagogică, 1977.
78. Drecean A. ș.a. : Lichide de lucru pentru prelucrare metalelor  
prin electroeroziune, inventiv. nr. 54073, înregistrată  
1963, București, Editura tehnica, 1972.
79. Drimer D. : Prognoze asupra unor evenimente caracteristice  
privind domeniul prelucrării metalelor, în Buletinul de informare  
tehnică-economică, nr. 1, București, MCM, 1972.
80. Drimer D. : Flexibilitatea în gindire și acțiune pentru suplimentarea  
progresului tehnologic, în Lira socialistă, nr. 12,  
1978, p.41-43.
81. Drimer D., Calea Gh. : Tehnologie mecanică, București, Editura  
didactică și pedagogică, 1978.
82. Drujinin V.V., Kontorov D.S. : Problemi sistemologici, Moskva,  
Sovetskoe radio, 1976.
83. Dubbel H. : Taschenbuch für den Maschinenbau, Berlin-Müller-  
berg-New York, 1974.
84. Duca Z. : Bazele teoretice ale prelucrărilor prin lichide elec-  
trolezi, București, Editura didactică și pedagogică, 1973.
85. Dumitrescu D. : Aspecte ale prelucrării și calității produselor,  
în Standardizare, București, nr. 1, iunie, 1975.
86. Dumitrescu D. ș.a. : Aplicații în prelucrarea calde a metalelor,  
vol.3, București, Editura didactică și pedagogică, 1977.
87. Dumpe V.E. : Povișenile universaliți. Iohirovici, Ljankov,  
în Elektronnaia obrabotka materialev, nr.3, 1975, p.65-70.
88. Dumpe V.E. : Elektroerozionalei obrabotki detaliilor, Ljankov,  
Tehnika, 1975.
89. Elmaghraby E.B. : Proiectarea și calculul de proiecte, București,  
Editura tehnica, 1968.
90. Emerson C. : IBM for micro output. în Micro. Techn. nr. 1, 1968,  
p.62-64.
91. Emery F.E. : System Thinking, London, Addison Wesley  
Ltd, 1969.
92. Enache S. : Calitatea suprafețelor și orificiilor, București,  
Editura tehnica, 1966.
93. Enă H. : Teoria reglării sisteme de decizie, București, Edi-  
tura Academiei RSR, 1970.
94. Engels K. : optimierregelung für das Zündentfernungssystem,  
în VDI-Z, nr.8, 1970, p.65-70.
95. Etin A.O. : Vibr optimalinin učovíků při jízdě  
ceských závodů, în Stanovi i instrumenti, nr.3, 1970.
96. Ersoy M. : Konstruktionskatalog für rechteckige  
Werkstatttechnik, nr.4, 1972, p.1-1.
97. Fačko G., Radoi I. : Procedeu de lucru diferențial  
electroliitice a metalelor, inventiv. nr. 54073, înregistrată  
1963, București, 1972.
98. Fačko G. : Tehnologie electrozilică a metalelor, București,  
Editura tehnica, 1969.

99. Facsko G. : Curs de electrochimie și corozione, Filiera metalurie, Facultatea de tehnologie chimica, 1971.
100. Fedin A. P. : Svarka, naplavka i rezka metalirov, M., Vigeigais škola, 1972.
101. Fedotenok A.A. : Kinematickaja struktura metalirov, Leningrad, stankov, Mašinostroenie, 1970.
102. Fishburn P.C. : Decision and Value Theory, New York, John Wiley, 1964.
103. Florea V. și a. : Procedeu de cince tare a electrozării, pentru mașinile de prelucrat prin electroeroziune, invent. nr. 100 nr. 54946, înregistrata 1971, București, Editura Tehnică, 1972.
104. Florescu I. : Progrese în tehnica în procedeelor de electroeroziune de prelucrare a metalelor, București, 1978.
105. Forrester J.W. : Principles of systems, MIT Press, Cambridge SUA, 1973.
106. Foteev N.K. : Elektroerozionnaia obrabotka glubokih zifindiceskikh otverstii, în Elektroerozionnaia obrabotka materialov, nr. 3, Kijinev, 1970, p.9-15.
107. Franke H.J. : Beitrag zur Fertigung von Kupferleiterplatten durch Funkenentladung unter Wasser, Dissertation, Technische Universität Hannover, 1972.
108. Frolov V.K. : Sposobi mehanizmów i nowe instrumenta pri elektricheskoi obrabotke konoprovodimykh materialov, în Elektronnaisa obrabotka na virelov, n. 1, Kijinev, 1974, p.5-9.
109. Gamrat Kurek Z.I. și a. : Vibor vremeni, ingotovleni, indezii i koeficienti zatrati, Koava, Mašinostroenie, 1978.
110. Gavrilăs I. și a. : Preiserări creste și în semiconducătoare mașini, București, Editura Tehnică, 1978.
111. Gavrilă I., Iliuțescu I. : Accelerarea întruirei atroditice a metalelor cu ajutorul ultrasonicelor, în Tehnologia de mașini, nr. 2, 1974, p.74-77.
112. Gîdea S., Grotopopescu M. : Aliaje metalurgice, București, Editura Tehnică, 1968.
113. Ghevorkian G.G. : Elektroimpulsnaya obrabotka i transformatornye instrumentalinoi osnovy, în Elektrofizika i elektrohimicheskie metodi obrabotki materialov, M., 1966, p. 37-88.
114. Ghevorkian G.G. : K voprosu ob iznose elektroda-iznosa i mutanta pri elektroimpulsnom obrabotke, în Elektrofizika i elektrohimicheskie metodi obrabotki materialov, M., 1966, p. 77-79.
115. Ghevorkian G.G. : Experimentaile în redevanie și analiza evoluției productov erozii și eroziunile na elektroimpulsnii i tehnologii i tecnosti elektroeroziuni i obrabotki, referat dissertații, Moskva, 1968.
116. Ghevorkian G.G. : Dinamika i dinamikii trecătorii i instrumente pri elektroimpulsnii obrabotke, în Elektrofizika i elektrohimicheskie i elektrochimicheskie metodi obrabotki, M., Moskva, 1968, p.10-11.

117. Ghinberg A.M. : Ulitrezvuk v mehanicheskikh protsessakh mezinostroenija, Naukova Dumka, Kiev, 1974.
118. Ghinberg A.M., Fedotova L.I. : Ulitrezvuk v proizvodstve, Moskva, Izd. Metalurgija, 1970.
119. Ghizdavu V. : Prelucrarea metalelor cu pulsuri ultrasonice, Editura Tehnică, Bucureşti, 1967.
120. Glazov G.A. : Kompleksnaja mehanizacija mezonov v melkoseriiom proizvodstve, Leningrad, Nauchnoe izdatelstvo, 1972.
121. Glayman J., Farkas B. : Aide-mémoire de la fabrication, Paris Editions Eyrolles, 1967.
122. Golu M. : Cibernetica generala, Bucureşti, Editura Aplicaţie al Universitaţii, 1971.
123. Golumbowski I. : Industrii fizici chimice şi electronice, manual de lucrări practice, Timişoara, IRTE Timişoara, 1977.
124. Goranskii G.K. : Elementi teorii avtomatizatii mašinostroitelinovo projektirovaniia s pomoçcju včislitelnoi tehniki, Minsk, Izd. Nauka i tehnika, 1970.
125. Gorbatevici A.F. ş.a. : Kursovoe proektirovaniie po tehnologii mašinostroeniia, Minsk, Izd. Vishejšaja škola, 1975.
126. Gorski V.A. ş.a. : Tekhnologicheskiy proyekt i optimizatsiya elektroeroziochnoi obrabotki na včisliteli, in Elektrofizicheskie i elektro-tekhnicheskie issledovaniya, nr.2, Moskva, 1973, p.1-6.
127. Gough P.J. : Advances in manufacturing, in: Zentralblatt für Metallkunde, nr.5, 1979, p.316-321.
128. Günler H. : Beitrag zur Lösung des Nachfragerproblems bei der funkenerosiven Metallbearbeitung, in: ATW Internationale Zeitschrift für Wissenschaftliches Holzgewerbe, Berlin, 1979, p.61-65.
129. Grabowski R., Türschmann V. : Metoda elektroerozii, in: Fertigungstechnik und Betrieb, nr.9, 1979, p.50.
130. Grigorieva N.S. : Seminar "Elektrofizicheskie i elektroeroziochnie metodi obrabotki materialov", in: Stanki i oborudovaniye, nr.6, Moskva, 1975, p.43-44.
131. Gruber W., Marguis D.G. : Factors in the transfer of technology, in: The MIT Press, Cambridge, Mass., 1973.
132. Gründer W. : Nutzung der Galvanoeispritzung zum Herstellen von Spritz- und Pressformen fū elektrische Teile, in: Werkstatt. Spektrotechn. / elektron., nr.1, 1976, p.3.
133. Gutkin B.I. : Avtomatizatiiie elektroerozionnogo stankov, Leningrad, Izd. Mašinostroenie, 1971.
134. Gutstein A.I. : Cibernetica și rețele de neuroni, Editura Tehnică, Bucureşti, 1974.
135. Günther A. : Abtragende Fertigungsmethoden, in: ATW auf Maschinenmarkt, nr. 10, 1978, p.3-7.
136. Haas E. : Kopierfräsen im Vergleich zum Zentriertrennen, in: Werkstatt und Betrieb, nr.1, 1978, p.17-20.
137. Haas E. : Große Galvanoformen im Zentriertrennen und Zentriertrennen, in: Werkstatt und Betrieb, nr. 1, 1978, p.17-20.
138. Haase K. : Thermodynamik der industriellen Prozesse, Weinheim, Dietrich Steinkopff Verlag, 1970.

139. Hansen F. : Konstruktionswissenschaft. Grundlagen und Methoden, Berlin, VEB Verlag Technik, 1974
140. Harris C.M., Crede C.E. : Securi și vibrații, volumul, vacuști, Editura tehnica, 1963-1969
141. Hartmann J., Wilde A. : Methode Grenzschichtlängen, in Fertigungstechnik und Betrieb, nr.11, 1974, p.63-68
142. Hegedüs A. : Proiectarea, realizarea și încercarea unei vibratoare electrodinamice, în Vibrații în construcțiile de mașini, Timișoara, 1978, p.237-245
143. Hegedüs A. : Notiță tehnică a producătorului vibratore electrodynamic VEB 1, SPM, IFTV Timișoara, 1978
144. Heitz E. : Herstellung von Brumodellen, in Kunststofftechnik, nr.2, 1971, p.37-40
145. Heitz E. : Kopiernegative für den Werkzeugbau, in Kunststofftechnik, nr.3, 1971, p.102-109
146. Hemon Y. : Progrès dans l'usinage par étincelage, in Rondeur Aujourd'hui, nr.215, 1970, p.5-8
147. Henrich R. : Herstellen von Kunststoff-Verarbeitungswerkzeugen durch Galvanoformen, in Kunststoffe, nr.4, 1973, p.211
148. Heuvelmann C.J., Horn L.L. : Review of cooperative work on EDM in STCE of CIRP, in CIRP, nr.1, 1971, p.213-217
149. Hilbert W.H. : Erodieren, in Fertigung und Betrieb, nr.3, 1972, p.163-178
150. Hindle J. : Galvanoformen mit Nickel auf Bohner, in Produktion nr.11, 1972, p.70-74
151. Hofstede A. : Results of CIRP Group 3 Standardization, Delft, Centrum voor Metalbehandeling, 1968
152. Hoffman R., Rossa H. : Grundlagen der Gemäßigten Arbeitung mit NC-gesteuerten SB-Maschinen, in Feinmechanik, nr.10, 1972, p.455-469
153. Iampolskii A.I. : Kontroli kacektva (editia pe români), Izd. Mașinostroenie, Moskva, 1960
154. Iașin P.S. : Vlijanie materialov očistodov na jadernye mosti, in Teknol. elektr. metodov str. tui, Kazan, 1971, p.69-70
155. Iosino ... s.a. : Dispozitiv pentru eliminarea eșantiei de muchie la depunerea acoperirilor nitrionice, în pat. românia nr.47-56600, înregistrat la 1/7/1977, publicat în ...
156. Isarie I. : Cercetari privind prelucrarea prin erodare electrică în condiții de suprarezistență, teză de doctorat, IFTV Timișoara, 1973
157. Iocrulescu I. s.a. : Sistemul internațional de măsură (SI), editura tehnica, vacuști, 1970
158. Johnson R. s.a. : Théorie, construction et fonctionnement, Paris, Dunod, 1970
159. Kafarov V.V. : Metodi kiberneticii în tehnologia proceselor, Moskva, Izd. inžiniera, 1972
160. Kafarov V.V. : Méthodes cybernétiques en technologie des processus, Moscou, Edition Mir, 1974
161. Kafarov V.V. s.a. : Prinzipien und Methoden der chemisch-technologischen Prozesse, Berlin, VEB

162. Kaldos F. : Szikraforgácsoló elektródon méretezésére alkalmazott problémája, in Elektroerózió műszaki képijel, sz. 1., 1972, p.44-67
163. Kalinin A.M., Kamsiuk M.S. : Nekotorie ekonomichnosti i upotreba elektrodov-instrumentov pri elektroerozionnoi obrabotke, in IVUZ Mašinostroenie, nr.1, Moskva, 1970, p.14.-17.
164. Kalinin M.A., Kamsiuk M.S. : osnovne principi i opisaniia sumarnoi pogresnosti elektroerozionnoi obrabotki po metrii, in IVUZ Mašinostroenie, nr.7, Moskva, 1972
165. Kalman R.E. s.a. : Topics in Mathematical System Theory, New York, McGraw-Hill, 1969
166. Kamsiuk M.S. : Orazmernom iznose elektrodov pri elektroerozionnoi obrabotke, in IVUZ Mašinostroenie, nr.11, Moskva, 1966, p.168-172
167. Kandaian S.G. : Vysokoproizvoditelinoi stanok dlia serийnovo izgotovleniya elektrodov v elektroerozionnykh stankakh, in Stanki i instrument, nr.12, "Oskva, 1965, p.12-13
168. Kanishi M.: Influenta stării lichidului de lucru asupra condițiilor prelucrării electroerozive, in Res. Bull. Hiroshima Inst. Technol., nr.9, 1974, p.123-139
169. Kapustin N.M. : Uskorenie tehnologicheskei podgotovki metanolosborocinovo proizvodstva, Moskva, Mašinostroenie, 1972
170. Kato D. : Sistem pentru conducere program numerica a curbelor de prelucrare electroeroziva, in Elektronika, nr.5, 1974, p.86-92
171. Kinoshita A. : Dezvoltarea prelucrării electroerozive, in Mikai gaidziutsu, nr.11, 1975, p.11-14
172. Kiomidzu .. : Galvanoplastica, in Metallurg., 1975, p.80-81
173. Kleciuk S.E. : Dostijeniia i tendencii razvitiia tekhniki elektriceskoi razmernoi obrabotki metallov po metrii, in Elektronnaisa obrabotka materialov, nr.3, Kiev, 1975, p.26-30
174. Kohanovskaja T.S. : Opredeleni meyer-elektroodova tekhnika dlia zadannih uslovi elektroerozionnoi obrabotki, in Elektrofizicheskie i elektrohimicheskie metody obrabotki, 1973, Moskva, 1973, p.1-8
175. Korocikin P.E., Kravet L.T. : Elektroeroziona obrabotka s orbitalnim dvijeniem, in Stanki i instrument, 1977, Moskva, 1977, p.26-27
176. Korenblium M.V. s.a. : Elektroeroziona i polirujushchim instrumentom iz metallokeramicheskoi kompozitii, in Stanki i instrument, nr.2, Moskva, 1975, p.36-37
177. Korenblium M.V. : Kasciet par matriksu i polirujushchim instrumentom pri elektroerozionnoi obrabotke, in Stanki i instrument, 1975, Moskva, 1975, p.32-33
178. Korenblium M.V., Vinik I.A. : Vysokochistota elektroeroziona obrabotka, in Stanki i instrument, nr.1, 1977, p.19-20
179. Kotarbinski T. : Tratat despr. tehnicii electrofizice, Editura politica, 1976
180. Kovalenko V.S. : Elektrofizicheskie i elektrohimicheskie metody obrabotki materialov, Kiev, 1975, p.1-100

181. Köhn R. : Funkenerodieren von herkömmlichen und keramischen, in Werkstatt und Betrieb, nr.5, 1967, p.111-1.
182. König-Georgescu L., Dimitriu N. : Tehnologii de lucru cu a electrozilor pentru electroeroziune, in Constructii si mașini, nr.2-3, 1977, p.121-125.
183. König W. s.a. : Funkenerosive mehrkanalbearbeitung, in CIRP, nr.1, 1973, p.57-58
184. König W., Kurr R. : Recenti sviluppi nel campo dell' elettroerosione, in Mecc. ital., nr. 71, 1974, p.3-14.
185. König W. s.a. : Material removal and energy dissipation in electrical discharge machining, in: CIRP, nr.1, 1973, p. 95-100
186. König W. s.a. : The Flow Fields in the Working gap with Electro-Discharge-Machining, in: CIRP, nr.1, 1977, p.71-77
187. König W., Epning H. : Verschleissminderung durch adaptive Regelung beim funkenerosiven Senken, in: Industrie-Anzeiger nr.55, 1979, p.19-21
188. König W., Jutzler W.J. : Technologie des funkenerosiven Senkens mit Graphit-Elektroden, in: Industrie-Anzeiger, nr.55, 1979, p. 27-29
189. Kracht E.W., Kurr R. : Möglichkeiten zur Selbsttaktik der Optimierung des Erosionsprozesses, in: Industrie-Anzeiger, nr.24, 1971, p.499-501
190. Krampitz R., Heymann D. : Stand und Entwicklungstendenzen der funkenerosiven Materialbearbeitung, in: Metall, nr.9, 1975, p.487-496
191. Kravet A.T. : Izgotovlenie elektrosvy-instrumentov i elekteroerzionaloi obrabotki, in: Elektronika v elektrosvy i skoi i elektrohimiceskoj obrabotke metalej, Sov. Akad. Nauk. Mašinostroenie, 1972, p.101-110
192. Kravet A.T. : Obratotku na elekteroerzionalih koljach, radio-procivocinif stankah, in: Stanki i instrument, 1977, Moskva, 1977, p.12-14
193. Kretschmar E. : Metall-, Keramik- und Plastikriten, Berlin, VEB Verlag, 1962
194. Kubota M. : Starea actuala a prelucrarii dimensiunilor electrice, in: Kikai no Kenkyu, nr.7, 1963, p.639-644
195. Kucin V.D. : Ob opredelenii elekteroerzionaloi u-tvoriavosti tviordih tel, in: Elektronika vremeni i materijal, nr.4, Kijinev, 1969, p.16-18
196. Kudinov V.A. : Dinamica mașinilor urgate, București, Editura tehnică, 1970
197. Kurr R. s.a. : Die Auswirkung der Anprägverteilung auf Abtrag und Verschleiss bei der funkenerosiven Bearbeitung, in: Industrie-Anzeiger, nr.51, 1979, p.612-613
198. Kurr R., Larz E. : Adaptive Control-systeme für die Funkenerosion, in: VDI-Z, nr.10, 1973, p.61-65
199. Lazarenko L.R., Lazarenko I.I. : Avtomatizovannye protsessy SSSR, No.70010, 1943
200. Lazarenko L.R., Lazarenko I.I. : Vysokotekhnicheskaya IREM V. Bratislava, 1968, 1, 1970
201. Lăzărescu I. s.a. : Toleranțe și limitele tehnice, etarești, Editura didactică și pedagogică, 1969
202. Ledraud Rupert : Sculptură cu electroduri, in: Zorn și mașini, nr.16, 1970, p.70

203. Leonova V.V. : Termodynamika, Moscow, Vuzgiz i Nauka, 1966
204. Lepetit P. : L'electroformage, in: Matrice monomere, nr. 13/4, p.6-10
205. Levinson E.M. : Elektrorazriadanie obrabotki materii, Leningrad, Mashinostroenie, 1971
206. Levinson E.M. : Spravocinoe posotie po elektrotel'cistike, Leningrad, Mashinostroenie, 1972
207. Levit M.L., Padalko O.V. : Rassvet polin elektroodov-instrumentov dlia elektroerzionalnoi obrabotki, in: Stanki i instrument, nr.5, Moskva, 1970, p.14-19
208. Levit M.L., Padalko O.V. : Bravniteiniye markter elektroodov-instrumentov iz poristoi mati i drugih materialov, in: Stanki i instrument, nr.9, Moskva, 1977, p.16-17
209. Levy G.N. ş.a. : Technological and economical Aspect of planetary Spark Erosion, in: ISEM 5 Proceeding, Zürich, Juris-Verlag, 1977, p.165-170
210. Levy G.N. : Some modern aspects of tool and die manufacturing with EIM, in: Tool and Dies Ind. Proc. Conf. Birmingham 1976, London, 1977, p.397-408
211. Livšit A.I. ş.a. : Iznos elektroodov-instrumentov iz rafitirovannovo materiala pri elektroerzionalnoi obrabotke materialov, in: Stanki i instrument, nr.1, Moskva, 1977
212. Livšit A.I. : Metodika poiska novix protsessov formozavodstvija, in: Vestnik mashinostroeniya, 1978, nr.9, p.60
213. Livšit A.I. ş.a. : Elektroimpul'sionnaia obrabotka, Moskva, Mashinostroenie, 1971
214. Livšit A.I. ş.a. : Generatori i akumulyatory, Moskva, 1970
215. Livšit A.I. ş.a. : Karakteristiki magnetronnykh metod, in: Elektrofizicheskie i elektronika serzheje metod, Leningrad, 1971, p.1-12
216. Livšit A.I. : Nauchno-tehnicheskie napravleniya razvitiya elektrofizicheskikh i elektronika serzheje metodov tekhnicheskoi obrabotki, in: ISEM 1, Bratislava, 1974
217. Fizicheskie modeli protsesa obrabotki elektroerzionalnoi obrabotki; in: Stanki i instrument, nr.1, Moskva, 1977, p.4-8
218. Lobanov A.V. : Elektroimpul'sionalei obrabotki novosiliciumov, in: Kuznecino-ştampovocinoe preizvodstvo, nr.1, Moskva, 1971, p.45-49
219. Loeffel B. : New techniques in electroerosion, in: Metal Stamp, nr.30, 1977
220. London A. : Electrotechnical and industrial applications. Engineer, nr.8028, 1971, p.16-41
221. Lupescu I. ş.a. : Sudorul cu strat de titani, un rezultat zbură si in mediul protectoare, Bucuresti, Editura Tehnică, 1968
222. Mai E. : Formales Beschreibungswaytes für ebenen Geometrien und zur Kodierung der auf einer Ebene mit technischer Einzelteilzeichnung, Zürich, Universität, 1969
223. Maillet M. : Prelucrarea totală a unei plăci din fier. Technique et Sciences Industrielles, nr. 10, Paris, 1965, p.145-155

224. Malita M. : Arta său știință conudență I, în cadrul ...-iu, vol.1, Cluj, Editura știință, 1971, p.1-19
225. Malita M. : Teoria sistemelor și unitatea științei ..., știință socialistă și revoluție științifico-tehnici ..., ști, Editura politica, 1970, p.10-1
226. Maliskin V.K. : Progressivni metodi i ustrojenija ..., instrumentov dlia elektroerodionoi obrabotki, ..., nje metodii obrabotki materialov, minsk, 1966, aut. 1-10, 1977, p.181-1c4
227. Malkin A.I. : Osnovi tehnologii mehanizatelor obr., ..., tehniki mașin, Moskva, Mașgiz, 1961
228. Malov A.N., Ivanov I.V. : Osnovi avtomatiki i avtomatizacii proizvodstvennykh protsessov, Moskva, Mașinostroenie, 1974
229. Manea C. : Unități de măsură, București, Editura Tehnică, 1968
230. Mascag A. : Tehnica galvanoplastica, București, Editura tehnică, 1974
231. Matalin A.A. g.a. : Peredovais tehnologija i avtomatizacija upravlenija protsesami obrabotki detalei mașin, Leningrad, Mașinostroenie, 1970
232. Mc Gough J.A., Basmański H.: A perturbation analysis of the electroforming process, in Journ. Mat. Phys. Sci., 1976, p.271-276
233. Mendelison V.S., Rudenin I.I. : Elektroformirovani stampov i pressform, Moskva, Mașinostroenie, 1970
234. Mesarovic M.D. g.a. : Theory of hierarchical, multi-level systems, Cleveland, Case University, 1970
235. Meşceriakov G.N., Mai A.V. : Elektrohimicheskaya obrabotka sredstv na elektricestvem energii metallov, Inzhenernoe i elektrohimicheskaja obrabotka metallov, Tula, 1975, p.50-53
236. Meşceriakov G.N. : Electro-Physical Processes in Metal and Pulse Metal Cutting from the Point of View of the Intensity and Polarity of electric wave, Stat. nr. 1, 1976, p.491-497
237. Meyer H. : Herstellung von Schnieden mit einem Kurzschlagstrom, Electroerosion. Spülung und Elektrodenfertigung, Fertigungsstechnik wie Betrieb, nr. 1, 1971, p.1-10
238. Meyer H. : Einfluss von Werkstoffbeschaffenheit, Elektrodenmaterial und Gravurform auf das Arbeitsergebnis bei der erosiven Senken, in Fertigungstechnik und Betrieb, 1971, p.228-233
239. Micloșî V. g.a. : Indrumator pentru utilizarea opziunii, București, Editura tehnică, 1970
240. Mihalev S.L. : Avtomatizacija protsesov obrabotki, Sovet. SRR, Minsk, Belorusia, 1970
241. Mitlogi C. : Sudare metalelor, București, Editura Tehnică, 1965
242. Mitrofanov S.P. g.a. : Naucinie o masinazhiz serii ..., proizvodstvu, Leningrad, Mașinostroenie, 1970
243. Mitrofanov S.P. g.a. : Progredientele tehnologii ..., koi podgotovki serii nove producători, Leningrad, Mașinostroenie, 1971

244. Mitrofanov S.P. și-a. : Avtomatisația tehnologicelor podgotovki seriinovo proizvodstva, Minsk, "Zaginostroenie", 1974
245. Mitkevici N.K., Banchukovskii A.A. : Tri oblasti tehnologii elektroobrabotki, în Impulsivne metodi obrabotki materialov, Izd. Nauka i tehnika, 1977, p.17-105
246. Moiseev M.P. : Ekonomika tehnologii inestri konstrukcii, Moskva, "Zaginostroenie", 1973
247. Motoki M. : Tehnica actuală a metodelor electrofizice și electrochimice, în Kikai gai azintea, nr.2, 1973, p.16-20
248. Mrocek J.A., Tripatin S.I. : Ob izmenenii velicin radijurov zakruglenii v ostrikh ugleyh stratetivachoi polostii izdelija pri elektroerozionaci obrabotke stalei steinimi elektrodami, în Vopr. prochnosti i plasticnosti metalov, Minsk, Izd. Nauka i tehnika, 1972, p.299-340
249. Mrocek J.A. : Obrazovanie konusnosti pri elektroerozionnoi obrabotke, în Impulsivne metodi obrabotki materialov, Minsk, Izd. Nauka i tehnika, 1977, p.175-180
250. Muha I.M., Globa L.V. : Elektroerozionnaia stoilostи nekotorih tugoplavkih soedinenii i metalov, în Elektronnaia obrabotka materialov, nr.3, Kijinev, 1969, p.14-18
251. Namatevs A.A. : Nekatorie osobennosti poliarovo effeta elektriceskoi erosiї pri povtoriaçemia rezidiru, în Elektronnaia obrabotka materialov, nr.1, Kijinev, 1969, p.25-30
252. Namatevs A.A. : Fiziceekie osnovi eluziiski orzane uglerodistoi komponent otlojenii na elektrodeh pri uglerosoderjascihi pred, în Elektronnaia obrabotka materialov, nr.4, Kijinev, 1969, p.33-41
253. Nanu A., Popa H. și-a. : Aplicarea industriala a tehnicii electroerozive la fabricarea ledelior, contract de cercetare științifică IP Timișoara- Intr. Electrotință, Timișoara, 1968, rezumat în Caiet selectiv cu lucrări de lucrare cu productia, Facultatea de mecanică Timișoara, 1968, p.35-36
254. Nanu A., Popa H. și-a. : Cercetări privind determinarea tehnologiei optime de prelucrare prin electroerozivitatea cilierelor din aliaj dur, contract de cercetare științifică IP Timișoara- Uzina Oțelul Roșu, nr.3, rezumat în Caiet selectiv cu lucrări de colaborare cu profesori, contract de mecanică Timișoara, 1970, p.61-77
255. Nanu A., Nichici A., Popa H. : o nouă concepție unor tehnicii de prelucrare ciliensională prin erozivitate, în Tehnologii neconvenționale în prelucrarea materialelor, vol. 1, Caietul Conferinței Naționale de Tehnologii neconvenționale, Timișoara, 1971, p.11-20
256. Nanu A., Iușulich D. : posibilități de utilizare a parametrilor electrici la prelucrarea printr-o lămpă electrică, în Tehnologii neconvenționale în prelucrarea metalelor, Materialele CTNA, Timișoara, 1971, p. 17
257. Nanu A. : Tehnologia materialelor, Ed. surse, didactice și pedagogice, 1972
258. Nanu A., Popa H. și-a. : Studiul proprietăților fizice și chimice ale unor compozite de aluminiu și siliciu, rezultate în urmă, utilizate la fabricarea unei ceramicii de silicii, contract de cercetare științifică CTFV, nr. 1, Intr. Electrotință Timișoara, 1970-71

259. Nanu A., Popa H., Achimescu N. : Particularități ale generării suprafetei la prelucrarea prin eroziune electrică cu copierea formei, lucrare prezentată la Sesiunea de comunicări științifice IPIV Timișoara, 1970
260. Nanu D. : Prelucrarea prin eroziune electrică în cimp magnetic, teză de doctorat, IP Cluj-Napoca, 1979
261. Neely L. : Performance and Evaluation of EDM electrode materials, în Technical Paper American Society of Tool and Manufacturing Engineers, Dearborn, USA, 1963
262. Nekrashevici I.G., Fakuto I.A. : K voprosu o zavisimosti elektroerozionnovo effekta ot slinii razriadnovo pronejutka, în Jurnal tehniceskoi fiziki, nr.5, Moskva, 1962
263. Neroslavskii A.P. : issledovanie isscheniia formy elektroodov v protsesse elektroerozionnoi obrabotki, în Impul'si me-todi obrabotki materilov, Minsk, izd. Nauka i tekhnika, 1977, p.171-175
264. Nichici A. : Influența materialului și geometriei electrodului sculă asupra parametrilor de prelucrare cu scintele electrice a pieselor din oțel C 120, în Construcția de mașini, nr.12, 1966, p.724-728
265. Nichici A. : Fenomene fundamentale la prelucrarea cu scintele electrice cu electrod oscilant, teză de doctorat, Timișoara, 1970
266. Nichici A. : Tehnologia materialelor și mașinii oțel, IPIV Timișoara, 1974
267. Nichici A. : Probleme ale modelării sistemelor de prelucrare prin eroziune electrică, în Materialele celei de a III-a conferințe Tehnologii noi în construcția de mașini, Galați, 1977
268. Nichici A. : Tehnologia materialelor, vol. I, I.R. edit., 1979
269. Nikolov I. : Cibernetica și economia. București, Edit. politică, 1973
270. Obaciu Gh. : Contribuții la studiul comportării cuprului de electroză piezoelectrică la prelucrarea materialelor conducto-ne cu impulsuri electrice, teză de doctorat, I.P. Timișoara, 1969
271. Obaciu Gh. : Contribuții la studiul distribuției și a lui impulsului la prelucrarea electroerozivă, în Tehnici și neconvenționale în prelucrarea materialelor, Materiale CNTN, Timișoara, 1971, p.171-174
272. Obaciu Gh., Wertheim K. : Abajura unei metode pentru obținerea mijlocită a uzurii electro-înduii metalură la prelucrarea electroerozivă, în Suntinere Universitatea Tehnică din Cluj, 1974, p.55-64
273. Odnorolov N. : Galvanotechnika i alternativnae i... Moskva, Izd. Ischustvo, 1974
274. Olsen K.V. : Effektivitet ved gni. tidskriften, nr. 11-24, 1970
275. Onoue J. : Preparation of EDM electrodes by spark erosion, în ISZM 3, Vienna, 1970
276. Oprea H., Pleșoianu G. : Analiza și proiectarea unităților economice, București, Editura științifică și encyclopedică, 1975
277. Orgovan I. : Galvanoformung. Methoden der galvanischen Verformung auf dem Gebiet des verarbeitenden Faches, Herstellung von Kunststoffen, în Technik und Wirtschaft, nr. 11

278. Otto M. și-a : Istociniki pitanii electroerosionii. Elektrovalino-prosivocinii stenkov, în stand i instrument, nr.3, Moskva, 1977, p.13-19
279. Pahlitsch W. și-a : Efектul de polaritate la eroziunea din scîntei, în CIRP, nr.3, 1968, p.245-248.
280. Palei M.M. : Tehnologhiia proizvodstva prioboblenii, pres-form i stampov, Moskva, Izd. M., inostroenie, 1971
281. Palfalvi A. : Tehnologia materialelor, Cluj, IP Cluj-Napoca, 1973
282. Panov V.P. : Optimizinoe upravlenie ravnomernostiu palivno-pokritii, în Proektirovanie, ekonomika i organizatsiya proizvodstva v tehnii metallopolkritii, Moskva, 1973, p.10-11
283. Păduraru I. și-a : Modelarea procesului tehnologic din combinatele industriale, în Metode și precedee tehnice de calcul economic în agricultură, vol.1, București, Editura Academiei RSR, 1971, p.194-230
284. Peciuro N S. și-a : Vliianie sostava mejelektrodnoi sredii na erozii elektrodov pri vozdeistvii edinicinii ravnovid, în Elektronnaia obrabotka materialov, nr.6, Kishinev, 1969, p.33-37
285. Penescu C. : Conceptele teoriei sistemelor, în Automatizare și electronică, nr.3, 1971, p.10-14
286. Penescu C. : Sisteme. Concepte, caracterizări, sisteme liniare, București, Editura tehnica, 1970
287. Peteanu V. și-a : Conducere și informatica, Cluj, Editura Dacia, 1975
288. Peters A. : Ein Grundlagenbeitrag zur Funktionserosion, in Ind. Elek.+Elektron., nr.16, 1970, p.43-453
289. Peters A. : Stand der Metallbearbeitung durch Funktionserosion und ihre Anwendung, in Maschinensmarkt, nr.36, 1975, p.110
290. Petreikis T.A., Ustianev A.A. : Elektroerosionni i elektrovalino-prosivocinii stenok mod. 4B/.../ s osoto vremeni ustanovkoi koordinat, în Stand i instrument, nr.3, Moskva, 1977, p.15-16
291. Petriceanu Gh. : Tehnologia construcției de mașini, Cluj, IP Cluj, 1969
292. Picos C. : Tehnologia construcției de mașini, Cluj, Cluj, Editura didactică și pedagogică, 1971
293. Poduraev V.N., Kamalov V.S. : Elektro-mekanicheskaya obrabotka, Moskva, M., inostroanie, 1973
294. Polanski L. : Elektroiskrovye metody metali erozii i depencencyjnymi, Warszawa, Wydawnictwo Politechniki Warszawskiej, 1965
295. Poluijanov V.B. : Novoe storudovye i novye metody i elektronicheskoi obrabotki, în Stand i instrument, nr.6, Moskva, 1975, p.40-43
296. Poluijanov V.T. : Strukturnie preobrazovaniia tehnologii mehanostorozcinoego proizvodstva, M., inostroanie, 1973
297. Ponamarenko L.I., Kastvorovs'kiy ... : Elektroerosionnoe izgotovlenie tenmolekulescii. Izdatelstvo Naukova Dumka, Kiev, 1974

298. Popa H., Achimescu N. : Procese și factori care pot influența uzarea electrodului la prelucrarea cu electroeroziune în copierea formei, în Buletinul științific și tehnic al IPVT, seria mecanică, tom 17(31), fascicula 2, Timișoara, 1972, p.215-221
299. Popa H. și-a. : Metodica proiectării proceselor tehnice de prelucrare dimensionala prin erosiune electrică, înstrumător pentru cursurile postuniversitare de tehnici și neconvenționale în prelucrarea metalelor, Timișoara, Facultatea de mecanică, 1972
300. Popa H. : Metodică pentru proiectarea organizării fabricației de mașini și aparate. în Al VII-lea simpozion de organizare a producției, proiectare, inovație, Timișoara, 1978, p.115-120
301. Popa H. : Economia și organizarea producției, Timișoara, Facultatea de mecanică, 1979
302. Popa H. : Tipul seriei de fabricare ca parametru la proiectarea sistemelor ingineresti în construcția de mașini, lucrare comunicată la Al VII-lea simpozion de organizare a producției, Timișoara, 1979
303. Popa H., Ioanovici Ir. : Metodica unitara în analiza și ingineria valorii, în Informatica pentru conduceri. Prese în informatică românească, nr. Cluj-Napoca, 1979, p.25-26
304. Popa H. și-a. : Model matematic pentru procesuri de erosiune electrică la prelucrarea prin erosiune electrică cu copierea formei, lucrare prezentată la sesiunea de comunicări științifice a IPTV Timișoara, 1979
305. Popa H., Achimescu .. : Studiu generalizat al efectelor la prelucrarea prin erosiune electrică în condiții de evacuare instantanee a materiilor succedente, lucrare prezentată la sesiunea de comunicări științifice a IPTV Timișoara, 1979
306. Popa H. și-a. : Utilizarea unor concrete ale teoriei fizicii proceselor ireversibile în teoria unerării, studiu generalizat la prelucrarea dimensionala, în Buletinul științific și tehnic al IPTV, seria mecanică, tom 20(33), Facultatea I, Timișoara, 1980
307. Popa H., David I. : Model matematic pentru procesarea unerării a suprafeței la prelucrarea dimensionala în contact cu copierea formei, în Buletinul științific și tehnic al IPTV, seria mecanică, tom 20(33), Facultatea I, Timișoara, 1980
308. Popa H. : studiul funcțiilor unui proces, în economisire și Organizarea producției, înstrumitor de lucrări, Timișoara, Facultatea de mecanică, 1979, p.33-43
309. Popa H. : Analiza tehnico-economică a valorii acoperării întregi a unui sistem tehnic, în economisire și organizarea producției, înstrumitor de lucrări, Timișoara, Facultatea de mecanică, 1979, p.40-52
310. Popa H. : domeniile aplicării eficiente a tehnologiilor noi, în economia și organizarea producției, înstrumitor de lucrări, Timișoara, Facultatea de mecanică, 1979, p.61-64
311. Pophale L.M. : Manufacturintei cavity new tooling, moulds, forging die casting tools etc., în Anuarul URSS, 1977, p.45-48
312. Popilov L.I. : Galivanoplastika, zidării și aplicații, MIR, 1978
313. Popilov L.I. : Osnovi elektrotermalnoi i novykh vysokovidnosti, Leningrad, Naukova Dumka, 1978

314. Popilov L.I. : Spravocinik po elektricesskim i ultrazvukovym metodam obrabotki materialov, Leningrad, Naukova Dumka, 1971.
315. Popovici C., Savii Gh. : Tehnologia construcțiilor mașini, București, Editura didactică și pedagogică, 1961.
316. Quarz W. : Eine Galvanik im Sinne der Technik, In: VDEI, nr.11, 1976, p.1054-1057
317. Rabinovici A.N. : Decanizarea și automatizarea comp. m. în construcția de mașini și apărate. Lucuregti, Editura tehnica, 1962.
318. Rădoi I. : Electrochimie, Manuale de lacluri practice, Timișoara, IP Timișoara, 1968
319. Rădoi I. : Electrochimie, Timișoara, IP Timișoara, 1971
320. Rădoi I. s.a. : Electrochimie, Timișoara, Editura fizica, 1974
321. Ratmirov V.A. s.a. : Sistemi upravleniya uciastkom elektroerozionnykh stankov na osnove seti malih EVM, In: Stanki i instrument, nr.9, Moskva, 1977, p.23-24
322. Reglow E. : Rechner steuert Drahtvorschub. Funkenerosionsmaschine hat einen direkten Computeranschluss, In: VDE-Nachrichten, nr.41, 1977, p.4
323. Remscheid W. : Neuzliche Anwendung der Funkenerosion für Herstellung von Raumformen in Industrie, In: Elektro-Anzeiger, nr.84, 1967, p.19-23
324. Rhea N.W. : Breakthrough in ESDI elektroerosion in Prod. and Prod., nr.12, 1976, p.76-77
325. Rhyner H. : La technologie, in: Informations techniques Char-milles, nr.11, Geneva, 1966, p.17-.
326. Riggs J.L. : Production systems: planning, analysis and control, New York, John Wiley and Sons, Inc., 1976
327. Roche F. : Dielektriki, materiali dielektriki a obreda v demovo izdeliia, pri elektroerozionnoi obrabotke, Bratislava, 1974, p.184-190.
328. Roman I. : Tehnologiile neconvenționale în prezent, respectiv dezvoltările lor în viitor, în Construcții mașini, nr.2-3, 1977, p.69-71
329. Romanovski V.P. : Spravočnik po elektroorganičeskim grad, Mašinostroenie, 1971
330. Roth A. s.a. : Szikraforgácsolás. Budapest, Műszaki Kiadó, 1961
331. Rozanov V.A. : Elektroiskrovija obrabotka i ee instrumenta, in: Novoe v elektrofizicheskii elektron. i elektroobrabotke materialov, Leningrad, Nauka, 1971.
332. Roze L.V., Gleibman B.I. : Elektroeroziona obrabotka s polikristalicheskimi elektrodami v elektroeroziona obrabativaliscevo elektrode, in: Elektroeroziona obrabotka materialov, nr.2, Kijinev, 1971, p.11-17
333. Saito N. s.a. : Mitsubishi electrical insulation, Proc. of the Japan Soc. of Electr. Eng., Vol. 1, No. 1, p. 42-52
334. Saito N., Kobayashi K. : Electro-erosion wear and Low Electrode wear with water-cooled electrodes, In: Japan Soc. of Prec. Eng., Vol. 1, No. 1, p. 1-8

335. Sato K., Oya K. : Maginile electroerozive si ax, in Mikunishi denki giho, nr. 10, 1971, p.124-127.
336. Saito T. s.a. : Utilaje si domeniu de aplicare pentru prelucrarea electroeroziva, in Nihon Shidaiutsu, nr. , 1973:p.27
337. Saito T., Sato K. : Conducerea cu comutator program in prelucrarea electroerozivă, in Nihon te gocu, nr.6, 1968-74
338. Saito N. : Dezvoltarea metodelor de prelucrare electroerozivă și electrochimică, in Seimitsu nikai, nr. 10, 1971, p.963-9
339. Saito N. s.a. : Starea și perspectivile dezvoltării prelucrării electroerozive și electrochimice, in Nihon te gocu, nr.2, 1975, p.36-42
340. Samsonov G.V., Muha I.I. : Zakonomernosti opracovaljivosti iznos katoda pri elektroiskrovoyi obrabotke metalov, in Elektronnaia obrabotka materialov, nr.1, Kişinev, 1967, p.17-24
341. Samsonov V.G., Berhoturov A.B. : Zakonomernosti erozii katoda i anoda pri elektroiskrovom upravlenii, in Elektronnaia obrabotka materialov, nr.1, Kişinev, 1966, p.25-29
342. Sandford J. : EDM sparks-in as high production tool, in Iron Age, nr.18, 1973, p.55-62
343. Saveli E.A. s.a. : Problemi razvitiia chnologii v inostreaniia, Moskva, Mashnostroenie, 1965.
344. Savaes E.L. : Conducerea cu calculatoare procedee de lucrare, București, Editura tehnica, 1968.
345. Savii Gh. : Studiu asupra prelucrării la friptate a materialelor prin procedee electroerozive, teza de doctorat, Univ. Politehnica București, 1970
346. Savii Gh., Popa H. : Cu ergonomieea voroanei proce-  
duri fiziceskoi i elektrochimiceskoi. sim. tne v zaryaz. zili,  
in Ergonomika, preizveditelstvo tsi i zav. po zilich  
sticeskoi licinosti, Burgas, 1972
347. Schacher G.D. : Elektroerosionniy protsess kori.  
atm. in instrumentov, in Izdat. Akad. Nauk, 1974
348. Schadach R. : Herstellung von Brozelektroden durch  
Deutsche Mauchinenmarkt, nr.18, 1973, p.1-15
349. Schadach R. : EMO'75: Antragsschleifen. In: Werkstatt  
elektrochemische Verfahren, in Werkstatttechnik, 1975,  
p.1267-1269
350. Schadach R. : CNC-gesteuerten Antragsschleif. In:  
Industrie-Anzeiger, nr.55, 1975, p.51-54
351. Schekulin K. : Dreidimensionale Erstellung der Form  
des elektroerosiven Antragens, in: Maschinenbau  
1978, p.1594-1597
352. Schekulin K. : Automatisieren der Funkenerosion, in:  
Technische Rundschau, nr.41, 1979, p.19
353. Schulz H.J. : Über den Zusammenhang zwischen  
beim Funkenerosiven Schleifen von Metallen, in:  
Technik, nr.8, 1960, p.409-413
354. Schulz H.J. : Vergleich verschiedener Formen  
Formelektroden für die Funkenerosive  
Verfahren, in: Werkstatttechnik, 1975, p.11-14
355. Schumacher F. : Der Verlauf  
Verteilung bei der Funkenerosion, in:  
nr.50, 1967, p.1039-1040

356. Schumacher B. : Elektrodenwerkstoffe und deren Anwendung in der Elektroden. Vortrag ISIR/Fo/Bc, Zürich, 1973.
357. Schwabe H.U. : Nickel- und Nickel-Nickel-Chrom-Galvanik aus dem konzertrierten Sulfamat-Elektrolyten. In: Industrie-Anzeiger, nr.34, 1973, p.70-70
358. Semon G., Jean Mairet A.: Usinage isotropique dans l'industrie automobile, in: Information technique, nr.11, 1968, p.55-77
359. Semon G. : Guide pratique d'usinage isotropique. Presses des Charmilles, Genève, 1973
360. Semon G. : Usinage isotropique : possibilités et applications, in: Mach.prod., nr.212, 1973, p.11-36
361. Sieper R. : Senk- und Drahterdiamantfräsen. Methoden, Technik und Entwicklungstendenzen, in: Maschinenmarkt, nr.77, 1977, p.491-494
362. Silaș Gh. s.a. : Culegere de probleme de vibrații mecanice, București, Editura tehnică, 1973
363. Simon W. : Conducerea numerică a mașinilor mecanice, București, Editura tehnică, 1967
364. Siwczyk M. : Niektóre zagadnienia z zakresu techniki obróbki bocznych stosowanych w obróbce skrawaniem cieniutkim, nr.9, Warszawa, 1973, p.455-464
365. Shenoi B.A. s.a. : Ultradźwiękowe obróbki finiszące. Finishing, nr.7-8-9, 1970
366. Snoyes R. s.a. : Analysis of ultrasonic vibrations, in: Proceedings, Zürich, Juris Verlag, 1971
367. Sosenko A.B. : Skorostí formování vlnových proudů v prošívociněch rabiček, in: Střed. Čsl. výrob. strojů, č. 1, 1970, p.23-29
368. Sosenko A.B. s.a. : Elektroerodionické obrábění vlnových proudových i výtažních jehlách, in: Střed. Čsl. výrob. strojů, Moskva, 1974, p.29-37
369. Sosenko A.B. : Davlenie v među-efektach v oblasti elektroerozionnoi obrabotke. in: Strel. i instrument, nr. 1, 1970, p.35-39
370. Starr M.K. : Conducerea producției. Teoria și practica, București, Editura tehnica, 1973
371. Stavíčkii B.I., Bezruč A... : Vlivem veličiny nápravovo promějutku na efekt erozivního výrobenia mejdú anodom a katodou. in: Elektro. a výroba, Ščekatilalov, nr.5, Nižnijev. 1969, p.11-14
372. Steineck ... : Ein neuer Elektroerosionsfräser für die Zn-erosion, in: Technica, nr.4, 1973, p.201-204
373. Stempel G. : Funkenerosions-slektroden für Metalle. Herstellung, Eigenschaften und Leistung, in: Elektro. und Betrieb, nr.5, 1973, p.194-208
374. Stepanov V.G., Savrov I.a. : Vizualizace praktického užití některé metodí obrábětky metálů. V: Čes. Fys. Akademie, Praha, 1975
375. Stetiu G. : Aschierea și aplicarea teoriei, teoremei și teoria didactice și pedagogice. București, Editura didactică și pedagogică, 1973
376. Suciu I. : Studiu tehnico-economic al realizarii unei rea unor echipamente pentru realizarea unor proiecte de diplomi condamnat la realizare, București, 1973

377. Šakalis V.V. : Modelirovanie tverdosty metallojedusim kva, Masinostroenie, 1971.
378. Šmakov G.S. : Ostrukturir. obul. vlyv i ploschad po eleketrozioru i steklosti materialov, in: Elektroobrabotka materialov, nr.4, 1971.
379. řontea S. ſ.a. : Consideratii cu privire la profitabilitatea economică a electrozioror folositi în fabricarea de electroziori, in: Constructii... 1971, nr.1.
380. řontea S. ſ.a. : Tehnologie și tehnici de lucru lucrătoare, bucurești, editura Tehnica, 1971.
381. řvet V.V. : Raspredelenie tehnologicelor v. c. v. k. v mašinostroenii po energetike ih. urovniu nîm zonam, in: Vestnik mašinostroeniya, nr.1, 1971, p.61-62.
382. Taniguchi N. ſ.a. : The optimum form the current in EDM, in CIRP, nr.1, 1971, p.41-42.
383. Tarzimanov G.A. : Proektirovanie metallorezujucih ustrojov, Izd. Mašinostroenie, 1972.
384. Tudosecu I. : Clasificarea și sistematizarea cunoașterei, cunoaștere, vedeare, cunoșteri, cunoșteri și pedagogică, 1970, p.47-64.
385. Tudosecu I. : Structura cunoașterii, cunoaștere, cunoaștere politici, 1972.
386. Tudosecu I. ſ.a. : Filozofie, cunoaștere, cunoaștere, cunoaștere, București, editura științifică Tehnică, 1972.
387. Vaida A. ſ.a. : Mașini-ameite, teoria, cunoaștere și pedagogică, 1970.
388. Van Dijck ſ.a. : Some results in the field of metal cutting, in ISEM 4, Bratislava, 1971.
389. Van Dijk F., Snijders K. : A theoretical study of the main parameters governing the efficiency of machining process, in: MEC., Antwerp, 1975, nr. 10, 1975, p.9-16.
390. Vasilev V.S. : Elektrorazrubači i elektroobrabotki, -sostoianie, nadaci i perspektivi. Elektronika instrument, nr.9, Moskva, 1971, 1972.
391. Veroman V.I. : Analiz svitza i vliyaniia na sverzhivayushchiye etni impulissim i vliyanie na sverzhivayushchiye harakteristikami elektrorezhirovaniia na sverzhivayushchiye, in: Elektronika obrabotki, 1971, 1972.
392. Veroman V.V. : Osnovnoe i ogranichenie vliyaniia na obrabotki, in: ISEM 4, Bratislava, 1971.
393. Vilister L.A., Sedova L.Z. : Elektrorezhirovaniye plenok ne elektroubitravim i elektroobrabotki plenok, in: fizika i kimija eticheskikh materialov, 1967, Moskva, 1967, p.19-40.
394. Volcenkov R.N. : Ob erozii i elektroobrabotke, -naia obrabotka materialov, 1970, 1971.
395. Volkov L., Livgut A.I. : Osnovnye i ogranichenie vliyaniia produktov erozii iz nejednorodnykh materialov na khimiiu obrabotki materialov, 1971, 1972.
396. Volkov L.B., Livgut A.I. : Elektrorazrubači i elektroobrabotki, 1972, p.1-10.

397. Volkov I.S., Livšit A.I. : Nekotorye voprosy teorii i tekhniki obrazovaniia, in Fizika i chisl. obrabotki materialov, ur.1 Moskva, 1974, p.64-80
398. Vorobiev A.A. : Fizicheskie osnovi ustoychivosti, obnaruzhenii i iznosa materialov pri elektricheskoi eroditsii, in Elektronnaya obrabotka materialov, ur.1, Naukova Dumka, p.14-17
399. Vulcu V. s.a. : Proiectarea si construcția garniturilor de model pentru turmatorie, bucurești, Editura Tehnică, 1971
400. Warnecke H.J., Weiler G.G. : Herstellen von erodierten Elektroden durch Galvanoformung, in Stahl, nr.1, 1975, p.101-107
401. Warnecke H.J., Weiler G.G. : Herstellungserstellung mit galvanogeförmten Erodierelektroden, in Werkstattstechnik, ur.5, 1975, p.289-296
402. Wearmouth W.R. : Principles and applications of electroforming, in Proc., 14 th Int., Mach. Tool Des. and Res. Conf., Manchester 1973, London 1974, p.587-595
403. Weber J.M. : Electric discharge machine with mechanism for orbiting the electrode on a polygonal path, inventie SUA, nr.3809852, înregistrată 1972, publicată 1974
404. Weiler G.G. : Galvanoelektroden zum erodieren großer und formwerkzeuge, in Industrie-Anzeiger, nr.55, 1975, p.500-502
405. Weiler G.G., Bolch T. : Innere Spannungen in elektrisch abgeschiedenen Kupferschichten, in Metalloberfläche, nr. 11, 1975, p.552-558
406. Weiler G.G. : Galvanoformung als neuer Werkzeug- und Formenbau, in Metalloberfläche, nr.6, 1975, p.69-74
407. Weiler G.G. : Galvanoformen in der Fertigungswirtschaft betrachtet, in Maschinenmarkt, nr. 1, 1976, p.101-112
408. Weiner R. : Ultraschnell in der Fahrzeugtechnik - in Rohre-Rohre-Profile, nr.7, 1975, p.194-201
409. William W.J. s.a. : Nontraditional machining processes, Dearborn, SUA, 1967
410. Wilson C. : Analysis of EDM performance and tool wear in the Copper-Steel System, in Trans. of Superconductor Manufacturing Engineers, Dearborn, SUA, 1970, p. 1-10
411. Winkler R. : Galvanoformung, in Jaarb. Oberflächen, Band 32, Berlin, 1976, p.154-156
412. Wissler K. : Anwendung von Gleitkarben im Werkzeugbau, in Maschinenmarkt, nr.60, 1976, p.1360-1361
413. Works N., Saito N. : Starea actuală și perspectivele dezvoltării electrice de prelucrare, în Mitteilungen der Akademie, nr. 10, 1971, p.16-32
414. Zabel H. : Einflüsse auf die Werkstoffanfälligkeit von Werkzeugelektroden für Flächenerodition, in Werkstofftechnik, nr.6, 1962, p.315-316
415. Zadeh L.A. s.a. : Teoria sistemei, Editura Tehnică, 1974
416. Zemlegliadov K.G. : Sovremennoe obozrenie sovetskogo melkoserийnovo proizvodstva. Izdatelstvo MASH, 1973
417. Zimany J. : Matematisches Modell des Fertigungsprozesses mit kleinen EDM-Precisionen, in Fertigung, ur.2, 1974,

418. Zingherman A.S. : Iznos elektroci-instrumentov i razmernost fitirovannovo materiala pri elektrich. palivani ot stanki i instrument, nr.6, Moskva, Izd. p.140.
419. Zingherman A.S. : Obrezovanie kristalitickovej struktury pri gorenii elektriceskoi dughi v mineralinom lazise, v. nauchno-tekstiiia vuzov, Fizika, nr.5, Moskva, Izd., p.175-8.
420. Zingherman A.S. : Problema bezim. novy elektroci-instrument, in Elektronnaia obrabotka materialov, nr.1, Kiginev, 1972, p.32-41
421. Zlobin G.P. : K metodike opredelenija erozionnoi stoikosti, in Elektronnaia obrabotka materialov, nr.1, Kiginev, 1971, p.9-11
422. Zlobin G.P. : Mednie elektroci-instrumenti povysheni elektroerozionnoi stoikosti, in Elektronnaia obrabotka materialov, nr.2, Kiginev, 1975
423. Zolotikh B.N. : Fenomenologicheskaja teoriia elektroiskrovoi razmernoj obrabotki, in ISEM 3, Viena, 1970
424. x x x Matematika i kibernetika v ekonomike. Slovar-spravocnik, Moskva, Izd. Ekonomika, 1975
425. x x x Metoda cercetării sisteme. Bucureşti, Editura științifică, 1974
426. x x x Sisteme în științele sociale, Bucureşti, Editura Academiei RSR, 1977
427. x x x System engineering handbook, New York, McGraw-Hill Book Company, 1968
428. x x x Views on General System Theory, New York, Wiley and Sons, Inc., 1964
429. x x x CNC- erodiermaschine, in Werkstatt und Betrieb, nr.5, 1979, p.162
430. x x x CNC- steuerung für Punktgeradlin. maschinen zum Planetarerodieren, in Maschinenwelt, nr.75, 1979, p.409
431. x x x Cooperative research on electroerosion machining. Comparative tests in order to define minimum piece materials, in CIRP, Technics, United Kingdom, 1973
432. x x x Electrical machining technology and electrical Design Engineering, nr.6, 1971, p. 1-11
433. x x x Electro-érosion: Milieu éducatif dans l'évolution technique, in Mach. prod., nr.247, 1971, p.30-32
434. x x x Elektrofizikohimische stanki i vystavki. Tehnologii otechestvennovo stankostroeniya, in Stanki i instrument, nr.5, Moskva, 1977, p.41-54
435. x x x Fizicheskie osnovy elektroizolyatsii i elektricheskii, Moskva, Izd. Nauka, 1970
436. x x x Funkenerosionsmaschine, in Werkstatt und Betrieb, nr.1, 1975, p.1-4
437. x x x Funkenerosionsmaschine, in Werk, nr.6, 1975, p.1076
438. x x x Impulsnie metodi obrabotki materialov, in Nauka i tekhnika, 1977
439. x x x Informations techniques Sharp, nr.11, 1964, 1965
440. x x x Manufacturing engineering, New York, 1975, p.235-240
441. x x x Neuartige fertigungstechnologien und verarbeitungstechnik, München, Carl Hanser Verlag, 1975

442. x x x Feredovala tehnologija i avtomatizacija elektroosajdenija protessami obrabotki detalei angin, Leningrad, Vsesoyuznoe gosstroenie, 1970
443. x x x Terminology on Electro-Chemical Machining or Electro-DischARGE Machining, Siedmever University Press, 1972
444. x x x Abbrand bei Funkenerosion-Elektroden, in: Elektro- und Betrieb, nr.7, 1974, p.31
445. x x x The EDM Reporter, Poco Graphite, Inc., Bechtel, USA, 1972
446. x x x Airco Speer EDM electrode materials for electrical discharge machining, Electrotech, Inc., Brooklyn, USA, 1971
447. x x x Electroformed electrodes for EDM, in: Tool and Prod., nr.1, 1974, p.72-73
448. x x x Funkenerosion mit Graphitelektroden Material, Vorzüge und Bearbeitung, in: Metallhandwerk+Techn., nr.5, 1979, p.681-682.
449. x x x Issledovaniia v oblasti elektroosajdenija metallov, Vilnius, 1977
450. x x x Prikladnaja elektrohimija, Moskva, Izd. Nauka, 1974
451. x x x Prikladnaja elektrohimija, Moskva, Izd. Nauka, 1975
452. x x x Producing Graphite electrodes for EDM, in: Tool and Metal Mould, nr.5, 1977
453. x x x Technical information nr.492, Union Carbide Corporation, Chicago, 1972
454. x x x Tekhnicheskie rekomendatsii po priimeneniju elektroosajdenij materialov i metodov po ustrojstvu elektroosajdenij instrumentov dlia eikterosionnoj i elektronnoj obrabotki metallovalino-prosivocinnykh stankov, in: Elektroosajdenie i elektrohimicheskie metodi obrabotki, 1974, Izd. p.
455. x x x AGIE Livret d'instruction pour machine a gicleur generateurs AGIE-RÜS-L, Levallois-Perret, Fr., 1972
456. x x x AGIE Kunden-Schulung, Fr., 1972
457. x x x EROSIMAT EPN-50-C Bedienungsanleitung, 1974
458. x x x Instructiuni de folosire pentru aparat de prin electroerosiune ALER-31-31, P. Mihailoș, Timisoara, 1978
459. x x x Elektrodynamischer Schmelzofen, Technische Universität Dresden, Verlag Technik, Berlin, 1973
460. x x x Leistungverstärker für Hochfrequenzschmelze Metra Mesa- und Frequenzschmelze, Welsch, 1974
461. x x x Generator de jumătate de secundă, IAR, 1976
462. x x x Măsurarea vitrujilor, IAR, 1976
463. x x x Oszillografie osciloskopie, 1977, opisanie i instrukcija po upotrebi, Minsk, Minsk, 1977
464. x x x Galivsnometri-vstavki oszillografie, Tekhnicheskoe opisanie i instrukcija po upotrebi, Minsk, Mašpriborintorg, 1977
465. x x x Lanca națională a R&D în tehnologie și în cont, București, 1973-1974
466. x x x Documentația termică, tehnologia termică și fabricația de ștanțe și matrițe, Institutul de Cercetări Timișoara, 1973-1974

467. x x x Dicționar de filozofie, București, Editura Tehnică, 1978
468. x x x Manualul inginerului mecanic, vol.3, Tehnica în construcțiile de mașini, București, Editura tehnica, 1972
469. x x x Lexiconul tehnic român, vol.1-IV, București, Editura Tehnică, 1957-1966
470. x x x STAS 270/1-74 Cupru. Marci, București, Editura Tehnică, 1974
471. x x x STAS 642-71 Catozi din cupru. Condiții generele, București, Editura Tehnică, 1971
472. x x x STAS 3583-64 Otel rezistent la coroziune și tractat prelucrat la cald, București, ISCAR, 1964
473. x x x STAS R 6388-68 Metale și aliaje neferoase standardizate. Nomenclator și corespondențe, București, ISCAR, 1968
474. x x x STAS 6909-75 Normarea muncii. Terminologie, București, Editura Tehnică, 1975